შ. პ. ს. “ ჯი ენ პი “

# მრავალბინიანი საცხოვრებელი სახლი (ბლოკი "F")

ქ.თბილისი, "დელისი-3"-ის საცხოვრებელი რაიონის მიმდებარედ,
ინტენსიფიკაციის გზის სამხრეთით, (ნაკვეთი №1/124)

## კონსტრუქციული ნაწილი

თბილისი 2025

A3 1:100

შ. პ. ს. “ ჯი ენ პი “

# მრავალბინიანი საცხოვრებელი სახლი (ბლოკი "F")

ქ.თბილისი, "დელისი-3"-ის საცხოვრებელი რაიონის მიმდებარედ,
ინტენსიფიკაციის გზის სამხრეთით, (ნაკვეთი №1/124)

## კონსტრუქციული ნაწილი

დირექტორი: ო. ქვრივიშვილი

Director: O. QvriviSvili

თბილისი 2025

A3 1:100

# განმარტებითი ბარათი:

საპროექტო ნაგებობა წარმოადგენს რვა სართულიან შენობას. შენობის ვერტიკალური მზიდი ელემენტებია რკინაბეტონის კოლონები და დიაფრაგმები. ისინი ასევე წარმოადგენენ ძირითად სეისმურ ელემენტებს. გადახურვის კონსტრუქციებს ქმნის მონოლითური ფილები და რიგელები. მონოლითური ბირთვი გამოიყენება ლიფტის შახტების უჯრედისთვის.

სამშ. მოედნის სეისმურობა - - - - 0.17g (პ.ნ. 01.01-09)
თოვლის დატვირთვა - - - - - - - - 0.5 კპა (პ.ნ. 01.05-08)
ქარის დატვირთვა - - - - - - - - - 37 მ/წმ (პ.ნ. 01.05-08)

შენობის მზიდ კარკასში გამოყენებული მასალები:

- რკინაბეტონის ხიმინჯები და საძირკვლის ფილა:
- ბეტონი კლასით B30, EN 206-1 ნორმის შესაბამისად, ბეტონის ტიპი XC2 თანახმად ნორმისა Eurocode 1992-1:2004. ბეტონის ტიპი S2 EN 206-1 ნორმის შესაბამისად.
- არმატურა B500B თანახმად ნორმისა GOST R 52544-2006.

- კოჭები და გადახურვის ფილა:
- ბეტონი კლასით B30, EN 206-1 ნორმის შესაბამისად, ბეტონის ტიპი XC1 თანახმად ნორმისა Eurocode 1992-1:2004. ბეტონის ტიპი S2 EN 206-1 ნორმის შესაბამისად.
- არმატურა B500B თანახმად ნორმისა GOST R 52544-2006.

- რკინაბეტონის სვეტები და დიაფრაგმები:
- ბეტონი კლასით B30, EN 206-1 ნორმის შესაბამისად, ბეტონის ტიპი XC2 თანახმად ნორმისა Eurocode 1992-1:2004. ბეტონის ტიპი S2 EN 206-1 ნორმის შესაბამისად.
- ბეტონი კლასით B30, EN 206-1 ნორმის შესაბამისად, ბეტონის ტიპი XC1 თანახმად ნორმისა Eurocode 1992-1:2004. ბეტონის ტიპი S2 EN 206-1 ნორმის შესაბამისად.

ნებისმიერი კონსტრუქციის მოწყობისას საჭიროა მასალების ლაბორატორიული კვლევა შესაბამისი ნორმების დაცვით. ბეტონირება ხიმინჯებში, ფილებში და დიაფრაგმებში (ბირთვებში) საჭიროა განხორციელდეს უწყვეტად, ვიბრირებით. არმატურების შეერთება განხორციელდეს ზედდებით, პროექტში მითითებული სიდიდით.

შენობის პროექტის შედგენისას გამოყენებულია როგორც ევროპული ნორმები (ევროკოდები), ასევე საქართველოში მოქმედი ქართული და რუსული ნორმები.

Eurocode 1990 - ზოგადი ნაწილი
Eurocode 1991 - დატვირთვები
Eurocode 1992 - რკინაბეტონის კონსტრუქციები
Eurocode 1993 - ლითონის კონსტრუქციები
Eurocode 1997 - ფუძე-საძირკვლები
Eurocode 1998 - სეისმომედეგი მშენებლობა
EN 206-1 - ბეტონის სპეციფიკაცია, პარამეტრები და წარმოება
EN 10025 - ლითონის ნაგილნი პროდუქცია
SNiP 2.01.07-85 - დატვირთვები და ზემოქმედებები
SNiP 2.02.03-85 - ხიმინჯოვანი საძირკვლები
SNiP 2.03.01-84 - რკინაბეტონის კონსტრუქციბი
SNiP II-23-81 - ლითონის კონსტრუქციები
პ.ნ. 01.01-09 - სეისმომედეგი მშენებლობა
პ.ნ. 01.05-08 - სამშენებლო კლიმატოლოგია

შენობა პროექტირდება გაანგარიშების მიხედვით, გაანგარიშება მოხდა სასრულ ელემენტთა მეთოდით პროგრამა Etabs 21 გამოყენებით ევროპული ნორმების გამოყენებით (იხილეთ შესაბამისი გაანგარიშების შედეგები).

ხიმინჯები საჭიროა დაეყრდნოს ქვიშაქვის ფენას, ნახაზზებზე მითითებული მონაცემებით. ხიმინჯების მოწყობის შემდეგ საჭიროა მისი მთლიანობის და სისწორის შემოწმება ულტრაბგერითი ან სხვა მეთოდით. ქვაბულის დამუშავებისას გათვალისწინებულია ძირითადი ქანების ფენების დახრის მიმართულებები. ქვაბულის დახრები მოწყობილია ისე, რომ არ მოხდეს მოჭრილი ფენების დასრიალება. პროექტი საჭიროა დამუშავდეს მშენებლობის ორგანიზაციის პროექტთან ერთად, პროექტის ავტორებთან შეთანხმებით.


კონსტრუქტორი
შ.პ.ს "ჯი ენ პი"
ალ. ყაზბეგის გამზ. 14ბ
0160, თბილისი, საქართველო
+995599150088
Gipn.ltd@gmail.com


პროექტის დასახელება:
მრავალბინიანი საცხოვრებელი სახლი (ბლოკი "F")
ქ.თბილისი, "დელისი-3"-ის საცხოვრებელი რაიონის მიმდებარედ, ინტენსიფიკაციის გზის სამხრეთით, (ნაკვეთი №1/124)

ნახაზის დასახელება:
განმარტებითი ბარათი

| დახაზა | შეამოწმა | დაადასტურა |
|---|---|---|
| მ.მ. | ო.ქ. | ო.ქ. |

| მასშტაბი | ფორმატი | თარიღი | რევიზია | ნახ.№ |
|---|---|---|---|---|
| 1:100 | A3 | | R3 | ქ-001 |

| № | Спецификация | Примечание |
|---|---|---|
| 000 | Оборудование | |
| 001 | Основное оборудование | |
| 002 | Блок-бокс для электрооборудования | |
| 003 | Блок-бокс для электрооборудования | |
| | Дизель | |
| 004 | Дизель основной | |
| 005 | Дизель аварийный 1-1; 2-2 | |
| 006 | Дизельные аккумуляторные 3-3; 4-4; 5-5 | |
| | Шкафы | |
| 101 | Вводное устройство основное шкафное | |
| 102 | Ввод-1 | |
| 103 | Ввод-2 | |
| 104 | Ввод-3 | |
| 105 | Ввод-4 | |
| 106 | Ввод-5 | |
| 107 | Шкафы управления дизельными электростанциями | |
| 108 | Шкафы управления (дизель генератор) | |
| 109 | Шкафы управления электрооборудованием (щиты генераторные) | |
| 110 | Вводные, распределительные и дизельные электростанции основные | |
| 111 | Шкафы дизельные основные | |
| | Шкафы. Оборудование щитовое | |
| 201 | Ячейка фидерная основная шкафная ввода<br>▽−3.900 ЕПВ63ЦЕЧ63. | |
| 202 | Ячейка фидерная основная шкафная ввода<br>▽−0.100 ЕПВ63ЦЕЧ63. | |
| 203 | Ячейка фидерная основная шкафная ввода<br>▽+2.900 ЕПВ63ЦЕЧ63. | |
| 204 | Ячейка фидерная основная шкафная ввода<br>▽+6.200 ЕПВ63ЦЕЧ63. | |
| 205 | Ячейка фидерная основная шкафная ввода<br>▽+9.500 ЕПВ63ЦЕЧ63. | |
| 206 | Ячейка фидерная основная шкафная ввода<br>▽+12.800 ЕПВ63ЦЕЧ63. | |
| 207 | Ячейка фидерная основная шкафная ввода<br>▽+16.100 ЕПВ63ЦЕЧ63. | |
| 208 | Ячейка фидерная основная шкафная ввода<br>▽+19.400 ЕПВ63ЦЕЧ63. | |
| 209 | Ячейка фидерная основная шкафная ввода<br>▽+23.700 ЕПВ63ЦЕЧ63. | |
| 210 | Ячейка фидерная основная шкафная ввода<br>▽+26.100; +27.100 ЕПВ63ЦЕЧ63. | |
| | Шкафы. Оборудование щитовое | |
| 301 | Ж/б фундаментная щель ▽−0.100 ЕПВ63ЦЕЧ63.<br>Дизель дизельного агрегата основного ввода | |
| 302 | Ж/б фундаментная щель ▽−0.100 ЕПВ63ЦЕЧ63.<br>Электрооборудования шкафного основного ввода | |
| 303 | Ж/б фундаментная щель ▽−0.100 ЕПВ63ЦЕЧ63.<br>Щиты дизельного агрегата основного ввода | |
| 304 | Ж/б фундаментная щель ▽−0.100 ЕПВ63ЦЕЧ63.<br>Щиты электрооборудования шкафного основного | |
| 305 | Ж/б фундаментная щель ▽−0.100 ЕПВ63ЦЕЧ63.<br>Ввода резервного дизельного | |
| 306 | Ж/б фундаментная щель ▽−0.100 ЕПВ63ЦЕЧ63.<br>Дизель аварийный | |
| 307 | Ж/б фундаментная щель ▽+2.900; +6.200. . .+16.100 ЕПВ63ЦЕЧ63.<br>Дизель дизельного агрегата основного | |
| 308 | Ж/б фундаментная щель ▽+2.900; +6.200. . .+16.100 ЕПВ63ЦЕЧ63.<br>Электрооборудования шкафного основного | |
| 309 | Ж/б фундаментная щель ▽+2.900; +6.200. . .+16.100 ЕПВ63ЦЕЧ63.<br>Щиты дизельного агрегата основного | |
| 310 | Ж/б фундаментная щель ▽+2.900; +6.200. . .+16.100 ЕПВ63ЦЕЧ63.<br>Щиты электрооборудования шкафного основного | |
| 311 | Ж/б фундаментная щель ▽+2.900; +6.200. . .+16.100 ЕПВ63ЦЕЧ63.<br>Ввода резервного дизельного | |
| 312 | Ж/б фундаментная щель ▽+2.900; +6.200. . .+16.100 ЕПВ63ЦЕЧ63.<br>Дизель аварийный | |
| 313 | Ж/б фундаментная щель ▽+19.400 ЕПВ63ЦЕЧ63.<br>Дизель дизельного агрегата основного ввода | |
| 314 | Ж/б фундаментная щель ▽+19.400 ЕПВ63ЦЕЧ63.<br>Электрооборудования шкафного основного ввода | |
| 315 | Ж/б фундаментная щель ▽+19.400 ЕПВ63ЦЕЧ63.<br>Щиты дизельного агрегата основного ввода | |
| 316 | Ж/б фундаментная щель ▽+19.400 ЕПВ63ЦЕЧ63.<br>Щиты электрооборудования шкафного основного ввода | |
| 317 | Ж/б фундаментная щель ▽+19.400 ЕПВ63ЦЕЧ63.<br>Ввода резервного дизельного | |
| 318 | Ж/б фундаментная щель ▽+19.400 ЕПВ63ЦЕЧ63.<br>Дизель аварийный | |
| 319 | Ж/б фундаментная щель ▽+23.700 ЕПВ63ЦЕЧ63.<br>Дизель дизельного агрегата основного ввода | |
| 320 | Ж/б фундаментная щель ▽+23.700 ЕПВ63ЦЕЧ63.<br>Ввода резервного дизельного | |
| 321 | Ж/б фундаментная щель ▽+23.700 ЕПВ63ЦЕЧ63.<br>Щиты дизельного агрегата основного ввода | |
| 322 | Ж/б фундаментная щель ▽+23.700 ЕПВ63ЦЕЧ63.<br>Щиты электрооборудования шкафного основного | |
| 323 | Ж/б фундаментная щель ▽+23.700 ЕПВ63ЦЕЧ63.<br>Ввода резервного дизельного | |
| 324 | Ж/б фундаментная щель ▽+23.700 ЕПВ63ЦЕЧ63.<br>Дизель аварийный | |
| 325 | Ж/б фундаментная щель ▽+26.100; +27.100 ЕПВ63ЦЕЧ63.<br>Дизель аварийный, дизельный ввод | |
| 326 | Ввод основной дизельный электрооборудования | |
| 327 | Электрооборудования шкафного основного ввода дизельного<br>Дизельное | |
| | Фундаменты дизельные | |
| 401 | Фундамент дизельный ФД-1 | |
| 402 | Фундамент дизельный ФД-2 | |
| 403 | Фундамент дизельный ФД-3 | |
| 404 | Фундамент дизельный ФД-4 | |


ЭЛЕКТРОСИЛА

ЭЛ. ИЗОЛЯЦИЯ ФАЗЫ №. 14

ООО "ЭЛЕКТРОСИЛА"

0160, ФАЛЕНТИН, ЦЕНТРАЛЬНЫЙ ПР-Т

+995599150088

Elpn.ltd@gmail.com


Электрооборудование дизельной электростанции (дизель "Г")

Фундаменты дизельного агрегата основного ввода. (Дизельное топливо №1/124)

Блок-бокс для электрооборудования:

Блок-бокс для электрооборудования

| Разработал | Проверил | Н.контр. | Стадия | Лист | Листов |
|---|---|---|---|---|---|
| Н.В. | П.Д. | | Р3 | Д-002 | |

| № | Описание | Примечание |
|---|---|---|
| 405 | Земельный участок №-5 | |
| 406 | Земельный участок №-6 | |
| 407 | Земельный участок №-7 | |
| 408 | Земельный участок №-8 | |
| | Земельный участок | |
| 501 | Земельный участок Ж-1 | |
| 502 | Земельный участок Ж-2 | |
| 503 | Земельный участок Ж-3 | |
| 504 | Земельный участок Ж-4 | |
| 505 | Земельный участок Ж-5 | |
| 506 | Земельный участок Ж-6 | |
| 507 | Земельный участок Ж-7 | |
| 508 | Земельный участок Ж-8 | |
| | Водоснабжение | |
| 601 | Земельный участок Дорога ▽-3.900–Ось ▽-0.100–Вод | |
| 602 | Дорога1-1; Благоустройство | |
| 603 | Земельный участок Ось ▽-3.900–Ось ▽-0.100–Вод | |
| 604 | Земельный участок Ось ▽-0.100–Ось ▽+2.900–Вод | |
| 605 | Земельный участок Ось ▽+2.900–Ось ▽+6.200–Вод | |
| 606 | Земельный участок Ось ▽+6.200–Ось ▽+9.500–Вод | |
| 607 | Земельный участок Ось ▽+9.500–Ось ▽+12.800–Вод | |
| 608 | Земельный участок Ось ▽+12.800–Ось ▽+16.100–Вод | |
| 609 | Земельный участок Ось ▽+16.100–Ось ▽+19.400–Вод | |
| 610 | Земельный участок Ось ▽19.400–Ось ▽+23.700–Вод | |
| 611 | Земельный участок Ось ▽+23.700–Ось ▽+27.100–Вод | |
| 612 | Дорога 1–1 | |
| 613 | Дорога 2–2 | |
| 614 | Дорога 3–3 | |
| 615 | Дорога 4–4 | |
| 616 | Дорога 5–5 | |
| 617 | Дорога 6–6 | |
| 618 | Дорога 7–7 | |
| 619 | Благоустройство | |

| № | Описание | Примечание |
|---|---|---|
| 701 | Земельный участок Ось-1; Ось-2 | |
| 702 | Земельный участок Ось-1 ▽-3.900–Ось ▽+2.900–Вод | |
| 703 | Земельный участок Ось-1 ▽+2.900–Ось ▽+19.400–Вод | |
| 704 | Земельный участок Ось-1 Дорога 1–1; 2–2; 3–3 | |
| 705 | Земельный участок Ось-1 Дорога 4–4; 5–5; 6–6 | |
| 706 | Земельный участок Ось-1 Благоустройство | |
| 707 | Земельный участок Ось-2<br>▽-0.100–Ось ▽+16.100–Вод | |
| 708 | Земельный участок Ось-2 ▽+16.100–Ось ▽+19.400–Вод; Дорога 1–1; 2–2 | |
| 709 | Земельный участок Ось-2 Дорога 3–3; 4–4 | |

| | | | |
|---|---|---|---|
| Разработал | Иванов | | Благоустройство территории. Генеральный план. Ведомость земельных участков |
| Проверил | Петрова | | |
| Н. контр. | Сидоров | | |
| ГИП | Кузнецов | | |
| Масштаб | Формат | Стадия | Лист |
| 1:100 | A3 | Р | Л-003 |

ООО «Проект-Строй»
г. Москва, ул. Ленинская, д. 14
+74951234567
info@proekt-stroy.ru

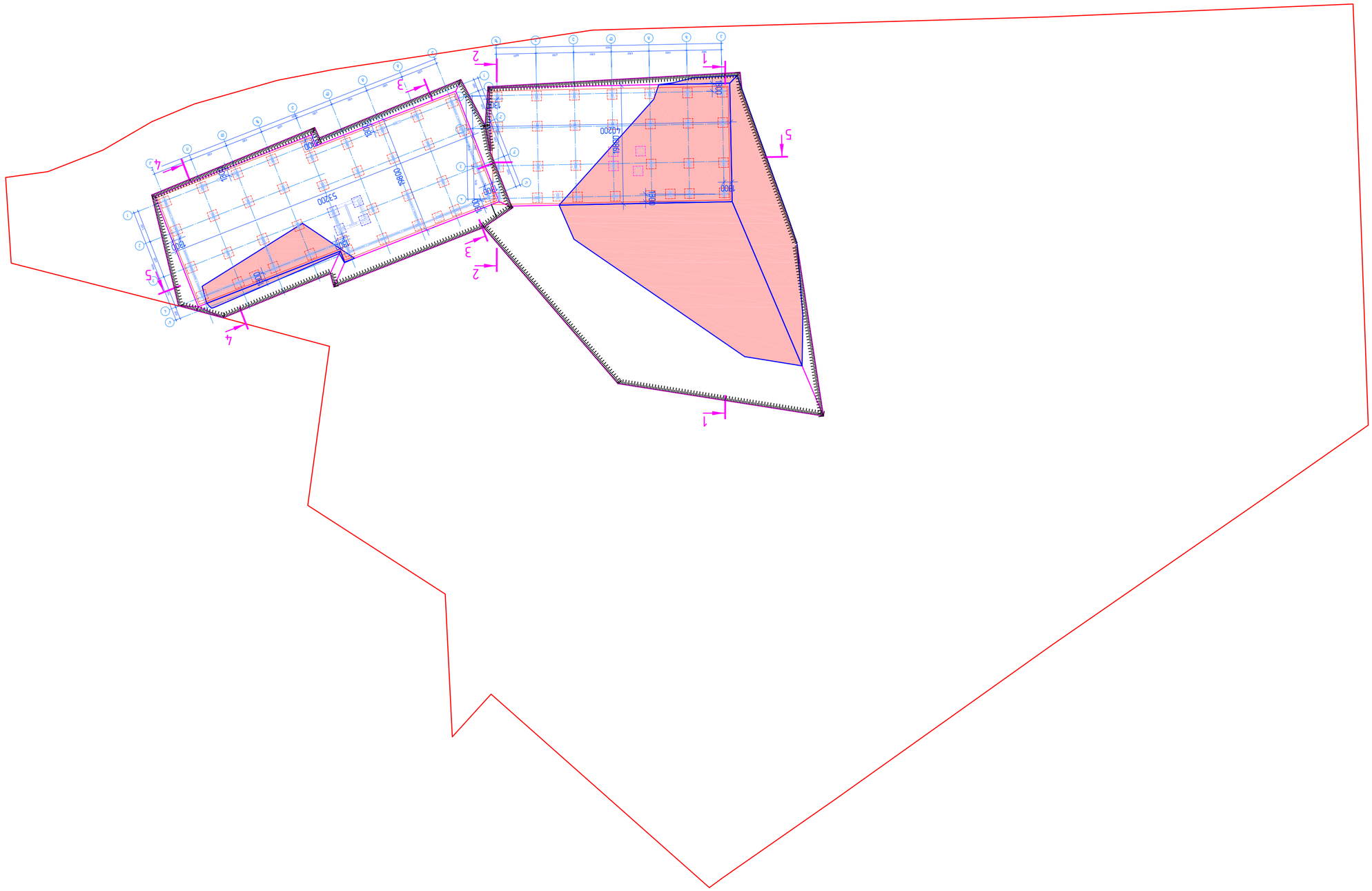
1
2
3
4
5
4200
5200
1800
1200
1200
1200

## 1-1

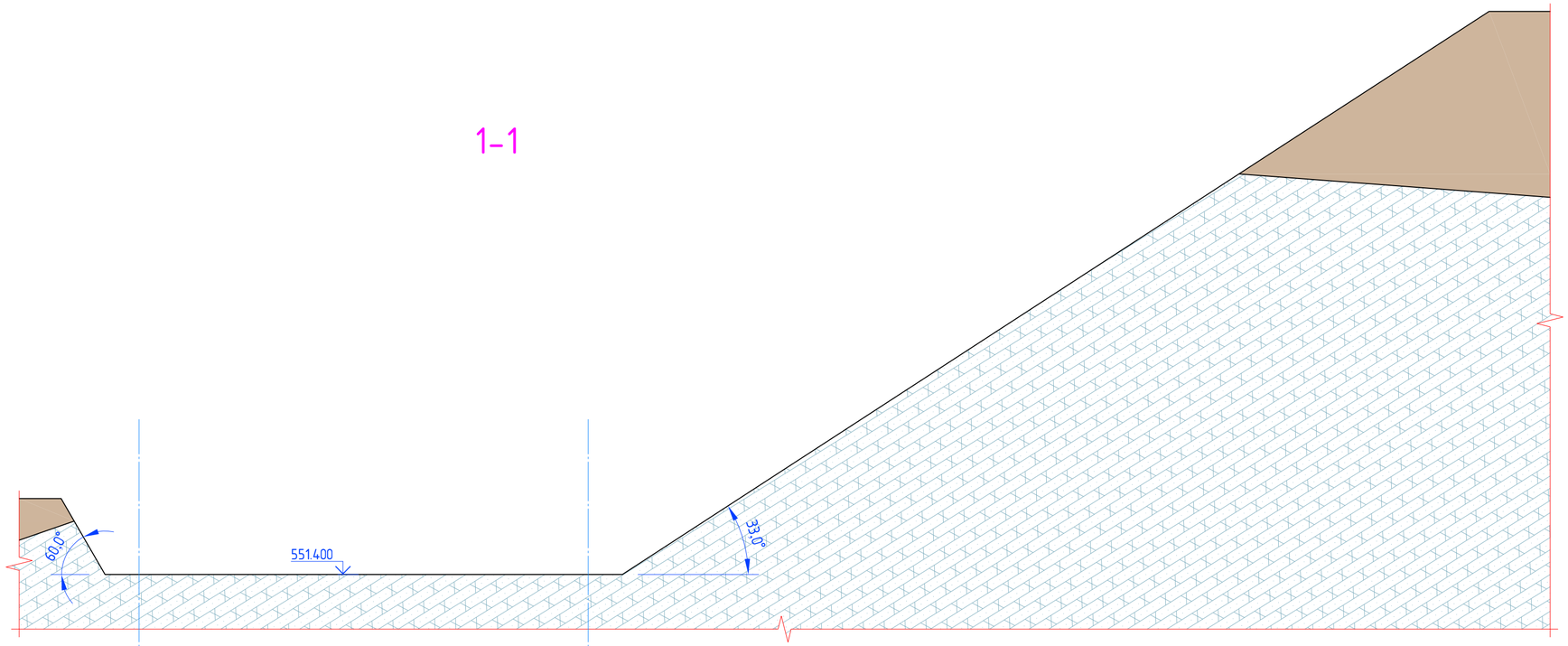


## 2-2

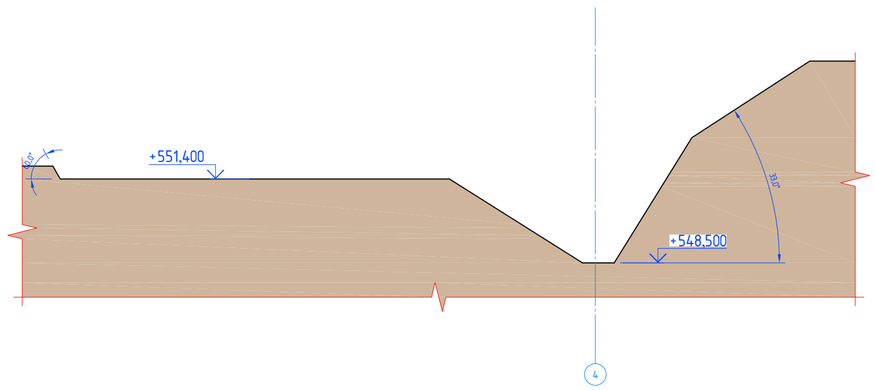


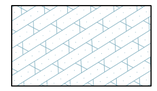

სუსტად გამოფიტული ძირითადი ქანი



ნაყარი გრუნტი

| | |
|---|---|
| კონსტრუქტორი | შ.პ.ს "ჯი ენ პი" |
| | ალ. ყაზბეგის გამზ. 14ბ 0160, თბილისი, საქართველო |
| | +995599150088 |
| | Gipn.ltd@gmail.com |
| პროექტის დასახელება: | მრავალბინიანი საცხოვრებელი სახლი (ბლოკი "G"და ბლოკი "F") ქ.თბილისი, "დელისი-3"-ის საცხოვრებელი რაიონის მიმდებარედ, ინტენსიფიკაციის გზის სამხრეთით, (ნაკვეთი №9124) |
| ნახაზის დასახელება: | ქვაბულის ჭრილები 1-1; 2-2 |
| დახაზა: გ.გ. | შეამოწმა: ო.ქ. |
| დაამტკიცა: ო.ქ. | |
| მასშტაბი: 1:150 | ფორმატი: A2 |
| თარიღი: | რევიზია: R3 |
| ნახ.№: 005 | |

A2 1:150

## 3-3

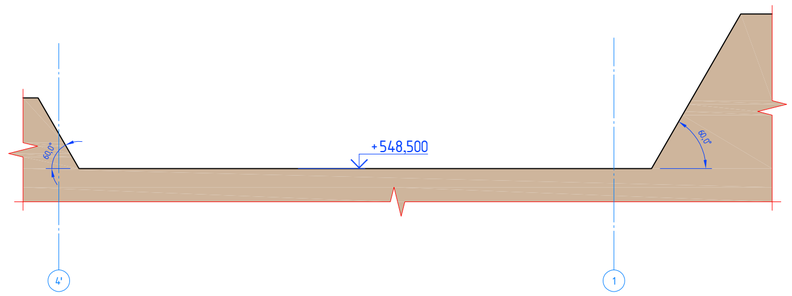


## 4-4

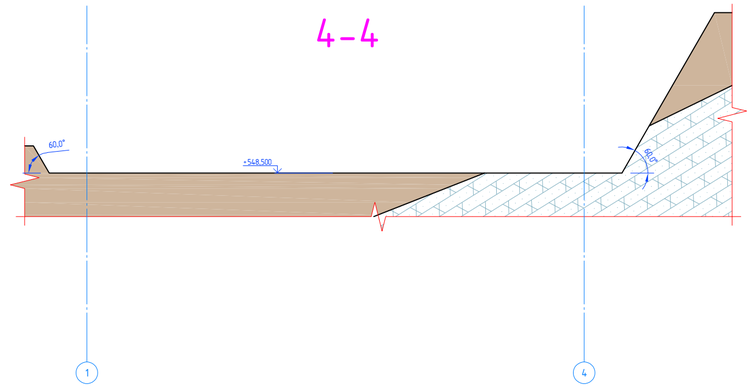


## 5-5

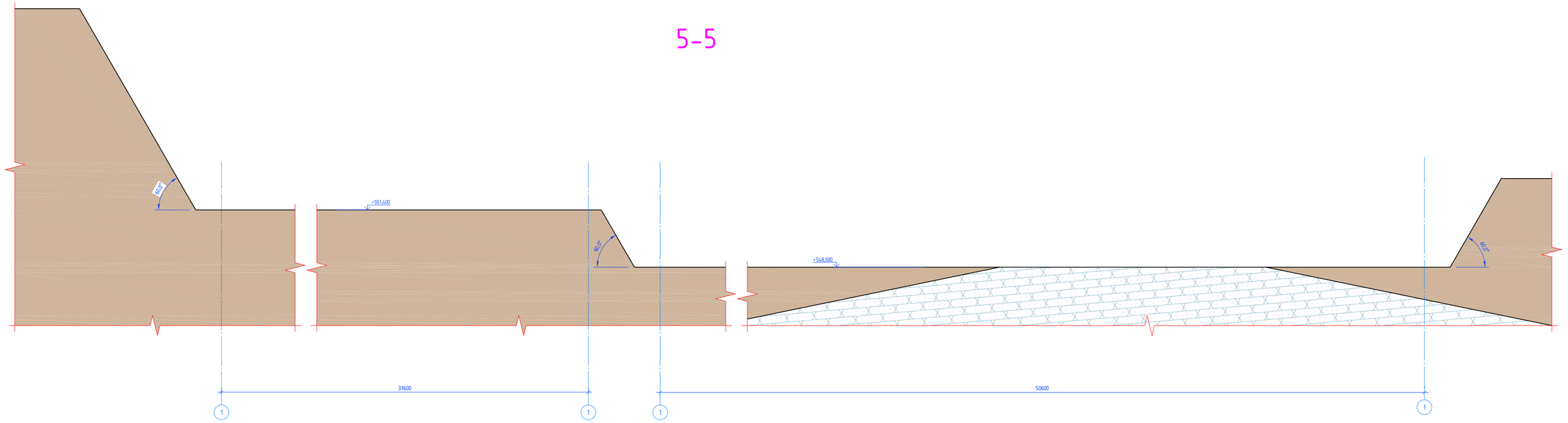


სუსტად გამოფიტული ძირითადი ქანი

ნაყარი გრუნტი

| კონსტრუქტორი | | | | |
|---|---|---|---|---|
| შ.პ.ს "ჯი ენ პი" | ალ. ყაზბეგის გამზ. 14ბ 0160, თბილისი, საქართველო +995599150088 Gipn.ltd@gmail.com | | | |
| პროექტის დასახელება: მრავალბინიანი საცხოვრებელი სახლი (ბლოკი "G"და ბლოკი "F") ქ.თბილისი, "დელისი-3"-ის საცხოვრებელი რაიონის მიმდებარედ, ინტენსიფიკაციის გზის სამხრეთით, (ნაკვეთი №1124) | | | | |
| ნახაზის დასახელება: ქვაბულის ჭრილები 3-3; 4-4; 5-5 | | | | |
| დახაზა: მ.მ. | შეამოწმა: ო.ქ. | | დაამტკიცა: ო.ქ. | |
| მასშტაბი: 1:150 | ფორმატი: A2 | თარიღი: | რევიზია: R3 | ნახ.№: 006 |

A2 1:150

# ხიმინჯების განლაგების სქემა

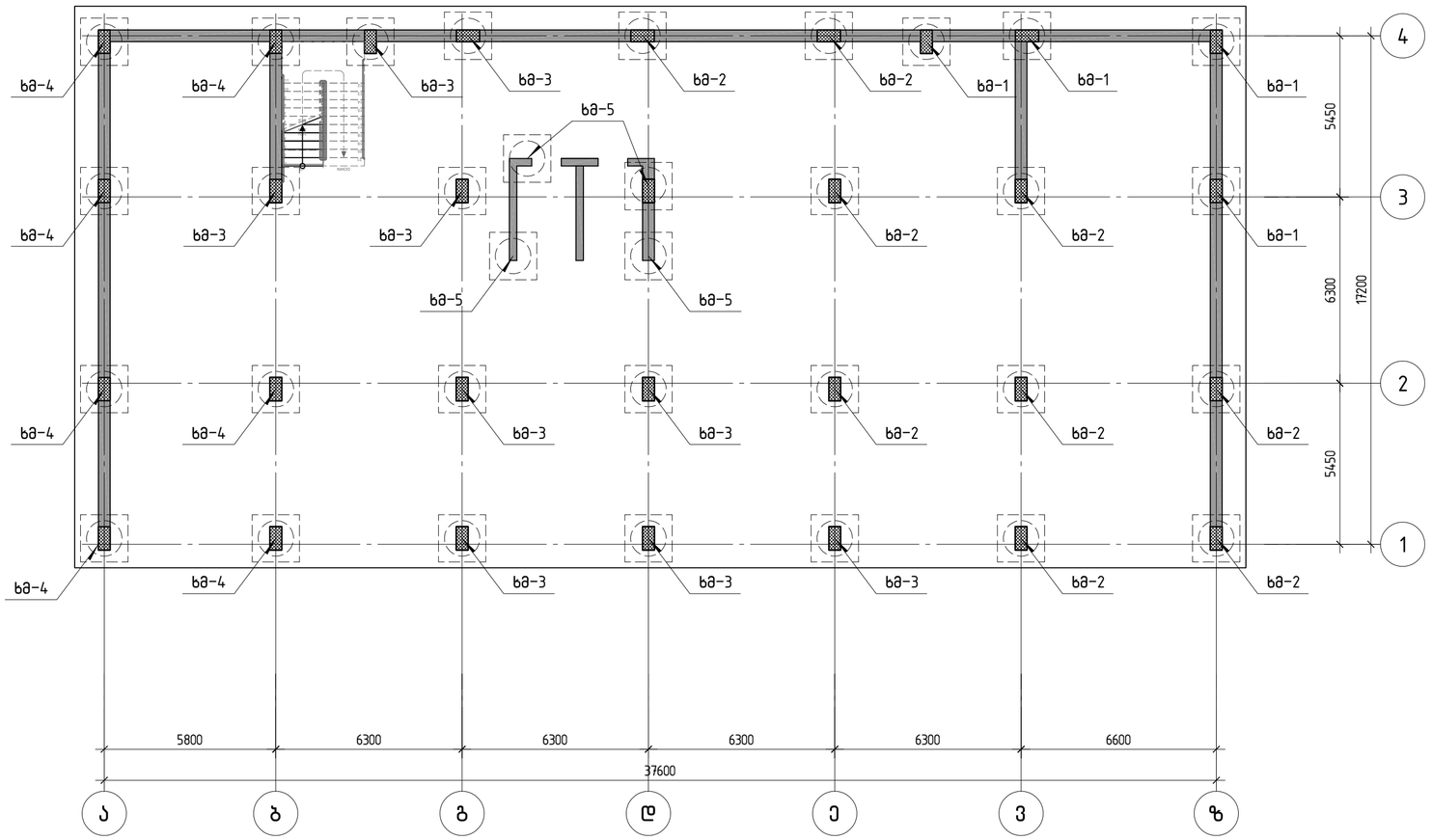


## ხიმინჯების რაოდენობა:

ხმ-1 ..... 4 ც
ხმ-2 ..... 9 ც
ხმ-3 ..... 9 ც
ხმ-4 ..... 7 ც
ხმ-5 ..... 4 ც


კონსტრუქტორი

შ.პ.ს "ჯი ენ პი"

ალ. ყაზბეგის გამზ. 14ბ
0160, თბილისი, საქართველო
+995599150088
Gipn.ltd@gmail.com


პროექტის დასახელება:

მრავალბინიანი საცხოვრებელი სახლი (ბლოკი "F")
ქ.თბილისი, "დელისი-3"-ის საცხოვრებელი რაიონის მიმდებარედ,
ინტენსიფიკაციის გზის სამხრეთით, (ნაკვეთი №1/124)

ნახაზის დასახელება:

ხიმინჯების განლაგების სქემა

| დახაზა | შეამოწმა | დაადასტურა |
|---|---|---|
| ლ.ჭ. | ო.ძ. | ო.ძ. |

| მასშტაბი | ფორმატი | თარიღი | რევიზია | ნახ.№ |
|---|---|---|---|---|
| 1:200 | A3 | | R1 | კ-101 |

# ხიმინჯი ხმ-1

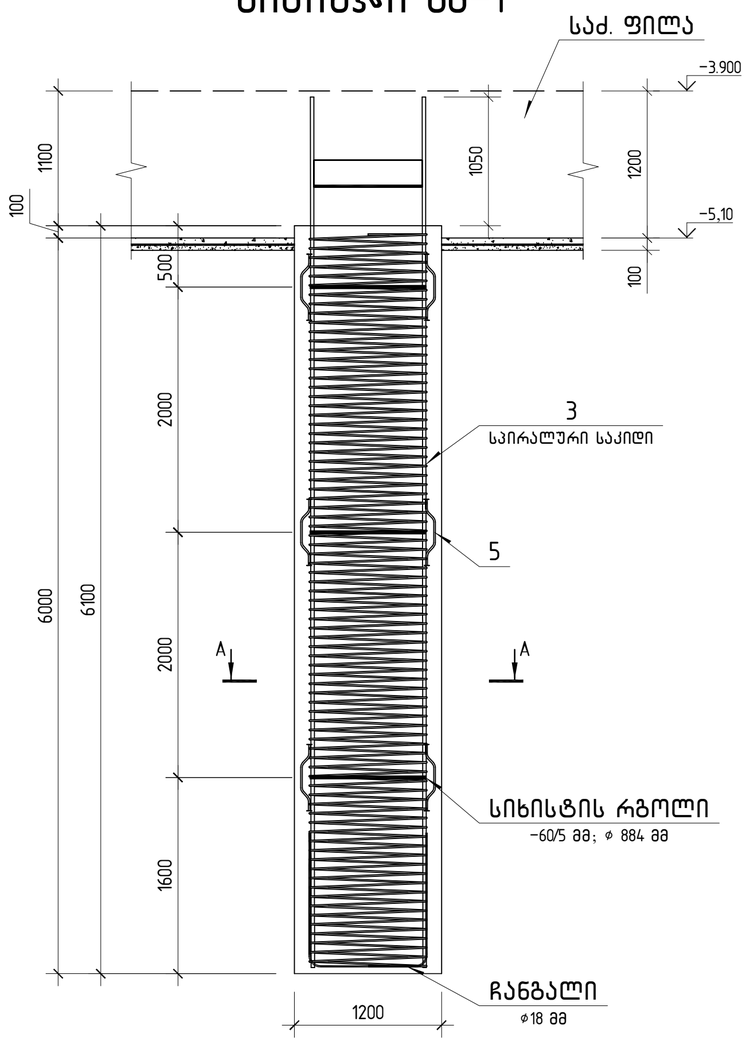


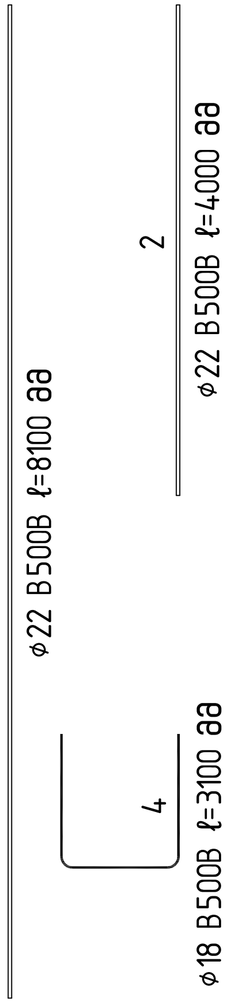


## კვეთი A-A

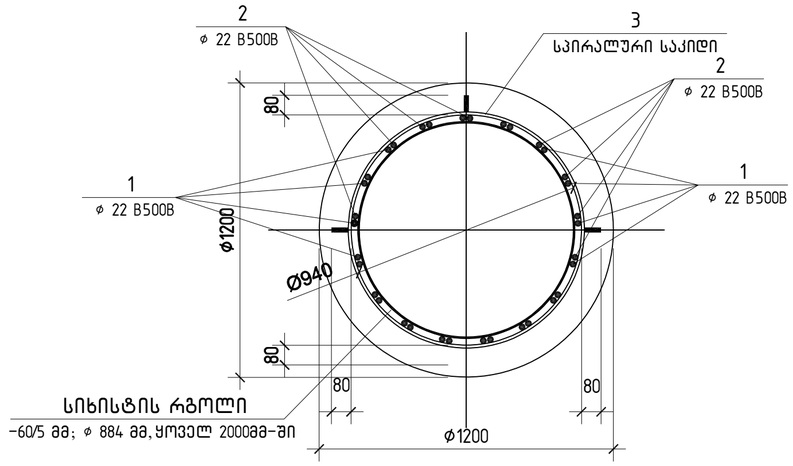


## პოზ. 3

სპირალური საკიდი

⌀ 14 / 75

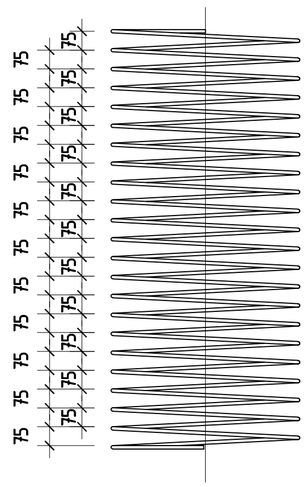


## პოზ. 4

ჩანგალი

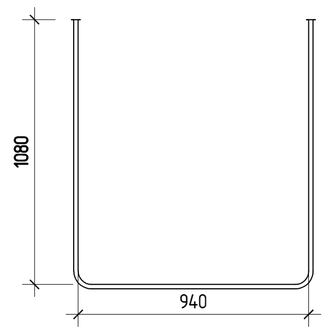


## პოზ. 5

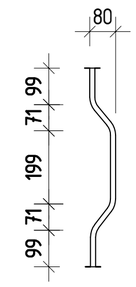


| პოზ. | ა ღ ნ ი შ ვ ნ ა | დ ა ს ა ხ ე ლ ე ბ ა | რაოდ. | შენიშვნა |
|---|---|---|---|---|
| | | ხიმინჯი ხმ-1 | | |
| 1 | | ⌀ 22 B500B ℓ= 7100 | 17 | 21.19 კგ |
| 2 | | ⌀ 22 B500B ℓ= 4000 | 17 | 11.94 კგ |
| 3 | | ⌀ 14 B500B ℓ= 243740 | 1 | 294.54 კგ |
| 4 | | ⌀ 18 B500B ℓ= 3100 | 3 | 6.19 კგ |
| 5 | | ⌀ 14 B500B ℓ= 590 | 16 | 0.71 კგ |
| 6 | | -60×5 884 | 5 | 6.54 კგ |
| | | *მასალები* | | |
| | | ბეტონი C50/60, წყალშეუღწ. W-8 | | 6.8 მ³ |


კონსტრუქტორი

შ.პ.ს "ჯი ენ პი"

ალ. ყაზბეგის გამზ. 14ბ
0160, თბილისი, საქართველო
+995599150088
Gipn.ltd@gmail.com


პროექტის დასახელება:

მრავალბინიანი საცხოვრებელი სახლი (ბლოკი "F")
ქ.თბილისი, "დელისი-3"-ის საცხოვრებელი რაიონის მიმდებარედ, ინტენსიფიკაციის გზის სამხრეთით, (ნაკვეთი №1/124)

ნახაზის დასახელება:

ხიმინჯი ხმ-1

| დახაზა | შეამოწმა | დაადასტურა |
|---|---|---|
| ლ.ჭ. | ო.ქ. | ო.ქ. |

| მასშტაბი | ფორმატი | თარიღი | რევიზია | ნახ.№ |
|---|---|---|---|---|
| 1:50 | A3 | | R1 | კ-102 |

# ხიმინჯი ხმ-2

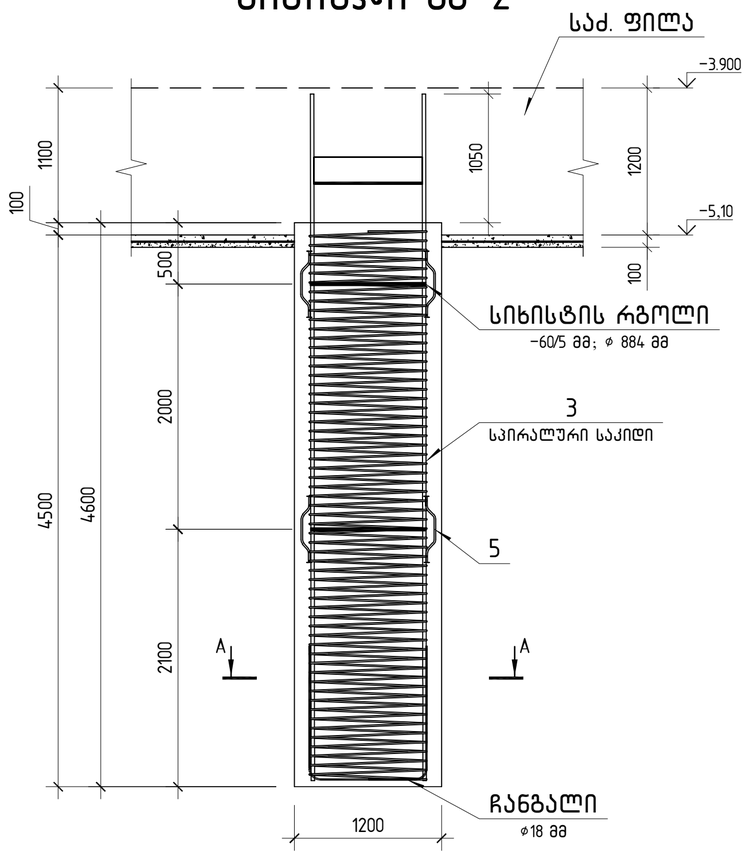


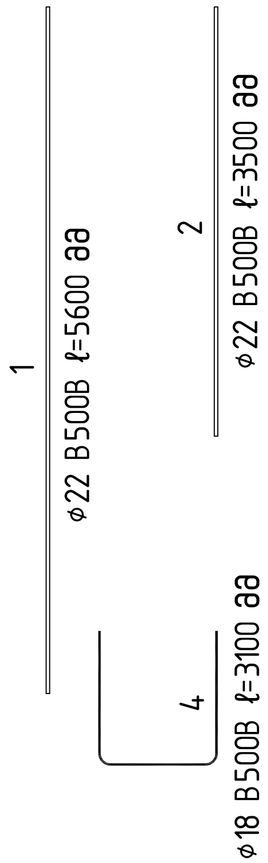


## კვეთი A-A

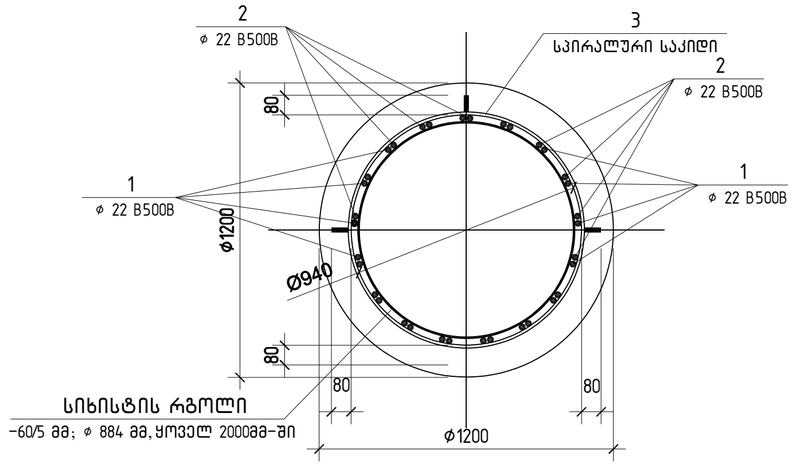


## პოზ. 3

სპირალური საკიდი

⌀ 14 / 75

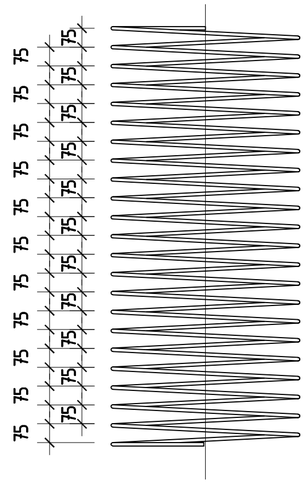


## პოზ. 4

ჩანგალი

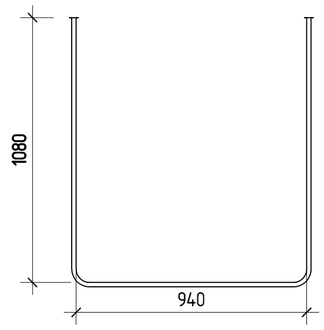


## პოზ. 5

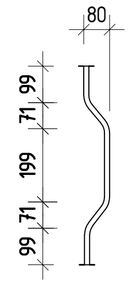


| პოზ. | ა ღ ნ ი შ ვ ნ ა | დ ა ს ა ხ ე ლ ე ბ ა | რაოდ. | შ ე ნ ი შ ვ ნ ა |
|---|---|---|---|---|
| | | ხიმინჯი ხმ-2 | | |
| 1 | | ⌀ 22 B500B ℓ= 5600 | 17 | 16.71 კგ |
| 2 | | ⌀ 22 B500B ℓ= 3500 | 17 | 10.44 კგ |
| 3 | | ⌀ 14 B500B ℓ= 182420 | 1 | 220.44 კგ |
| 4 | | ⌀ 18 B500B ℓ= 3100 | 3 | 6.19 კგ |
| 5 | | ⌀ 14 B500B ℓ= 590 | 12 | 0.71 კგ |
| 6 | | -60×5 884 | 4 | 6.54 კგ |
| | | მასალები | | |
| | | ბეტონი C50/60, წყალშეუღწ. W-8 | | 5.1 მ³ |

134.09
284.08
177.55
220.44
18.58
8.56
26.16
709.20

**კონსტრუქტორი**

შ.პ.ს "ჯი ენ პი"

ალ. ყაზბეგის გამზ. 14ბ
0160, თბილისი, საქართველო
+995599150088
Gipn.ltd@gmail.com

პროექტის დასახელება:

მრავალბინიანი საცხოვრებელი სახლი (ბლოკი "F")
ქ.თბილისი, "დელისი-3"-ის საცხოვრებელი რაიონის მიმდებარედ,
ინტენსიფიკაციის გზის სამხრეთით, (ნაკვეთი №1/124)

ნახაზის დასახელება:

ხიმინჯი ხმ-2

| დახაზა | შეამოწმა | დაადასტურა |
|---|---|---|
| ლ.ჭ. | ო.ქ. | ო.ქ. |

| მასშტაბი | ფორმატი | თარიღი | რევიზია | ნახ.№ |
|---|---|---|---|---|
| 1:50 | A3 | | R1 | კ-103 |

# ხიმინჯი ხმ-3

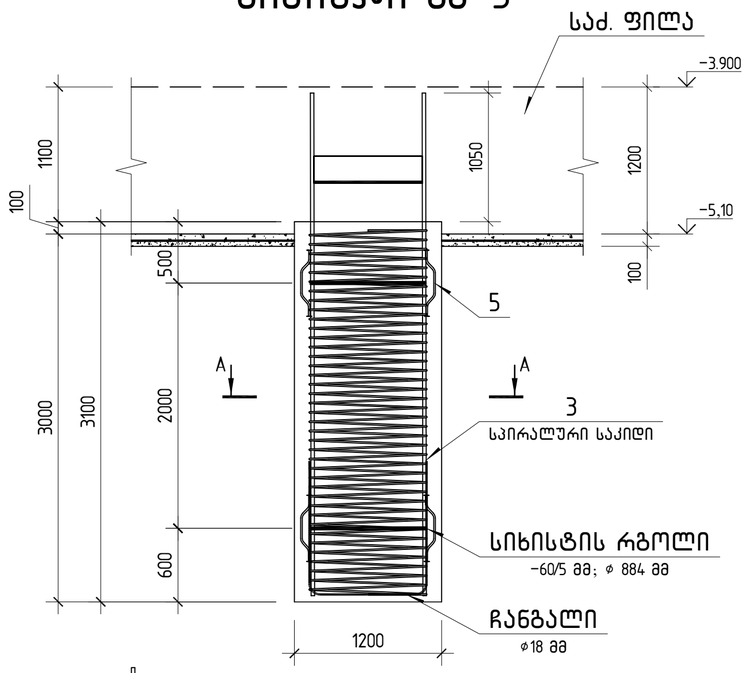


## კვეთი A-A

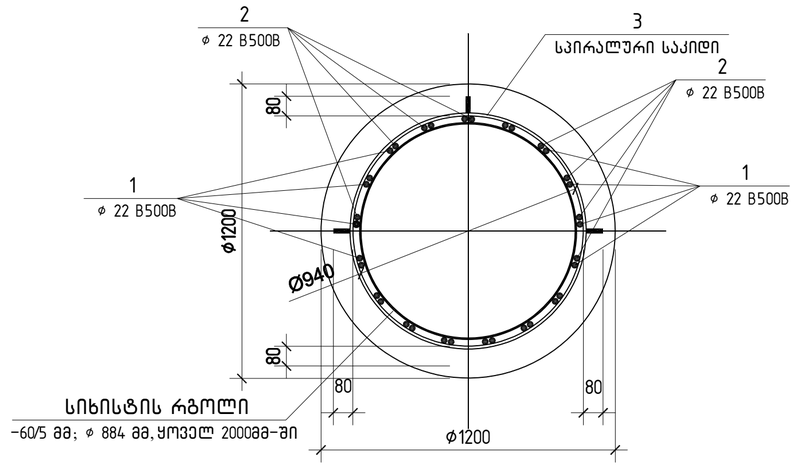


## პოზ. 3

სპირალური საკიდი

⌀ 14 / 75

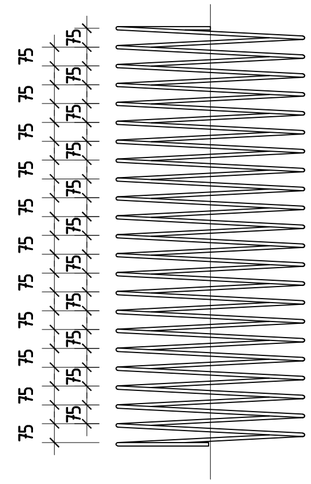


## პოზ. 4

ჩანგალი

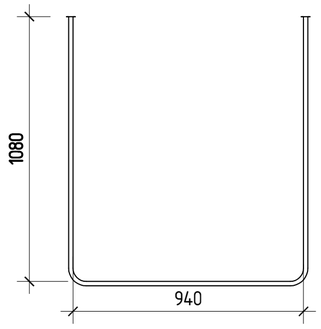


## პოზ. 5

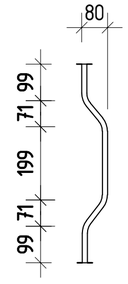


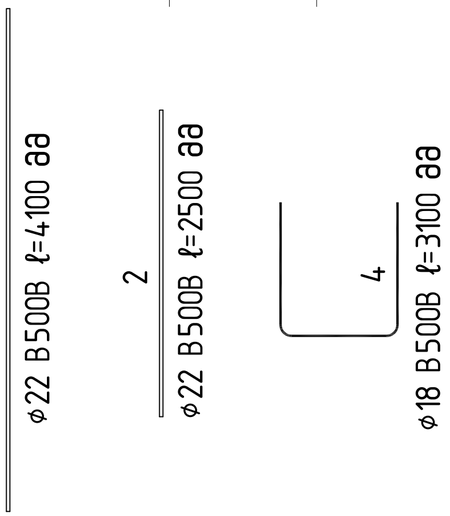


| პოზ. | ა ღ ნ ი შ ვ ნ ა | დ ა ს ა ხ ე ლ ე ბ ა | რაოდ. | შენიშვნა |
|---|---|---|---|---|
| | | ხიმინჯი ხმ-3 | | |
| 1 | | ⌀ 22 B500B ℓ= 4100 | 17 | 12.23 კგ |
| 2 | | ⌀ 22 B500B ℓ= 2500 | 17 | 7.46 კგ |
| 3 | | ⌀ 14 B500B ℓ= 121100 | 1 | 146.34 კგ |
| 4 | | ⌀ 18 B500B ℓ= 3100 | 3 | 6.19 კგ |
| 5 | | ⌀ 14 B500B ℓ= 590 | 8 | 0.71 კგ |
| 6 | | -60x5 884 | 3 | 6.54 კგ |
| | | მასალები | | |
| | | ბეტონი C50/60, წყალშეუღწ. W-8 | | 3.4 მ³ |


კონსტრუქტორი

შ.პ.ს "ჯი ენ პი"

ალ. ყაზბეგის გამზ. 14ბ
0160, თბილისი, საქართველო
+995599150088
Gipn.ltd@gmail.com


პროექტის დასახელება:

მრავალბინიანი საცხოვრებელი სახლი (ბლოკი "F")
ქ.თბილისი, "დელისი-3"-ის საცხოვრებელი რაიონის მიმდებარედ, ინტენსიფიკაციის გზის სამხრეთით, (ნაკვეთი №1/124)

ნახაზის დასახელება:

ხიმინჯი ხმ-3

| დახაზა | შეამოწმა | დაადასტურა |
|---|---|---|
| ლ.ჟ. | ო.ქ. | ო.ქ. |

| მასშტაბი | ფორმატი | თარიღი | რევიზია | ნახ.№ |
|---|---|---|---|---|
| 1:50 | A3 | | R1 | კ-104 |

# ხიმინჯი ხმ-4

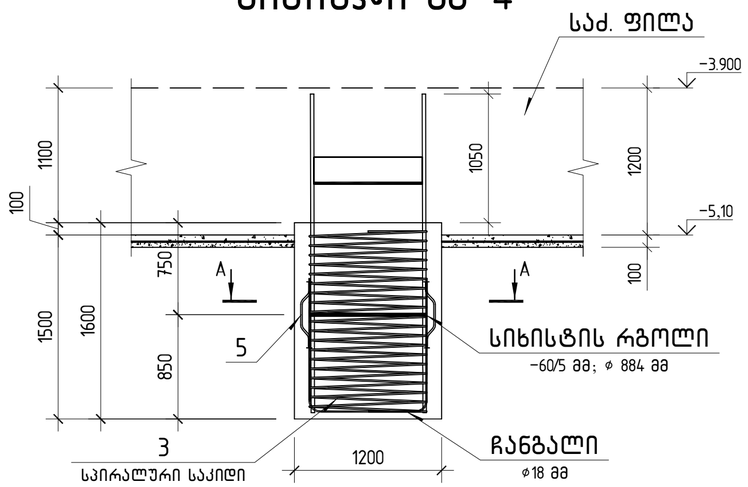


# კვეთი A-A

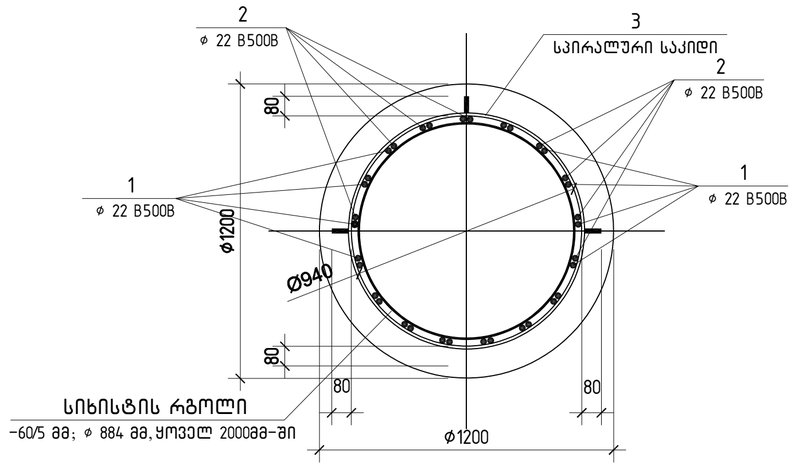


# პოზ. 3

## საპირალური საკიდი

⌀ 14 / 75

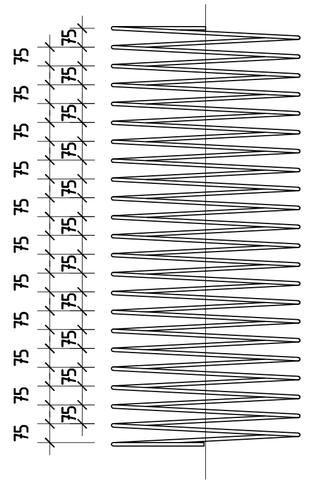
75
75
75

# ხიმინჯი ხმ-5

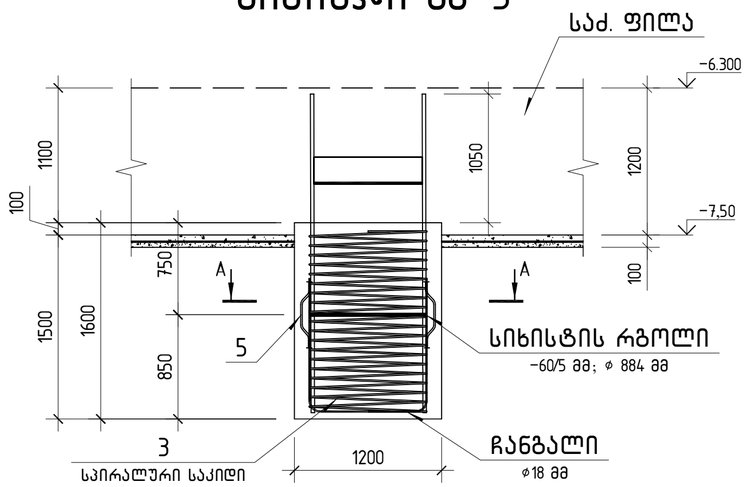


# კვეთი A-A

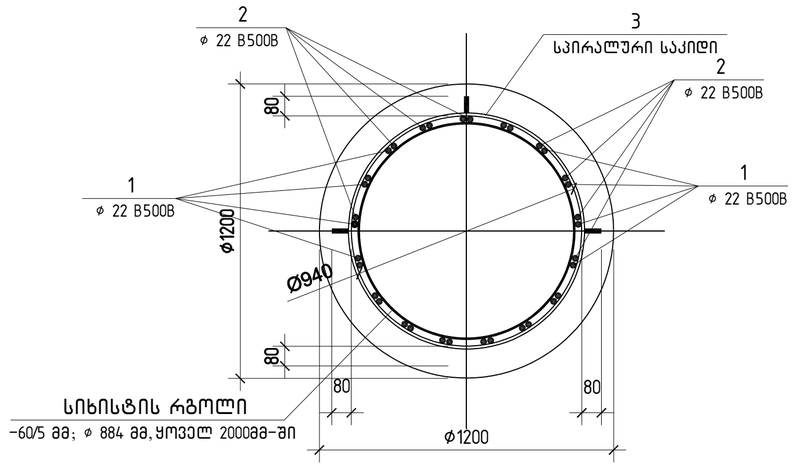


# პოზ. 3

## საპირალური საკიდი

⌀ 14 / 75

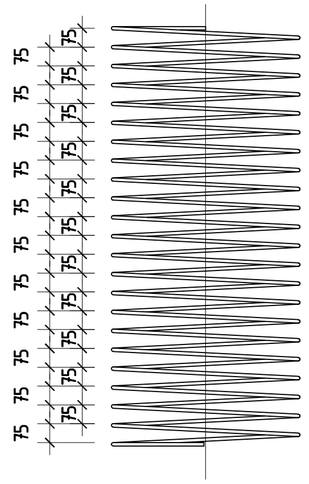
75
75
75

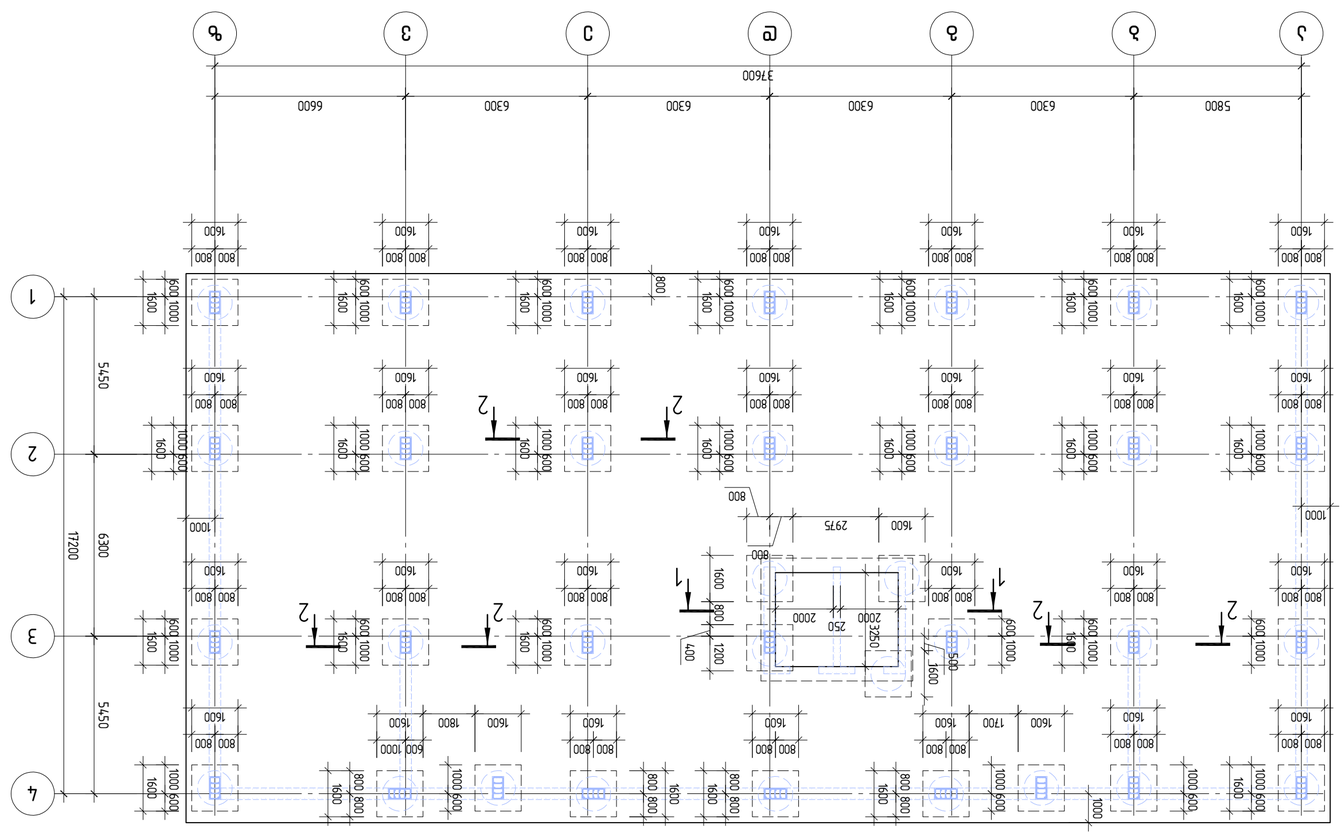


A2 1:150

| | | | |
|---|---|---|---|
| ձևանախագիծ | ՀՀ ԱՇԽԱՏԱՆՔՆԵՐԻ ՆԱԽԱՐԱՐՈՒԹՅԱՆ ՇԻՆԱՐԱՐՈՒԹՅԱՆ ԵՎ ՀԱՄԱՅՆՔԱՅԻՆ ԶԱՐԳԱՑՄԱՆ ՊԵՏԱԿԱՆ ԿՈՄԻՏԵ | | |
| ՀԱՍՏԱՏՈՂ | | ՀՀ, ԱՐԱՐԱՏԻ ՄԱՐԶ, ՄԱՍԻՍ ՀԱՄԱՅՆՔ, ԳՈՒՅԱՔԱՎԱՅՐ ՀԱՄԱՅՆՔԱՊԵՏԱՐԱՆ | |
| ՊԱՏՎԻՐԱՏՈՒ | ՀՀ ԱՇԽԱՏԱՆՔՆԵՐԻ ՆԱԽԱՐԱՐՈՒԹՅԱՆ ՇԻՆԱՐԱՐՈՒԹՅԱՆ ԵՎ ՀԱՄԱՅՆՔԱՅԻՆ ԶԱՐԳԱՑՄԱՆ ՊԵՏԱԿԱՆ ԿՈՄԻՏԵԻ ՆԱԽԱԳԱՀ | | |
| ՀԵՂԻՆԱԿ | | ՀՀ, ԱՐԱՐԱՏԻ ՄԱՐԶ, ԳՈՒՅԱՔԱՎԱՅՐ ՀԱՄԱՅՆՔԱՊԵՏԱՐԱՆ | |
| ՀԱՍՏԱՏՈՂ | | ՀՀ, ԱՐԱՐԱՏԻ ՄԱՐԶ, ՄԱՍԻՍ ՀԱՄԱՅՆՔ, ԳՈՒՅԱՔԱՎԱՅՐ ՀԱՄԱՅՆՔԱՊԵՏԱՐԱՆ | |
| ՊԱՏՎԻՐԱՏՈՒ | ՀՀ ԱՇԽԱՏԱՆՔՆԵՐԻ ՆԱԽԱՐԱՐՈՒԹՅԱՆ ՇԻՆԱՐԱՐՈՒԹՅԱՆ ԵՎ ՀԱՄԱՅՆՔԱՅԻՆ ԶԱՐԳԱՑՄԱՆ ՊԵՏԱԿԱՆ ԿՈՄԻՏԵԻ ՆԱԽԱԳԱՀ | | |
| ՀԵՂԻՆԱԿ | | ՀՀ, ԱՐԱՐԱՏԻ ՄԱՐԶ, ԳՈՒՅԱՔԱՎԱՅՐ ՀԱՄԱՅՆՔԱՊԵՏԱՐԱՆ | |
| ՀԱՍՏԱՏՈՂ | | ՀՀ, ԱՐԱՐԱՏԻ ՄԱՐԶ, ՄԱՍԻՍ ՀԱՄԱՅՆՔ, ԳՈՒՅԱՔԱՎԱՅՐ ՀԱՄԱՅՆՔԱՊԵՏԱՐԱՆ | |
| ՊԱՏՎԻՐԱՏՈՒ | ՀՀ ԱՇԽԱՏԱՆՔՆԵՐԻ ՆԱԽԱՐԱՐՈՒԹՅԱՆ ՇԻՆԱՐԱՐՈՒԹՅԱՆ ԵՎ ՀԱՄԱՅՆՔԱՅԻՆ ԶԱՐԳԱՑՄԱՆ ՊԵՏԱԿԱՆ ԿՈՄԻՏԵԻ ՆԱԽԱԳԱՀ | | |
| ՀԵՂԻՆԱԿ | | ՀՀ, ԱՐԱՐԱՏԻ ՄԱՐԶ, ԳՈՒՅԱՔԱՎԱՅՐ ՀԱՄԱՅՆՔԱՊԵՏԱՐԱՆ | |
| ՀԱՍՏԱՏՈՂ | | ՀՀ, ԱՐԱՐԱՏԻ ՄԱՐԶ, ՄԱՍԻՍ ՀԱՄԱՅՆՔ, ԳՈՒՅԱՔԱՎԱՅՐ ՀԱՄԱՅՆՔԱՊԵՏԱՐԱՆ | |
| ՊԱՏՎԻՐԱՏՈՒ | ՀՀ ԱՇԽԱՏԱՆՔՆԵՐԻ ՆԱԽԱՐԱՐՈՒԹՅԱՆ ՇԻՆԱՐԱՐՈՒԹՅԱՆ ԵՎ ՀԱՄԱՅՆՔԱՅԻՆ ԶԱՐԳԱՑՄԱՆ ՊԵՏԱԿԱՆ ԿՈՄԻՏԵԻ ՆԱԽԱԳԱՀ | | |
| ՀԵՂԻՆԱԿ | | ՀՀ, ԱՐԱՐԱՏԻ ՄԱՐԶ, ԳՈՒՅԱՔԱՎԱՅՐ ՀԱՄԱՅՆՔԱՊԵՏԱՐԱՆ | |
| ՀԱՍՏԱՏՈՂ | | ՀՀ, ԱՐԱՐԱՏԻ ՄԱՐԶ, ՄԱՍԻՍ ՀԱՄԱՅՆՔ, ԳՈՒՅԱՔԱՎԱՅՐ ՀԱՄԱՅՆՔԱՊԵՏԱՐԱՆ | |
| ՊԱՏՎԻՐԱՏՈՒ | ՀՀ ԱՇԽԱՏԱՆՔՆԵՐԻ ՆԱԽԱՐԱՐՈՒԹՅԱՆ ՇԻՆԱՐԱՐՈՒԹՅԱՆ ԵՎ ՀԱՄԱՅՆՔԱՅԻՆ ԶԱՐԳԱՑՄԱՆ ՊԵՏԱԿԱՆ ԿՈՄԻՏԵԻ ՆԱԽԱԳԱՀ | | |
| ՀԵՂԻՆԱԿ | | ՀՀ, ԱՐԱՐԱՏԻ ՄԱՐԶ, ԳՈՒՅԱՔԱՎԱՅՐ ՀԱՄԱՅՆՔԱՊԵՏԱՐԱՆ | |

ՀԱՄԱՅՆՔԱՅԻՆ ՇԵՆՔԵՐԻ ՀԱՄԱԼԻՐ ՎԵՐԱԿԱՆԳՆՈՒՄ

ՀՀ, ԱՐԱՐԱՏԻ ՄԱՐԶ, ՄԱՍԻՍ ՀԱՄԱՅՆՔ, ԳՈՒՅԱՔԱՎԱՅՐ

**ՀՀ ԳՀ ՈՒՀ "ՀԻՊ" ՓԲԸ**

+99559915008B

Gipn1fd@gmail.com

ձևանախագիծ ԵՎ ԱՇԽԱՏԱՆՔՆԵՐԻ ՆԱԽԱՐԱՐՈՒԹՅԱՆ ՇԻՆԱՐԱՐՈՒԹՅԱՆ ԵՎ ՀԱՄԱՅՆՔԱՅԻՆ ԶԱՐԳԱՑՄԱՆ ՊԵՏԱԿԱՆ ԿՈՄԻՏԵԻ ՆԱԽԱԳԱՀ.

ՀՀ, ԱՐԱՐԱՏԻ ՄԱՐԶ, ՄԱՍԻՍ ՀԱՄԱՅՆՔ, ԳՈՒՅԱՔԱՎԱՅՐ ՀԱՄԱՅՆՔԱՊԵՏԱՐԱՆ ՇԻՆԱՐԱՐՈՒԹՅԱՆ ԵՎ ՀԱՄԱՅՆՔԱՅԻՆ ԶԱՐԳԱՑՄԱՆ ՊԵՏԱԿԱՆ ԿՈՄԻՏԵԻ ՆԱԽԱԳԱՀ ՀԱՅԿ ՍԱՐԳՍՅԱՆԻ ՀԱՄԱՐ ՀԱՄԱՅՆՔԱՅԻՆ ՍԵՓԱԿԱՆՈՒԹՅԱՆ ԻՐԱՎՈՒՆՔՈՎ ՀՈՂԱՄԱՍԻ ՎՐԱ ԿԱՌՈՒՑՎԱԾ ՀԱՄԱՅՆՔԱՅԻՆ ՇԵՆՔԵՐԻ ՀԱՄԱԼԻՐ ՎԵՐԱԿԱՆԳՆՈՒՄ

ՀՀ, ԱՐԱՐԱՏԻ ՄԱՐԶ, ՄԱՍԻՍ ՀԱՄԱՅՆՔ, ԳՈՒՅԱՔԱՎԱՅՐ ՀԱՄԱՅՆՔԱՊԵՏԱՐԱՆ

| | | | | |
|---|---|---|---|---|
| ձևաթղթի համարը | ֆորմատը | փուլը | գծագրի համարը | նշումը |
| 1:150 | A2 | R1 | Ա233Ի/ԱՇ | ճկ№ |
| ճշտված | ստուգեց | | ներկայացրեց | ճկ№ |
| Ա.Ա. | Ա.Ա. | | Ա.Ա. | ժ-107 |

A2 1:150

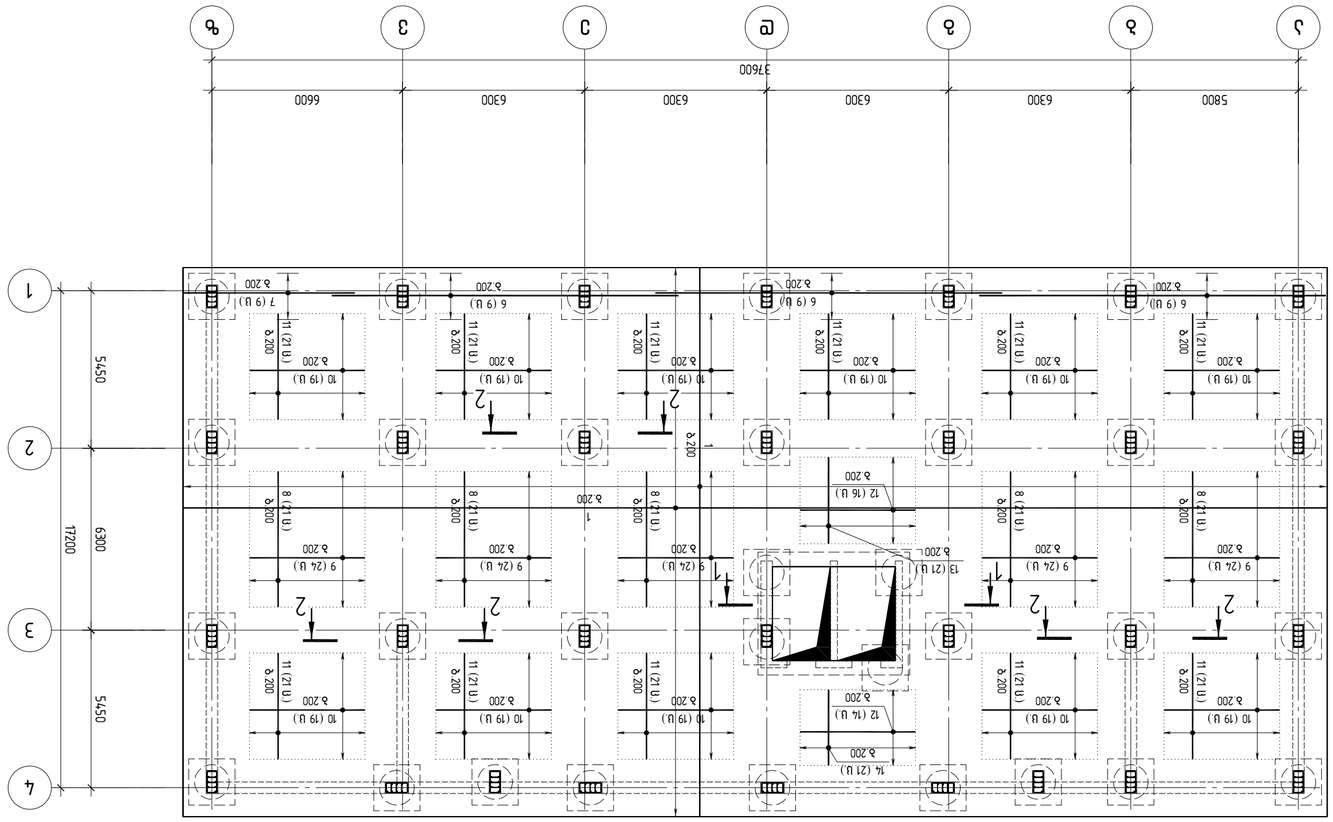
1
2
3
4
11200
5450
6300
5450
37600
5800
6300
6300
6300
6600
ג
ב
א
ד
ה
ו
ז
ח
ט
י
כ
ל
מ
נ
ס
ע
פ
צ
ק
ר
ש
ת
א
ב
ג

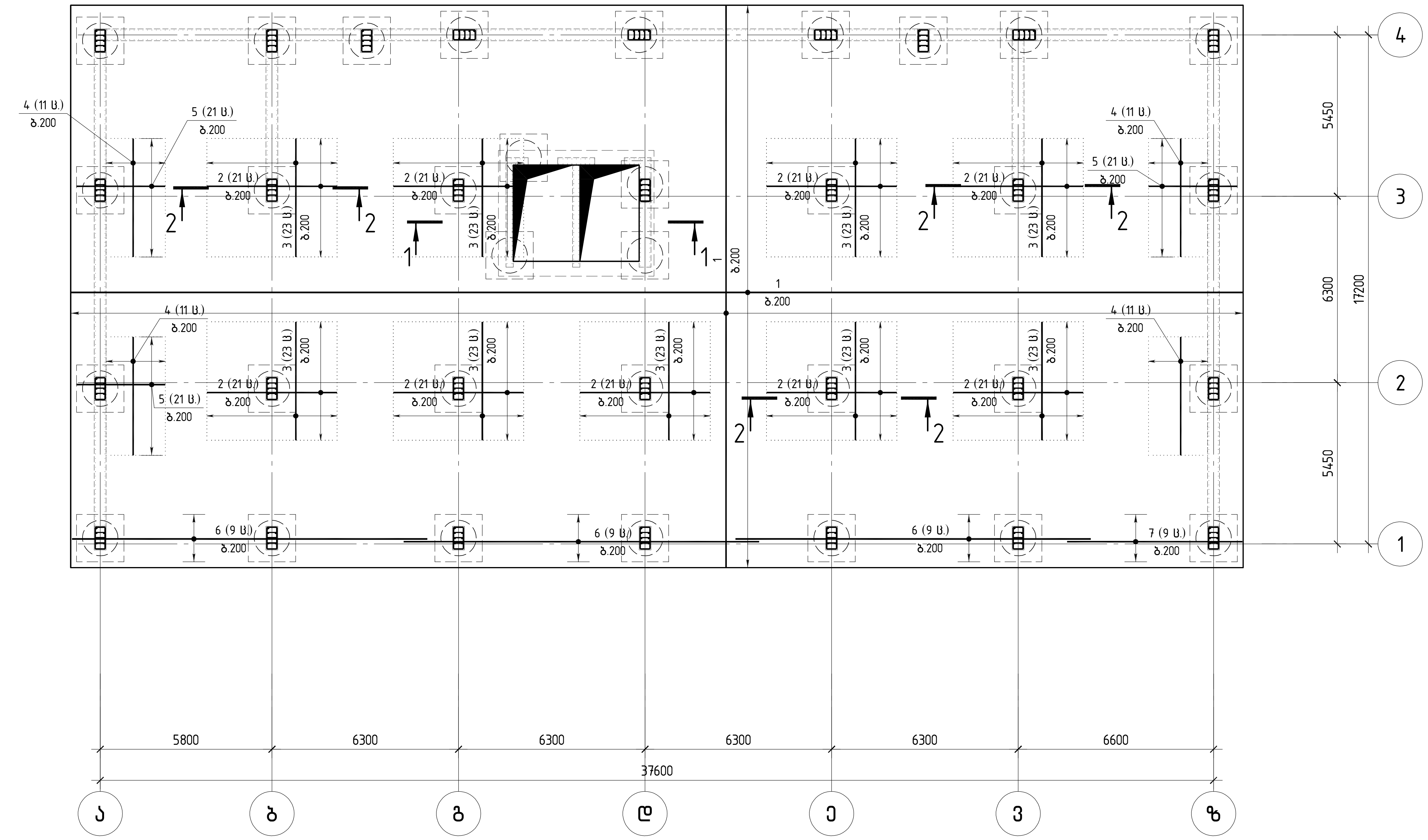


კონსტრუქტორი
შ.პ.ს "ჯი ენ პი"
ალ. ყაზბეგის გამზ. 14ბ
0160, თბილისი, საქართველო
+995599150088
Gipn.ltd@gmail.com

პროექტის დასახელება:

მრავალბინიანი საცხოვრებელი სახლი (ბლოკი "F")
ქ.თბილისი, "დელისი-3"-ის საცხოვრებელი რაიონის მიმდებარედ,
ინტენსიფიკაციის გზის სამხრეთით, (ნაკვეთი №1/124)

ნახაზის დასახელება:

საძირკვლის ფილის არმირება
(ზედა ფენა)

| დახაზა | შეამოწმა | დაადასტურა |
|---|---|---|
| მ.მ. | ო.ქ. | ო.ქ. |

| მასშტაბი | ფორმატი | თარიღი | რევიზია | ნახ.№ |
|---|---|---|---|---|
| 1:150 | A2 | | R1 | კ-109 |

A2 1:150

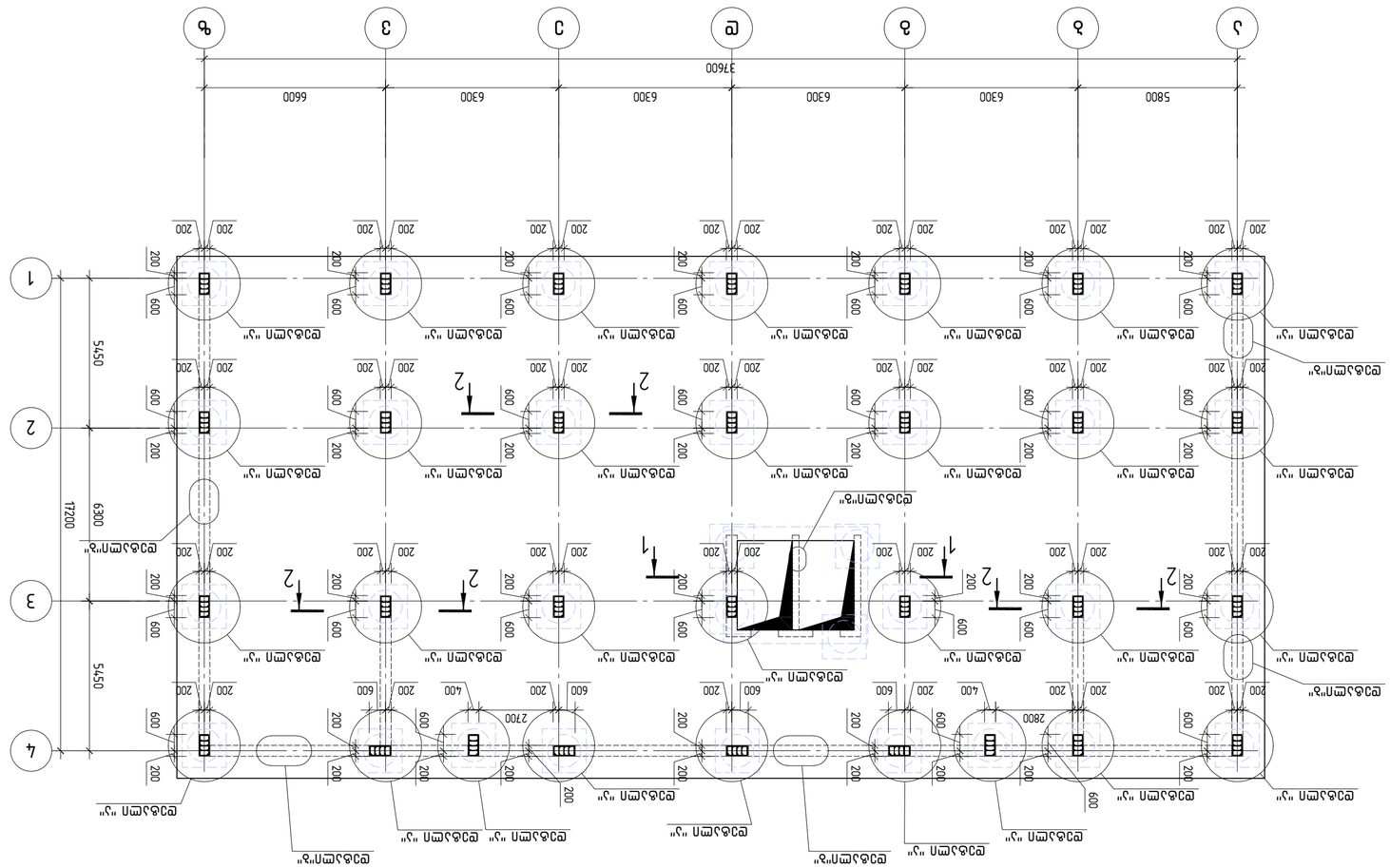


| | | | | |
|---|---|---|---|---|
| Изм. | Кол.уч. | Лист | № док. | Подп. |
| Разраб. | | | | |
| Пров. | | | | |
| Н.контр. | | | | |
| ГИП | | | | |

Монолитный ростверк

ООО "Гипрофундамент"
+79555991500 88
Gipro1fnd@gmail.com

Фундамент монолитный ленточный (высота 1,5м) под колонны 1-го этажа. Отметка верха фундамента -3,150. Отметка подошвы фундамента -4,650. Бетон В25 F150 W6. Арматура А500С.

Фундамент ленточный монолитный железобетонный

Монолитный ростверк

| | | |
|---|---|---|
| Стадия | Лист | Листов |
| Р | 1 | 1 |

| | | | | |
|---|---|---|---|---|
| Формат | Зона | Поз. | Обозначение | Наименование |
| А2 | | | | Фундамент монолитный ленточный |

| | | | |
|---|---|---|---|
| Инв.№ подл. | Подп. и дата | Взам.инв.№ | Инв.№ дубл. |

## 1-1

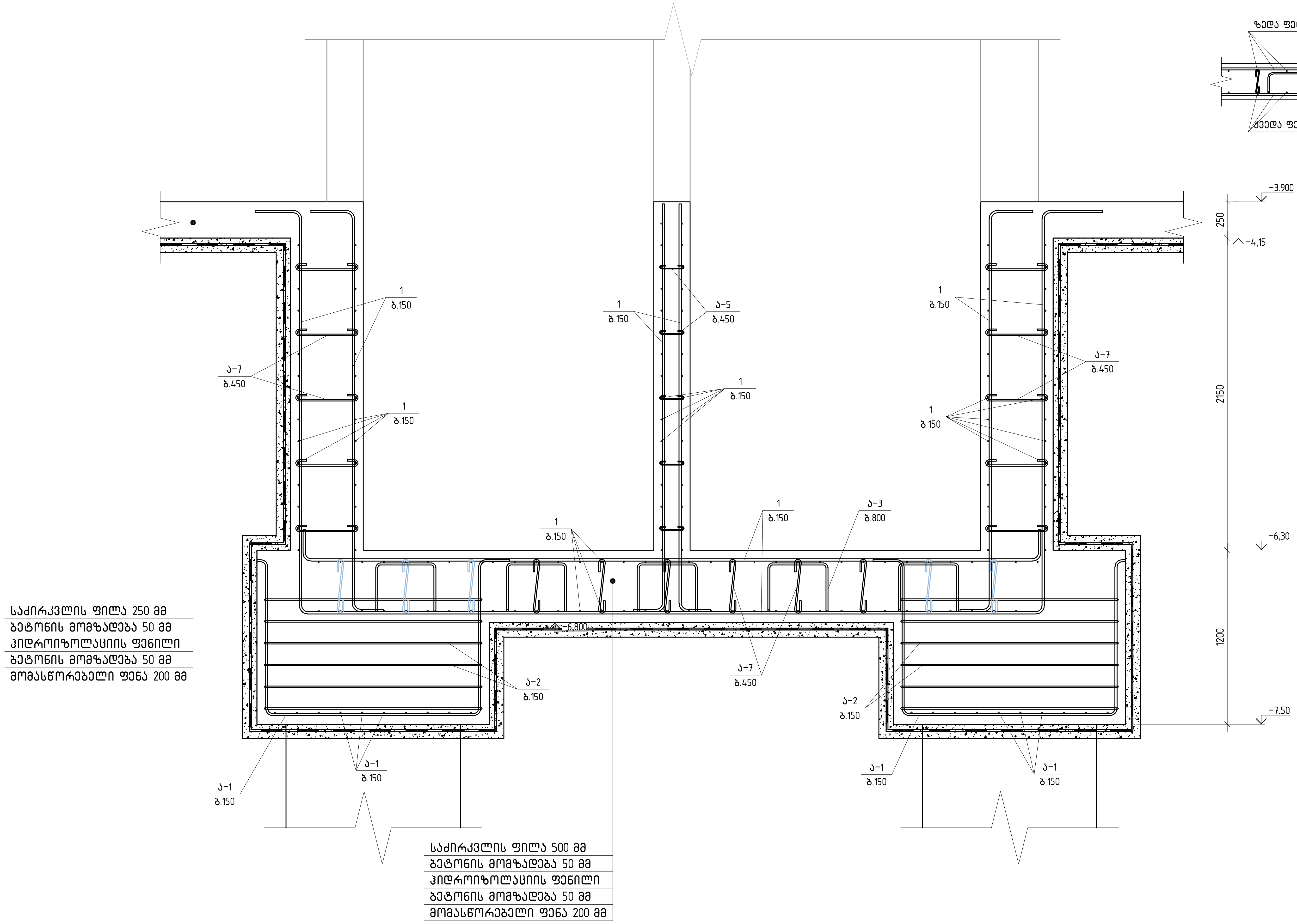


## 2-2

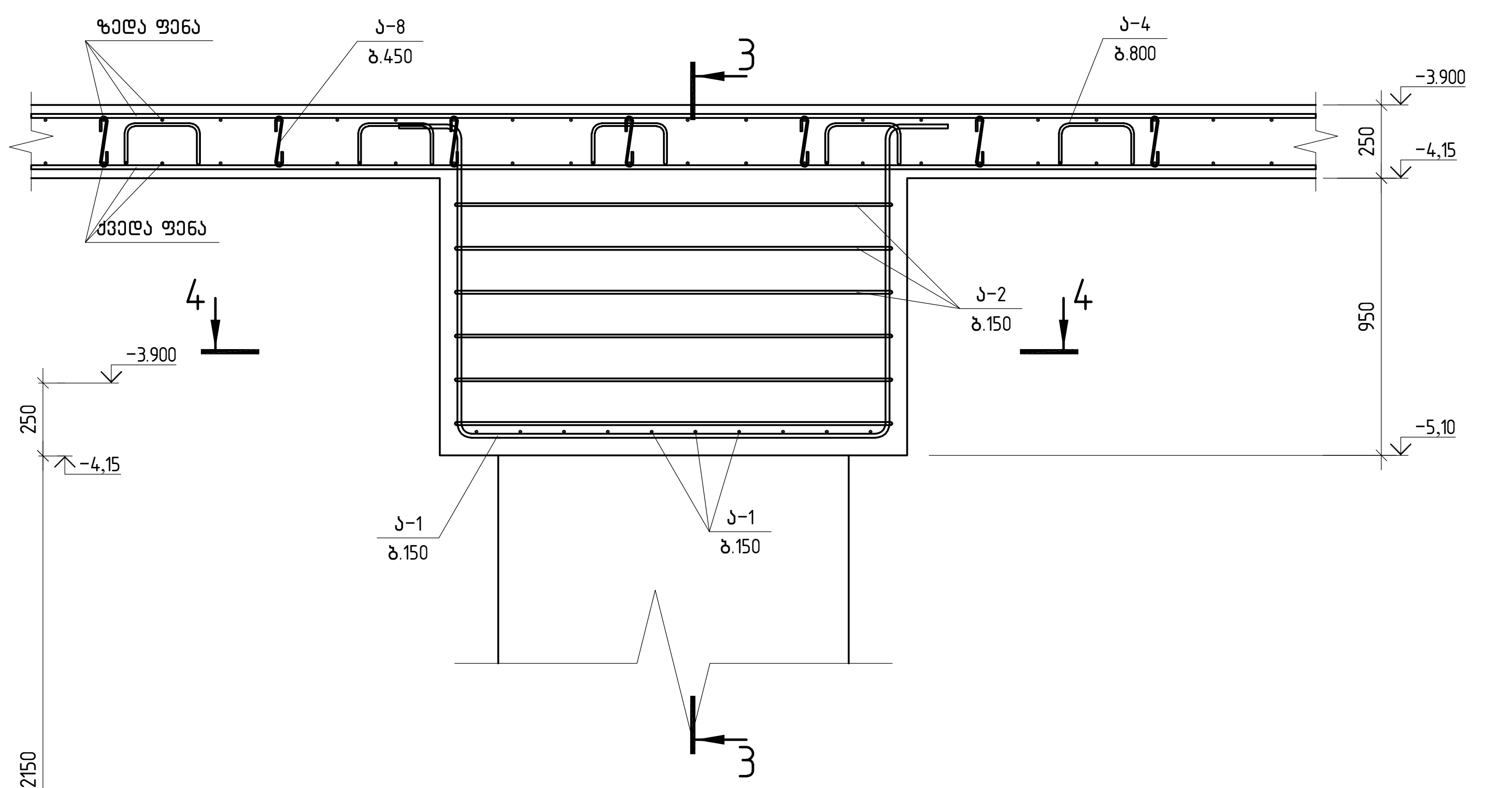


## კოზ. ა-1

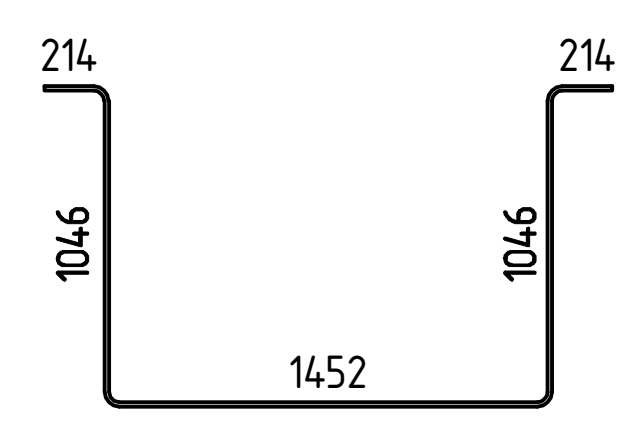


## კოზ. ა-2

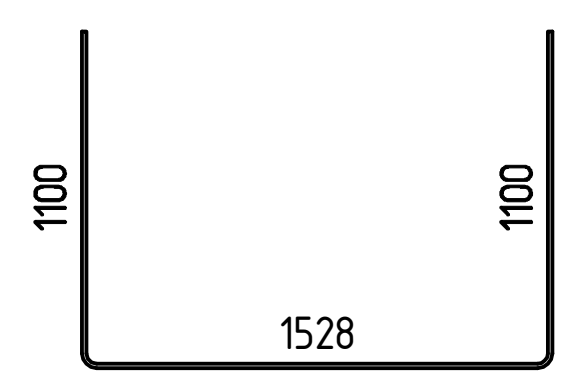


## კოზ. ა-3

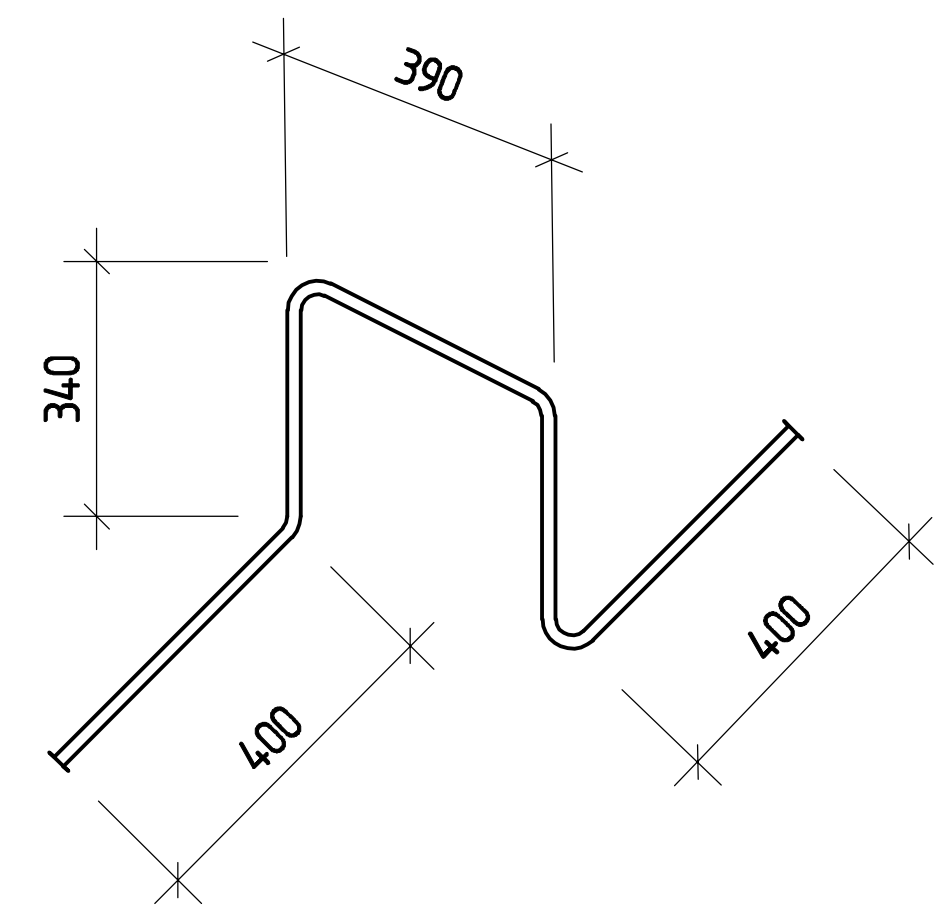


## კოზ. ა-4

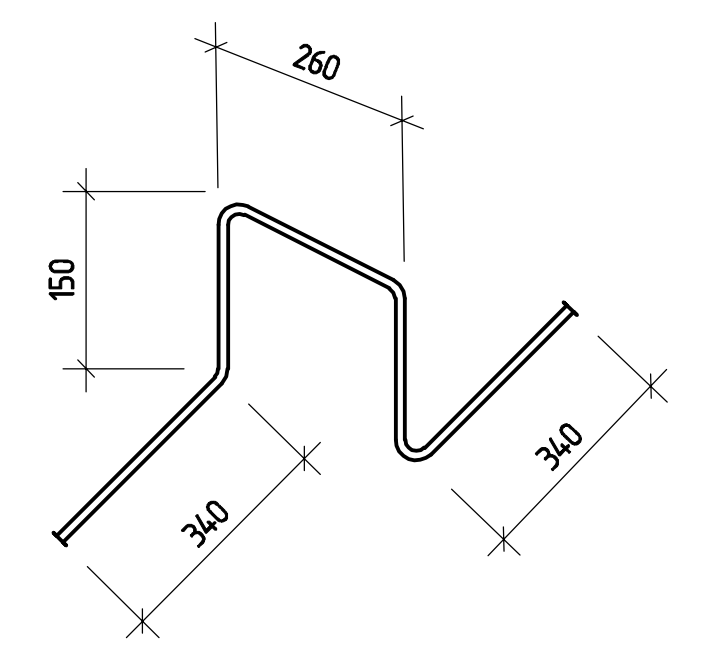


## 3-3

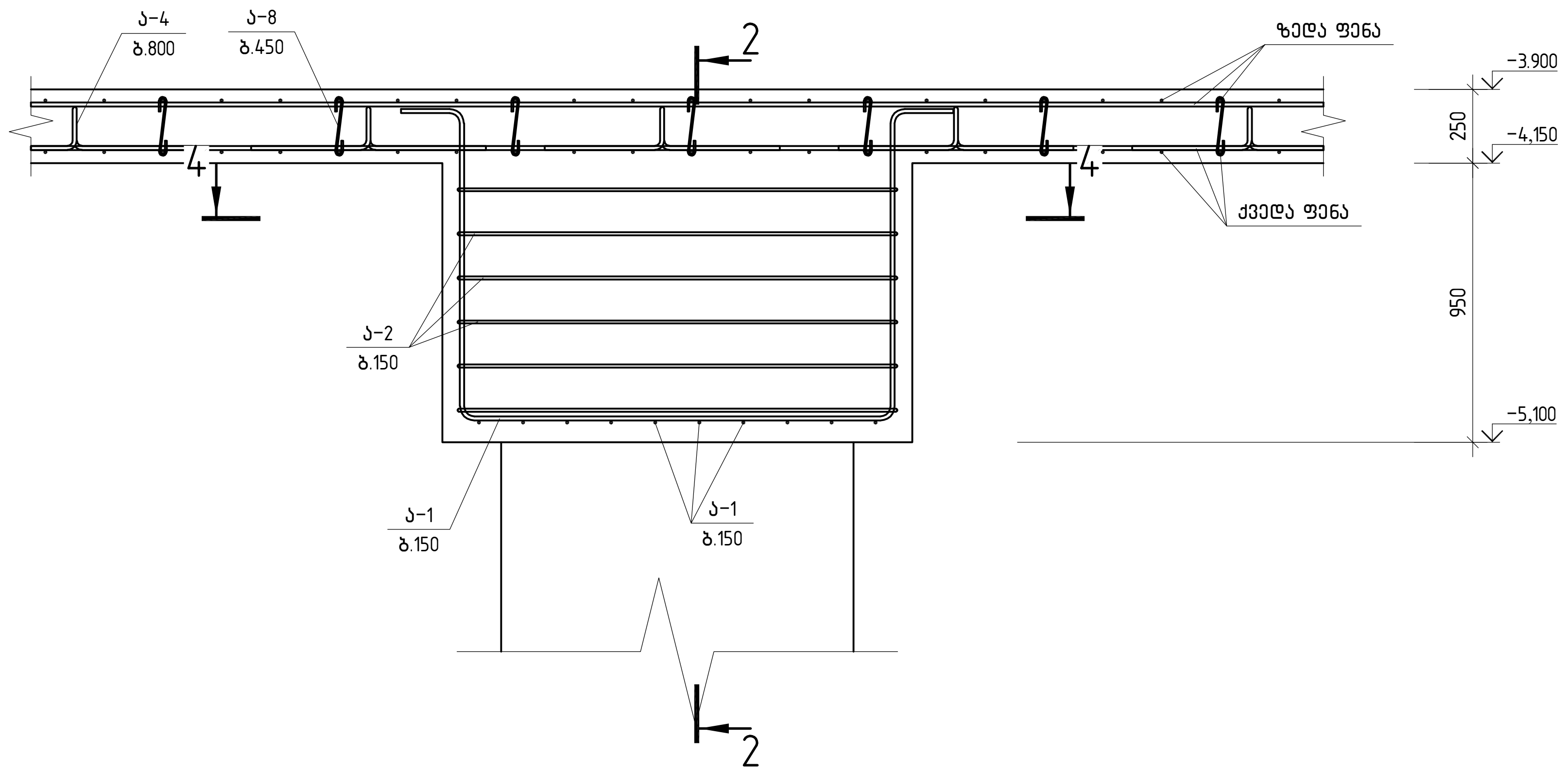


## 4-4

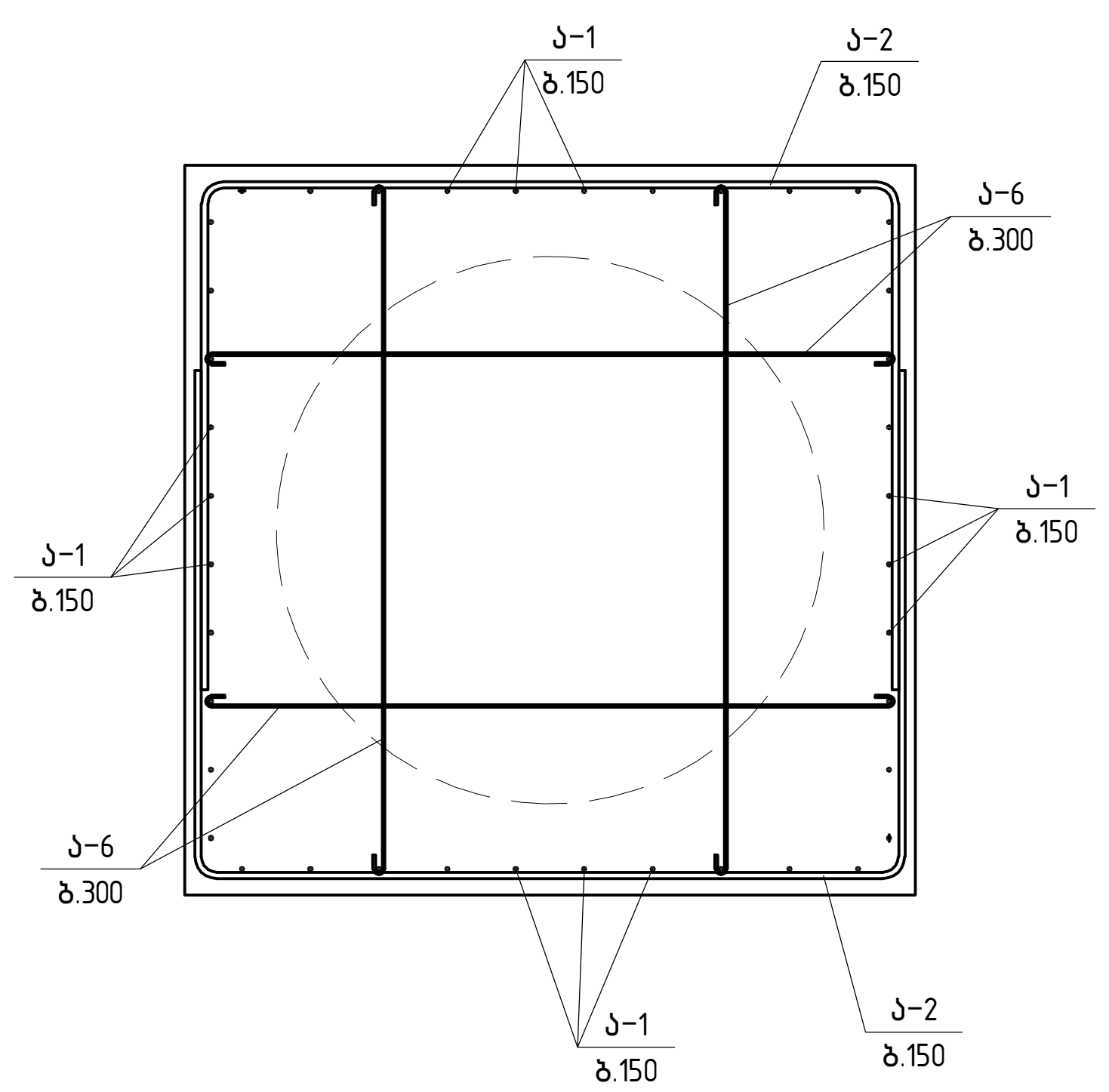


## კოზ. ა-6

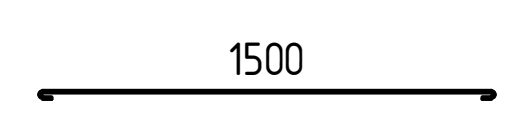


A2 1:25


კონსტრუქტორი

შ.პ.ს "ჯი ენ პი"

ალ. ყაზბეგის გამზ. 14.ბ
0160, თბილისი, საქართველო
+995599150088
Gipn.ltd@gmail.com


პროექტის დასახელება:

მრავალბინიანი საცხოვრებელი სახლი (ბლოკი "F")
ქ.თბილისი, "დელისი-3"-ის საცხოვრებელი რაიონის მიმდებარედ, ინტენსიფიკაციის ზონის სამხრეთით, (ნაკვეთი №1/124)

ნახაზის დასახელება:

საძირკვლის კვეთები

| დახაზა | შეამოწმა | დაადასტურა |
|---|---|---|
| მ.მ. | ო.ქ. | ო.ქ. |

| მასშტაბი | ფორმატი | თარიღი | რევიზია | ნახ.№ |
|---|---|---|---|---|
| 1:25 | A2 | | R1 | კ- 111 |

| Зид. | | Шифр | Дължина m, kg | Общо тегло kg |
|---|---|---|---|---|
| | Елемент Е1 | | | |
| 1 | ø16 A500C L=17 550.3 m | | 1.58 | 27 729.47 |
| | ø18 A500C | | | |
| 2 | L=4400 | 189 | 8.79 | 1661.5 |
| 3 | L=4000 | 207 | 7.99 | 1654.3 |
| | ø16 A500C | | | |
| 4 | L=4000 | 44 | 6.31 | 277.7 |
| 5 | L=3000 | 63 | 4.73 | 298.2 |
| | ø14 A500C | | | |
| 6 | L=12000 | 54 | 14.50 | 782.8 |
| 7 | L=5920 | 18 | 7.15 | 128.7 |
| 8 | L=4690 | 105 | 5.67 | 594.9 |
| 9 | L=4000 | 120 | 4.83 | 579.8 |
| | ø12 A500C | | | |
| 10 | L=4000 | 209 | 3.55 | 742.4 |
| 11 | L=3670 | 231 | 3.26 | 752.8 |
| | ø10 A500C | | | |
| 12 | L=4000 | 30 | 2.46 | 73.9 |
| 13 | L=3000 | 21 | 1.85 | 38.8 |
| 14 | L=2625 | 21 | 1.62 | 34.0 |
| | ø14 B500B | | | |
| З-1 | L=4000 | 660 | 4.84 | 3194.40 |
| З-2 | L=3720 | 396 | 4.50 | 1782.48 |
| | ø12 B500B | | | |
| З-3 | L=1880 | 25 | 1.67 | 41.83 |
| | ø12 B500B | | | |
| З-4 | L=1240 | 1155 | 1.10 | 1274.66 |
| | ø8 B500B | | | |
| Ј-5 | L=270 | 35 | 0.11 | 3.73 |
| Ј-6 | L=1610 | 396 | 0.64 | 251.84 |
| Ј-7 | L=560 | 210 | 0.22 | 46.45 |
| Ј-8 | L=290 | 3650 | 0.11 | 418.11 |
| | ø25 B500B | | | |
| Ѕ-1 | L=3000 | 660 | 11.55 | 7623.00 |
| | ø16 B500B | | | |
| Ѕ-2 | L=1375 | 980 | 2.17 | 2129.05 |
| | ø14 B500B | | | |
| Ѕ-3 | L=950 | 128 | 1.15 | 147.14 |
| | ø8 B500B | | | |
| Ѕ-4 | L=2260 | 90 | 0.89 | 80.34 |
| | Елементи | | | 76613 |
| | B30 Дпсълно бетон | | 298.64 | m³ |
| | | | | 62 |

## Детайли

### Детайл "а"

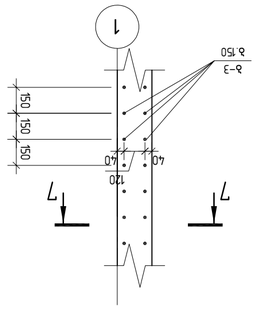


### Детайл "б"

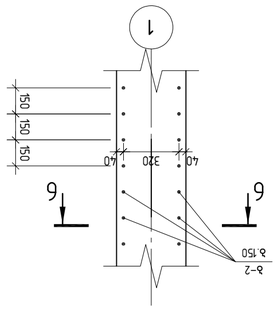


### Детайл "в"

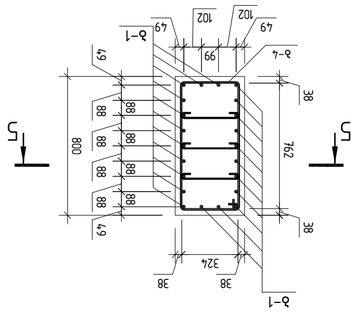


### Разрез 5–5

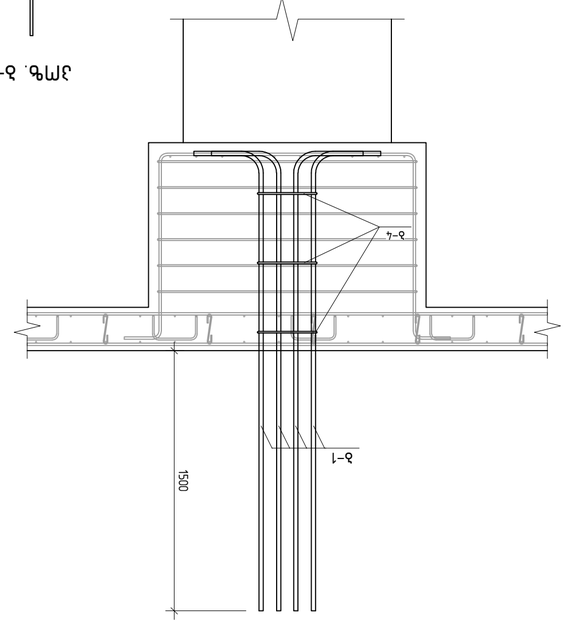


### Разрез 7–7

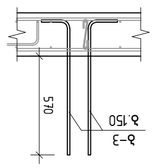


### Разрез 6–6

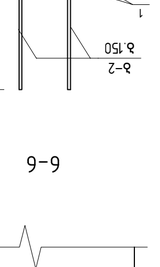


### Ј-4

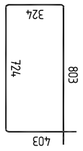


### Ј-1

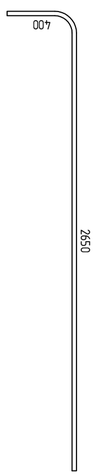


### Ј-2




### Ј-3

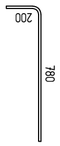


## Забележки

- 5–5; 6–6 вж 7–7 дървесина за опаковане не по-малко от 2 пъти
- Всички размери в мм, освен ако не е посочено друго. Преди започване на работа проверете всички размери на място. Не мащабирайте чертежа. Ако има несъответствие, уведомете архитекта. Вижте архитектурните чертежи за подробности за отворите, фугите и ъглите. Вижте Ј-109 до Ј-111 за допълнителни подробности.


ЕТР ЕООД
ул. Кольо Ганев №3
0160, гр. Бургас, п.к.
+995599150088
Gipnl1fd@gmail.com


# Дървена конструкция

Етап 1 (Дълъг "F")

Ламинирани дървесни греди

Ламинирани дървесни греди, "Дървена конструкция" АД, гр. Бургас, ул. "Дървена" №1, ет. 1, (0512) 123 456

Дървена конструкция, Ламинирани дървесни греди

| Дърво | Елементи |
|---|---|
| 8.8 | Т.Ј. |

| 1:25 | Зид | Ламинирани дървесни греди | Ламинирани дървесни греди |
|---|---|---|---|
| | А2 | R1 | Ј– 112 |

A2 1:25

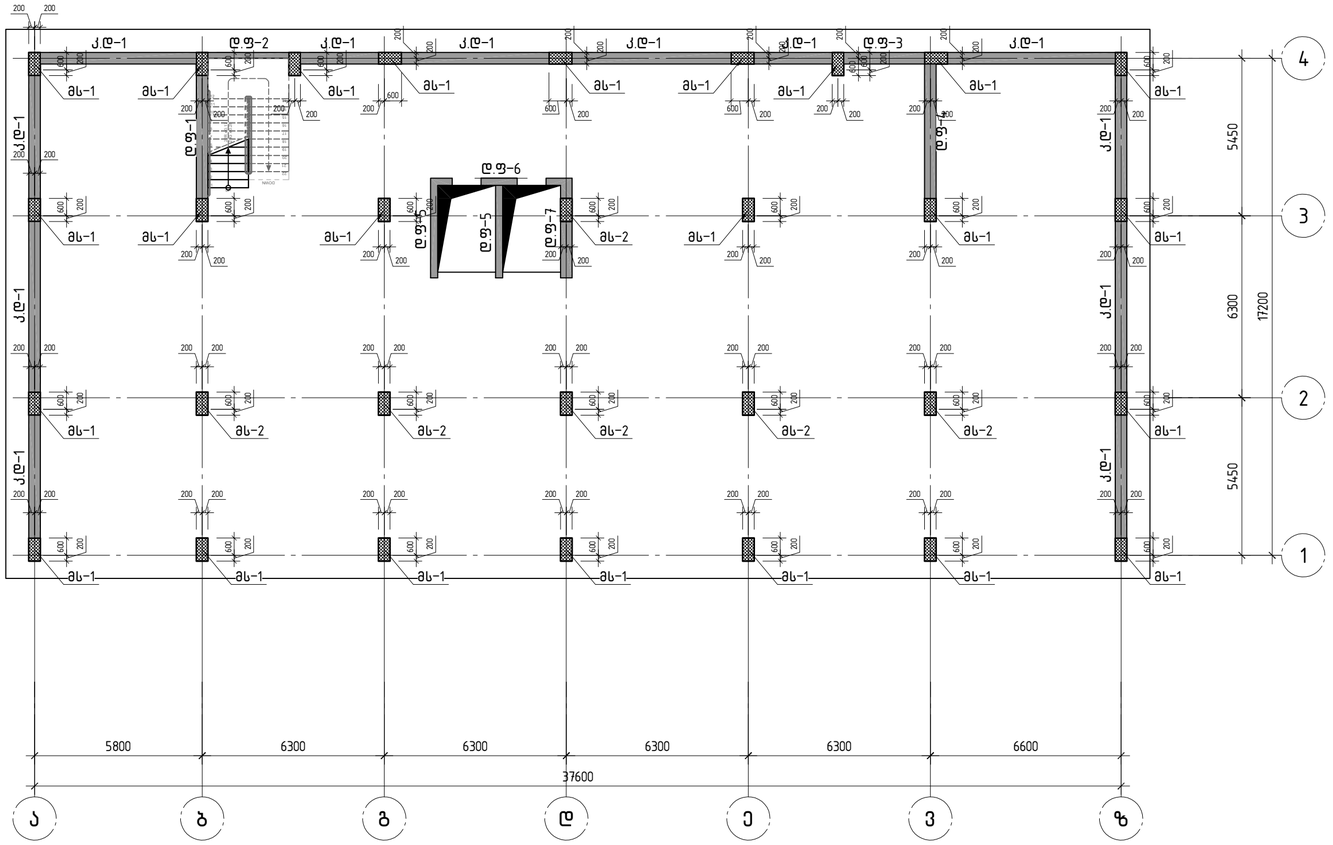


A2 1:150

## კონსტრუქტორი


შ.პ.ს "ჯი ენ პი"
ალ. ყაზბეგის გამზ. №8
0160, თბილისი, საქართველო
+995599150088
Gipn.ltd@gmail.com


პროექტის დასახელება:

მრავალბინიანი საცხოვრებელი სახლი (ბლოკი "F'')
ქ.თბილისი, "დელისი-3"-ის საცხოვრებელი რაიონის მიმდებარედ, ინტენსიფიკაციის გზის სამხრეთით, (ნაკვეთი №1124)

ნახაზის დასახელება:

მზიდი კონსტრუქციების განლაგების სქემა
-3.900 ნიშნულზე.

| დახაზა | შეამოწმა | დაამტკიცა |
|---|---|---|
| ა.ბ. | ო.ქ. | ო.ქ. |

| მასშტაბი | ფორმატი | თარიღი | რევიზია | ნახ.№ |
|---|---|---|---|---|
| 1:150 | A2 | | R1 | ჯ- 201 |




A2 1:150

## კონსტრუქტორი

შ.პ.ს "ჯი ენ პი"

ალ. ყაზბეგის გამზ. №8
0160, თბილისი, საქართველო
+995599150088
Gipn.ltd@gmail.com

პროექტის დასახელება:

მრავალბინიანი საცხოვრებელი სახლი (ბლოკი "F'')
ქ.თბილისი, "დელისი-3"-ის საცხოვრებელი რაიონის მიმდებარედ, ინტენსიფიკაციის გზის სამხრეთით, (ნაკვეთი №1124)

ნახაზის დასახელება:

მზიდი კონსტრუქციების განლაგების სქემა
-0.100 ნიშნულზე.

| დახაზა | შეამოწმა | დაამტკიცა |
|---|---|---|
| ა.ბ. | ო.ქ. | ო.ქ. |

| მასშტაბი | ფორმატი | თარიღი | რევიზია | ნახ.№ |
|---|---|---|---|---|
| 1:150 | A2 | | R1 | ჯ- 202 |

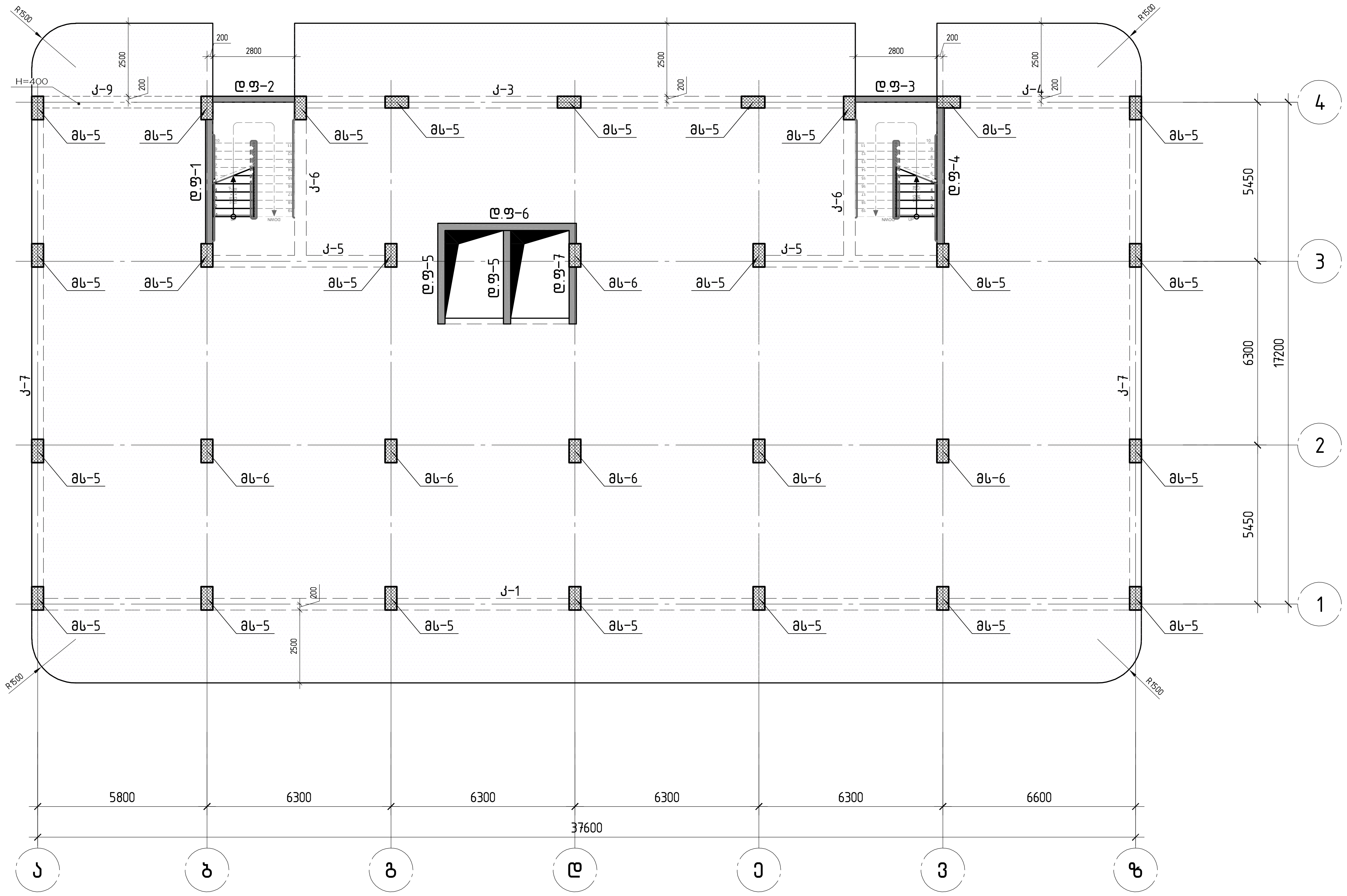


## კონსტრუქტორი

შ.პ.ს "ჯი ენ პი"


ალ. ყაზბეგის გამზ. 14ბ
0160, თბილისი, საქართველო
+995599150088
Gipn.ltd@gmail.com


პროექტის დასახელება:

მრავალბინიანი საცხოვრებელი სახლი (ბლოკი "F")
ქ.თბილისი, "დელისი-3"-ის საცხოვრებელი რაიონის მიმდებარედ, ინტენსიფიკაციის გზის სამხრეთით, (ნაკვეთი №1/124)

ნახაზის დასახელება:

მზიდი კონსტრუქციების განლაგების სქემა
+2.900 ნიშნულზე.

| დახაზა | შეამოწმა | დაადასტურა |
|---|---|---|
| მ.მ. | ო.ქ. | ო.ქ. |

| მასშტაბი | ფორმატი | თარიღი | რევიზია | ნახ.№ |
|---|---|---|---|---|
| 1:150 | A2 | | R1 | კ- 203 |

A2 1:150

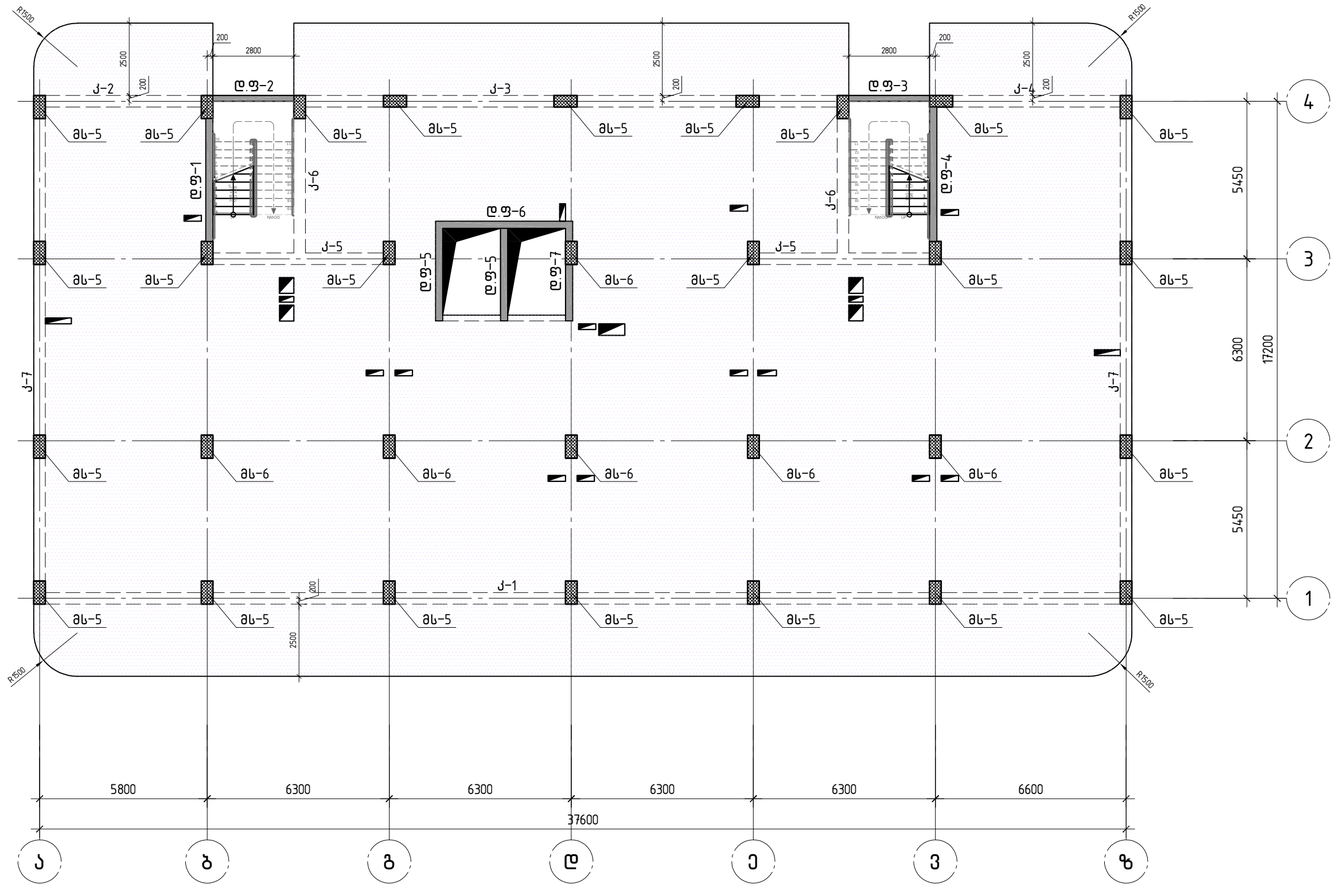


| | |
|---|---|
| A2 | 1:150 |

**კონსტრუქტორი**

შ.პ.ს "ჯი ენ პი"

ალ. ყაზბეგის გამზ. №8
0160, თბილისი, საქართველო
+995599150088
Gipn.ltd@gmail.com

კონტრაქტის დასახელება:

მრავალბინიანი საცხოვრებელი სახლი (ბლოკი "F")
ქ.თბილისი, "დელისი-3"-ის საცხოვრებელი რაიონის მიმდებარედ, ინტენსიფიკაციის გზის სამხრეთით, (ნაკვეთი №1124)

ნახაზის დასახელება:

მზიდი კონსტრუქციების განლაგების სქემა
+6.200 ნიშნულზე.

| დახაზა | შეამოწმა | დაამტკიცა |
|---|---|---|
| ა.ბ. | ო.ქ. | ო.ქ. |

| მასშტაბი | ფორმატი | თარიღი | რევიზია | ნახ.№ |
|---|---|---|---|---|
| 1:150 | A2 | | R1 | ჯ- 204 |

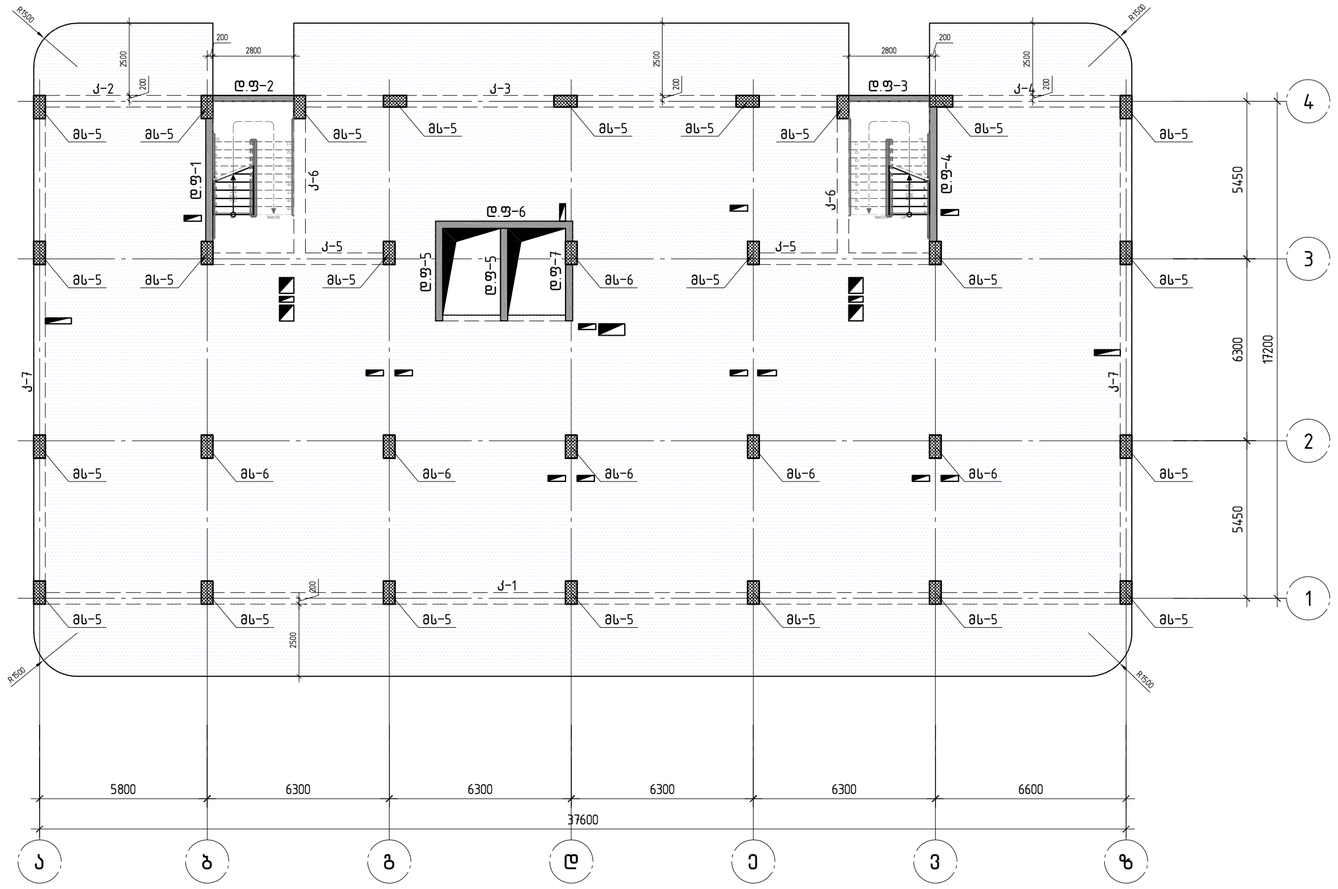


| | |
|---|---|
| A2 | 1:150 |

**კონსტრუქტორი**

შ.პ.ს "ჯი ენ პი"

ალ. ყაზბეგის გამზ. №8
0160, თბილისი, საქართველო
+995599150088
Gipn.ltd@gmail.com

კონტრაქტის დასახელება:

მრავალბინიანი საცხოვრებელი სახლი (ბლოკი "F'')
ქ.თბილისი, "დელისი-3"-ის საცხოვრებელი რაიონის მიმდებარედ, ინტენსიფიკაციის გზის სამხრეთით, (ნაკვეთი №1124)

ნახაზის დასახელება:

მზიდი კონსტრუქციების განლაგების სქემა
+9.500 ნიშნულზე.

| დახაზა | შეამოწმა | დაამტკიცა |
|---|---|---|
| ა.ბ. | ო.ქ. | ო.ქ. |

| მასშტაბი | ფორმატი | თარიღი | რევიზია | ნახ.№ |
|---|---|---|---|---|
| 1:150 | A2 | | R1 | ჯ- 205 |

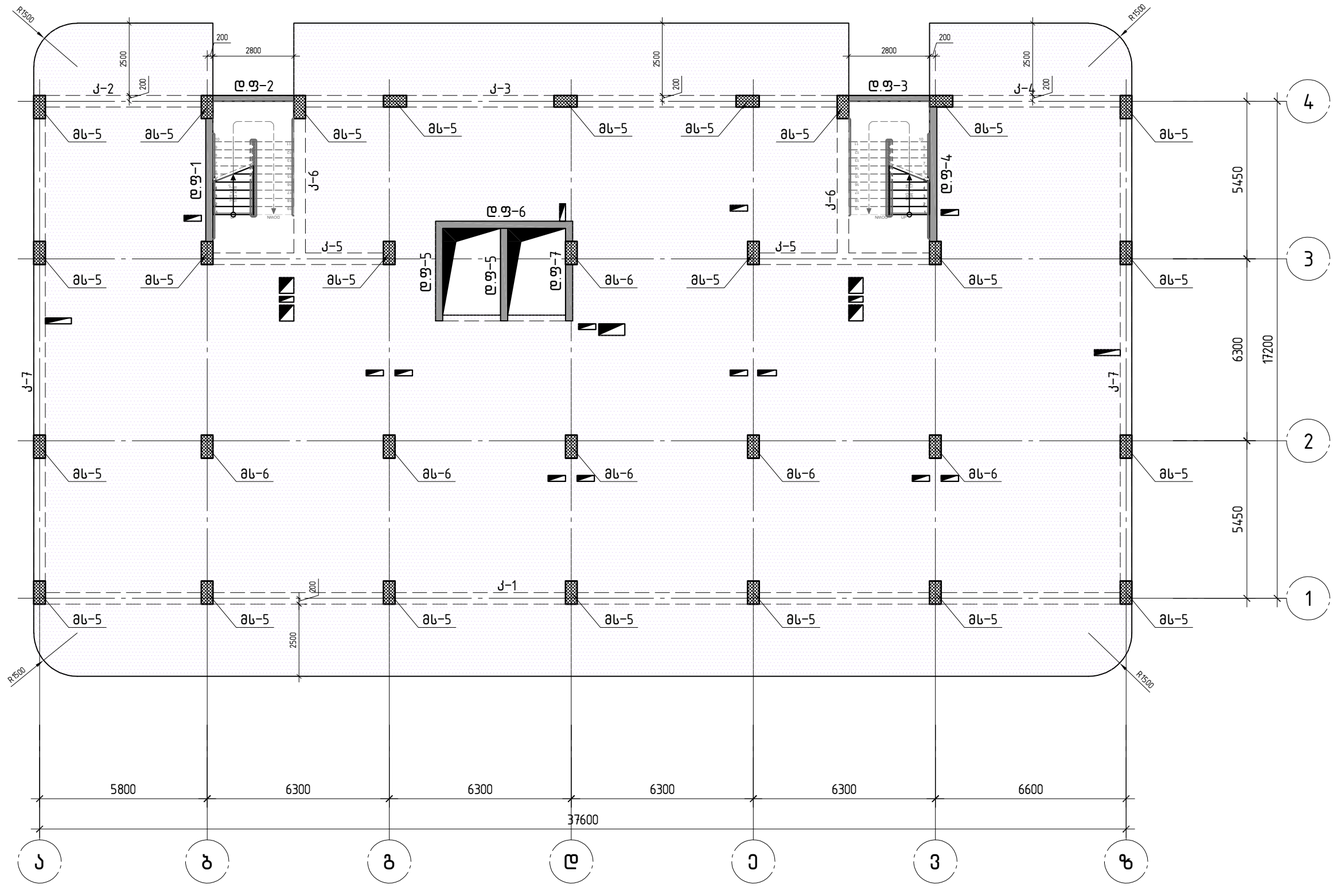


A2 1:150

| კონსტრუქტორი | | | | |
|---|---|---|---|---|
| შ.პ.ს "ჯი ენ პი" | ალ. ყაზბეგის გამზ. №8 0160, თბილისი, საქართველო +995599150088 Gipn.ltd@gmail.com | | | |
| პროექტის დასახელება: მრავალბინიანი საცხოვრებელი სახლი (ბლოკი "F") ქ.თბილისი, "დელისი-3"-ის საცხოვრებელი რაიონის მიმდებარედ, ინტენსიფიკაციის გზის სამხრეთით, (ნაკვეთი №1124) | | | | |
| ნახაზის დასახელება: მზიდი კონსტრუქციების განლაგების სქემა +12.800 ნიშნულზე. | | | | |
| დახაზა: გ.გ. | შეამოწმა: ო.ქ. | | დაამტკიცა: ო.ქ. | |
| მასშტაბი: 1:150 | ფორმატი: A2 | თარიღი: | რევიზია: R1 | ნახ.№: ჯ- 206 |

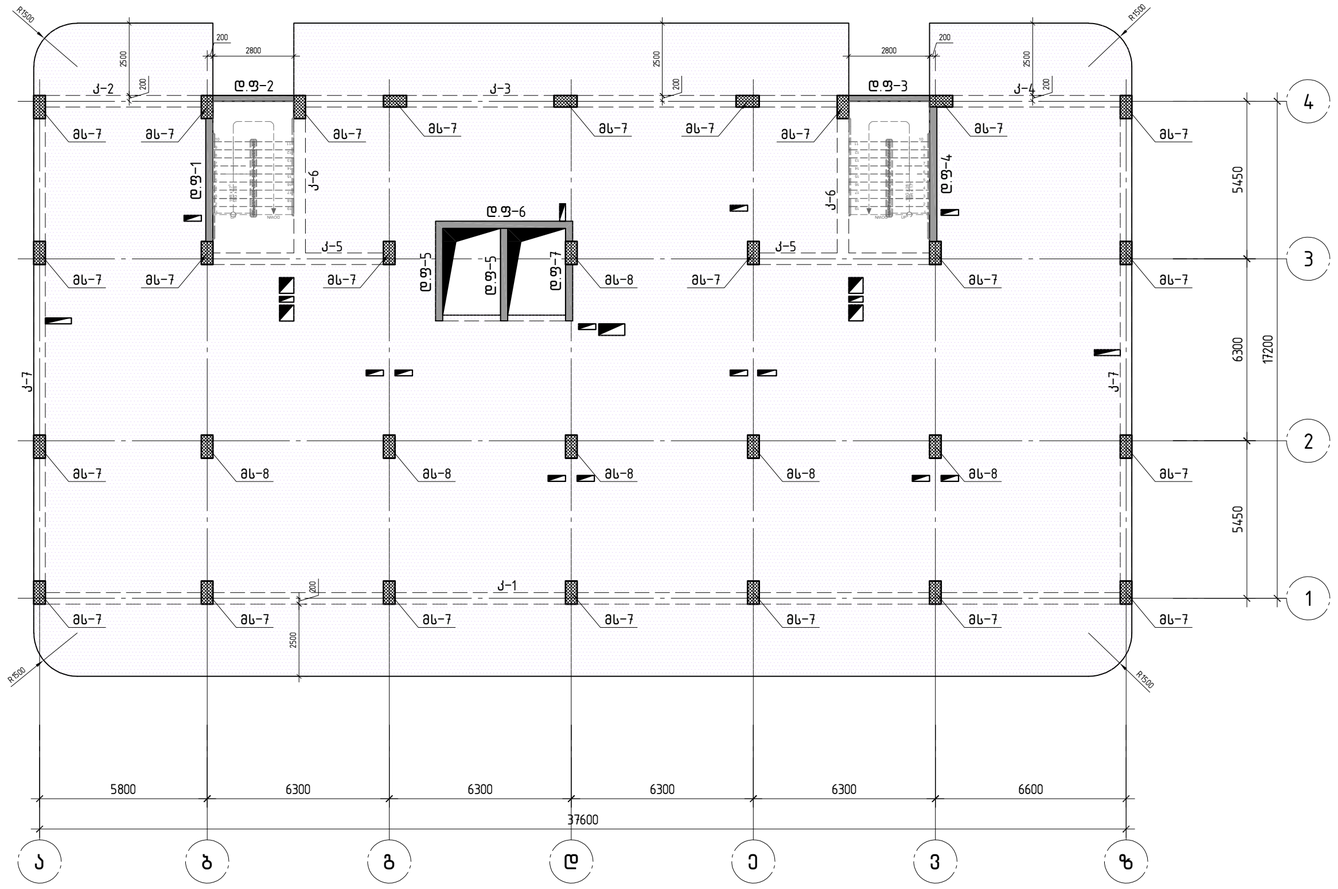


| | | | | |
|---|---|---|---|---|
| კონსტრუქტორი | | | | |
| შ.პ.ს "ჯი ენ აი" | ალ. ყაზბეგის გამზ. №8 0160, თბილისი, საქართველო +995599150088 Gipn.ltd@gmail.com | | | |
| პროექტის დასახელება: მრავალბინიანი საცხოვრებელი სახლი (ბლოკი "F") ქ.თბილისი, "დელისი-3"-ის საცხოვრებელი რაიონის მიმდებარედ, ინტენსიფიკაციის გზის სამხრეთით, (ნაკვეთი №1124) | | | | |
| ნახაზის დასახელება: მზიდი კონსტრუქციების განლაგების სქემა +16.100 ნიშნულზე. | | | | |
| დახაზა | შეამოწმა | დაამტკიცა | | |
| მ.მ. | ო.ქ. | ო.ქ. | | |
| მასშტაბი | ფორმატი | თარიღი | რევიზია | ნახ.№ |
| 1:150 | A2 | | R1 | ჯ- 207 |

A2 1:150

A2 1:150

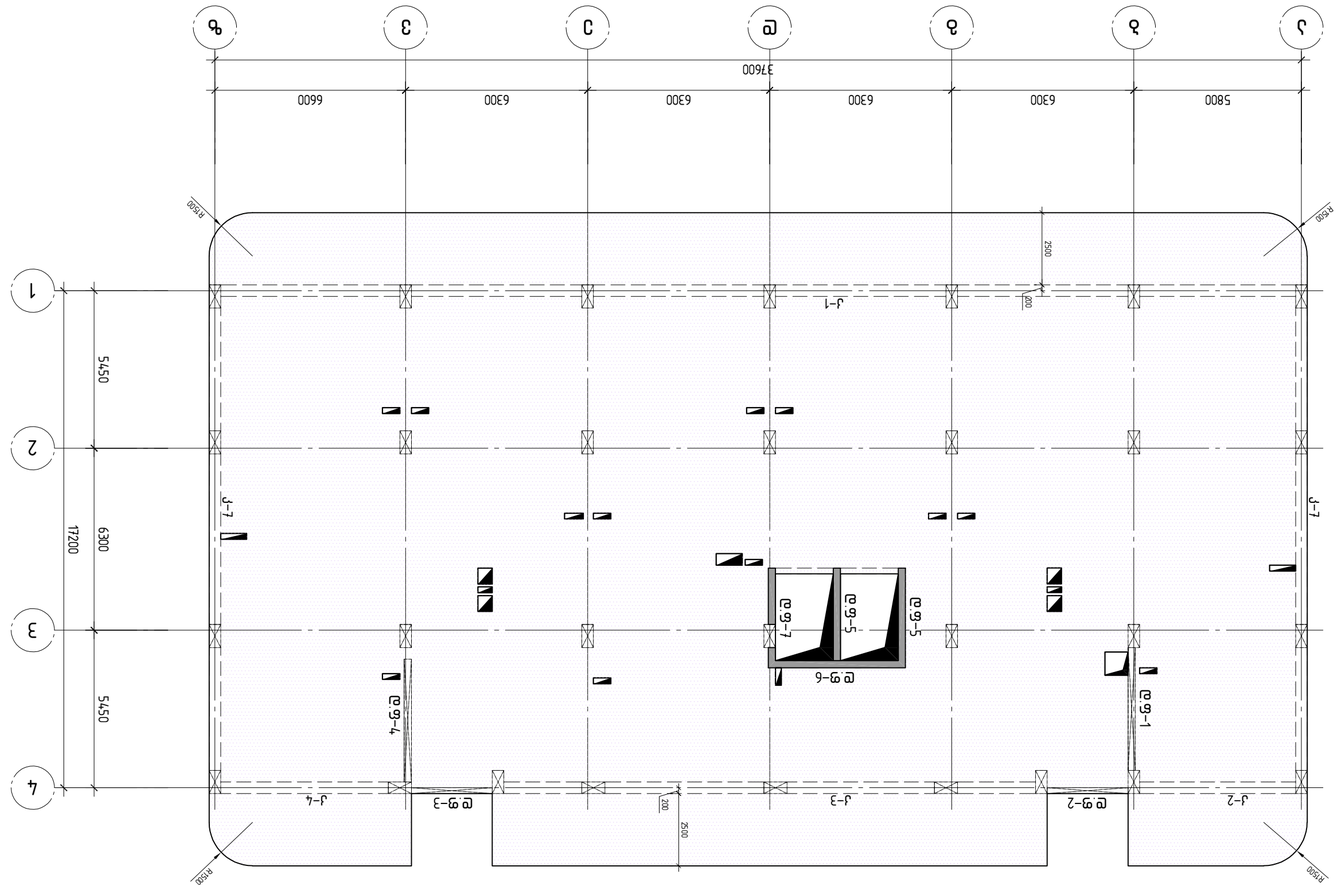


| | | | |
|---|---|---|---|
| ავტორი | ა.ჯ. | ფასადის ბადე %ა | ა.ე. ყაზბეგის ნაკ. 26 |
| შემოწმებული | ა.ჯ. | | 0160, თბილისი, საქართველო |
| | | | +995599150088 |
| | | | Giprinfo@gmail.com |

**შპს „ჯიპრინფო ჯი ეი სი“**

ბინა ფასადის ბადე (ფილი) ს.კ.ნ.ს.ნ.ნ.ნ

A2 1:150

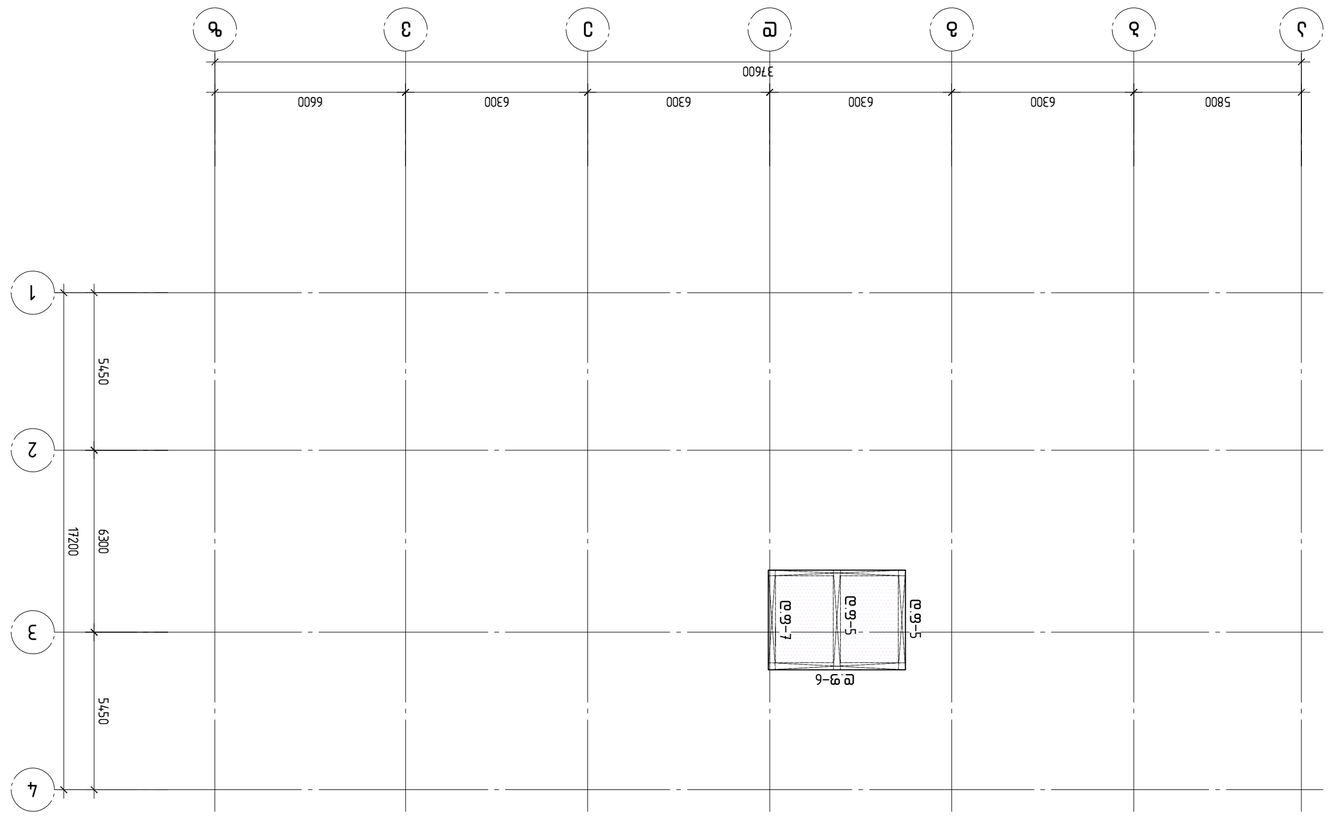


| | | | | |
|---|---|---|---|---|
| מעלה מאזן | | | | |
| מנהל פרויקט | | | | |
| מתכנן | | | | |
| מנהל עבודה | | | | |
| מנהל מקצועי | | | | |
| מנהל טכני

A2 1:150

| | | |

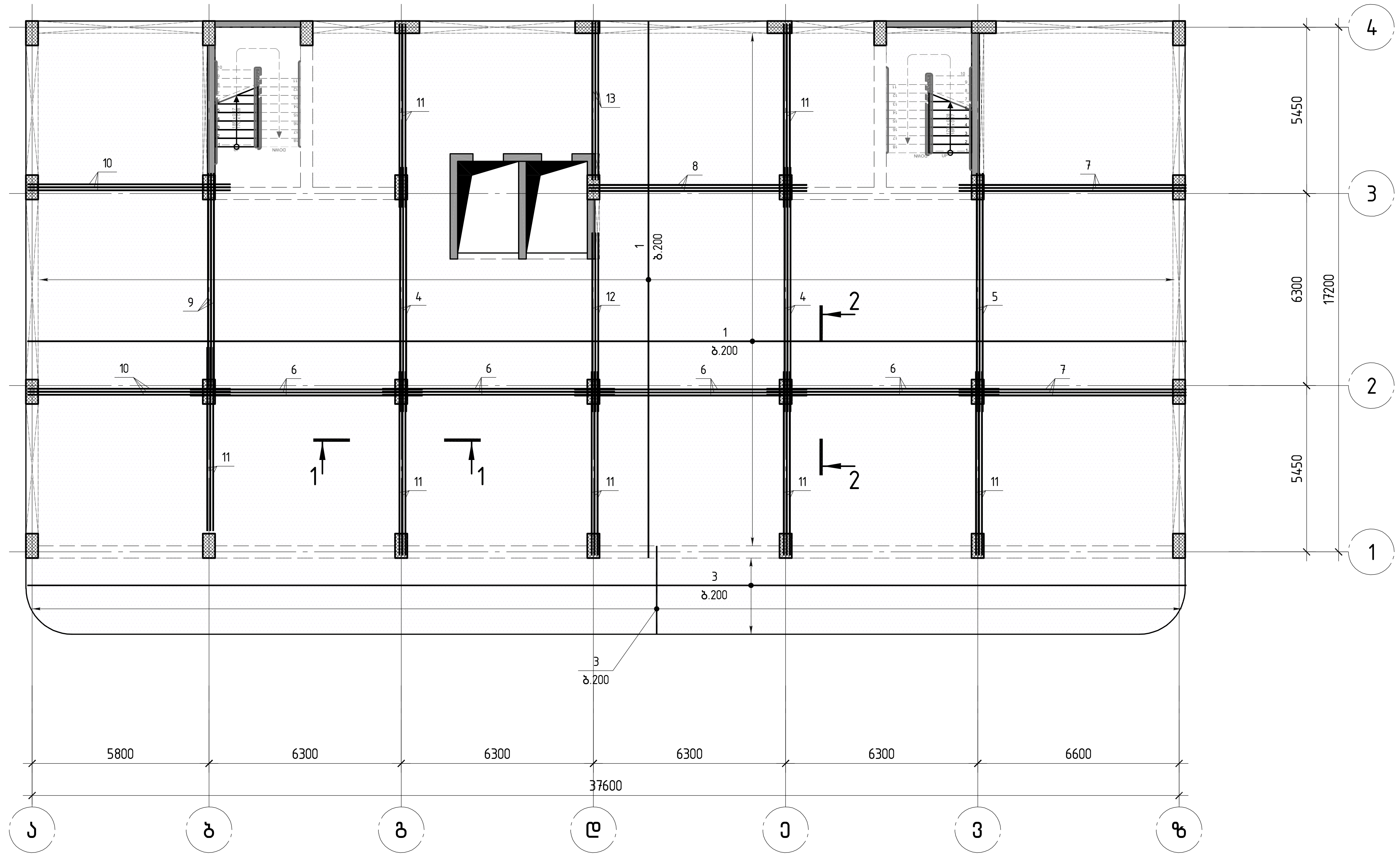


შენიშვნა
ფილის არმირებისას იხ. ხვრელების გაძლიერება ფურც. კ-320; კ-321

A2 1:150

| | | | | |
|---|---|---|---|---|
| **კონსტრუქტორი** | | | | |
| შ.პ.ს "ჯი ენ პი" | ალ. ყაზბეგის გამზ. 14.ბ<br>0160, თბილისი, საქართველო<br>+995599150088<br>Gipn.ltd@gmail.com | | | |
| პროექტის დასახელება:<br>მრავალბინიანი საცხოვრებელი სახლი (ბლოკი "F")<br>ქ.თბილისი, "დელისი-3"-ის საცხოვრებელი რაიონის მიმდებარედ, ინტენსიფიკაციის გზის სამხრეთით, (ნაკვეთი №1/124) | | | | |
| ნახაზის დასახელება:<br>რ/ბ მონოლითური ფილა -0.100 ნიშნულზე.<br>ქვედა ძირითადი არმატურის განლაგების სქემა | | | | |
| დახაზა | შეამოწმა | დაადასტურა | | |
| მ.მ. | ო.ქ. | ო.ქ. | | |
| მასშტაბი | ფორმატი | თარიღი | რევიზია | ნახ.№ |
| 1:150 | A2 | | R1 | კ- 301 |

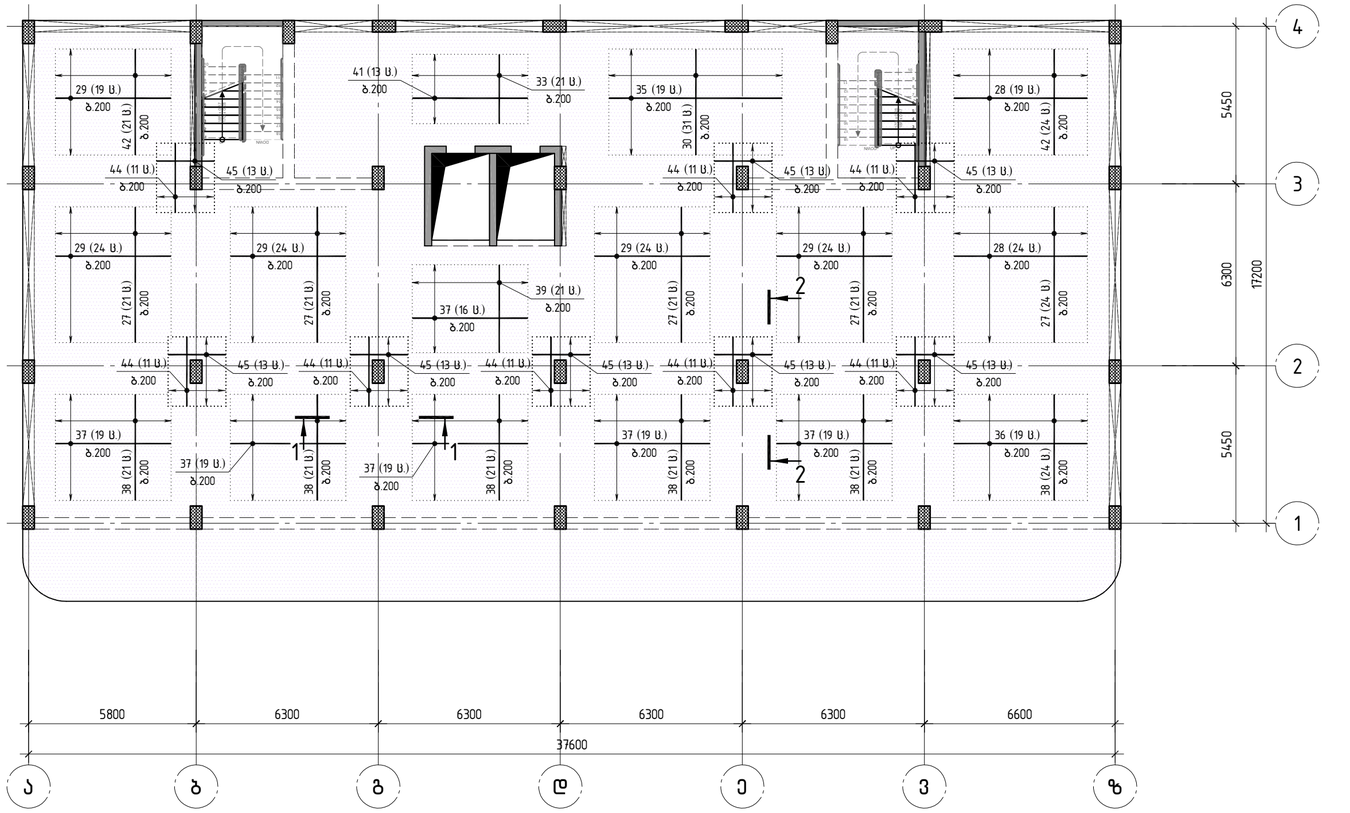


შენიშვნა
ფილის არმირებისას იხ. ხვრელების გაძლიერება ფურც. კ-320; კ-321

A2 1:150

| | | | | |
|---|---|---|---|---|
| კონსტრუქტორი | | | | |
| შ.პ.ს "ჯი ენ პი" | ალ. ყაზბეგის გამზ. 14ბ 0160, თბილისი, საქართველო +995599150088 Gipn.ltd@gmail.com | | | |
| პროექტის დასახელება: მრავალბინიანი საცხოვრებელი სახლი (ბლოკი "F") ქ.თბილისი, "დელისი-3"-ის საცხოვრებელი რაიონის მიმდებარედ, ინტენსიფიკაციის გზის სამხრეთით, (ნაკვეთი №1124) | | | | |
| ნახაზის დასახელება: რბ მონოლითური ფილა -0.100 ნიშნულზე. ქვედა დამატებითი არმატურის განლაგების სქემა | | | | |
| დახაზა | შეამოწმა | | დაამტკიცა | |
| ა.ბ. | ო.ქ. | | ო.ქ. | |
| მასშტაბი | ფორმატი | თარიღი | რევიზია | ნახ.№ |
| 1:150 | A2 | | R1 | კ- 302 |

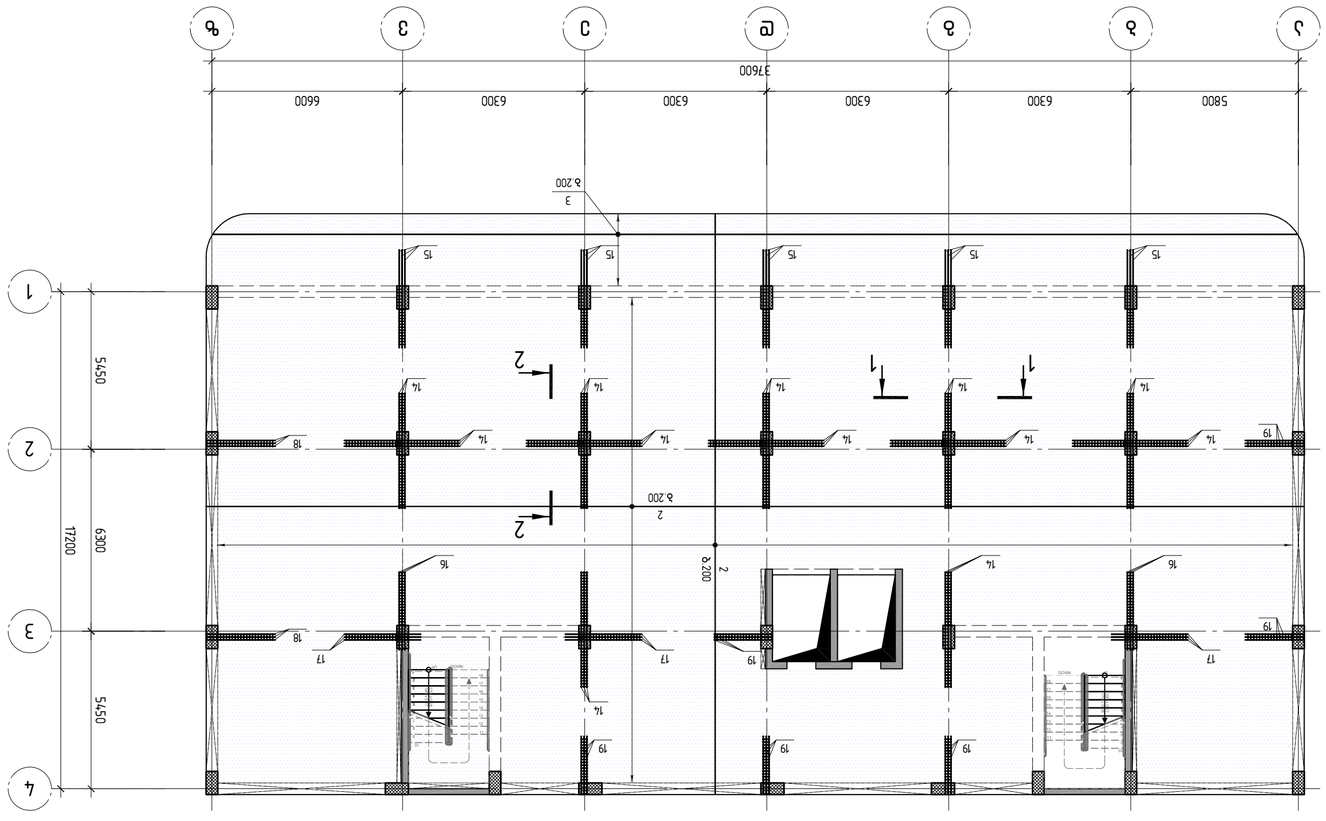


ნახაზის ნომერი ტიპიური ტიპიური ტიპიური

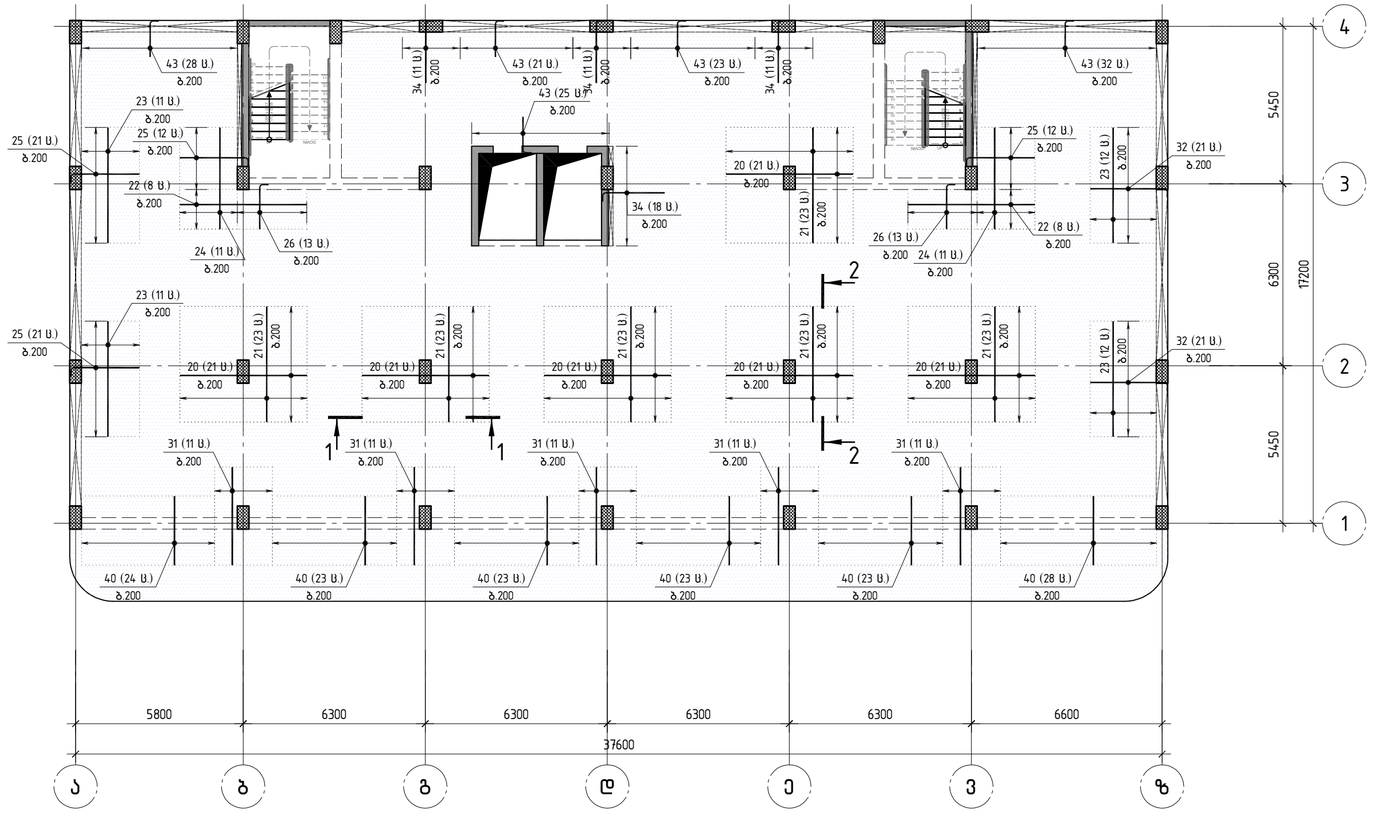


შენიშვნა
ფილის არმირებისას იხ. ხვრელების გაძლიერება ფურც. კ-320; კ-321

A2 1:150

| | | | | |
|---|---|---|---|---|
| კონსტრუქტორი | | | | |
| შ.პ.ს "ჯი ენ პი" | | | | |
| პროექტის დასახელება: მრავალბინიანი საცხოვრებელი სახლი (ბლოკი "F") ქ.თბილისი, "დელისი-3"-ის საცხოვრებელი რაიონის მიმდებარედ, ინტენსიფიკაციის გზის სამხრეთით, (ნაკვეთი №1124) | | | | |
| ნახაზის დასახელება: რბ მონოლითური ფილა -0.100 ნიშნულზე. ზედა დამატებითი არმატურის განლაგების სქემა | | | | |
| დახაზა: გ.გ. | შეამოწმა: ო.ქ. | | დაამტკიცა: ო.ქ. | |
| მასშტაბი: 1:150 | ფორმატი: A2 | თარიღი: | რევიზია: R1 | ნახ.№: კ- 304 |

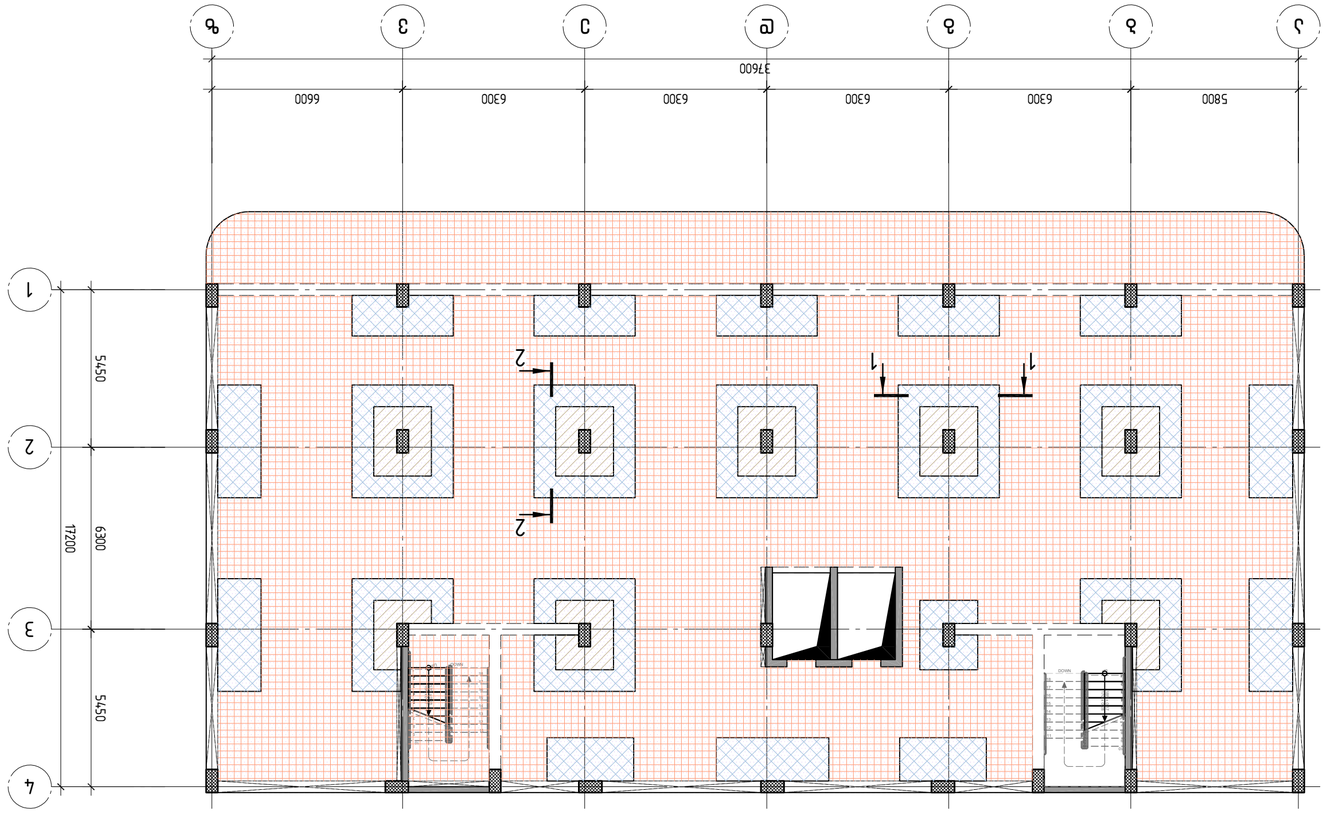


- לוח חיפוי אבן גיר (עובי A ) 3 ס"מ 400 + מדף לוח גבס מחורר (עובי D) 3. 800
- לוח חיפוי אבן (עובי A ) 3 ס"מ 200 + מדף לוח גבס מחורר (עובי D) 3. 800
- לוח חיפוי אבן (עובי A ) 3 ס"מ 100 + מדף לוח גבס מחורר (עובי D) 3. 800

A2 1:150

| | | | | |
|---|---|---|---|---|
| קנה מידה | גודל | מהדורה | שם הפרויקט | |
| 1:150 | A2 | | מגדל משרדים | |
| תאריך | מס' שרטוט | | | |
| 3.11.25 | A-305 | R1 | | |
| שם השרטוט | | | | |
| תכנית קומה טיפוסית | | | | |
| מהנדס | | | | |
| מ.ב. | | | | |
| מתכנן | | | | |
| מ.ב. | | | | |


מגדלי משרדים בע"מ
רח' הברזל 38, תל אביב
טל. 03-7654321
info@migdalim.co.il



אין להעתיק או לעשות שימוש בתכנית זו ללא אישור בכתב מהמתכנן. כל הזכויות שמורות.

| ЗМФ. | | кол. | масса одного эл., кг | общая масса, кг |
|---|---|---|---|---|
| | **Сборочные единицы** | | | |
| | ф10 В500В | | | |
| А | L=830 | 382 | 16.75 | 6398.5 |
| В | L=925 | 323 | 0.34 | 109.8 |
| С | L=350 | 9693 | 0.22 | 2103.46 |
| | ф12 В500В | | | |
| D | L=1500 | 1050 | 1.25 | 1308.86 |
| 1 | ф14 В500В L=6447.5 м | 121 | 778.5 | |
| 2 | ф10 В500В L=6941.1 м | 0.62 | 4275.7 | |
| 3 | ф8 В500В L=1542.0 м | 0.40 | 609.1 | |
| | ф22 В500В | | | |
| 4 | L=8000 | 6 | 23.87 | 143.2 |
| 5 | L=7800 | 3 | 23.28 | 69.8 |
| 6 | L=7600 | 12 | 22.68 | 272.2 |
| 7 | L=7430 | 6 | 22.17 | 133.0 |
| 8 | L=7130 | 3 | 21.28 | 63.8 |
| 9 | L=7000 | 3 | 20.89 | 62.7 |

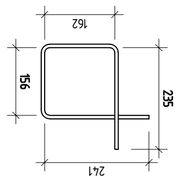


ЗМФ. А

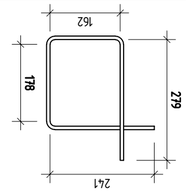


ЗМФ. В

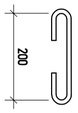


ЗМФ. С

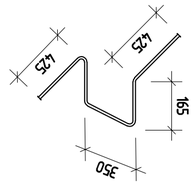


ЗМФ. D

| ЗМФ. | | кол. | масса одного эл., кг | общая масса, кг |
|---|---|---|---|---|
| 10 | L=6630 | 6 | 19.78 | 118.7 |
| 11 | L=6000 | 21 | 17.90 | 375.9 |
| 12 | L=5850 | 3 | 17.46 | 52.4 |
| 13 | L=5180 | 3 | 15.46 | 46.4 |
| 14 | L=4000 | 36 | 11.94 | 429.8 |
| 15 | L=3400 | 15 | 10.15 | 152.3 |
| 16 | L=2705 | 6 | 8.07 | 48.4 |
| 17 | L=2650 | 9 | 7.91 | 71.2 |
| 18 | L=2400 | 6 | 7.16 | 43.0 |
| 19 | L=2000 | 18 | 5.97 | 107.5 |
| | ф18 В500В | | | |
| 20 | L=4400 | 126 | 8.79 | 1107.7 |
| 21 | L=4000 | 138 | 7.99 | 1102.9 |
| | ф16 В500В | | | |
| 22 | L=4400 | 16 | 6.94 | 111.1 |
| 23 | L=4000 | 46 | 6.31 | 290.4 |

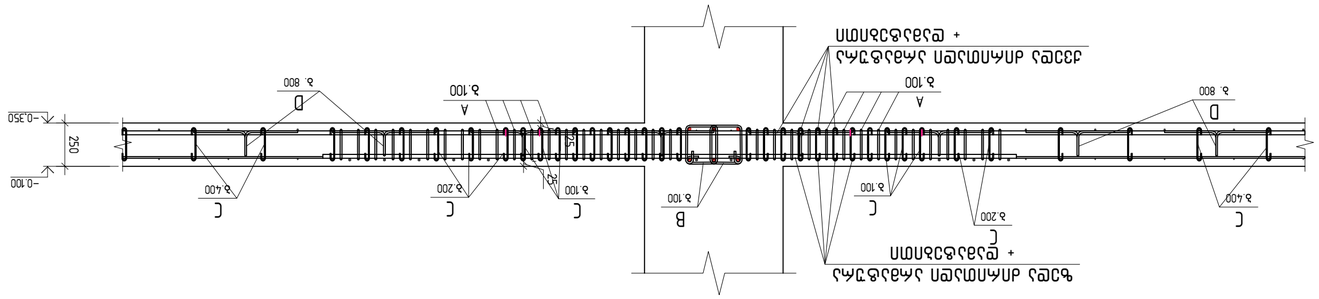


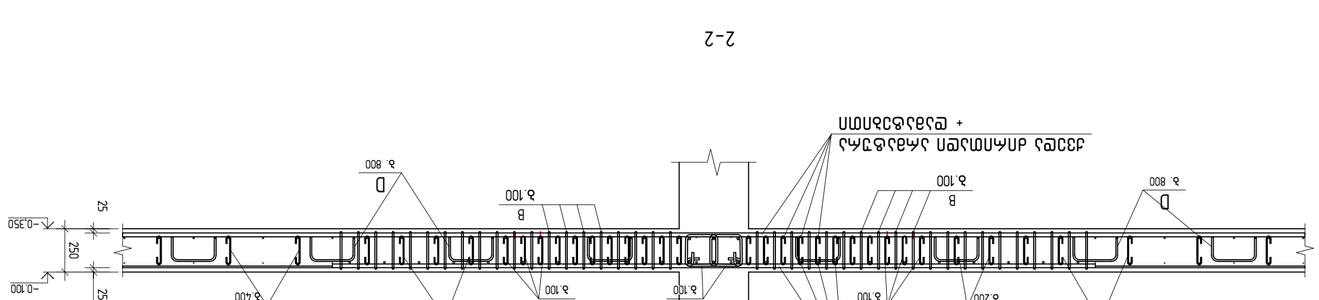


| ЗМФ. | | кол. | масса одного эл., кг | общая масса, кг |
|---|---|---|---|---|
| 24 | L=3520 | 22 | 5.55 | 122.2 |
| 25 | L=2625 | 66 | 4.14 | 273.4 |
| 26 | L=1800 | 26 | 2.84 | 73.9 |
| | ф14 В500В | | | |
| 27 | L=4690 | 108 | 5.67 | 611.9 |
| 28 | L=4620 | 43 | 5.58 | 240.0 |
| 29 | L=4000 | 115 | 4.83 | 555.7 |
| 30 | L=3670 | 31 | 4.43 | 137.4 |
| 31 | L=3400 | 55 | 4.11 | 225.9 |
| 32 | L=2925 | 42 | 3.53 | 148.4 |
| 33 | L=2400 | 21 | 2.90 | 60.9 |
| 34 | L=2400 | 51 | 2.90 | 147.9 |
| | ф12 В500В | | | |
| 35 | L=6000 | 19 | 5.33 | 101.2 |
| 36 | L=4620 | 19 | 4.10 | 77.9 |
| 37 | L=4000 | 111 | 3.55 | 394.3 |
| 38 | L=3670 | 129 | 3.26 | 420.4 |
| 39 | L=3040 | 21 | 2.70 | 56.7 |
| 40 | L=2400 | 144 | 2.13 | 306.9 |
| | ф10 В500В | | | |
| 41 | L=4000 | 13 | 2.46 | 32.0 |
| 42 | L=3670 | 45 | 2.26 | 101.7 |
| 43 | L=1500 | 129 | 0.92 | 119.2 |
| | ф8 В500В | | | |
| 44 | L=2400 | 88 | 0.95 | 83.4 |
| 45 | L=2000 | 104 | 0.79 | 82.2 |
| | **Балки** | | | |
| | *В 30 Ж3 Ln 6 Bm* | | 168.07 | м³ |

| | | | | |
|---|---|---|---|---|
| | | | | |
| | | | | |
| | | | | |

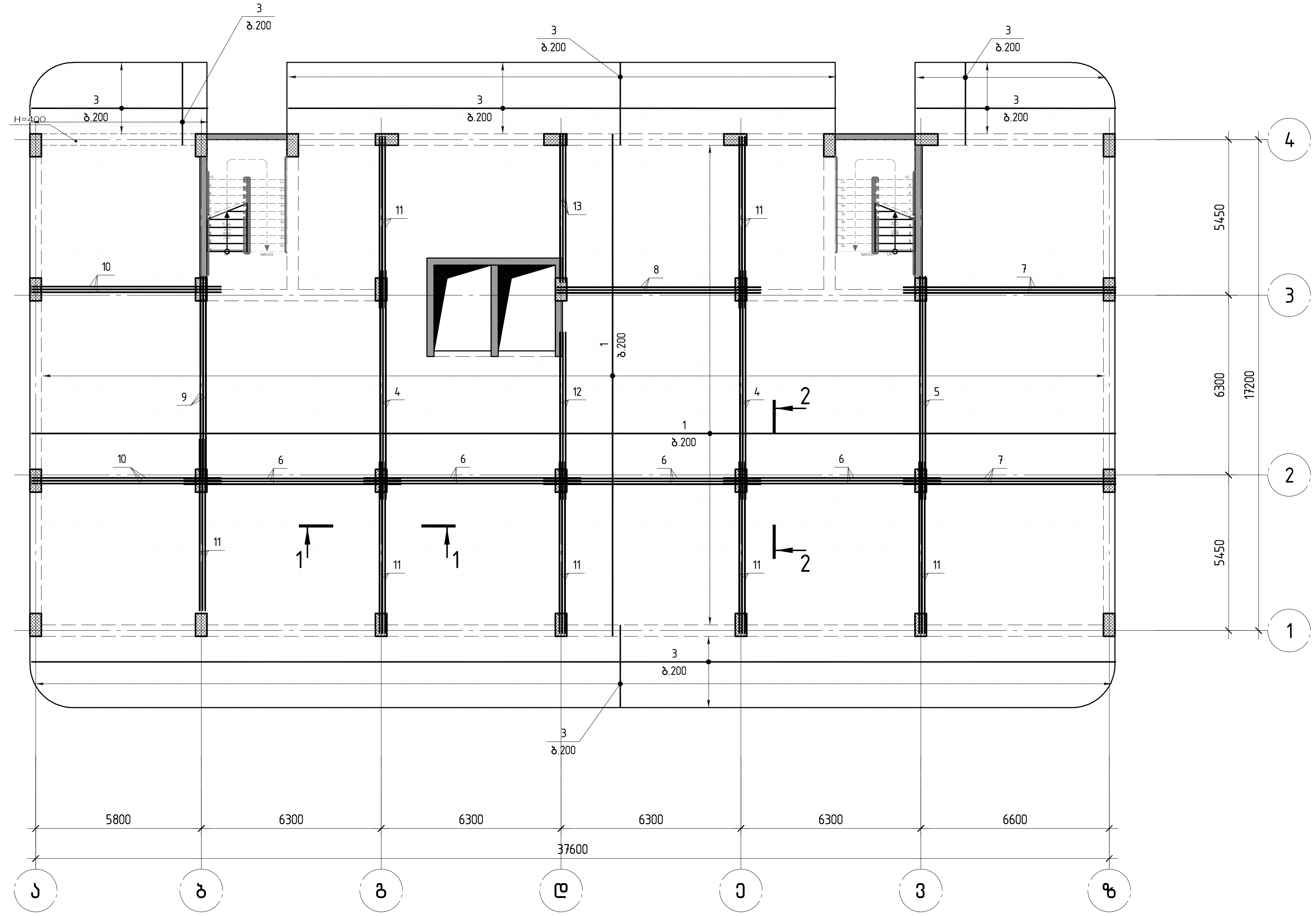


შენიშვნა
ფილის არმირებისას იხ. ხვრელების გაძლიერება ფურც. კ-320; კ-321

| | |
|---|---|
| **კონსტრუქტორი** შ.პ.ს "ჯი ენ პი" | ალ. ყაზბეგის გამზ. 14.ბ<br>0160, თბილისი, საქართველო<br>+995599150088<br>Gipn.ltd@gmail.com |
| **პროექტის დასახელება:** | მრავალბინიანი საცხოვრებელი სახლი (ბლოკი "F")<br>ქ.თბილისი, "დელისი-3"-ის საცხოვრებელი რაიონის მიმდებარედ, ინტენსიფიკაციის გზის სამხრეთით, (ნაკვეთი №1/124) |
| **ნახაზის დასახელება:** | რ/ბ მონოლითური ფილა +2.900; +6.200. . .+16.100 ნიშნულზე. ქვედა ძირითადი არმატურის განლაგების სქემა |

| დახაზა | შეამოწმა | დაადასტურა |
|---|---|---|
| მ.მ. | ო.ქ. | ო.ქ. |

| მასშტაბი | ფორმატი | თარიღი | რევიზია | ნახ.№ |
|---|---|---|---|---|
| 1:150 | A2 | | R1 | კ- 307 |

A2 1:150

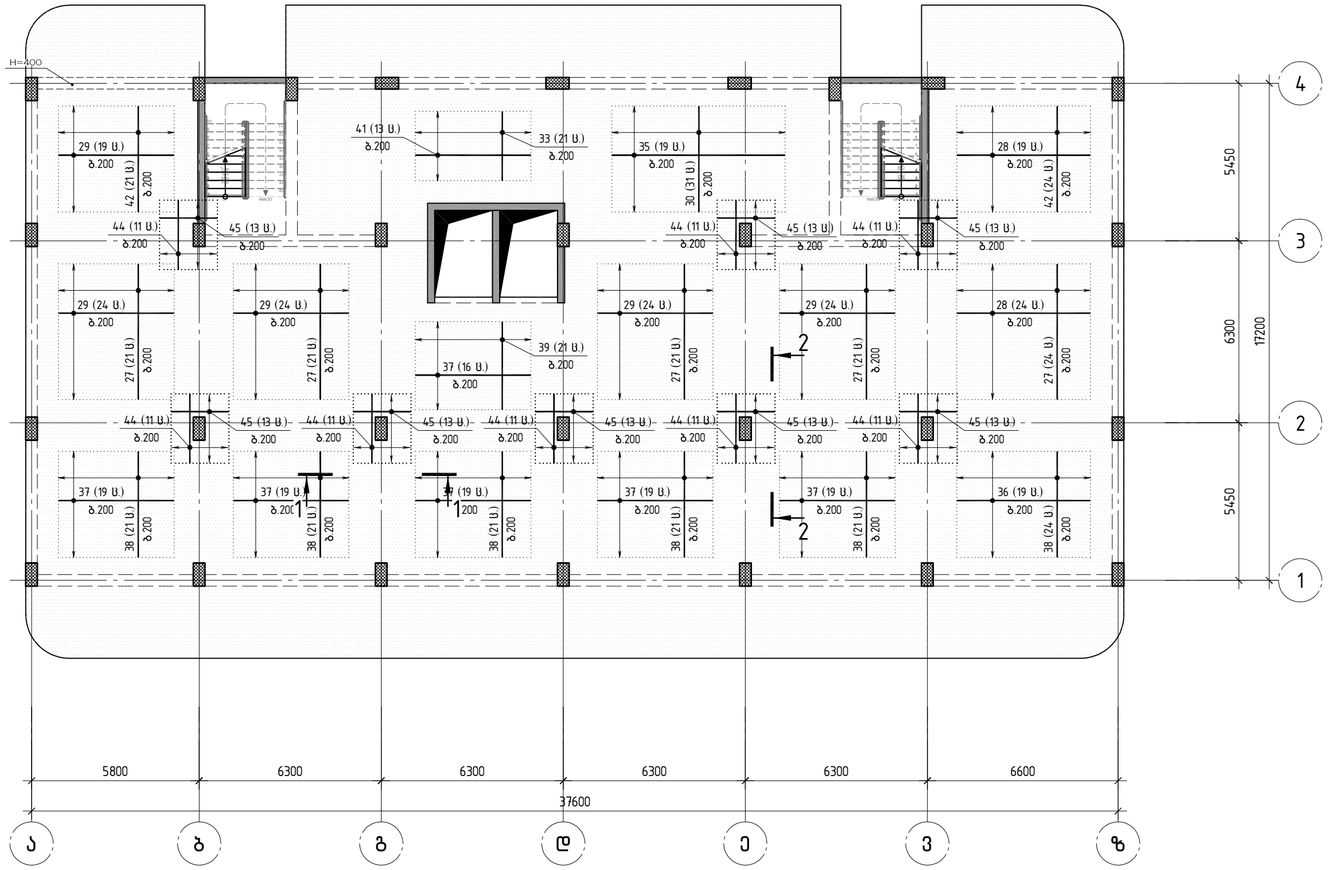


შენიშვნა
ფილის არმირებისას იხ. ხვრელების გაძლიერება ფურც. კ-320; კ-321

A2 1:150

| | | | | |
|---|---|---|---|---|
| კონსტრუქტორი | | | | |
| შ.პ.ს "ჯი ენ პი" | ალ. ყაზბეგის გამზ. №3 0160, თბილისი, საქართველო +995599150088 Gipn.ltd@gmail.com | | | |
| პროექტის დასახელება: მრავალბინიანი საცხოვრებელი სახლი (ბლოკი "F") ქ.თბილისი, "დელისი-3"-ის საცხოვრებელი რაიონის მიმდებარედ, ინტენსიფიკაციის გზის სამხრეთით, (ნაკვეთი №1124) | | | | |
| ნახაზის დასახელება: რკ მონოლითური ფილა +2.900; +6.200. . .+16.100 ნიშნულზე ქვედა დამატებითი არმატურის განლაგების სქემა | | | | |
| დახაზა | შეამოწმა | დაამტკიცა | | |
| ა.ბ. | ო.ძ. | ო.ძ. | | |
| მასშტაბი | ფორმატი | თარიღი | რევიზია | ნახ.№ |
| 1:150 | A2 | | R1 | კ- 308 |

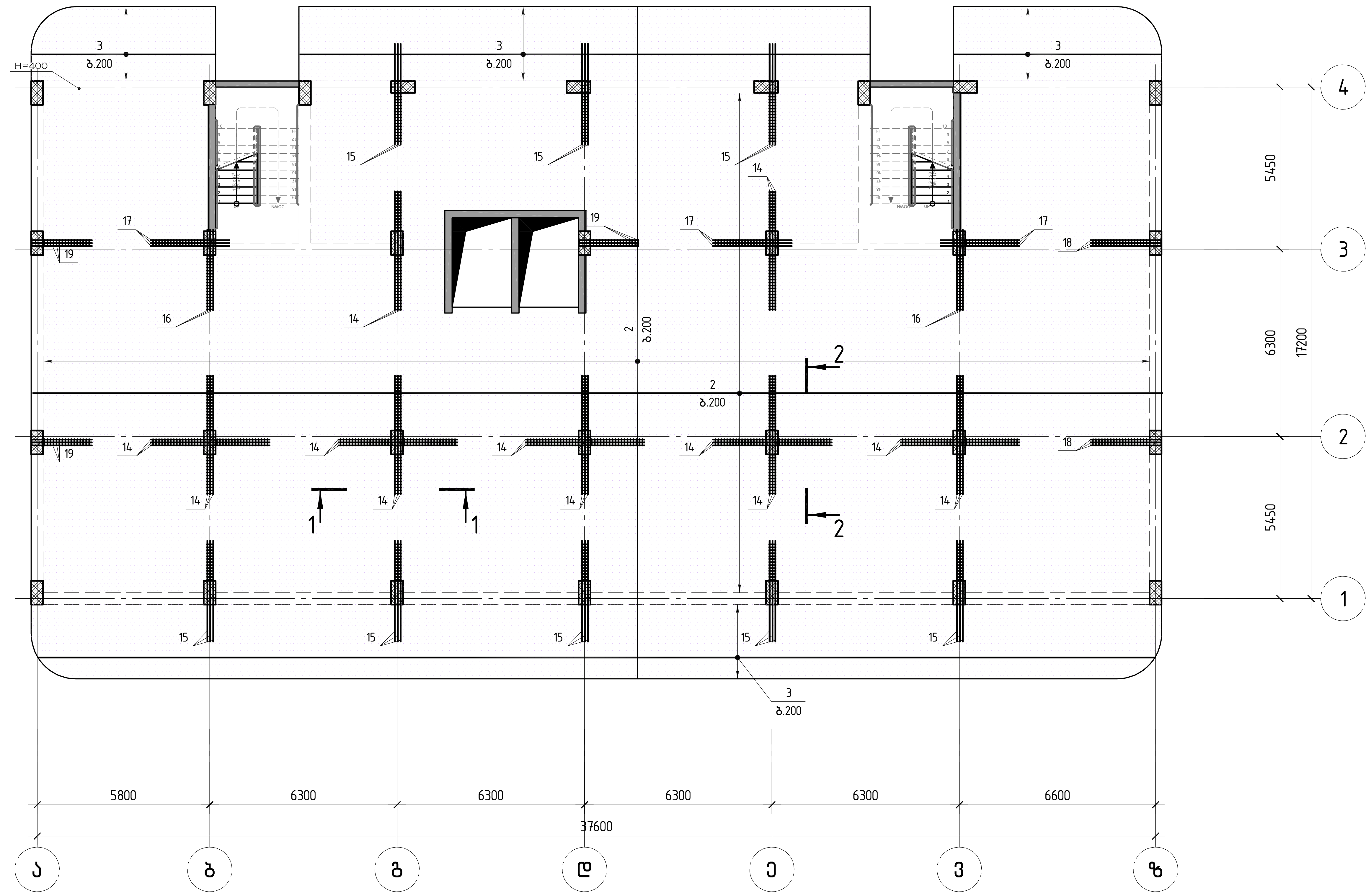


შენიშვნა
ფილის არმირებისას იხ. ხვრელების გაძლიერება ფურც. კ-320; კ-321

| კონსტრუქტორი | |
|---|---|
| შ.პ.ს "ჯი ენ პი" | ალ. ყაზბეგის გამზ. 14.ბ<br>0160, თბილისი, საქართველო<br>+995599150088<br>Gipn.ltd@gmail.com |

**პროექტის დასახელება:**
მრავალბინიანი საცხოვრებელი სახლი (ბლოკი "F")
ქ.თბილისი, "დელისი-3"-ის საცხოვრებელი რაიონის მიმდებარედ, ინტენსიფიკაციის გზის სამხრეთით, (ნაკვეთი №1/124)

**ნახაზის დასახელება:**
რ/ბ მონოლითური ფილა +2.900; +6.200. . .+16.100 ნიშნულზე. ზედა ძირითადი არმატურის განლაგების სქემა

| დახაზა | შეამოწმა | დაადასტურა |
|---|---|---|
| მ.მ. | ო.ქ. | ო.ქ. |

| მასშტაბი | ფორმატი | თარიღი | რევიზია | ნახ.№ |
|---|---|---|---|---|
| 1:150 | A2 | | R1 | კ- 309 |

A2 1:150

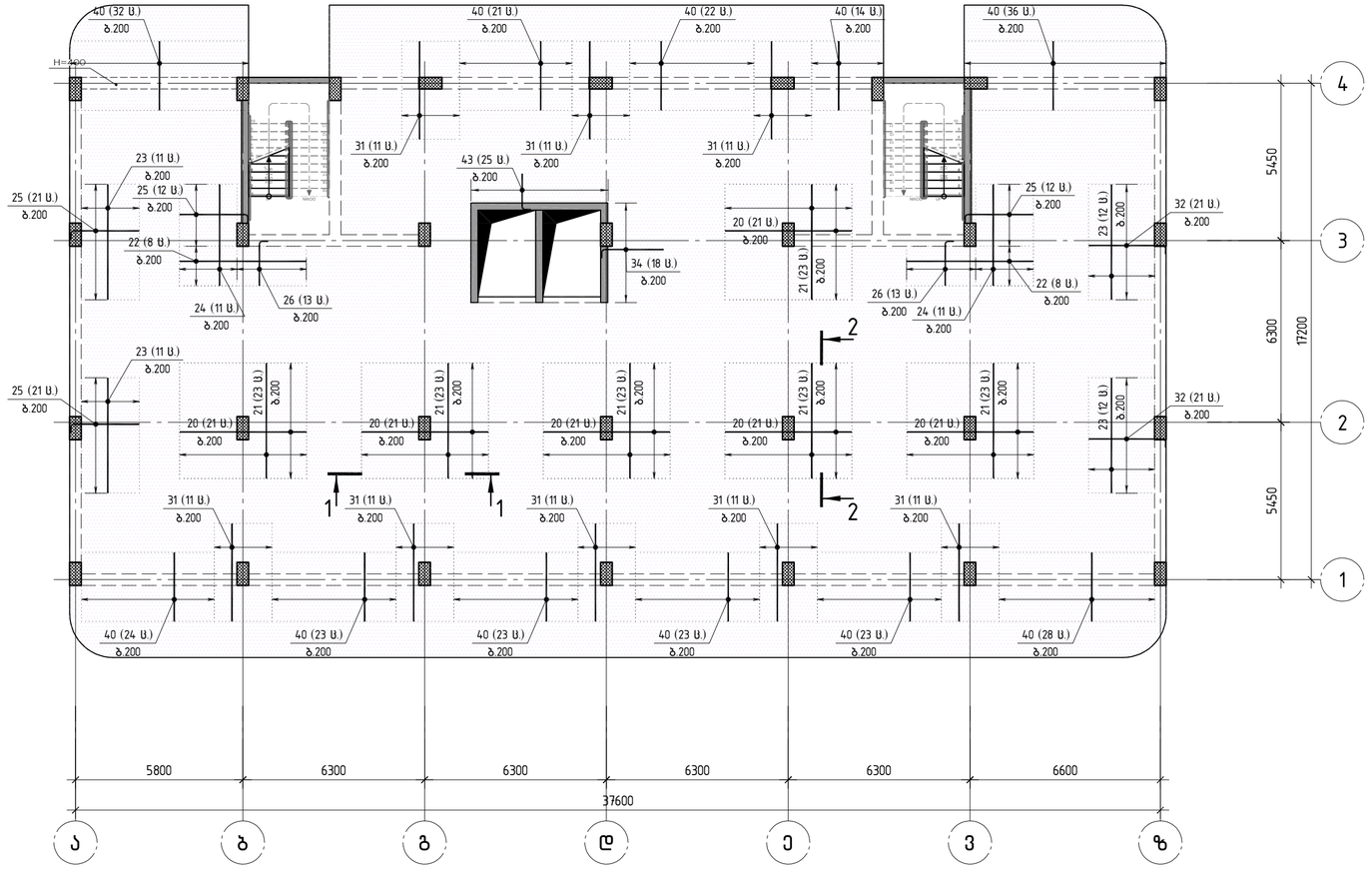


შენიშვნა
ფილის არმირებისას იხ. ხვრელების გაძლიერება ფურც. კ-320; კ-321

A2 1:150

| | |
|---|---|
| კონსტრუქტორი | |
| შ.პ.ს "ჯი ენ პი" | ალ. ყაზბეგის გამზ. №3 0160, თბილისი, საქართველო +995599150088 Gipn.ltd@gmail.com |
| პროექტის დასახელება: | მრავალბინიანი საცხოვრებელი სახლი (ბლოკი "F") ქ.თბილისი, "დელისი-3"-ის საცხოვრებელი რაიონის მიმდებარედ, ინტენსიფიკაციის გზის სამხრეთით, (ნაკვეთი №1124) |
| ნახაზის დასახელება: | რაბ მონოლითური ფილა +2.900; +6.200. . .+16.100 ნიშნულზე ზედა დამატებითი არმატურის განლაგების სქემა |
| დახაზა: ა.ბ. | შეამოწმა: ო.ქ. | დაამტკიცა: ო.ქ. |
| მასშტაბი: 1:150 | ფორმატი: A2 | თარიღი: | რევიზია: R1 | ნახ.№: კ- 310 |

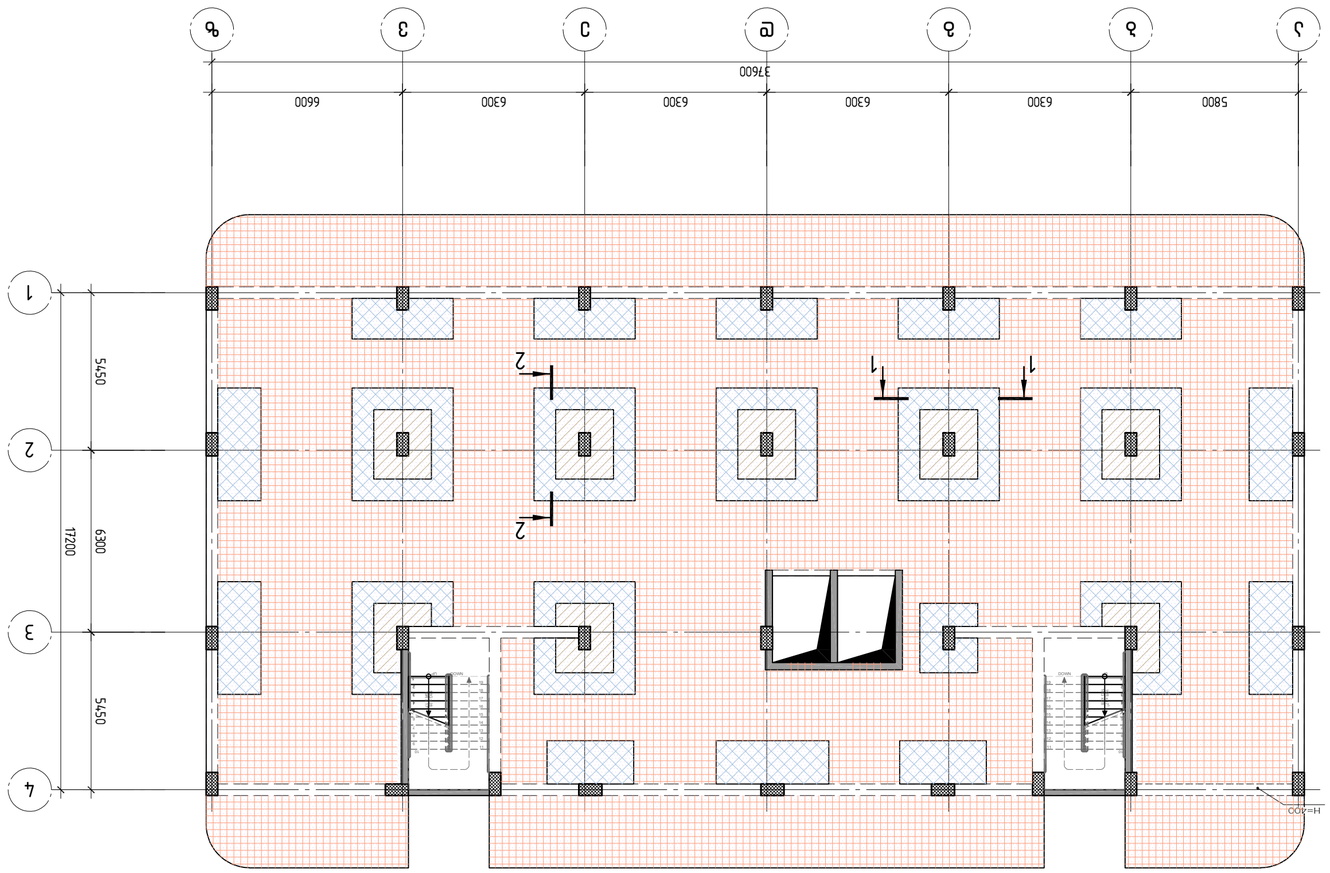


- בטון מדרגות (עמ' ב) ב. 800
- בטון מסד (עמ' א ) ב30 + פיגמנט אפור (עמ' ד) ב. 800
- בטון מסד (עמ' א ) ב30 200 + פיגמנט אפור (עמ' ד) ב. 800
- בטון מסד (עמ' א ) ב30 100 + פיגמנט אפור (עמ' ד) ב. 800

| | | | |
|---|---|---|---|
| קנה מידה 1:150 | פורמט A2 | מהדורה | שלב ביצוע |
| קנ"מ | R1 | מ.מהדורה | גיליון מס' |

| | | |
|---|---|---|
| שלב | מ.ב. | מ.ב. |
| ב.ה | | |

| | |
|---|---|
| שם הפרויקט והכתובת | בניין משרדים ומסחר, רח' הברזל 3, תל אביב |
| שם השרטוט | תכנית קומת גג |
| מספר שרטוט | 1 |
| מספר תכנית | 1 |
| מספר גרסה | 1 |

| | |
|---|---|
| שם המתכנן | אדר' יעל כהן |
| כתובת | רח' הברזל 3, תל אביב |
| טלפון | 03-7654321 |
| דוא"ל | yael.cohen@gmail.com |

| | |
|---|---|
| שם היזם | חברת נדל"ן אופק בע"מ |
| כתובת | רח' הברזל 3, תל אביב |
| טלפון | 03-7654321 |
| דוא"ל | yael.cohen@gmail.com

| Зм№ | | Ø диаметр, мм | Кол-во, шт | Длина 1 шт, м | Общая длина, м |
|---|---|---|---|---|---|
| | Ø10 В500В | | | | |
| А | L=830 | 385 | 16.75 | 6448.8 | |
| В | L=925 | 323 | 0.34 | 109.8 | |
| С | L=350 | 10105 | 0.22 | 2192.83 | |
| | Ø12 В500В | | | | |
| D | L=1500 | 1153 | 1.25 | 1437.75 | |
| 1 | Ø14 В500В L=6255.0 м | | 121 | 7556.0 | |
| 2 | Ø10 В500В L=7175.2 м | | 0.62 | 4419.9 | |
| 3 | Ø8 В500В L=2870.6 м | | 0.40 | 1133.9 | |
| | Ø22 В500В | | | | |
| 4 | L=8000 | 6 | 23.87 | 143.2 | |
| 5 | L=7800 | 3 | 23.28 | 69.8 | |
| 6 | L=7600 | 12 | 22.68 | 272.2 | |
| 7 | L=7430 | 6 | 22.17 | 133.0 | |
| 8 | L=7130 | 3 | 21.28 | 63.8 | |
| 9 | L=7000 | 3 | 20.89 | 62.7 | |

| Зм№ | | Ø диаметр, мм | Кол-во, шт | Длина 1 шт, м | Общая длина, м |
|---|---|---|---|---|---|
| 10 | L=6630 | 6 | 19.78 | 118.7 | |
| 11 | L=6000 | 21 | 17.90 | 375.9 | |
| 12 | L=5850 | 3 | 17.46 | 52.4 | |
| 13 | L=5180 | 3 | 15.46 | 46.4 | |
| 14 | L=4000 | 36 | 11.94 | 429.8 | |
| 15 | L=3400 | 24 | 10.15 | 243.6 | |
| 16 | L=2705 | 6 | 8.07 | 48.4 | |
| 17 | L=2650 | 9 | 7.91 | 71.2 | |
| 18 | L=2400 | 6 | 7.16 | 43.0 | |
| 19 | L=2000 | 9 | 5.97 | 53.7 | |
| | Ø18 В500В | | | | |
| 20 | L=4400 | 126 | 8.79 | 1107.7 | |
| 21 | L=4000 | 138 | 7.99 | 1102.9 | |
| | Ø16 В500В | | | | |
| 22 | L=4400 | 16 | 6.94 | 111.1 | |
| 23 | L=4000 | 46 | 6.31 | 290.4 | |
| 24 | L=3520 | 22 | 5.55 | 122.2 | |

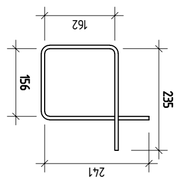


Зм№. А

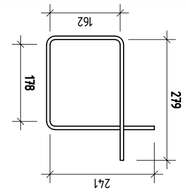


Зм№. В

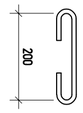


Зм№. С

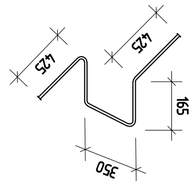


Зм№. D

1-1

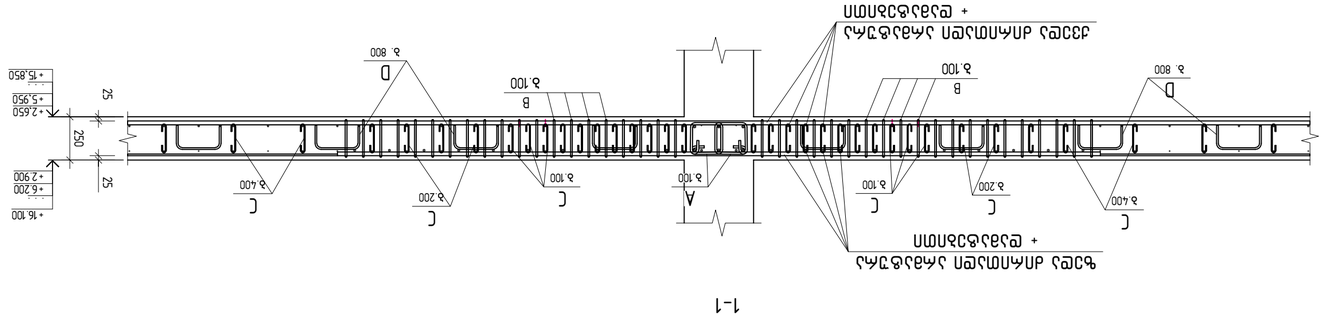


2-2

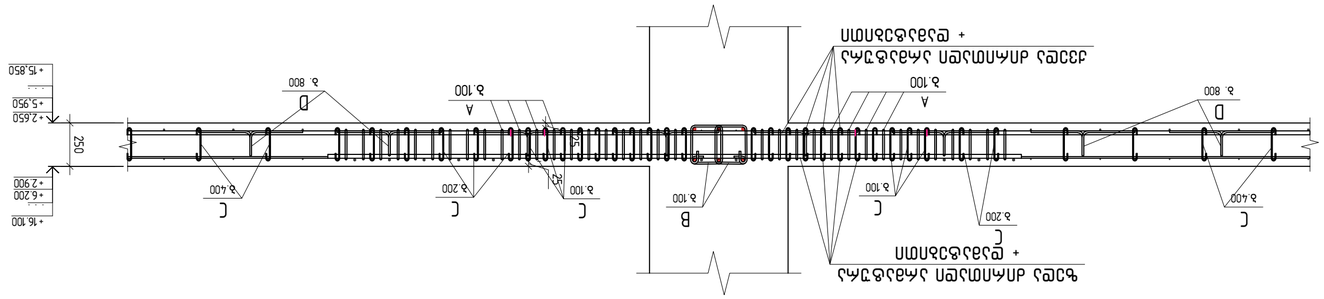


| Зм№ | | Ø диаметр, мм | Кол-во, шт | Длина 1 шт, м | Общая длина, м |
|---|---|---|---|---|---|
| 25 | L=2625 | 66 | 4.14 | 273.4 | |
| 26 | L=1800 | 26 | 2.84 | 73.9 | |
| | Ø14 В500В | | | | |
| 27 | L=4690 | 108 | 5.67 | 611.9 | |
| 28 | L=4620 | 43 | 5.58 | 240.0 | |
| 29 | L=4000 | 115 | 4.83 | 555.7 | |
| 30 | L=3670 | 31 | 4.43 | 137.4 | |
| 31 | L=3400 | 88 | 4.11 | 361.4 | |
| 32 | L=2925 | 42 | 3.53 | 148.4 | |
| 33 | L=2400 | 21 | 2.90 | 60.9 | |
| 34 | L=2400 | 18 | 2.90 | 52.2 | |
| | Ø12 В500В | | | | |
| 35 | L=6000 | 19 | 5.33 | 101.2 | |
| 36 | L=4620 | 19 | 4.10 | 77.9 | |
| 37 | L=4000 | 111 | 3.55 | 394.3 | |
| 38 | L=3670 | 129 | 3.26 | 420.4 | |
| 39 | L=3040 | 21 | 2.70 | 56.7 | |
| 40 | L=2400 | 269 | 2.13 | 573.3 | |
| | Ø10 В500В | | | | |
| 41 | L=4000 | 13 | 2.46 | 32.0 | |
| 42 | L=3670 | 45 | 2.26 | 101.7 | |
| 43 | L=1500 | 25 | 0.92 | 23.1 | |
| | Ø8 В500В | | | | |
| 44 | L=2400 | 88 | 0.95 | 83.4 | |
| 45 | L=2000 | 104 | 0.79 | 82.2 | |
| | Ø25 | | | | 92556 |
| | Бетон для монолитных железобетонных конструкций | | | 184.55 | м³ |
| | | | | | 176 |

| | | | | | |
|---|---|---|---|---|---|
| | | | | | |
| | | | | | |
| | | | | | |
| | | | | | |
| | | | | | |
| | | | | | |


ЛМбЫЭЭЖЭЭЛЭМАЛ

ЗАО "Завод железобетонных конструкций №1"

Адрес: 676450, Амурская обл., г. Свободный, ул. Заводская, 1

Тел.: +7 (41643) 2-15-30, 2-15-31

E-mail: zbk1@svobodny.ru


| | | | |
|---|---|---|---|
| Разработал | Иванов А.С. | | |
| Проверил | Петрова Е.Н. | | |
| Н. контр. | Сидоров В.М. | | |
| ГИП | Кузнецов Д.А. | | |

Монолитная железобетонная балка (эскиз для изготовления)

Схема армирования. Спецификация арматуры и ведомость расхода стали. Фасад дна монолитной железобетонной балки. Вертикальная плоскость. Сечения 1-1 и 2-2. Ø диаметр, мм. Кол-во, шт. Длина 1 шт, м. Общая длина, м. Зм№. Бетон для монолитных железобетонных конструкций — 184.55 м³. Масса арматуры — 92556 кг.

| | | | |
|---|---|---|---|
| Стадия | Лист | Листов | |
| Р | 1 | 1 | |

| | | | | |
|---|---|---|---|---|
| 1:25 | А2 | ЗМ-4343 | 6343Ф.ЛЛ | 6.Ф.ж |

А2 1:25

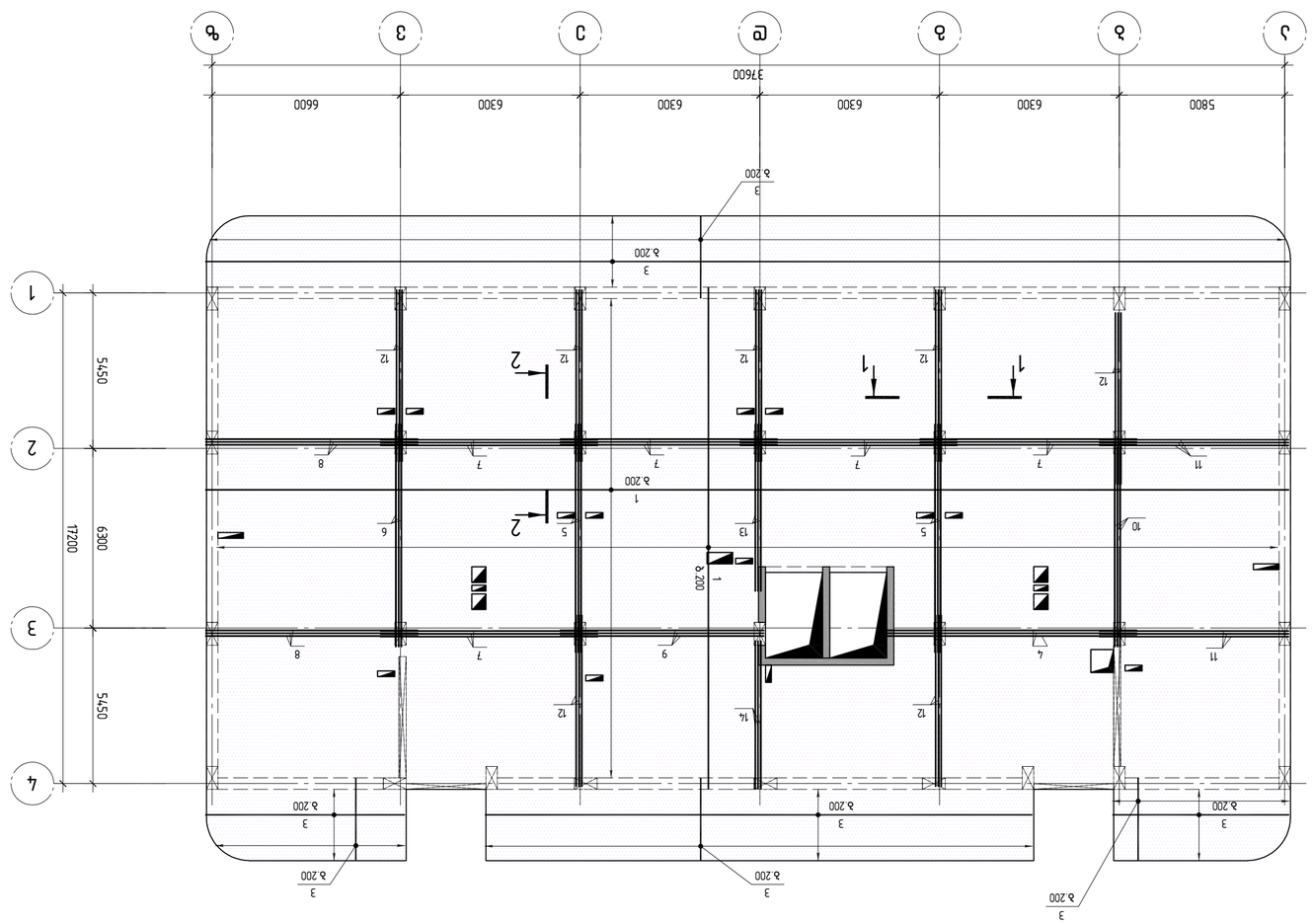


A2 1:150

Планировка этажа. Отм. 3.300, 6.300, 9.300. Ось 1: Ж/б колонны 400×400 мм. Ось 2: Ж/б колонны 400×400 мм. Ось 3: Ж/б колонны 400×400 мм. Ось 4: Ж/б колонны 400×400 мм. Ось А: Ж/б колонны 400×400 мм. Ось Б: Ж/б колонны 400×400 мм. Ось В: Ж/б колонны 400×400 мм. Ось Г: Ж/б колонны 400×400 мм. Ось Д: Ж/б колонны 400×400 мм. Ось 1-2: Ж/б стена 200 мм. Ось 2-3: Ж/б стена 200 мм. Ось 3-4: Ж/б стена 200 мм. Ось А-Б: Ж/б стена 200 мм. Ось Б-В: Ж/б стена 200 мм. Ось В-Г: Ж/б стена 200 мм. Ось Г-Д: Ж/б стена 200 мм. Ось 1-2: Ж/б перемычка 200×300 мм. Ось 2-3: Ж/б перемычка 200×300 мм. Ось 3-4: Ж/б перемычка 200×300 мм. Ось А-Б: Ж/б перемычка 200×300 мм. Ось Б-В: Ж/б перемычка 200×300 мм. Ось В-Г: Ж/б перемычка 200×300 мм. Ось Г-Д: Ж/б перемычка 200×300 мм. Ось 1-2: Ж/б плита 200 мм. Ось 2-3: Ж/б плита 200 мм. Ось 3-4: Ж/б плита 200 мм. Ось А-Б: Ж/б плита 200 мм. Ось Б-В: Ж/б плита 200 мм. Ось В-Г: Ж/б плита 200 мм. Ось Г-Д: Ж/б плита 200 мм. Ось 1-2: Ж/б лестница 1200 мм. Ось 2-3: Ж/б лестница 1200 мм. Ось 3-4: Ж/б лестница 1200 мм. Ось А-Б: Ж/б лестница 1200 мм. Ось Б-В: Ж/б лестница 1200 мм. Ось В-Г: Ж/б лестница 1200 мм. Ось Г-Д: Ж/б лестница 1200 мм. Ось 1-2: Ж/б балка 200×400 мм. Ось 2-3: Ж/б балка 200×400 мм. Ось 3-4: Ж/б балка 200×400 мм. Ось А-Б: Ж/б балка 200×400 мм. Ось Б-В: Ж/б балка 200×400 мм. Ось В-Г: Ж/б балка 200×400 мм. Ось Г-Д: Ж/б балка 200×400 мм. Ось 1-2: Ж/б ригель 200×400 мм. Ось 2-3: Ж/б ригель 200×400 мм. Ось 3-4: Ж/б ригель 200×400 мм. Ось А-Б: Ж/б ригель 200×400 мм. Ось Б-В: Ж/б ригель 200×400 мм. Ось В-Г: Ж/б ригель 200×400 мм. Ось Г-Д: Ж/б ригель 200×400 мм. Ось 1-2: Ж/б фундамент 2000×2000 мм. Ось 2-3: Ж/б фундамент 2000×2000 мм. Ось 3-4: Ж/б фундамент 2000×2000 мм. Ось А-Б: Ж/б фундамент 2000×2000 мм. Ось Б-В: Ж/б фундамент 2000×2000 мм. Ось В-Г: Ж/б фундамент 2000×2000 мм. Ось Г-Д: Ж/б фундамент 2000×2000 мм. Ось 1-2: Ж/б свая 300×300 мм. Ось 2-3: Ж/б свая 300×300 мм. Ось 3-4: Ж/б свая 300×300 мм. Ось А-Б: Ж/б свая 300×300 мм. Ось Б-В: Ж/б свая 300×300 мм. Ось В-Г: Ж/б свая 300×300 мм. Ось Г-Д: Ж/б свая 300×300 мм. Ось 1-2: Ж/б ростверк 2000×2000 мм. Ось 2-3: Ж/б ростверк 2000×2000 мм. Ось 3-4: Ж/б ростверк 2000×2000 мм. Ось А-Б: Ж/б ростверк 2000×2000 мм. Ось Б-В: Ж/б ростверк 2000×2000 мм. Ось В-Г: Ж/б ростверк 2000×2000 мм. Ось Г-Д: Ж/б ростверк 2000×2000 мм. Ось 1-2: Ж/б подпорная стена 300 мм. Ось 2-3: Ж/б подпорная стена 300 мм. Ось 3-4: Ж/б подпорная стена 300 мм. Ось А-Б: Ж/б подпорная стена 300 мм. Ось Б-В: Ж/б подпорная стена 300 мм. Ось В-Г: Ж/б подпорная стена 300 мм. Ось Г-Д: Ж/б подпорная стена 300 мм. Ось 1-2: Ж/б пандус 1200 мм. Ось 2-3: Ж/б пандус 1200 мм. Ось 3-4: Ж/б пандус 1200 мм. Ось А-Б: Ж/б пандус 1200 мм. Ось Б-В: Ж/б пандус 1200 мм. Ось В-Г: Ж/б пандус 1200 мм. Ось Г-Д: Ж/б пандус 1200 мм. Ось 1-2: Ж/б козырек 1000 мм. Ось 2-3: Ж/б козырек 1000 мм. Ось 3-4: Ж/б козырек 1000 мм. Ось А-Б: Ж/б козырек 1000 мм. Ось Б-В: Ж/б козырек 1000 мм. Ось В-Г: Ж/б козырек 1000 мм. Ось Г-Д: Ж/б козырек 1000 мм. Ось 1-2: Ж/б парапет 1100 мм. Ось 2-3: Ж/б парапет 1100 мм. Ось 3-4: Ж/б парапет 1100 мм. Ось А-Б: Ж/б парапет 1100 мм. Ось Б-В: Ж/б парапет 1100 мм. Ось В-Г: Ж/б парапет 1100 мм. Ось Г-Д: Ж/б парапет 1100 мм. Ось 1-2: Ж/б ограждение 1200 мм. Ось 2-3: Ж/б ограждение 1200 мм. Ось 3-4: Ж/б ограждение 1200 мм. Ось А-Б: Ж/б ограждение 1200 мм. Ось Б-В: Ж/б ограждение 1200 мм. Ось В-Г: Ж/б ограждение 1200 мм. Ось Г-Д: Ж/б ограждение 1200 мм. Ось 1-2: Ж/б отмостка 1000 мм. Ось 2-3: Ж/б отмостка 1000 мм. Ось 3-4: Ж/б отмостка 1000 мм. Ось А-Б: Ж/б отмостка 1000 мм. Ось Б-В: Ж/б отмостка 1000 мм. Ось В-Г: Ж/б отмостка 1000 мм. Ось Г-Д: Ж/б отмостка 1000 мм. Ось 1-2: Ж/б приямок 1500 мм. Ось 2-3: Ж/б приямок 1500 мм. Ось 3-4: Ж/б приямок 1500 мм. Ось А-Б: Ж/б приямок 1500 мм. Ось Б-В: Ж/б приямок 1500 мм. Ось В-Г: Ж/б приямок 1500 мм. Ось Г-Д: Ж/б приямок 1500 мм. Ось 1-2: Ж/б лестничная площадка 1200 мм. Ось 2-3: Ж/б лестничная площадка 1200 мм. Ось 3-4: Ж/б лестничная площадка 1200 мм. Ось А-Б: Ж/б лестничная площадка 1200 мм. Ось Б-В: Ж/б лестничная площадка 1200 мм. Ось В-Г: Ж/б лестничная площадка 1200 мм. Ось Г-Д: Ж/б лестничная площадка 1200

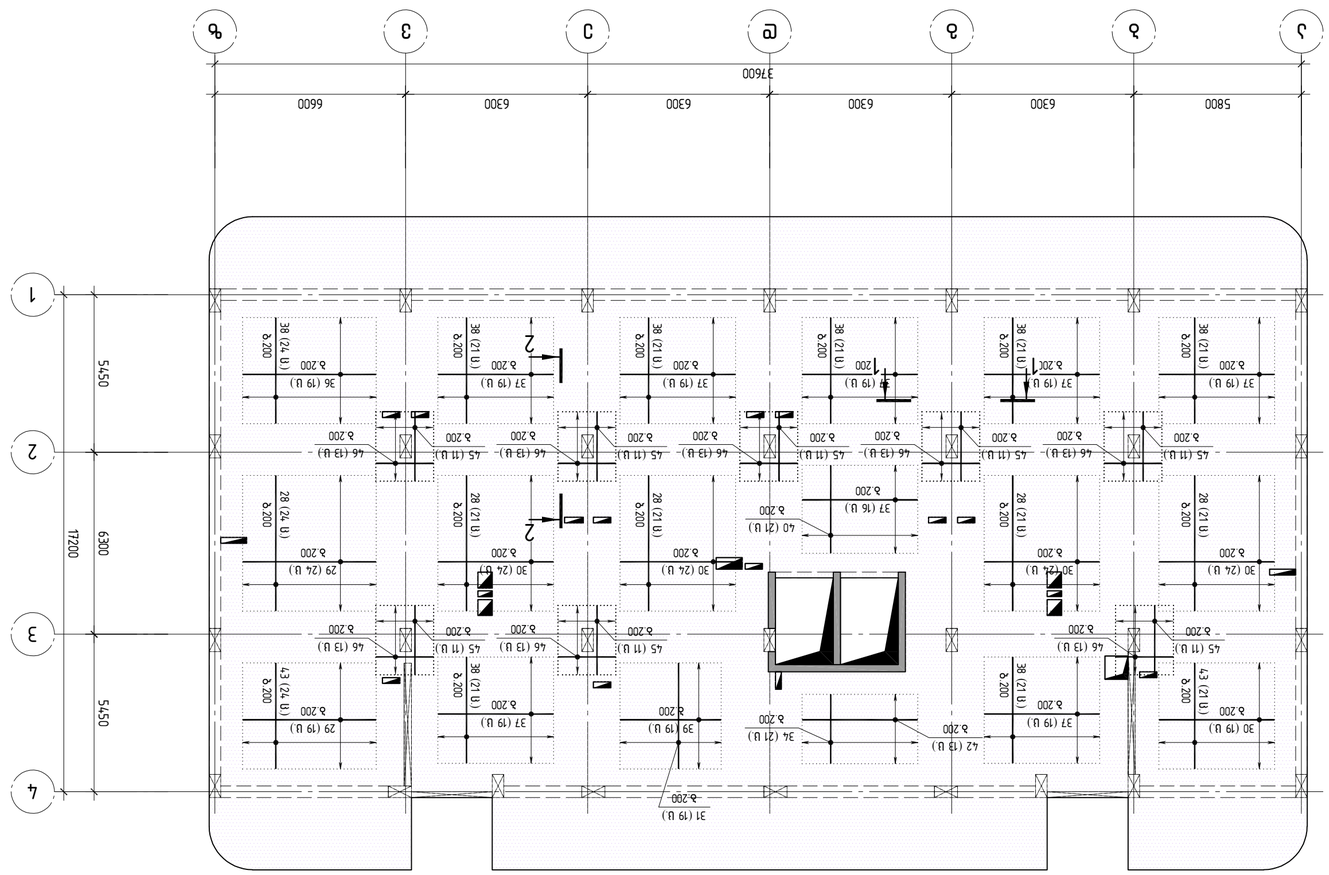


Планировка этажа. Отм. 3.320; 3.321

A2 1:150

| | | | |
|---|---|---|---|
| Изм. Кол.уч. Лист № док. Подп. Дата | | | |
| ГИП | Гайнутдинов Р.Р. | | |
| Н.контр. | | | |
| Разработал | | | |

ООО "Энергия-Строй"
г.Москва, ул.Ленинская Слобода, 19
+7 (495) 599-15-088
info@energia-stroy.com

Многоквартирный жилой дом (поз.1) с встроенными помещениями и подземной автостоянкой, расположенный по адресу: г.Москва, "ЮЗАО-3", ул.Новаторов, вл.7 (кад.№ 77:07:0004001:1234)

Жилой дом по ул.Новаторов вл.7 в ЮЗАО г.Москва

| | | |
|---|---|---|
| Стадия | Лист | Листов |
| Р | 1 | 1 |

| | | | | |
|---|---|---|---|---|
| Изм. | Кол.уч. | Лист | № док. | Подп. |
| Дата | | | | |

| | | | | |
|---|---|---|---|---|
| ГИП | Гайнутдинов Р.Р. | | | |
| Н.контр. | | | | |
| Разработал | | | | |

Планировка этажа. Отм. 3.320; 3.321

| | | |
|---|---|---|
| Стадия | Лист | Листов |
| Р | 1 | 1 |

ООО "Энергия-Строй"
г.Москва, ул.Ленинская Слобода, 19
+7 (495) 599-15-088
info@energia-stroy.com

Многоквартирный жилой дом (поз.1) с встроенными помещениями и подземной автостоянкой, расположенный по адресу: г.Москва, "ЮЗАО-3", ул.Новаторов, вл.7 (кад.№ 77:07:0004001:1234)

Жилой дом по ул.Новаторов вл.7 в ЮЗАО г.Москва

| | | |
|---|---|---|
| Стадия | Лист | Листов |
| Р | 1 | 1 |

| | | | | |
|---|---|---|---|---|
| Изм. | Кол.уч. | Лист | № док. | Подп. |
| Дата | | | | |

| | | | | |
|---|---|---|---|---|
| ГИП | Гайнутдинов Р.Р. | | | |
| Н.контр. | | | | |
| Разработал | | | | |

Планировка этажа. Отм. 3.320; 3.321

| | | |
|---|---|---|
| Стадия | Лист | Листов |
| Р | 1 | 1 |

ООО "Энергия-Строй"
г.Москва, ул.Ленинская Слобода, 19
+7 (495) 599-15-088
info@energia-stroy.com

Многоквартирный жилой дом (поз.1) с встроенными помещениями и подземной автостоянкой, расположенный по адресу: г.Москва, "ЮЗАО-3", ул.Новаторов, вл.7 (кад.№ 77:07:0004001:1234)

Жилой дом по ул.Новаторов вл.7 в ЮЗАО г.Москва

| | | |
|---|---|---|
| Стадия | Лист | Листов |
| Р | 1 | 1 |

| | | | | |
|---|---|---|---|---|
| Изм. | Кол.уч. | Лист | № док. | Подп. |
| Дата | | | | |

| | | | | |
|---|---|---|---|---|
| ГИП | Гайнутдинов Р.Р. | | | |
| Н.контр. | | | | |
| Разработал | | | | |

Планировка этажа. Отм. 3.320; 3.321

| | | |
|---|---|---|
| Стадия | Лист | Листов |
| Р | 1 | 1 |

ООО "Энергия-Строй"
г.Москва, ул.Ленинская Слобода, 19
+7 (495) 599-15-088
info@energia-stroy.com

Многоквартирный жилой дом (поз.1) с встроенными помещениями и подземной автостоянкой, расположенный по адресу: г.Москва, "ЮЗАО-3", ул.Новаторов, вл.7 (кад.№ 77:07:0004001:1234)

Жилой дом по ул.Новаторов вл.7 в ЮЗАО г.Москва

| | | |
|---|---|---|
| Стадия | Лист | Листов |
| Р | 1 | 1 |

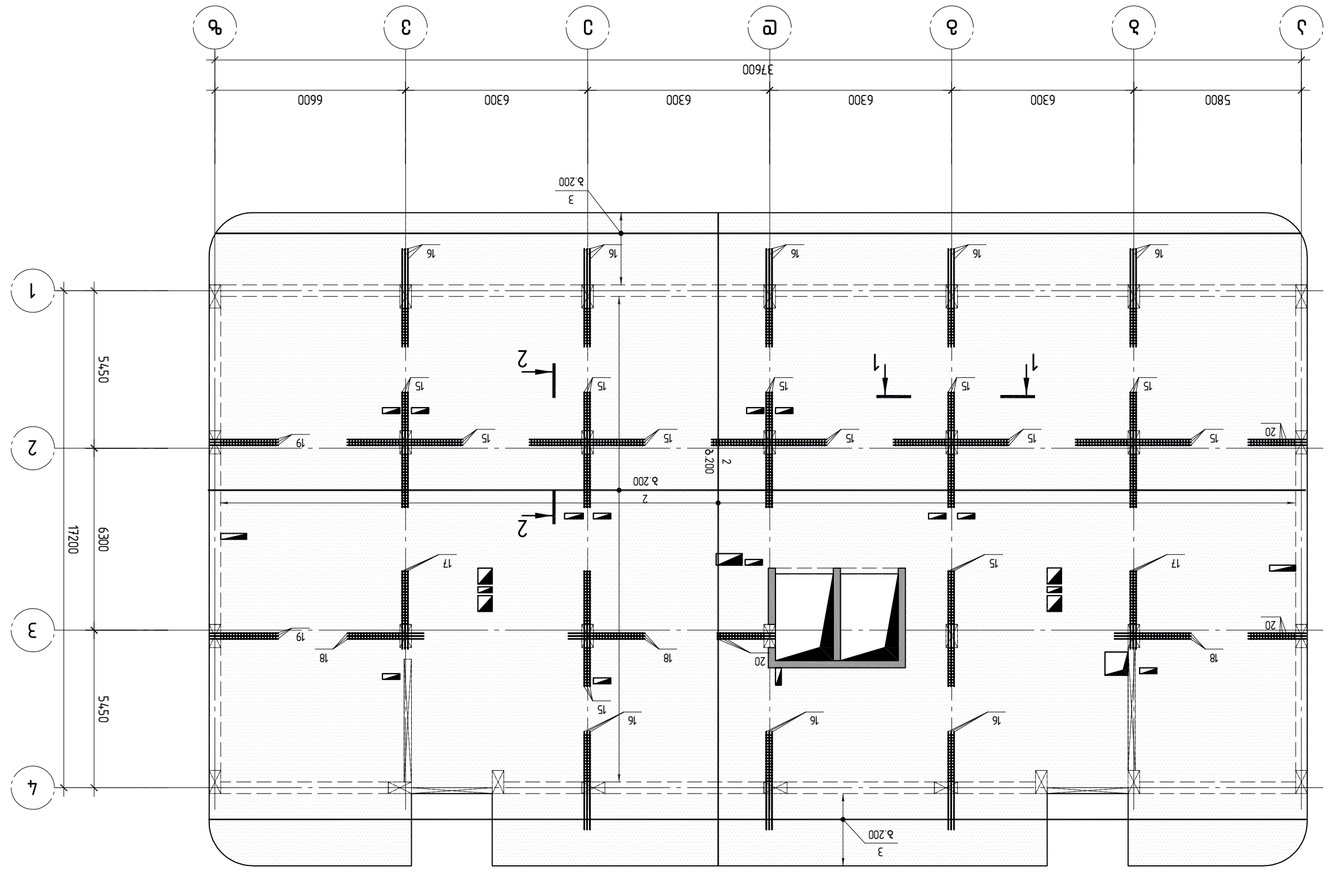


Планировка и разрезы перекрытия на отм. -3.320; -3.321

| | | | |
|---|---|---|---|
| Разработал | Н.контр. | Изм. Кол.уч. Лист № док. Подп. Дата | |
| Гип | Гип | | |

ООО "ЭНЕРГОСТРОЙ"
г.Москва, ул.Ленина, д.1, оф.1
+7 (495) 123-45-67
info@energostroy.ru

Монолитный железобетонный каркас (отм.-3.320 ... -3.321)
Планировка и разрезы перекрытия на отм. -3.320; -3.321

| | | |
|---|---|---|
| Стадия | Лист | Листов |
| Р | 1 | 1 |

Копировал

Формат А2 | 1:150

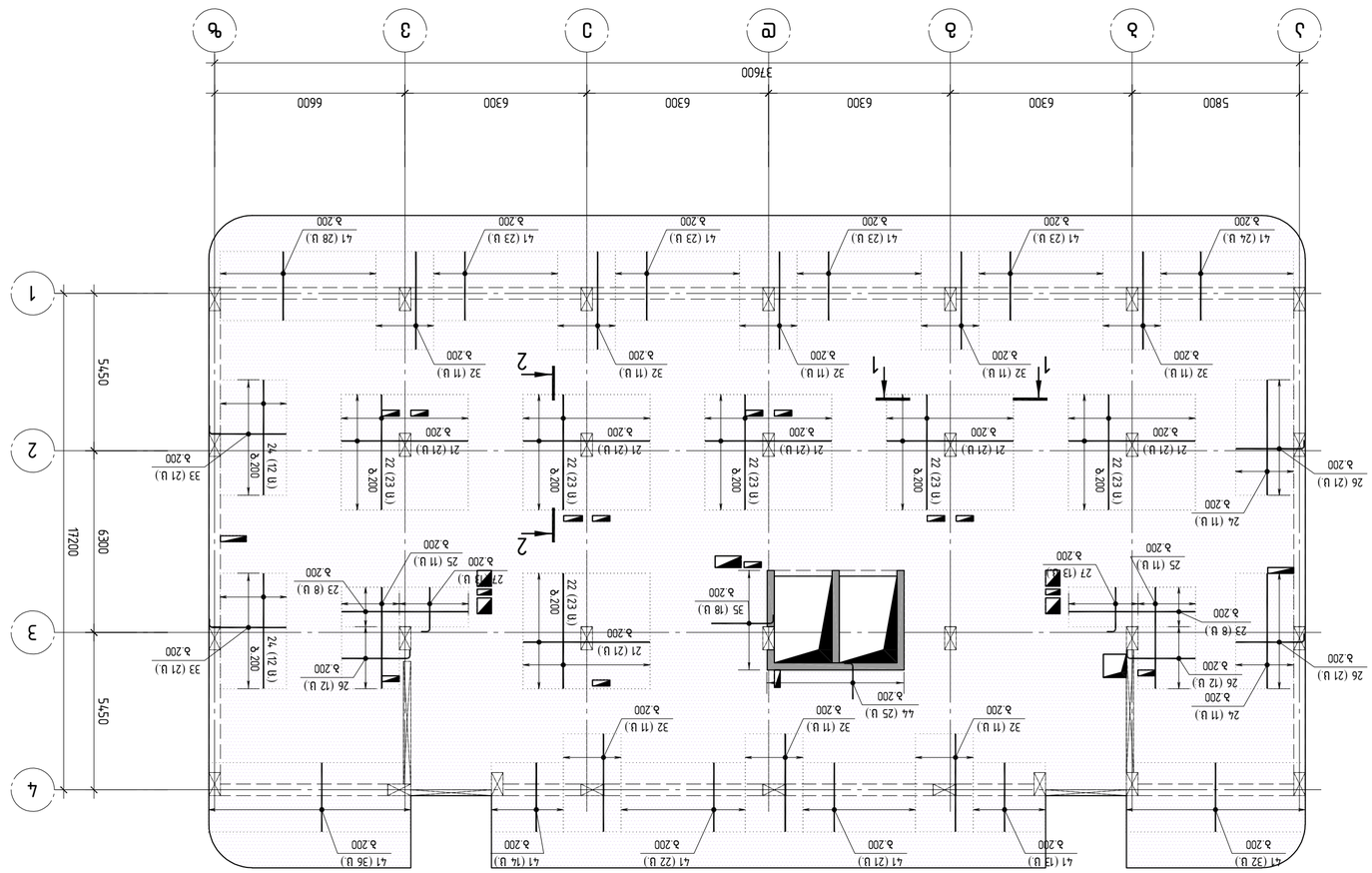


Планировка и размеры см. Б.Ч.Р.-320; Д-321

| | | | | |
|---|---|---|---|---|
| Изм. | Кол.уч. | Лист | № док. | Подп. |
| Гип | Ганиев | | | |
| Н.контр. | Ганиев | | | |

# Монолитный ростверк

Б.Ч.Р. "Зеленый город"

г. Ташкент, ул. Бабура, 62Б, тел.
+998559915088
Gipnii1@gmail.com

Выполнено по проекту типового жилого дома серии 1-447-18 Альбом 3 Конструкции железобетонные монолитные. Рабочие чертежи. Выпуск 1. Общие данные. Конструкции железобетонные монолитные. (Альбом утвержден Госстроем СССР 1988 г.)

Альбом выполнен в программе AutoCAD 2018

Стадия | Лист | Листов
Р | 1 | 1

Формат А2 | Масштаб 1:150

Инв. № подл. | Подп. и дата | Взам. инв. №

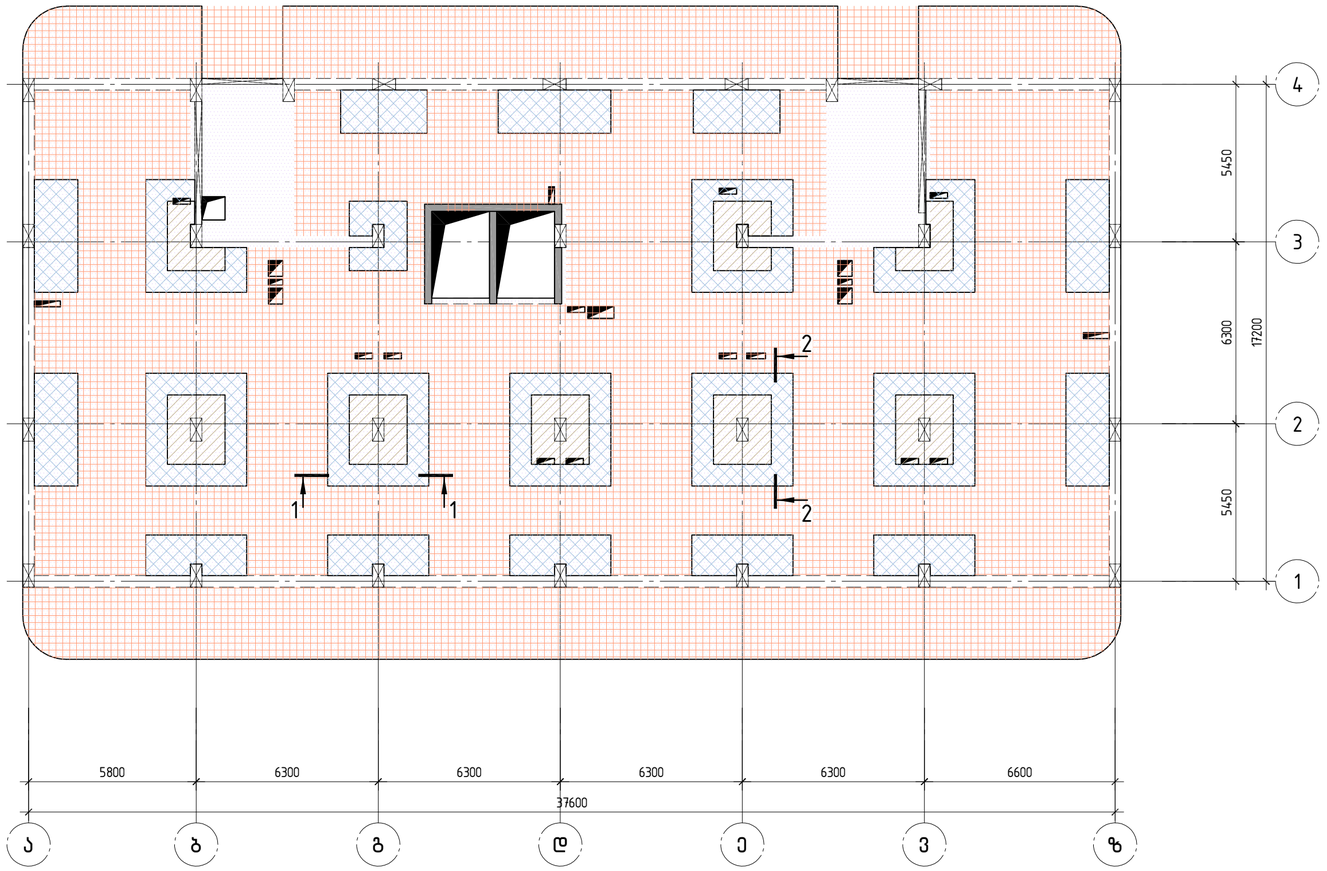


- საკიდები (ჯოხ. A ) ბიჯი 400 • ფიქსატორები (ჯოხ. D) ბ. 800
- საკიდები (ჯოხ. A ) ბიჯი 200 • ფიქსატორები (ჯოხ. D) ბ. 800
- საკიდები (ჯოხ. A ) ბიჯი 100 • ფიქსატორები (ჯოხ. D) ბ. 800

კონსტრუქტორი

შ.პ.ს "ჯი ენ პი"

ალ. ყაზბეგის გამზ. №8
0160, თბილისი, საქართველო
+995599150088
Gipn.ltd@gmail.com

პროექტის დასახელება:

მრავალბინიანი საცხოვრებელი სახლი (ბლოკი "F'')
ქ.თბილისი, "დელისი-3"-ის საცხოვრებელი რაიონის მიმდებარედ, ინტენსიფიკაციის გზის სამხრეთით, (ნაკვეთი №1124)

ნახაზის დასახელება:

რაბ მონოლითური ფილა +19.400 ნიშნულზე.
საკიდებისა და ფიქსატორების განლაგების სქემა

| დახაზა | შეამოწმა | დაამტკიცა |
|---|---|---|
| ა.ბ. | ო.ქ. | ო.ქ. |

| მასშტაბი | ფორმატი | თარიღი | რევიზია | ნახ.№ |
|---|---|---|---|---|
| 1:150 | A2 | | R1 | კ- 317 |

A2 1:150

A2 1:25

| Зм№ | | Ø ⊃ ⊥ ⊃ ⊃ ⊂ ⊂ ⊃ ⊃ | Шту. | аЗЦ⊃.ЭЛ т. Ја | ЗЭбПЗЭбЭ |
|---|---|---|---|---|---|
| | | ⊂ЭаЭ⊃⊂Ээ⊃Ап | | | |
| | | ø10 B500B | | | |
| А | | L=830 | 385 | 16.75 | 6448.8 |
| В | | L=925 | 323 | 0.34 | 109.8 |
| С | | L=350 | 10193 | 0.22 | 2211.82 |
| | | ø12 B500B | | | |
| D | | L=1500 | 1175 | 1.25 | 1464.40 |
| 1 | | ø14 A500C L=6255.0 м | | 121 | 7556.0 |
| 2 | | ø10 A500C L=7260.5 м | | 0.62 | 4472.5 |
| 3 | | ø8 A500C L=2944.1 м | | 0.40 | 1162.9 |
| | | ø22 A500C | | | |
| 4 | | L=8740 | 3 | 26.08 | 78.2 |
| 5 | | L=8000 | 6 | 23.87 | 143.2 |
| 6 | | L=7800 | 3 | 23.28 | 69.8 |
| 7 | | L=7600 | 15 | 22.68 | 340.2 |
| 8 | | L=7430 | 6 | 22.17 | 133.0 |
| 9 | | L=7130 | 3 | 21.28 | 63.8 |

| Зм№ | | Ø ⊃ ⊥ ⊃ ⊃ ⊂ ⊂ ⊃ ⊃ | Шту. | аЗЦ⊃.ЭЛ т. Ја | ЗЭбПЗЭбЭ |
|---|---|---|---|---|---|
| 10 | | L=7000 | 3 | 20.89 | 62.7 |
| 11 | | L=6630 | 6 | 19.78 | 118.7 |
| 12 | | L=6000 | 21 | 17.90 | 375.9 |
| 13 | | L=5850 | 3 | 17.46 | 52.4 |
| 14 | | L=5180 | 3 | 15.46 | 46.4 |
| 15 | | L=4000 | 36 | 11.94 | 429.8 |
| 16 | | L=3400 | 24 | 10.15 | 243.6 |
| 17 | | L=2705 | 6 | 8.07 | 48.4 |
| 18 | | L=2650 | 9 | 7.91 | 71.2 |
| 19 | | L=2400 | 6 | 7.16 | 43.0 |
| 20 | | L=2000 | 9 | 5.97 | 53.7 |
| | | ø18 A500C | | | |
| 21 | | L=4400 | 126 | 8.79 | 1107.7 |
| 22 | | L=4000 | 138 | 7.99 | 1102.9 |
| | | ø16 A500C | | | |
| 23 | | L=4400 | 16 | 6.94 | 111.1 |

Зм№. A

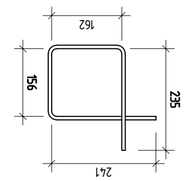


Зм№. B

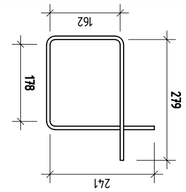


Зм№. C

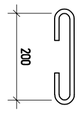


Зм№. D

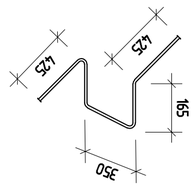


1-1

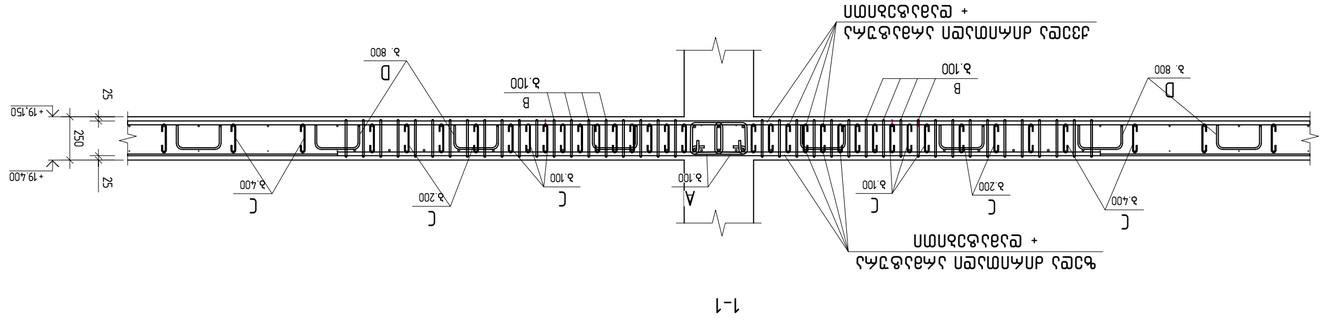
+ ЭЗЗЭЭЭ

A2 1:150

| Поз. | | Ø, мм | Длина, м | Кол. | Масса, кг |
|---|---|---|---|---|---|
| | Фундамент | | | | |
| | Ø12 B500B | | | | |
| 1 | L=5060 | 16 | 4.49 | 71.9 | |
| 2 | L=4750 | 16 | 4.22 | 67.5 | |
| | ø8 A500C | | | | |
| 3 | L=3740 | 22 | 1.48 | 32.5 | |
| 4 | L=3450 | 22 | 1.36 | 30.0 | |

| Поз. | | | Ø, мм | Длина, м | Кол. | Масса, кг |
|---|---|---|---|---|---|---|
| | | Фундамент | | | | |
| | | ø8 B500B | | | | |
| A | | L=350 | 75 | 0.22 | 16.28 | |
| | | ø12 B500B | | | | |
| B | | L=1500 | 19 | 1.34 | 25.03 | |
| | | Балка | | | | 278 |
| | | Ø30 Дополнительная | | 2.40 | 3* | |
| | | | | | | 91 |

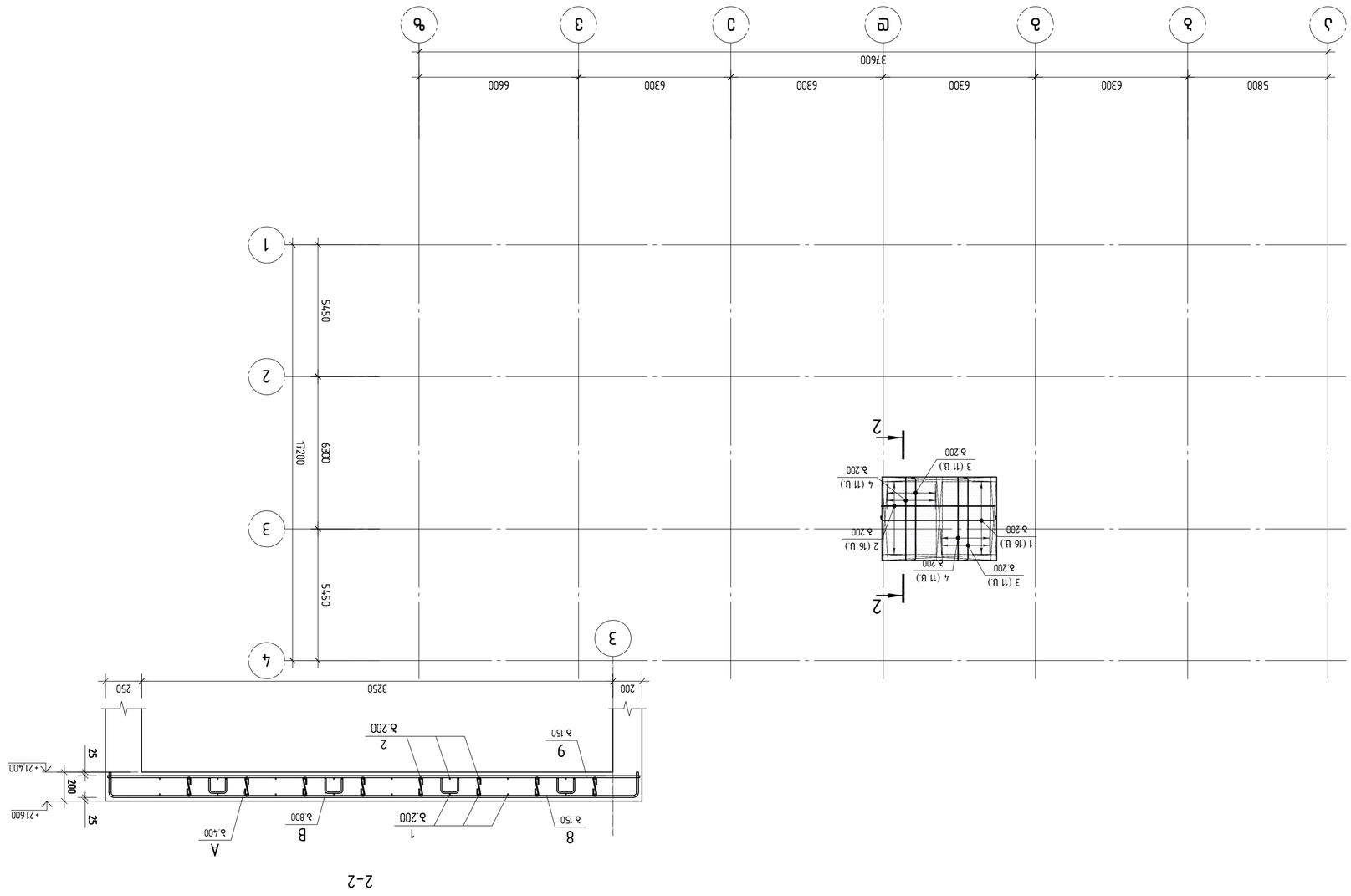


Дополнительные данные по армированию:

Бетон В25 (М350) F150 W6 (морозостойкость F150, водонепроницаемость W6). Защитный слой бетона 40 мм. Арматурные стержни должны быть чистыми, без ржавчины, масла и грязи. Вязка арматуры выполняется вязальной проволокой. Стыки арматуры внахлест не менее 40d. Перед бетонированием произвести освидетельствование скрытых работ.

| | | | |
|---|---|---|---|
| Разработал | | Дата | |
| Проверил | | Дата | |
| Н. контр. | | Дата | |
| ГИП | | Дата | |

| | | | | |
|---|---|---|---|---|
| Стадия | Лист | Листов | | |
| Р | 1 | 1 | | |

| | | | | |
|---|---|---|---|---|
| 1:150 | А2 | | Ø1 | Б/м |
| Масштаб | Формат | | Кол. | Масса |

ООО "Электро-Дом". г. Новосибирск, ул. Ленина, 42, оф. 7. +7 (383) 210-45-67. info@elektro-dom.ru

Эл.В.1 "Зеленый Дом"

Фундамент под электрощитовую (Эл.В.1). Схема армирования, спецификация арматуры, ведомость расхода стали.

Разработал — Дата — Стадия Р — Лист 1 — Листов 1

Масштаб 1:150 — Формат А2 — Кол. 1 — Масса 6,4 кг

Копирование и использование чертежа без разрешения автора запрещено. (с) 2024

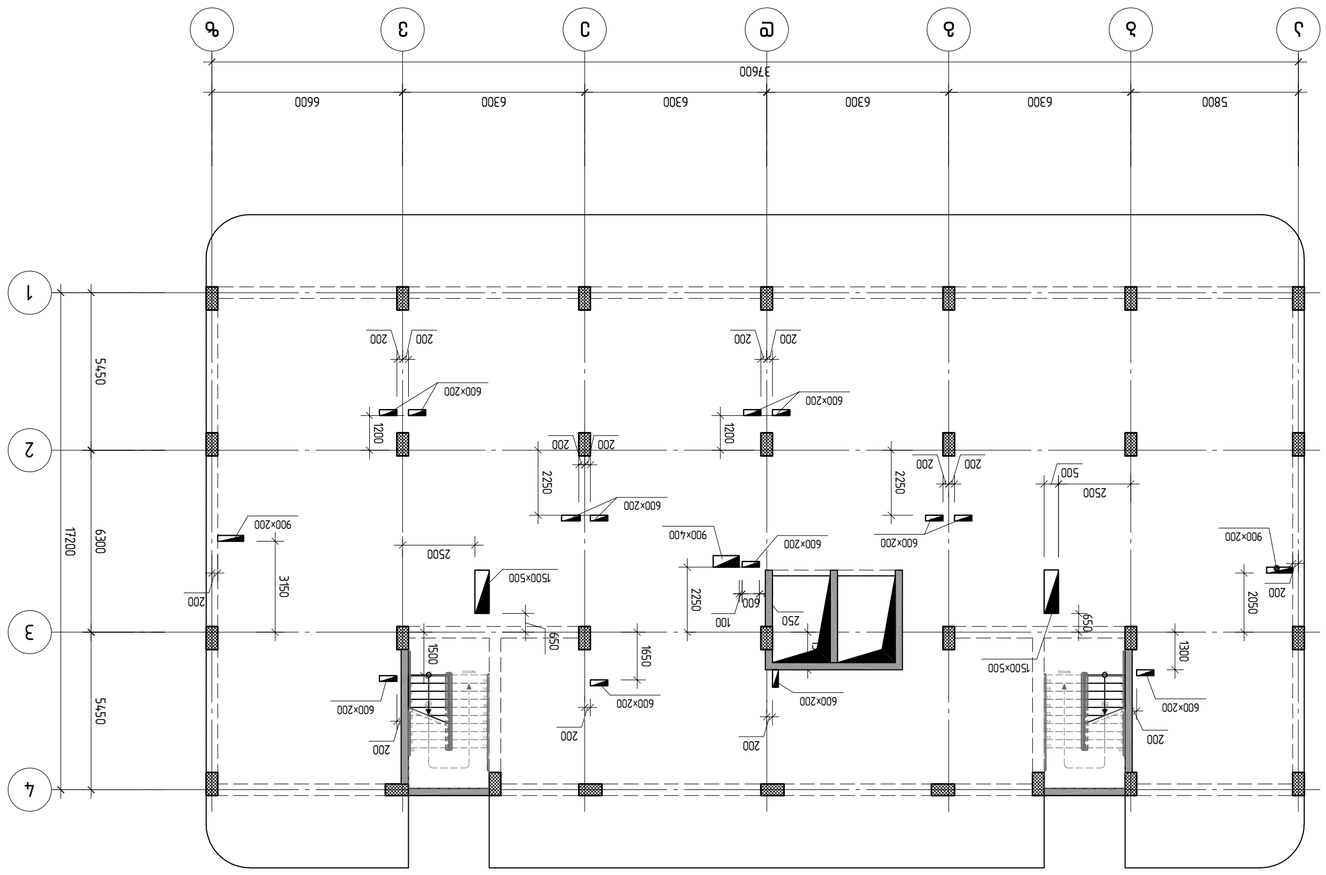


| | | | | |
|---|---|---|---|---|
| Изм. | Кол.уч. | Лист | № док. | Подп. |
| Гип | Гилязов Р.Ф. | | | |
| Нач.отд. | Ахметзянов Р.Р. | | | |
| Н.контр. | Ахметзянов Р.Р. | | | |

ООО "Проектная группа "Ак Барс"
г.Казань, ул.Чистопольская, д.65, оф.1
+7 (843) 570-57-57

Жилой дом №1 (поз.1) по ул.Чистопольская в Ново-Савиновском районе г.Казани. Корректировка

Схема расположения плит перекрытия на отм. +3.300

| | | |
|---|---|---|
| Стадия | Лист | Листов |
| Р | 1 | 1 |

АР

Формат А2

1:150

| Поз. | | Кол. | Масса одного эл., кг | Общая масса, кг |
|---|---|---|---|---|
| | **Ригели** | | | |
| | ГОСТ Р 52544-2006 | | | |
| 1 | L=2300 | 80 | 4.60 | 368 |
| 2 | L=2000 | 520 | 4.00 | 2080 |
| | ГОСТ Р 52544-2006 | | | |
| 3 | L=3000 | 100 | 3.62 | 362 |
| 4 | L=2900 | 40 | 3.50 | 140 |
| 5 | L=2000 | 60 | 2.42 | 145 |
| 6 | L=1700 | 20 | 2.05 | 41 |
| 7 | L=1680 | 20 | 2.03 | 41 |
| 8 | L=1550 | 20 | 1.87 | 37 |

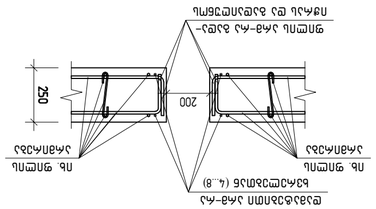


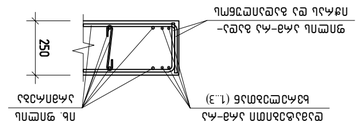


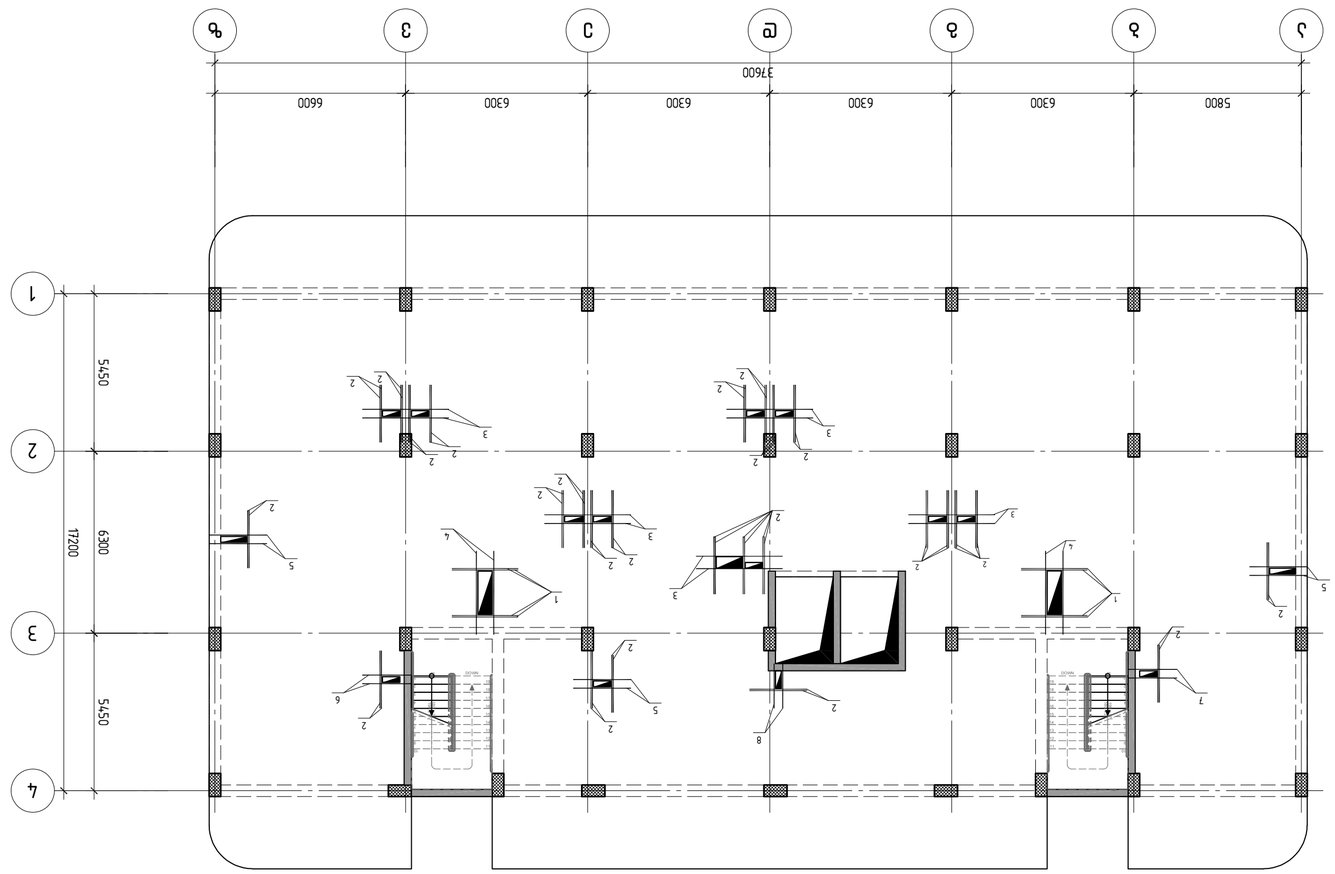


| | | | | |
|---|---|---|---|---|
| Выполнил | | | Стадия | Лист | Листов |
| Проверил | | | Р | 1 | 1 |
| Н. контр. | | | | | |
| ГИП | | | | | |

ООО "ПИК-Проект"
г. Москва, ул. Профсоюзная, д. 56, стр. 1
+74951234567
info@pik-project.ru

# Монолитный ростверк

Монолитный ростверк под колонны (сетка 5,8х6,3 м)
Схема армирования ригелей (сетка 5,8х6,3 м)
Ведомость ригелей. Спецификация
Схема армирования ригелей. Разрезы 1-1, 2-2, 3-3

| Стадия | Лист | Листов |
|---|---|---|
| Р | 1 | 1 |

| Масштаб | Формат | Инв. № подл. | Подпись и дата | Взам. инв. № |
|---|---|---|---|---|
| 1:150 | А2 | | | |

# მონოლითური სვეტი მს-1

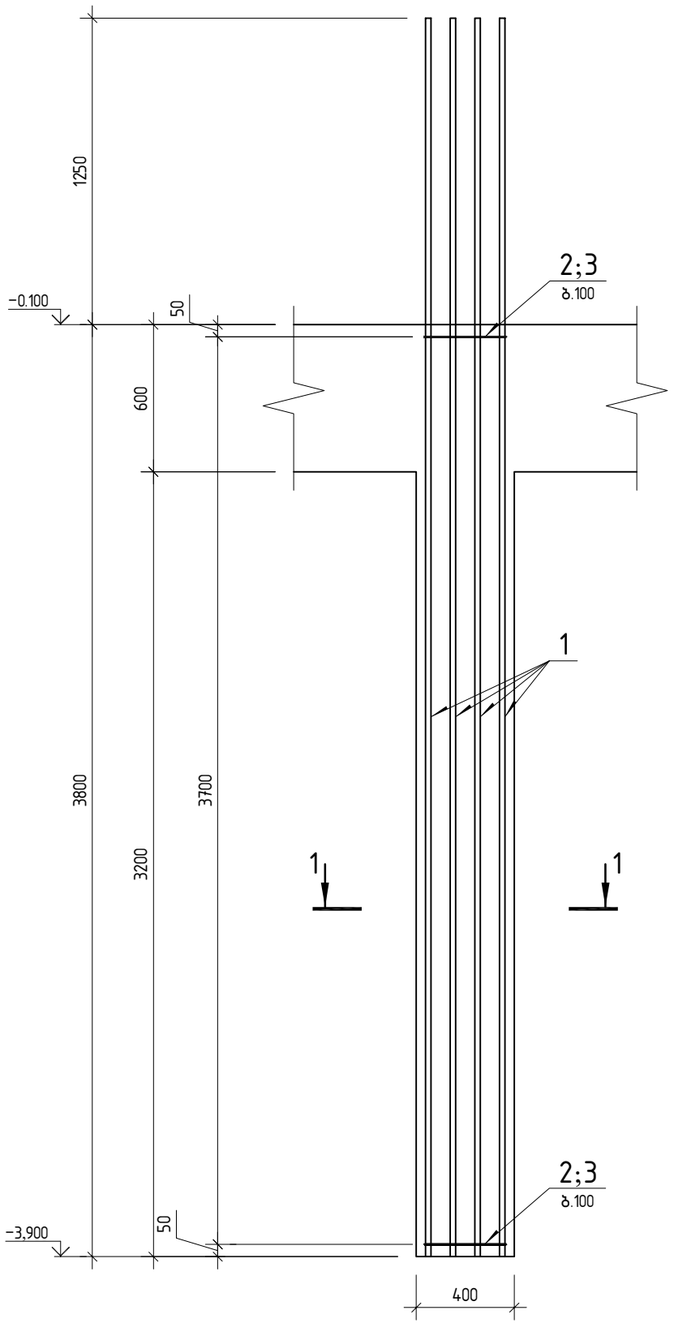


| პოზ. | ა ღ ნ ი შ ვ ნ ა | დ ა ს ა ხ ე ლ ე ბ ა | რაოდ. | შენიშვნა |
|---|---|---|---|---|
| | | მონოლითური სვეტი მს-1 | | |
| | | *დეტალები* | | |
| 1 | | ф 25 B500B ℓ= 5050 | 22 | 19.46 კგ |
| 2 | | ф 8 B500B ℓ= 2235 | 37 | 0.88 კგ |
| 3 | | ф 8 B500B ℓ= 460 | 111 | 0.18 კგ |
| | | *მასალები* | | |
| | | *B30 კლასის ბეტონი* | | 1.2 მ³ |

კვეთი 1-1

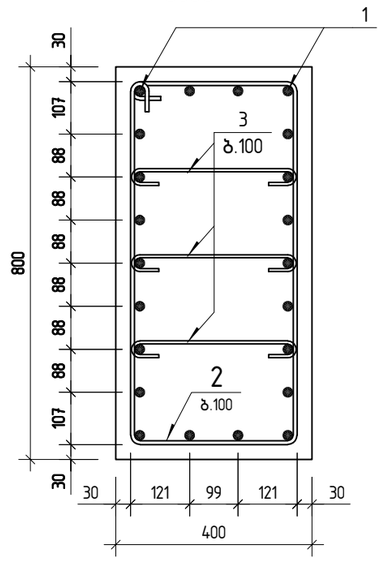


პოზ. 2

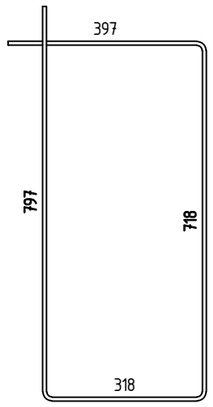


პოზ. 3

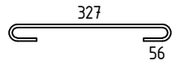



კონსტრუქტორი

შ.პ.ს "ჯი ენ პი"

ალ. ყაზბეგის გამზ. 14ბ
0160, თბილისი, საქართველო
+995599150088
Gipn.ltd@gmail.com


პროექტის დასახელება:

მრავალბინიანი საცხოვრებელი სახლი (ბლოკი "F")
ქ.თბილისი, "დელისი-3"-ის საცხოვრებელი რაიონის მიმდებარედ,
ინტენსიფიკაციის გზის სამხრეთით, (ნაკვეთი №1/124)

ნახაზის დასახელება:

მონოლითური სვეტი მს-1

| დახაზა | შეამოწმა | დაადასტურა |
|---|---|---|
| ლ.ჭ. | ო.ქ. | ო.ქ. |

| მასშტაბი | ფორმატი | თარიღი | რევიზია | ნახ.№ |
|---|---|---|---|---|
| 1:25 | A3 | | R1 | კ-401 |

# მონოლითური სვეტი მს-2

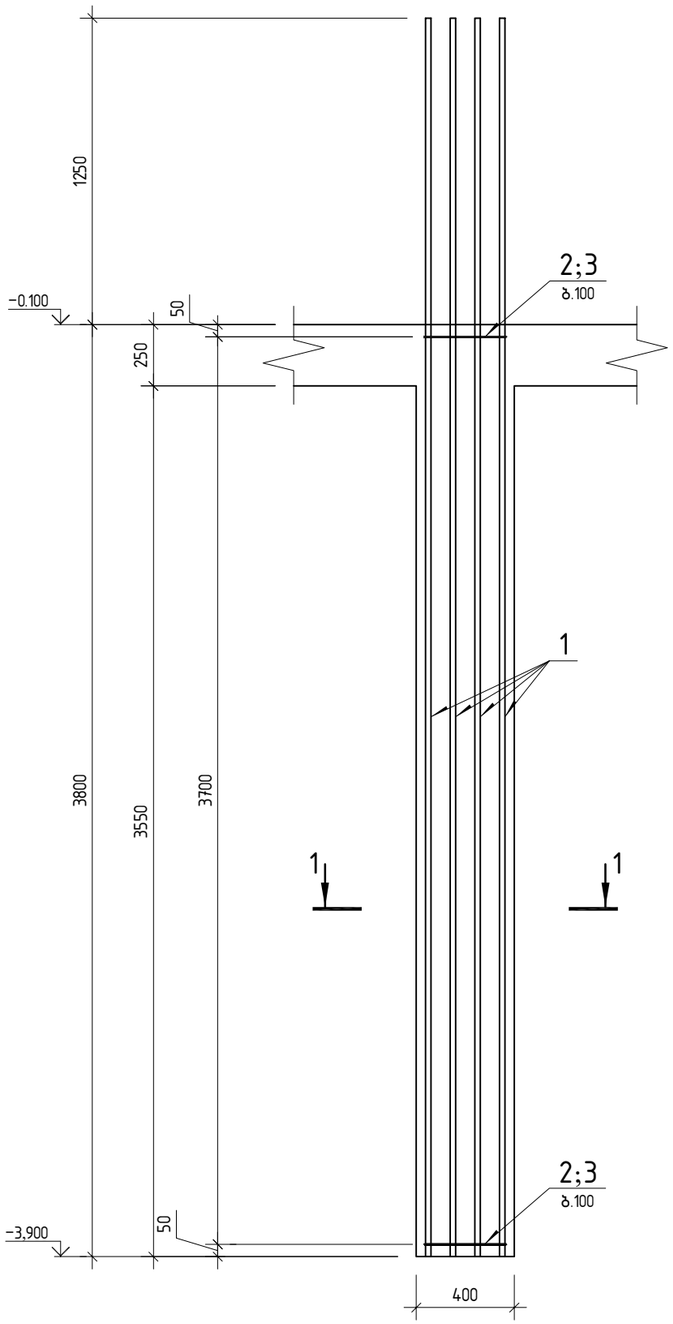


კვეთი 1-1

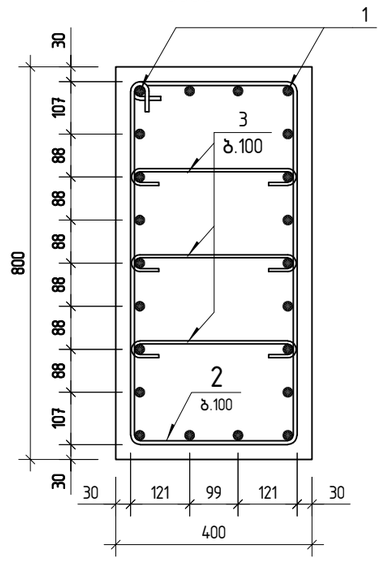


პოზ. 2

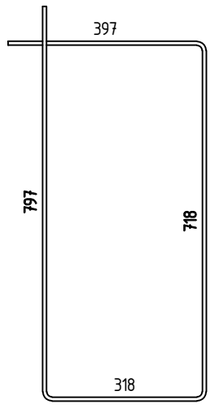


პოზ. 3

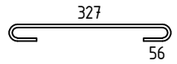


| პოზ. | ა ღ ნ ი შ ვ ნ ა | დ ა ს ა ხ ე ლ ე ბ ა | რაოდ. | შენიშვნა |
|---|---|---|---|---|
| | | მონოლითური სვეტი მს-2 | | |
| | | *დეტალები* | | |
| 1 | | ф 25 B500B ℓ= 5050 | 22 | 19.46 კგ |
| 2 | | ф 8 B500B ℓ= 2235 | 37 | 0.88 კგ |
| 3 | | ф 8 B500B ℓ= 460 | 111 | 0.18 კგ |
| | | *მასალები* | | |
| | | *B30 კლასის ბეტონი* | | 1.2 მ³ |

**კონსტრუქტორი**

შ.პ.ს "ჯი ენ პი"

ალ. ყაზბეგის გამზ. 14ბ
0160, თბილისი, საქართველო
+995599150088
Gipn.ltd@gmail.com

პროექტის დასახელება:

მრავალბინიანი საცხოვრებელი სახლი (ბლოკი "F")
ქ.თბილისი, "დელისი-3"-ის საცხოვრებელი რაიონის მიმდებარედ,
ინტენსიფიკაციის გზის სამხრეთით, (ნაკვეთი №1/124)

ნახაზის დასახელება:

მონოლითური სვეტი მს-2

| დახაზა | შეამოწმა | დაადასტურა |
|---|---|---|
| ლ.ჭ. | ო.ქ. | ო.ქ. |

| მასშტაბი | ფორმატი | თარიღი | რევიზია | ნახ.№ |
|---|---|---|---|---|
| 1:25 | A3 | | R1 | კ-402 |

# მონოლითური სვეტი მს-3

| პოზ. | ა ღ ნ ი შ ვ ნ ა | დ ა ს ა ხ ე ლ ე ბ ა | რაოდ. | შენიშვნა |
|---|---|---|---|---|
| | | მონოლითური სვეტი მს-3 | | |
| | | *დეტალები* | | |
| 1 | | ф 25 B500B ℓ= 4250 | 22 | 16.38 კგ |
| 2 | | ф 8 B500B ℓ= 2235 | 29 | 0.88 კგ |
| 3 | | ф 8 B500B ℓ= 460 | 87 | 0.18 კგ |
| | | *მასალები* | | |
| | | *B30 კლასის ბეტონი* | | 1.0 მ³ |

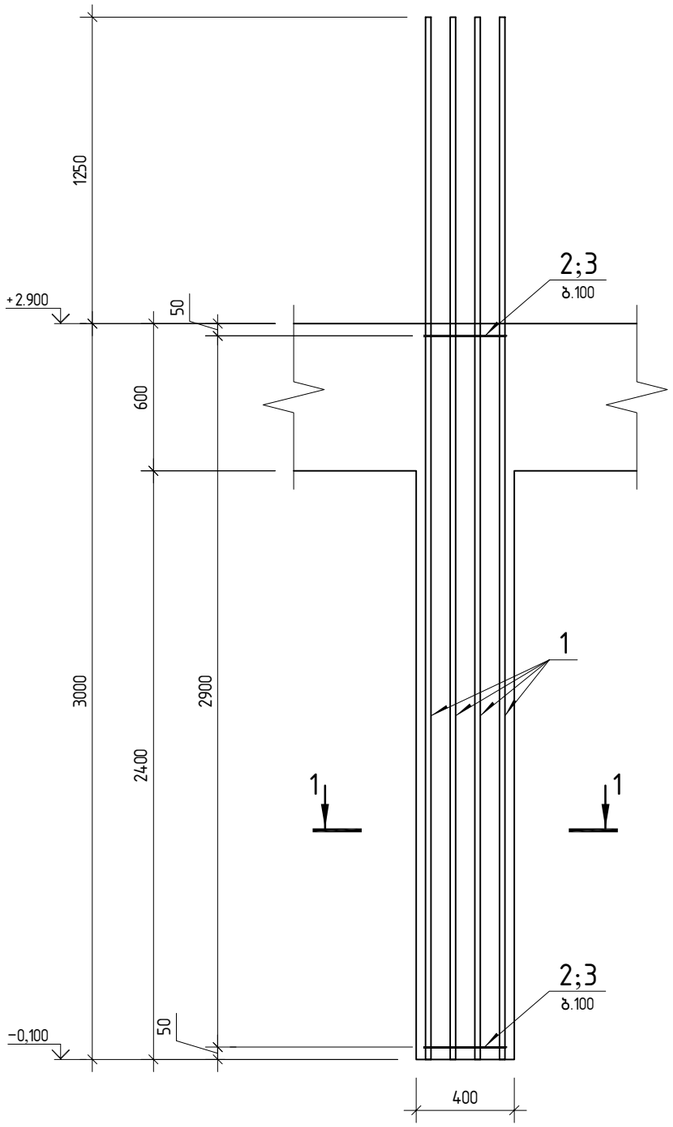


კვეთი 1-1

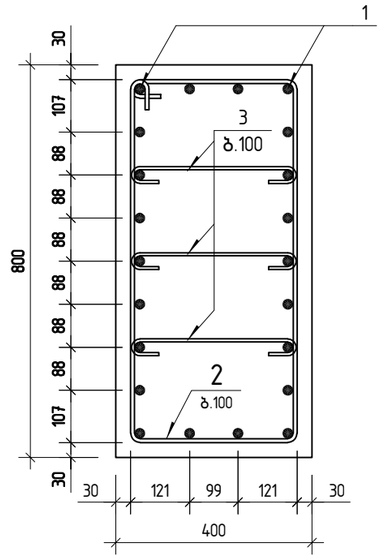


პოზ. 2

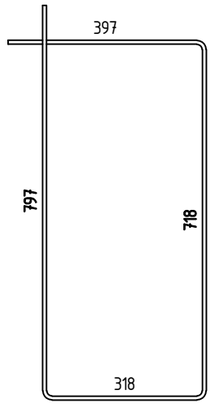


პოზ. 3

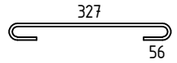



კონსტრუქტორი

შ.პ.ს "ჯი ენ პი"

ალ. ყაზბეგის გამზ. 14ბ
0160, თბილისი, საქართველო
+995599150088
Gipn.ltd@gmail.com


პროექტის დასახელება:

მრავალბინიანი საცხოვრებელი სახლი (ბლოკი "F")
ქ.თბილისი, "დელისი-3"-ის საცხოვრებელი რაიონის მიმდებარედ,
ინტენსიფიკაციის გზის სამხრეთით, (ნაკვეთი №1/124)

ნახაზის დასახელება:

მონოლითური სვეტი მს-3

| დახაზა | შეამოწმა | დაადასტურა |
|---|---|---|
| ლ.ჟ. | ო.ქ. | ო.ქ. |

| მასშტაბი | ფორმატი | თარიღი | რევიზია | ნახ.№ |
|---|---|---|---|---|
| 1:25 | A3 | | R1 | კ-403 |

# მონოლითური სვეტი მს-4

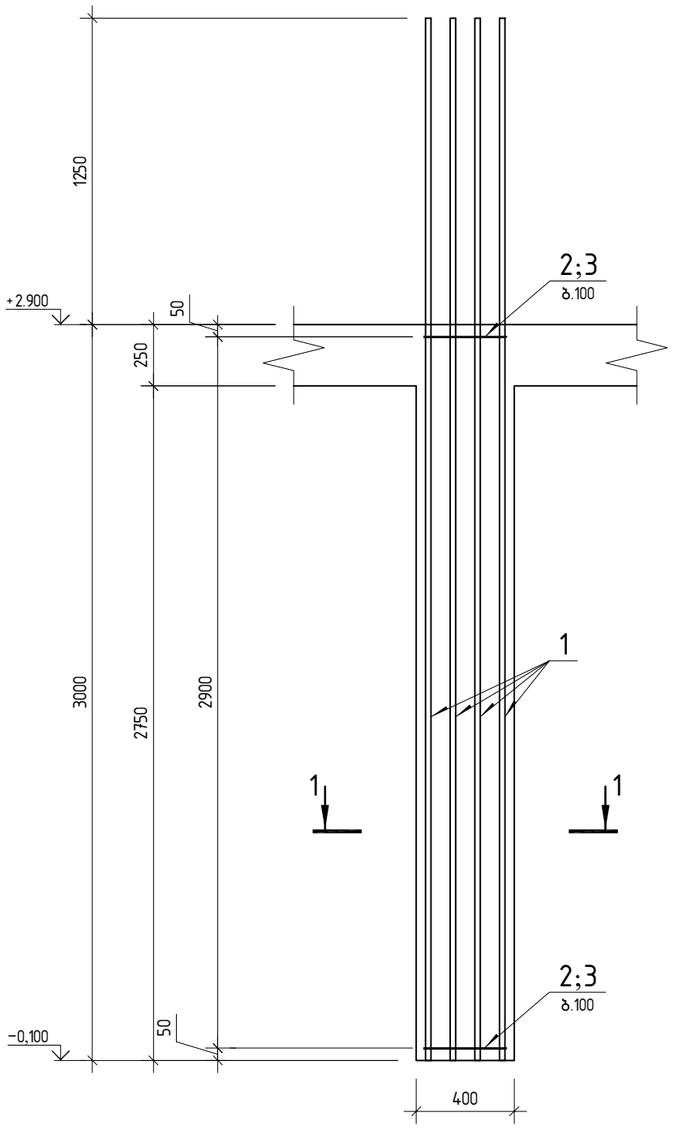


კვეთი 1-1

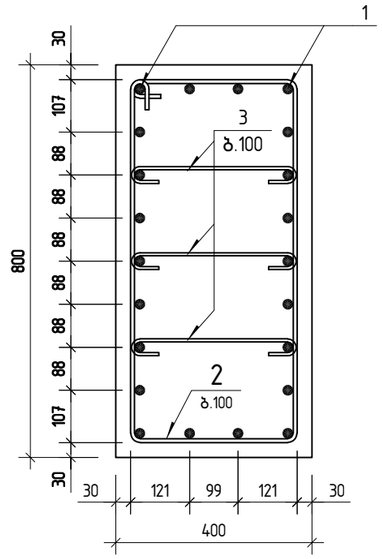


პოზ. 2

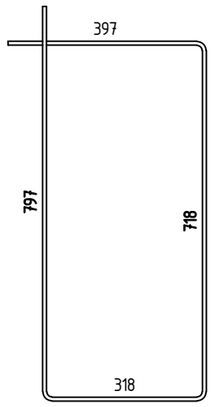


პოზ. 3

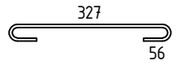


| პოზ. | ა ღ ნ ი შ ვ ნ ა | დ ა ს ა ხ ე ლ ე ბ ა | რაოდ. | შენიშვნა |
|---|---|---|---|---|
| | | მონოლითური სვეტი მს-4 | | |
| | | *დეტალები* | | |
| 1 | | ф 25 B500B ℓ= 4250 | 22 | 16.38 კგ |
| 2 | | ф 8 B500B ℓ= 2235 | 29 | 0.88 კგ |
| 3 | | ф 8 B500B ℓ= 460 | 87 | 0.18 კგ |
| | | *მასალები* | | |
| | | *B30 კლასის ბეტონი* | | 1.0 მ³ |

## კონსტრუქტორი


შ.პ.ს "ჯი ენ პი"
ალ. ყაზბეგის გამზ. 14ბ
0160, თბილისი, საქართველო
+995599150088
Gipn.ltd@gmail.com


პროექტის დასახელება:

მრავალბინიანი საცხოვრებელი სახლი (ბლოკი "F")
ქ.თბილისი, "დელისი-3"-ის საცხოვრებელი რაიონის მიმდებარედ,
ინტენსიფიკაციის გზის სამხრეთით, (ნაკვეთი №1/124)

ნახაზის დასახელება:

მონოლითური სვეტი მს-4

| დახაზა | შეამოწმა | დაადასტურა |
|---|---|---|
| ლ.ჭ. | ო.ქ. | ო.ქ. |

| მასშტაბი | ფორმატი | თარიღი | რევიზია | ნახ.№ |
|---|---|---|---|---|
| 1:25 | A3 | | R1 | კ-404 |

# მონოლითური სვეტი მს-5

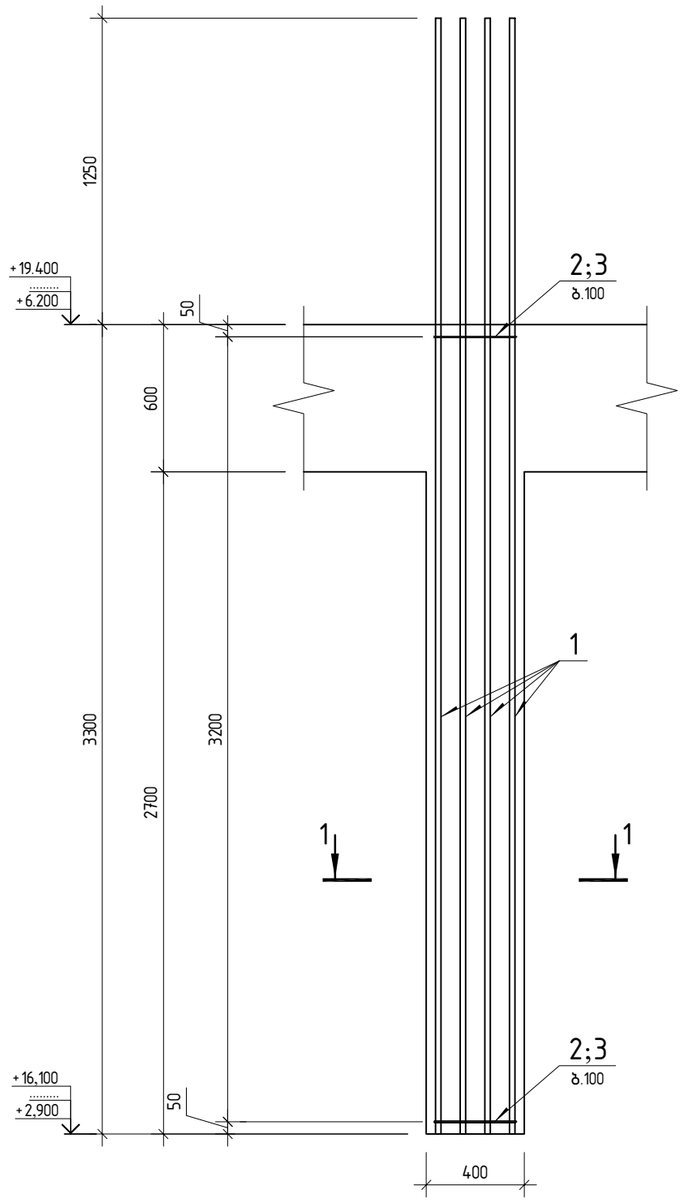


კვეთი 1-1

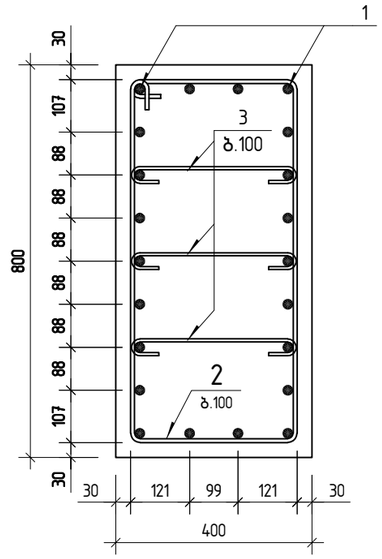


პოზ. 2

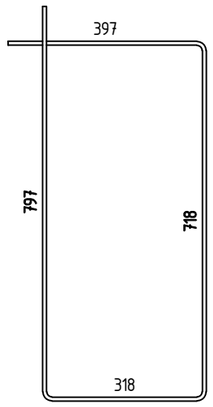


პოზ. 3

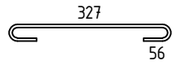


| პოზ. | ა ღ ნ ი შ ვ ნ ა | დ ა ს ა ხ ე ლ ე ბ ა | რაოდ. | შენიშვნა |
|---|---|---|---|---|
| | | მონოლითური სვეტი მს-5 | | |
| | | *დეტალები* | | |
| 1 | | ф 25 B500B ℓ= 4550 | 22 | 17.53 კგ |
| 2 | | ф 8 B500B ℓ= 2235 | 32 | 0.88 კგ |
| 3 | | ф 8 B500B ℓ= 460 | 96 | 0.18 კგ |
| | | *მასალები* | | |
| | | *B30 კლასის ბეტონი* | | 1.1 მ³ |

კონსტრუქტორი

შ.პ.ს "ჯი ენ პი"

ალ. ყაზბეგის გამზ. 14ბ
0160, თბილისი, საქართველო
+995599150088
Gipn.ltd@gmail.com

პროექტის დასახელება:

მრავალბინიანი საცხოვრებელი სახლი (ბლოკი "F")
ქ.თბილისი, "დელისი-3"-ის საცხოვრებელი რაიონის მიმდებარედ,
ინტენსიფიკაციის გზის სამხრეთით, (ნაკვეთი №1/124)

ნახაზის დასახელება:

მონოლითური სვეტი მს-5

| დახაზა | შეამოწმა | დაადასტურა |
|---|---|---|
| ლ.ჭ. | ო.ქ. | ო.ქ. |

| მასშტაბი | ფორმატი | თარიღი | რევიზია | ნახ.№ |
|---|---|---|---|---|
| 1:25 | A3 | | R1 | კ-405 |

# მონოლითური სვეტი მს-6

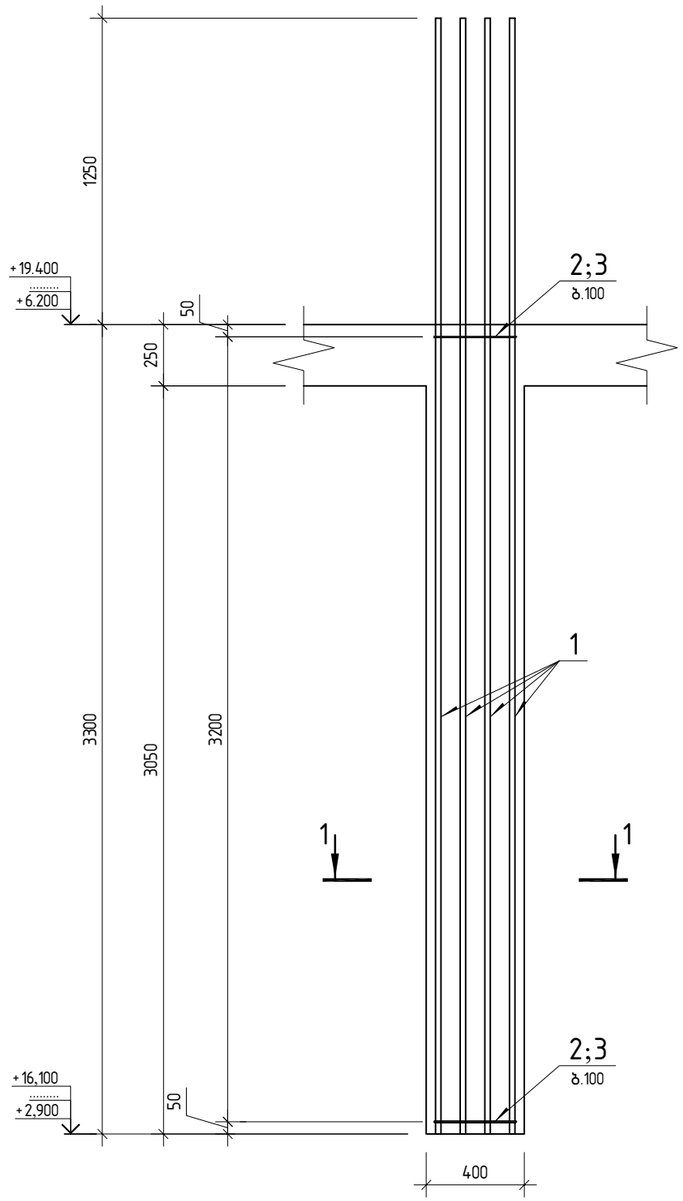


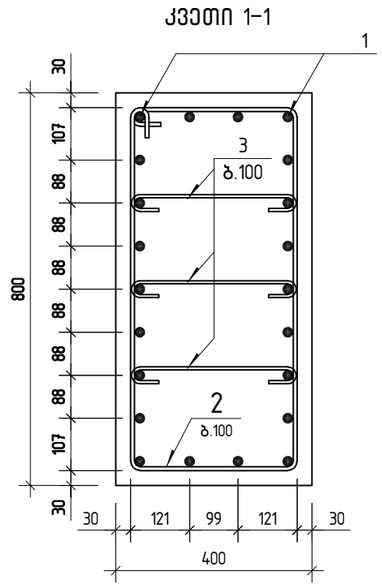


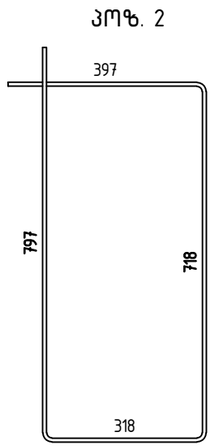


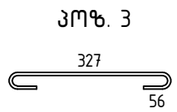


| პოზ. | ა ღ ნ ი შ ვ ნ ა | დ ა ს ა ხ ე ლ ე ბ ა | რაოდ. | შენიშვნა |
|---|---|---|---|---|
| | | მონოლითური სვეტი მს-6 | | |
| | | *დეტალები* | | |
| 1 | | ф 25 B500B ℓ= 4550 | 22 | 17.53 კგ |
| 2 | | ф 8 B500B ℓ= 2235 | 32 | 0.88 კგ |
| 3 | | ф 8 B500B ℓ= 460 | 96 | 0.18 კგ |
| | | *მასალები* | | |
| | | *B 30 კლასის ბეტონი* | | 1.1 მ³ |

**კონსტრუქტორი**

შ.პ.ს "ჯი ენ პი"

ალ. ყაზბეგის გამზ. 14ბ
0160, თბილისი, საქართველო
+995599150088
Gipn.ltd@gmail.com

პროექტის დასახელება:

მრავალბინიანი საცხოვრებელი სახლი (ბლოკი "F")
ქ.თბილისი, "დელისი-3"-ის საცხოვრებელი რაიონის მიმდებარედ,
ინტენსიფიკაციის გზის სამხრეთით, (ნაკვეთი №1/124)

ნახაზის დასახელება:

მონოლითური სვეტი მს-6

| დახაზა | შეამოწმა | დაადასტურა |
|---|---|---|
| ლ.ჭ. | ო.ქ. | ო.ქ. |

| მასშტაბი | ფორმატი | თარიღი | რევიზია | ნახ.№ |
|---|---|---|---|---|
| 1:25 | A3 | | R1 | კ-406 |

# მონოლითური სვეტი მს-7

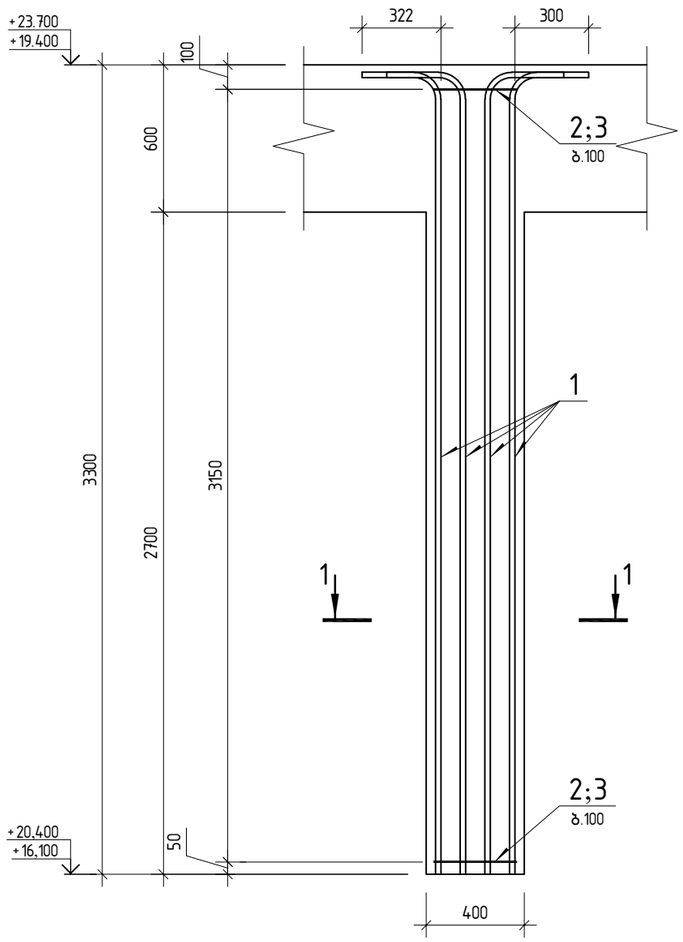


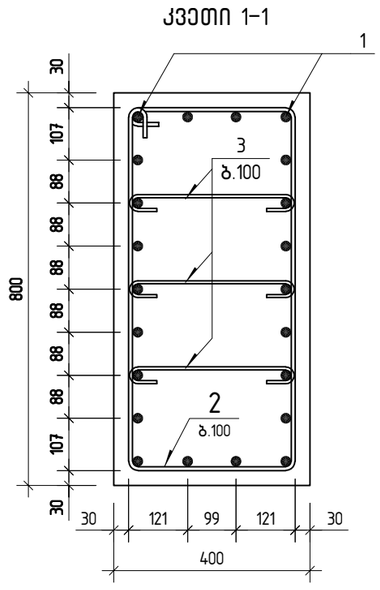


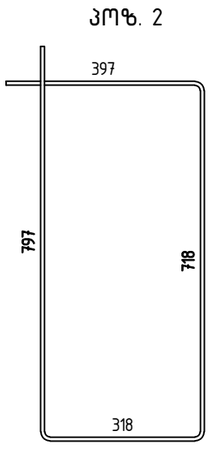


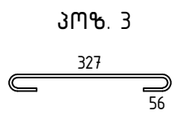


| პოზ. | ა ღ ნ ი შ ვ ნ ა | დ ა ს ა ხ ე ლ ე ბ ა | რაოდ. | შენიშვნა |
|---|---|---|---|---|
| | | მონოლითური სვეტი მს-7 | | |
| | | *დეტალები* | | |
| 1 | | ф 25 B500B ℓ= 3530 | 22 | 13.60 კგ |
| 2 | | ф 8 B500B ℓ= 2235 | 32 | 0.88 კგ |
| 3 | | ф 8 B500B ℓ= 460 | 95 | 0.18 კგ |
| | | *მასალები* | | |
| | | *B30 კლასის ბეტონი* | | 1.1 მ³ |

## კონსტრუქტორი

შ.პ.ს "ჯი ენ პი"

ალ. ყაზბეგის გამზ. 14ბ
0160, თბილისი, საქართველო
+995599150088
Gipn.ltd@gmail.com

პროექტის დასახელება:

მრავალბინიანი საცხოვრებელი სახლი (ბლოკი "F")
ქ.თბილისი, "დელისი-3"-ის საცხოვრებელი რაიონის მიმდებარედ,
ინტენსიფიკაციის გზის სამხრეთით, (ნაკვეთი №1/124)

ნახაზის დასახელება:

მონოლითური სვეტი მს-7

| დახაზა | შეამოწმა | დაადასტურა |
|---|---|---|
| ლ.ჭ. | ო.ქ. | ო.ქ. |

| მასშტაბი | ფორმატი | თარიღი | რევიზია | ნახ.№ |
|---|---|---|---|---|
| 1:25 | A3 | | R1 | კ-407 |

# მონოლითური სვეტი მს-8

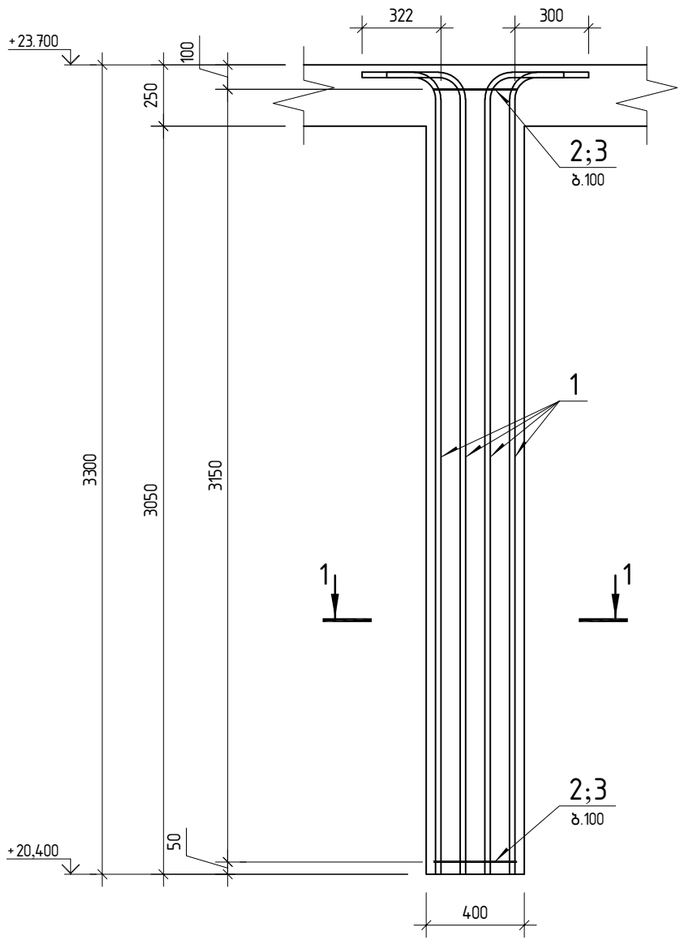


კვეთი 1-1

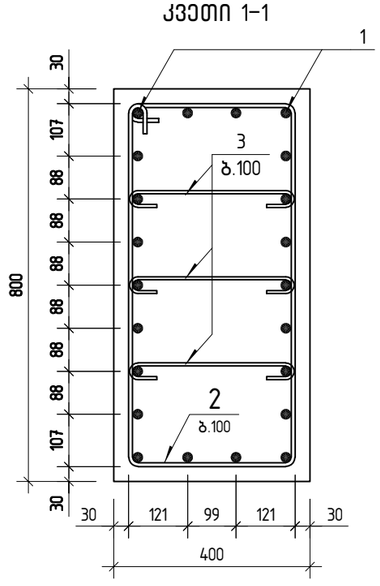


პოზ. 2

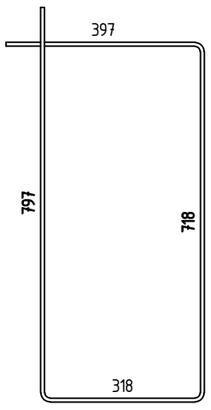


პოზ. 3

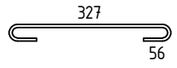


| პოზ. | ა ღ ნ ი შ ვ ნ ა | დ ა ს ა ხ ე ლ ე ბ ა | რაოდ. | შენიშვნა |
|---|---|---|---|---|
| | | მონოლითური სვეტი მს-8 | | |
| | | *დეტალები* | | |
| 1 | | ф 25 B500B ℓ= 3530 | 22 | 13.60 კგ |
| 2 | | ф 8 B500B ℓ= 2235 | 32 | 0.88 კგ |
| 3 | | ф 8 B500B ℓ= 460 | 95 | 0.18 კგ |
| | | *მასალები* | | |
| | | *B30 კლასის ბეტონი* | | 1.1 მ³ |

## კონსტრუქტორი


შ.პ.ს "ჯი ენ პი"

ალ. ყაზბეგის გამზ. 14ბ
0160, თბილისი, საქართველო
+995599150088
Gipn.ltd@gmail.com


პროექტის დასახელება:

მრავალბინიანი საცხოვრებელი სახლი (ბლოკი "F")
ქ.თბილისი, "დელისი-3"-ის საცხოვრებელი რაიონის მიმდებარედ,
ინტენსიფიკაციის გზის სამხრეთით, (ნაკვეთი №1/124)

ნახაზის დასახელება:

მონოლითური სვეტი მს-8

| დახაზა | შეამოწმა | დაადასტურა |
|---|---|---|
| ლ.ჭ. | ო.ქ. | ო.ქ. |

| მასშტაბი | ფორმატი | თარიღი | რევიზია | ნახ.№ |
|---|---|---|---|---|
| 1:25 | A3 | | R1 | კ-408 |

# მონოლითური კოჭი კ-1

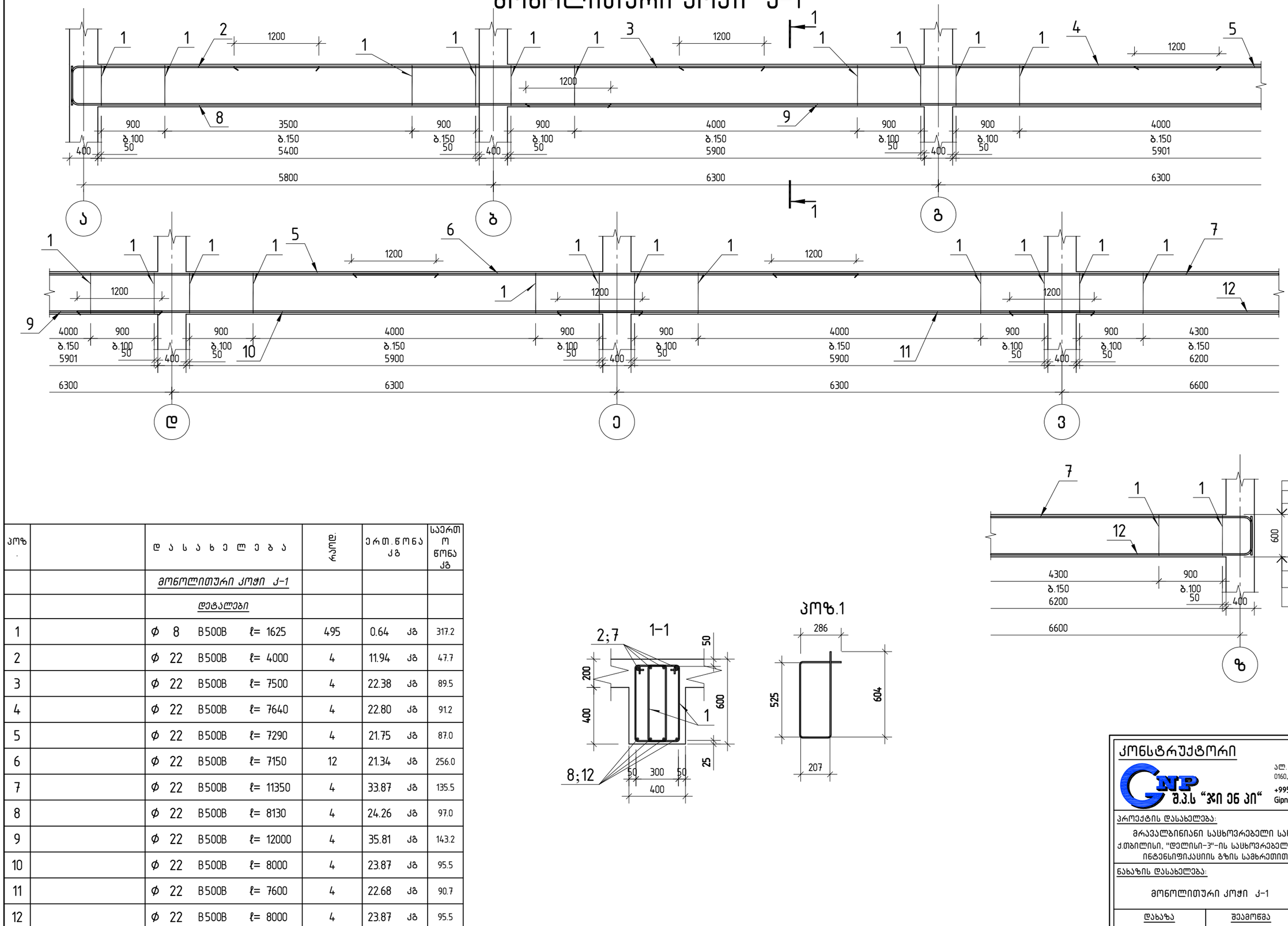











| პოზ. | | დასახელება | რაოდ. | ერთ. წონა კგ | საერთო წონა კგ |
|---|---|---|---|---|---|
| | | *მონოლითური კოჭი კ-1* | | | |
| | | *დეტალები* | | | |
| 1 | | ф 8 B500B ℓ= 1625 | 495 | 0.64 კგ | 317.2 |
| 2 | | ф 22 B500B ℓ= 4000 | 4 | 11.94 კგ | 47.7 |
| 3 | | ф 22 B500B ℓ= 7500 | 4 | 22.38 კგ | 89.5 |
| 4 | | ф 22 B500B ℓ= 7640 | 4 | 22.80 კგ | 91.2 |
| 5 | | ф 22 B500B ℓ= 7290 | 4 | 21.75 კგ | 87.0 |
| 6 | | ф 22 B500B ℓ= 7150 | 12 | 21.34 კგ | 256.0 |
| 7 | | ф 22 B500B ℓ= 11350 | 4 | 33.87 კგ | 135.5 |
| 8 | | ф 22 B500B ℓ= 8130 | 4 | 24.26 კგ | 97.0 |
| 9 | | ф 22 B500B ℓ= 12000 | 4 | 35.81 კგ | 143.2 |
| 10 | | ф 22 B500B ℓ= 8000 | 4 | 23.87 კგ | 95.5 |
| 11 | | ф 22 B500B ℓ= 7600 | 4 | 22.68 კგ | 90.7 |
| 12 | | ф 22 B500B ℓ= 8000 | 4 | 23.87 კგ | 95.5 |
| | | *მასალები* | | | 889 |
| | | *B30 კლასის ბეტონი* | | 0.00 მ³ | |

**კონსტრუქტორი**


შ.პ.ს "ჯი ენ პი"
ალ. ყაზბეგის გამზ. 14ბ
0160, თბილისი, საქართველო
+995599150088
Gipn.ltd@gmail.com


პროექტის დასახელება:

მრავალბინიანი საცხოვრებელი სახლი (ბლოკი "F")
ქ.თბილისი, "დელისი-3"-ის საცხოვრებელი რაიონის მიმდებარედ, ინტენსიფიკაციის გზის სამხრეთით, (ნაკვეთი № 1/124)

ნახაზის დასახელება:

მონოლითური კოჭი კ-1

| დახაზა | შეამოწმა | დაამტკიცა |
|---|---|---|
| დ.ს | ო.ქ. | ო.ქ. |

| მასშტაბი | ფორმატი | თარიღი | რევიზია | ნახ.№ |
|---|---|---|---|---|
| 1:50 | A:3 | | R1 | კ- 501 |

## მონოლითური კოჭი კ-2

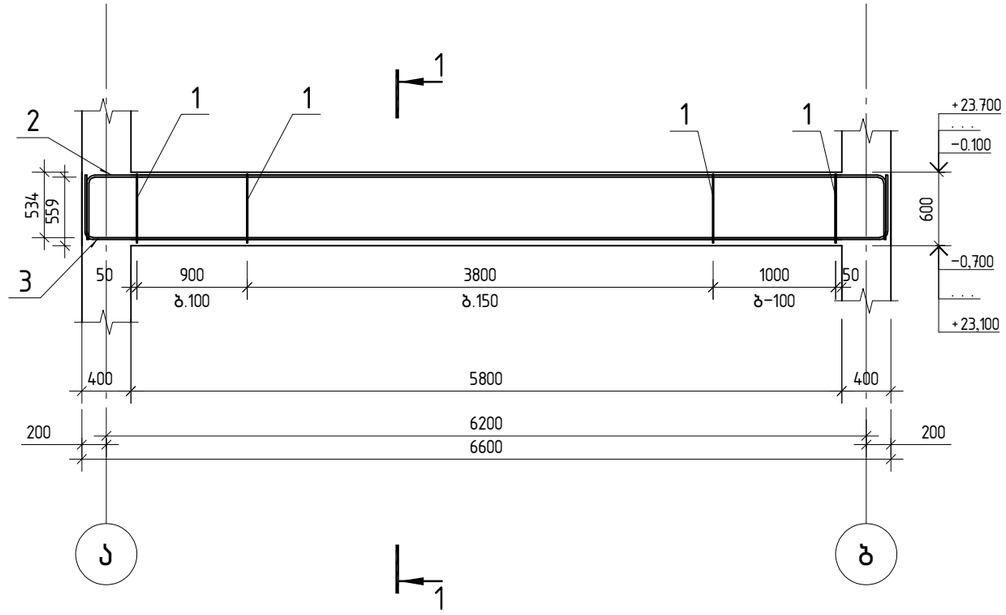


| პოზ. | ა ღ ნ ი შ ვ ნ ა | დ ა ს ა ხ ე ლ ე ბ ა | რაოდ. | ერთ. წონა კგ | საერთო წონა კგ |
|---|---|---|---|---|---|
| | | *მონოლითური კოჭი კ-2* | | | |
| | | *დეტალები* | | | |
| 1 | | ф 8 B500B ℓ= 1625 | 88 | 0.64 კგ | 56.2 |
| 2 | | ф 22 B500B ℓ= 7490 | 4 | 22.35 კგ | 89.4 |
| 3 | | ф 22 B500B ℓ= 7520 | 4 | 22.44 კგ | 89.8 |
| | | *მასალები* | | | 179 |
| | | *B30 კლასის ბეტონი* | | 1.58 მ³ | |

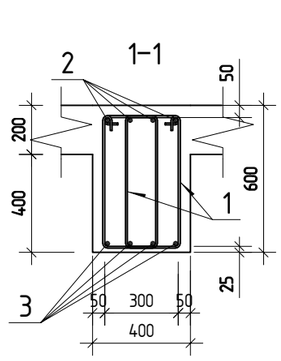


პოზ.1

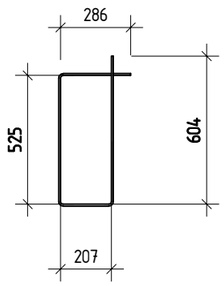


**კონსტრუქტორი**

შ.პ.ს "ჯი ენ პი"

ალ. ყაზბეგის გამზ. 14ბ
0160, თბილისი, საქართველო
+995599150088
Gipn.ltd@gmail.com

პროექტის დასახელება:

მრავალბინიანი საცხოვრებელი სახლი (ბლოკი "F")
ქ.თბილისი, "დელისი-3"-ის საცხოვრებელი რაიონის მიმდებარედ, ინგტენსიფიკაციის გზის სამხრეთით, (ნაკვეთი №1/124)

ნახაზის დასახელება:

მონოლითური კოჭი კ-2

| დახაზა | შეამოწმა | დაადასტურა |
|---|---|---|
| დ.ს | ო.ქ. | ო.ქ. |

| მასშტაბი | ფორმატი | თარიღი | რევიზია | ნახ.№ |
|---|---|---|---|---|
| 1:50 | A:3 | | R1 | კ- 502 |

# მონოლითური კოჭი კ-3

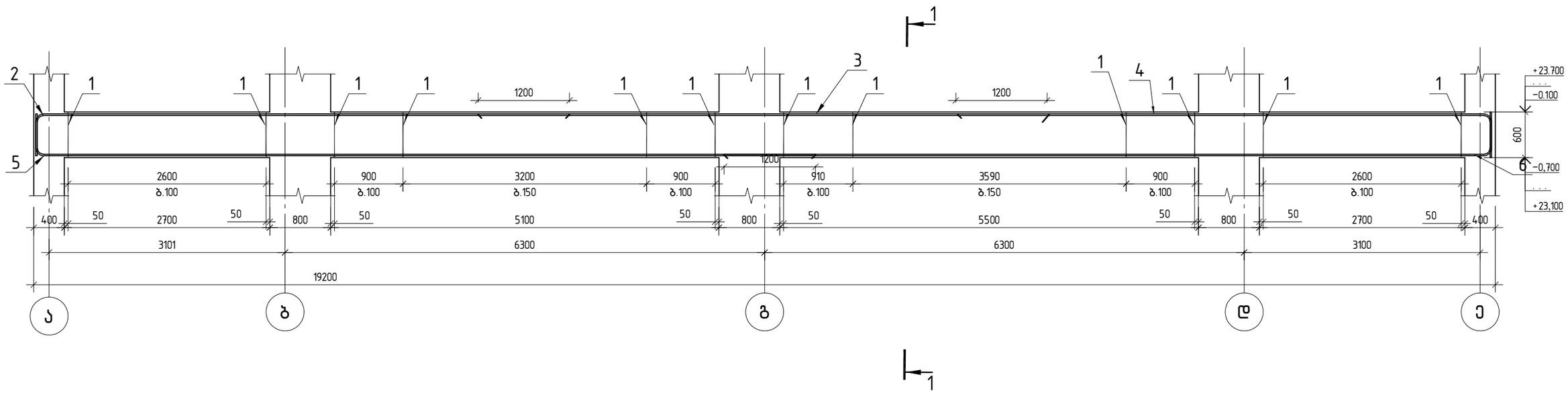


| პოზ. | | დ ა ს ა ხ ე ლ ე ბ ა | რაოდ. | ერთ. წონა კგ | საერთო წონა კგ |
|---|---|---|---|---|---|
| | | *მონოლითური კოჭი კ-3* | | | |
| | | *დეტალები* | | | |
| 1 | | ф 8 B500B ℓ= 1625 | 275 | 0.64 კგ | 176.0 |
| 2 | | ф 22 B500B ℓ= 7500 | 4 | 22.38 კგ | 89.5 |
| 3 | | ф 22 B500B ℓ= 7500 | 4 | 22.38 კგ | 89.5 |
| 4 | | ф 22 B500B ℓ= 7530 | 4 | 22.47 კგ | 89.9 |
| 5 | | ф 22 B500B ℓ= 10730 | 4 | 32.02 კგ | 128.1 |
| 6 | | ф 22 B500B ℓ= 10600 | 4 | 31.63 კგ | 126.5 |
| | | *მასალები* | | | 573 |
| | | *B30 კლასის ბეტონი* | | 4.61 მ³ | |

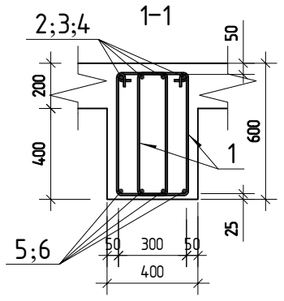


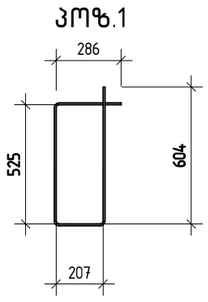



კონსტრუქტორი

შ.პ.ს "ჯი ენ პი"

ალ. ყაზბეგის გამზ. 14ბ
0160, თბილისი, საქართველო
+995599150088
Gipn.ltd@gmail.com


პროექტის დასახელება:

მრავალბინიანი საცხოვრებელი სახლი (ბლოკი "F")
ქ.თბილისი, "დელისი-3"-ის საცხოვრებელი რაიონის მიმდებარედ, ინტენსიფიკაციის გზის სამხრეთით, (ნაკვეთი №1124)

ნახაზის დასახელება:

მონოლითური კოჭი კ-3

| დახაზა | შეამოწმა | დაადასტურა |
|---|---|---|
| დ.ს | ო.ქ. | ო.ქ. |

| მასშტაბი | ფორმატი | თარიღი | რევიზია | ნახ.№ |
|---|---|---|---|---|
| 1:50 | A:3 | | R1 | კ- 503 |

## მონოლითური კოჭი კ-4

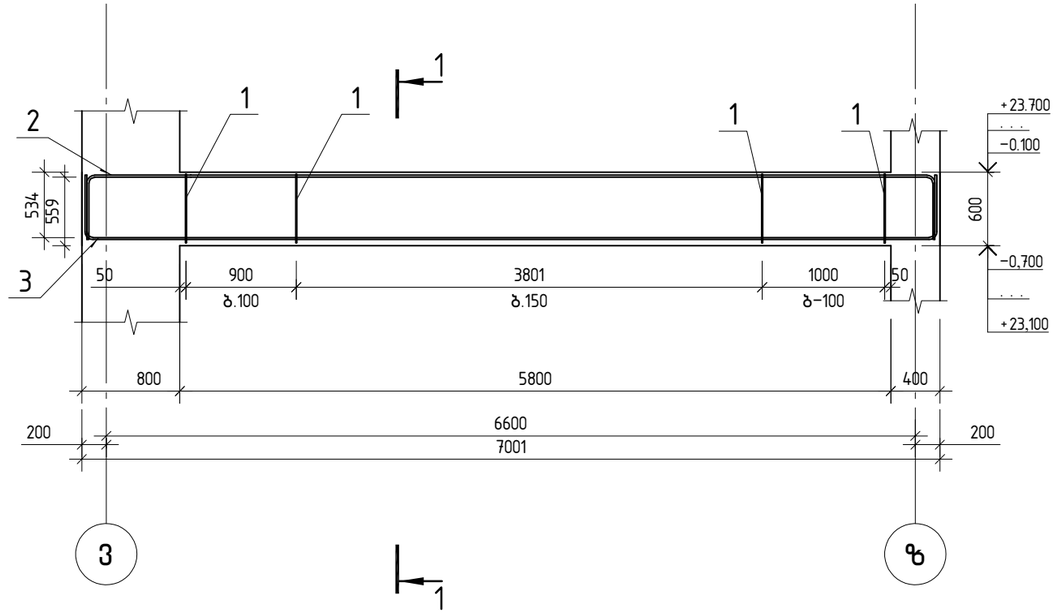


| პოზ. | ა ღ ნ ი შ ვ ნ ა | დ ა ს ა ხ ე ლ ე ბ ა | რაოდ. | ერთ. წონა კგ | საერთო წონა კგ |
|---|---|---|---|---|---|
| | | *მონოლითური კოჭი კ-4* | | | |
| | | *დეტალები* | | | |
| 1 | | ф 8 B500B ℓ= 1625 | 88 | 0.64 კგ | 56.2 |
| 2 | | ф 22 B500B ℓ= 7890 | 4 | 23.54 კგ | 94.2 |
| 3 | | ф 22 B500B ℓ= 7920 | 4 | 23.63 კგ | 94.5 |
| | | *მასალები* | | | 189 |
| | | *B30 კლასის ბეტონი* | | 1.39 მ³ | |

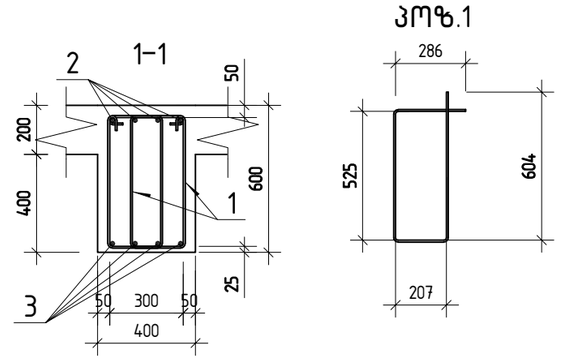



კონსტრუქტორი

შ.პ.ს "ჯი ენ პი"

ალ. ყაზბეგის გამზ. 14ბ
0160, თბილისი, საქართველო
+995599150088
Gipn.ltd@gmail.com


პროექტის დასახელება:

მრავალბინიანი საცხოვრებელი სახლი (ბლოკი "F")
ქ.თბილისი, "დელისი-3"-ის საცხოვრებელი რაიონის მიმდებარედ, ინგტენსიფიკაციის გზის სამხრეთით, (ნაკვეთი №1/124)

ნახაზის დასახელება:

მონოლითური კოჭი კ-4

| დახაზა | შეამოწმა | დაადასტურა |
|---|---|---|
| დ.ს | ო.ქ. | ო.ქ. |

| მასშტაბი | ფორმატი | თარიღი | რევიზია | ნახ.№ |
|---|---|---|---|---|
| 1:50 | A:3 | | R1 | კ- 504 |

# მონოლითური კოჭი კ-5

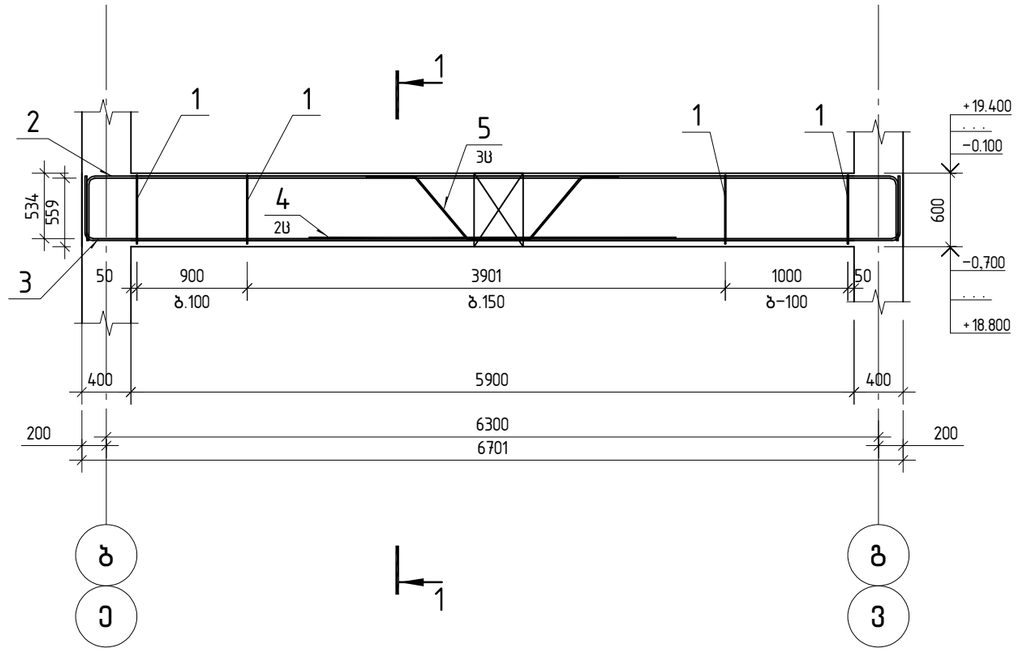


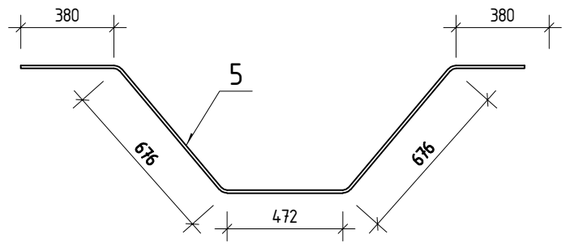


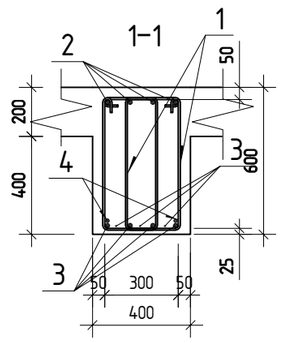


პოზ.1

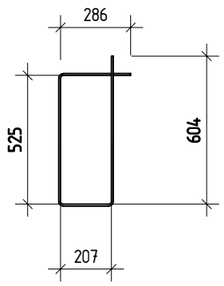


| პოზ. | აღნიშვნა | დასახელება | რაოდ. | ერთ. წონა კგ | საერთო წონა კგ |
|---|---|---|---|---|---|
| | | *მონოლითური კოჭი კ-5* | | | |
| | | *დეტალები* | | | |
| 1 | | ф 8 B500B ℓ= 1625 | 89 | 0.64 კგ | 57.1 |
| 2 | | ф 22 B500B ℓ= 7590 | 4 | 22.65 კგ | 90.6 |
| 3 | | ф 22 B500B ℓ= 7620 | 4 | 22.74 კგ | 91.0 |
| 4 | | ф 22 B500B ℓ= 3000 | 2 | 8.95 კგ | 17.9 |
| 5 | | ф 22 B500B ℓ= 2500 | 4 | 7.46 კგ | 29.8 |
| | | *მასალები* | | | 182 |
| | | *B30 კლასის ბეტონი* | | 1.61 მ³ | |


კონსტრუქტორი

შ.პ.ს "ჯი ენ პი"

ალ. ყაზბეგის გამზ. 14ბ
0160, თბილისი, საქართველო
+995599150088
Gipn.ltd@gmail.com


პროექტის დასახელება:

მრავალბინიანი საცხოვრებელი სახლი (ბლოკი "F")
ქ.თბილისი, "დელისი-3"-ის საცხოვრებელი რაიონის მიმდებარედ, ინტენსიფიკაციის გზის სამხრეთით, (ნაკვეთი №1/124)

ნახაზის დასახელება:

მონოლითური კოჭი კ-5

| დახაზა | შეამოწმა | დაადასტურა |
|---|---|---|
| დ.ს | ო.ქ. | ო.ქ. |

| მასშტაბი | ფორმატი | თარიღი | რევიზია | ნახ.№ |
|---|---|---|---|---|
| 1:50 | A:3 | | R1 | კ- 505 |

# მონოლითური კოჭი კ-6

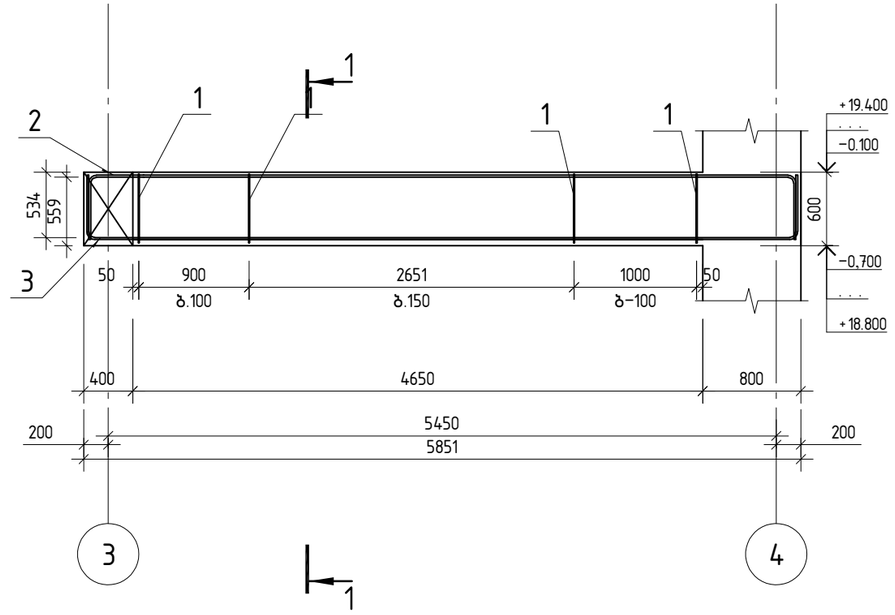


| პოზ. | ა ღ ნ ი შ ვ ნ ა | დ ა ს ა ხ ე ლ ე ბ ა | რაოდ. | ერთ. წონა კგ | საერთო წონა კგ |
|---|---|---|---|---|---|
| | | *მონოლითური კოჭი კ-6* | | | |
| | | *დეტალები* | | | |
| 1 | | ф 8 B500B ℓ= 1625 | 72 | 0.64 კგ | 46.4 |
| 2 | | ф 22 B500B ℓ= 6740 | 4 | 20.11 კგ | 80.4 |
| 3 | | ф 22 B500B ℓ= 6770 | 4 | 20.20 კგ | 80.8 |
| | | *მასალები* | | | 161 |
| | | *B30 კლასის ბეტონი* | | 1.12 მ³ | |

პოზ.1

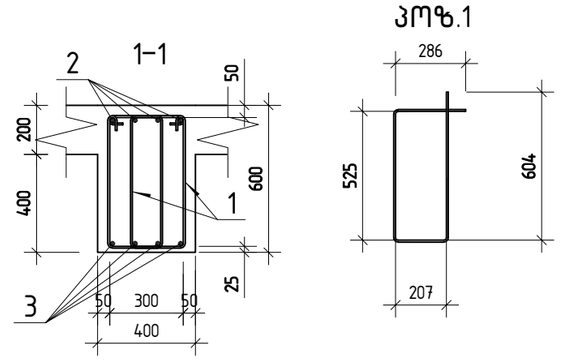



კონსტრუქტორი

შ.პ.ს "ჯი ენ პი"

ალ. ყაზბეგის გამზ. 14ბ
0160, თბილისი, საქართველო
+995599150088
Gipn.ltd@gmail.com


პროექტის დასახელება:

მრავალბინიანი საცხოვრებელი სახლი (ბლოკი "F")
ქ.თბილისი, "დელისი-3"-ის საცხოვრებელი რაიონის მიმდებარედ, ინგტენსიფიკაციის გზის სამხრეთით, (ნაკვეთი №1/124)

ნახაზის დასახელება:

მონოლითური კოჭი კ-6

| დახაზა | შეამოწმა | დაადასტურა |
|---|---|---|
| დ.ს | ო.ქ. | ო.ქ. |

| მასშტაბი | ფორმატი | თარიღი | რევიზია | ნახ.№ |
|---|---|---|---|---|
| 1:50 | A:3 | | R1 | კ- 506 |

## მონოლითური კოჭი კ-7

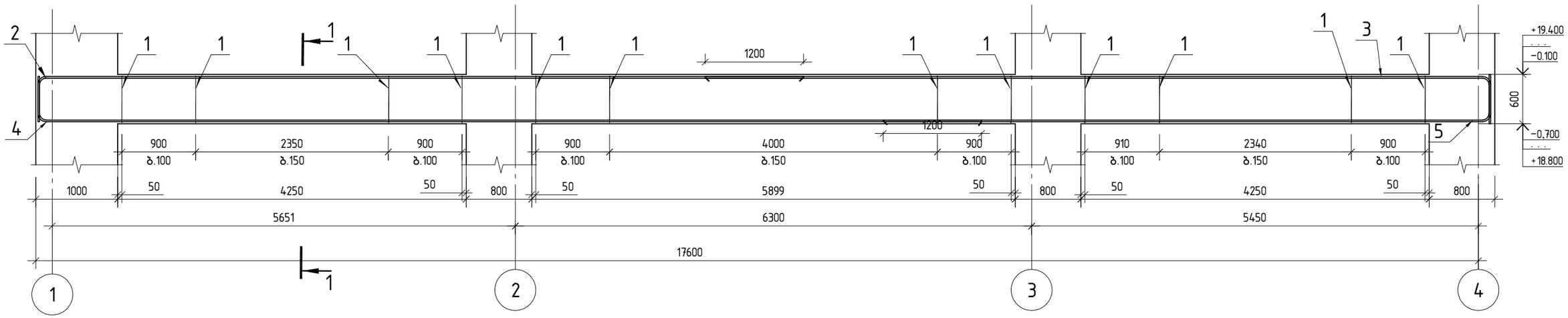


## მონოლითური კოჭი კ-8

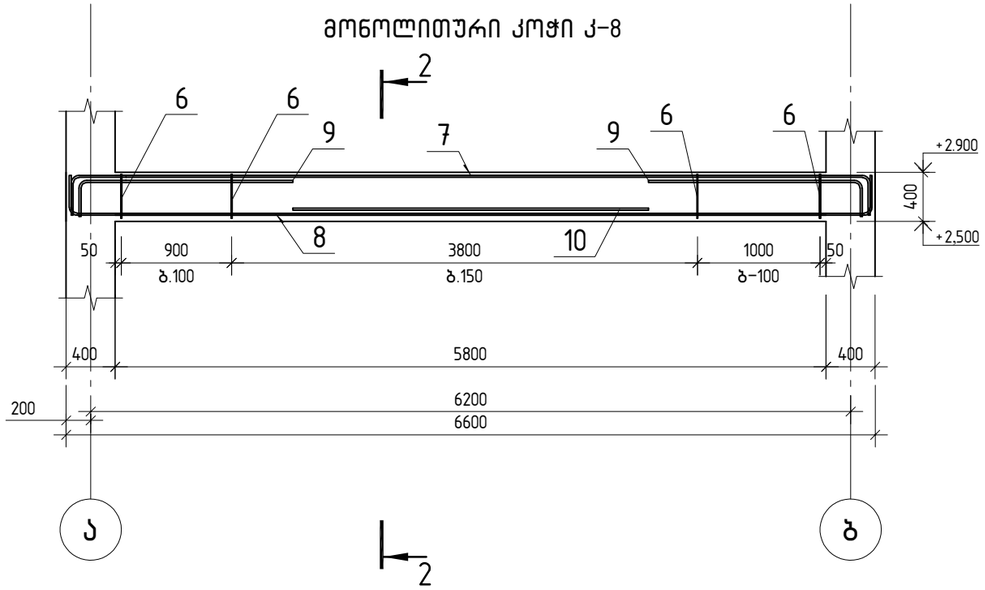


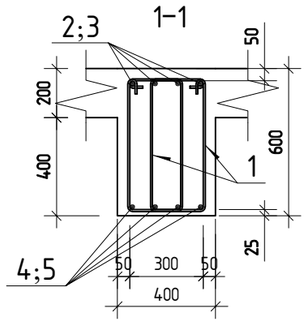


პოზ.1

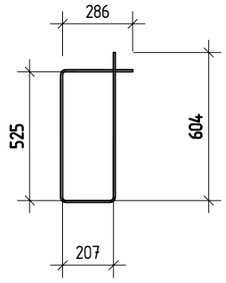


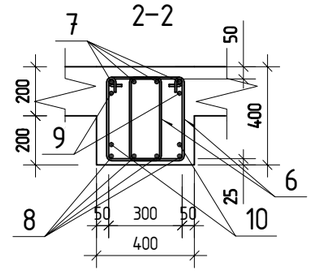


პოზ. 6

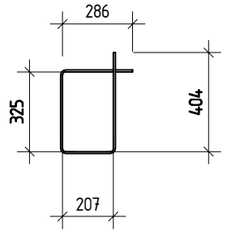


| პოზ. | | დასახელება | რაოდ. | ერთ.წონა კგ | საერთო წონა კგ |
|---|---|---|---|---|---|
| | | *მონოლითური კოჭი კ-7* | | | |
| | | *დეტალები* | | | |
| 1 | | ф 8 B500B ℓ= 1625 | 232 | 0.64 კგ | 148.7 |
| 2 | | ф 22 B500B ℓ= 9830 | 4 | 29.33 კგ | 117.3 |
| 3 | | ф 22 B500B ℓ= 10100 | 4 | 30.14 კგ | 120.6 |
| 4 | | ф 22 B500B ℓ= 12000 | 4 | 35.81 კგ | 143.2 |
| 5 | | ф 22 B500B ℓ= 7930 | 4 | 23.66 კგ | 94.7 |
| | | *მასალები* | | | 530 |
| | | *B30 კლასის ბეტონი* | | 4.22 მ³ | |

| პოზ. | აღნიშვნა | დასახელება | რაოდ. | ერთ.წონა კგ | საერთო წონა კგ |
|---|---|---|---|---|---|
| | | *მონოლითური კოჭი კ-8* | | | |
| | | *დეტალები* | | | |
| 6 | | ф 8 B500B ℓ= 1625 | 88 | 0.64 კგ | 56.2 |
| 7 | | ф 25 B500B ℓ= 7490 | 4 | 28.86 კგ | 115.4 |
| 8 | | ф 25 B500B ℓ= 7520 | 4 | 28.98 კგ | 115.9 |
| 9 | | ф 22 B500B ℓ= 2000 | 4 | 5.97 კგ | 23.9 |
| 10 | | ф 22 B500B ℓ= 2900 | 2 | 8.65 კგ | 17.3 |
| | | *მასალები* | | | 231 |
| | | *B30 კლასის ბეტონი* | | 1.06 მ³ | |


კონსტრუქტორი

შ.პ.ს "ჯი ენ პი"

ალ. ყაზბეგის გამზ. 14ბ
0160, თბილისი, საქართველო
+995599150088
Gipn.ltd@gmail.com


პროექტის დასახელება:

მრავალბინიანი საცხოვრებელი სახლი (ბლოკი "F")
ქ.თბილისი, "დელისი-3"-ის საცხოვრებელი რაიონის მიმდებარედ, ინტენსიფიკაციის გზის სამხრეთით, (ნაკვეთი №1/124)

ნახაზის დასახელება:

მონოლითური კოჭი კ-7; მონოლითური კოჭი კ-8

| დახაზა | შეამოწმა | დაამტკიცა |
|---|---|---|
| დ.ს | ო.ქ. | ო.ქ. |

| მასშტაბი | ფორმატი | თარიღი | რევიზია | ნახ.№ |
|---|---|---|---|---|
| 1:50 | A3 | | R1 | კ- 507 |

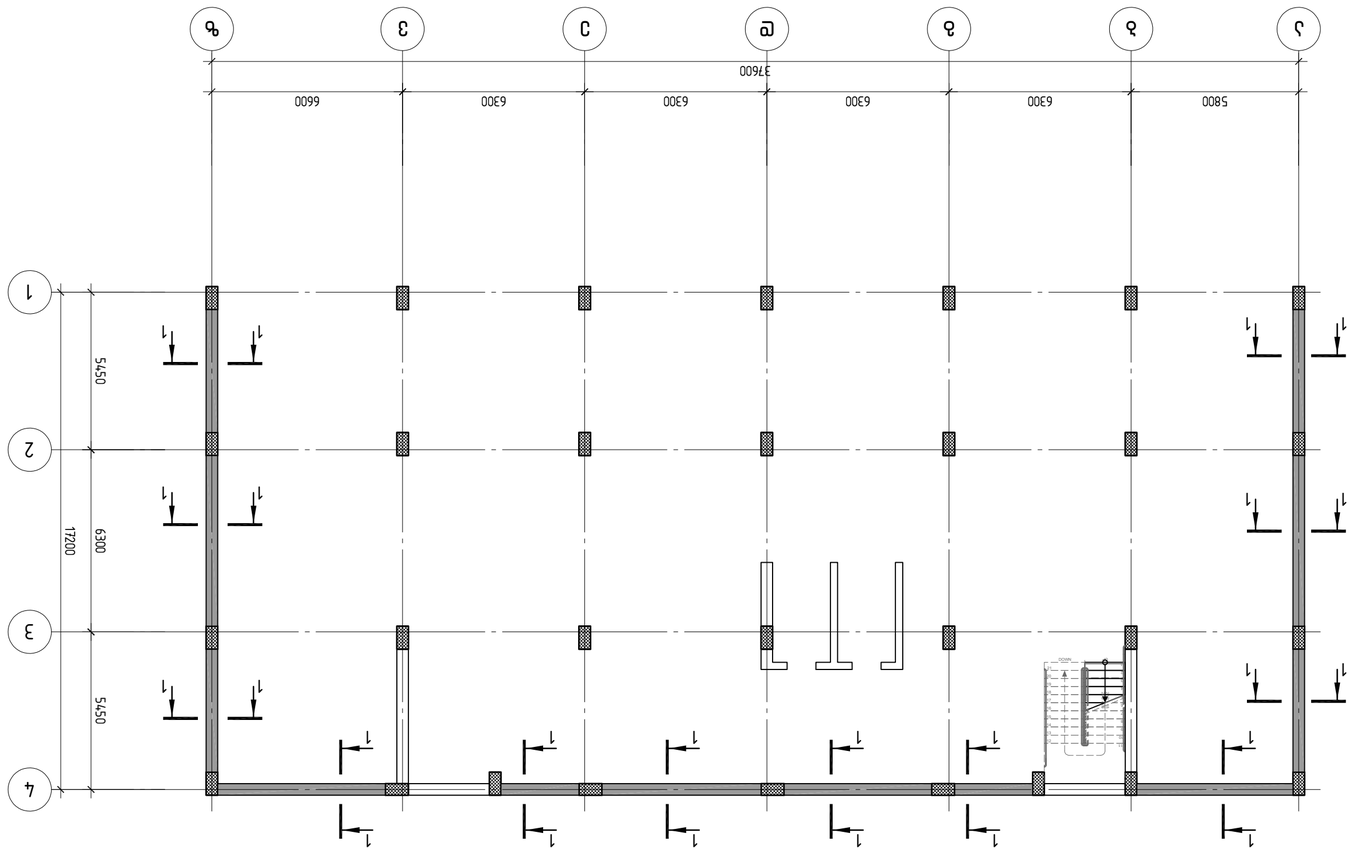


פלטה-0.100 ▽ ושכבת הגנה מפני חדירת מים ▽-3.900-קומת חניון

A2 1:150

| | | | | |
|---|---|---|---|---|
| מהנדס קונסטרוקציה | | | | |
| ח.ר. | | | | |
| מתכנן | מ.ג | | | |
| מתכנן | מ.ג | | | |
| מנהל הפרויקט | | | | |
| קנה מידה | גודל | מספר שרטוט | | |
| 1:150 | A2 | J-601 | | |

**ג.ג. "זבן 36 בת"א**
טל: 03-6384116, פקס: 03-6384117
ת.ד. 6160, מיקוד 6116160, בת-ים
gipn1@gmail.com

**תוכנית קומת גלריה מפלס +3.900 ומפלס +0.100**

**בניין מגורים ומסחר ברחוב אלנבי 69 (חלקות 1 ו-2 בגוש 6138) בת-ים**
**תוכנית הגשה לרישוי בניה, "קומבינציה" – תוספת קומה 7 ושינויים בקומות 1-6 ובקומת הגג**
**(בהתאם לתיקון 101 לחוק התכנון והבניה) (בהתאם לתקנות התכנון והבניה (אגרות), התשע"ה-2014)**

| | | |
|---|---|---|
| מהנדס קונסטרוקציה | תכנון אדריכלי | יזם |
| ח.ר. | מ.ג | מ.ג |

# კვეთი 1–1

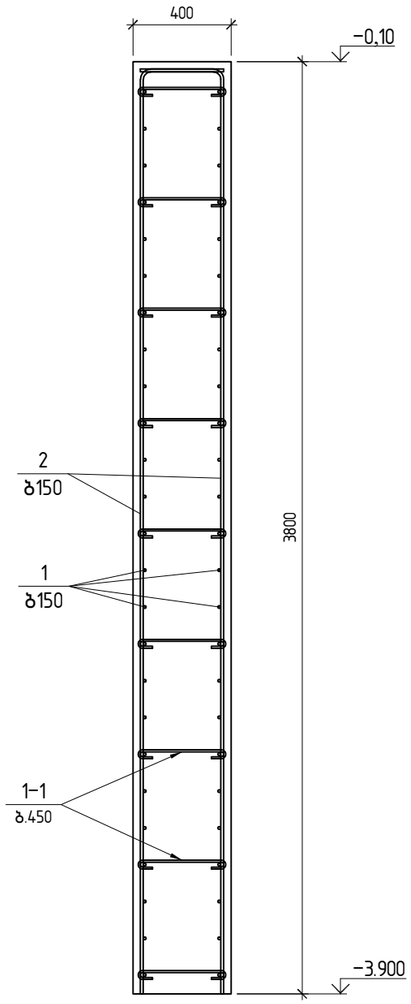


## შენიშვნა

ф12 არმატურის ზედდება 600მმ

| პოზ. | ა ღ ნ ი შ ვ ნ ა | დ ა ს ა ხ ე ლ ე ბ ა | | | რაოდ. | შენიშვნა | |
|---|---|---|---|---|---|---|---|
| | | მონოლითური კედელი | | | | | |
| | | დეტალები | | | | | |
| 1 | დაიჭრას ადგილზე | ф 12 | B500B | ℓ= 3000000 | 1 | 2663.44 | კგ |
| 2 | | ф 12 | B500B | ℓ= 4080 | 920 | 3.63 | კგ |
| 1–1 | | ф 8 | B500B | ℓ= 500 | 1200 | 0.20 | კგ |
| | | მასალები | | | | | |
| | | B30 კლასის ბეტონი | | | | 85.12 | მ³ |

73

A3 1:25

კონსტრუქტორი


შ.პ.ს "ჯი ენ პი"
ალ. ყაზბეგის გამზ. 14ბ
0160, თბილისი, საქართველო
+995599150088
Gipn.ltd@gmail.com


პროექტის დასახელება:
მრავალბინიანი საცხოვრებელი სახლი (ბლოკი "G")
ქ.თბილისი, "დელისი-3"-ის საცხოვრებელი რაიონის მიმდებარედ, ინტენსიფიკაციის გზის სამხრეთით, (ნაკვეთი №1/124)

ნახაზის დასახელება:
კვეთი1–1; სპეციფიკაცია

| დახაზა | შეამოწმა | დაადასტურა |
|---|---|---|
| ნ.ჩ. | ო.ქ. | ო.ქ. |

| მასშტაბი | ფორმატი | თარიღი | რევიზია | ნახ.№ |
|---|---|---|---|---|
| 1:25 | A3 | | | კ-602 |

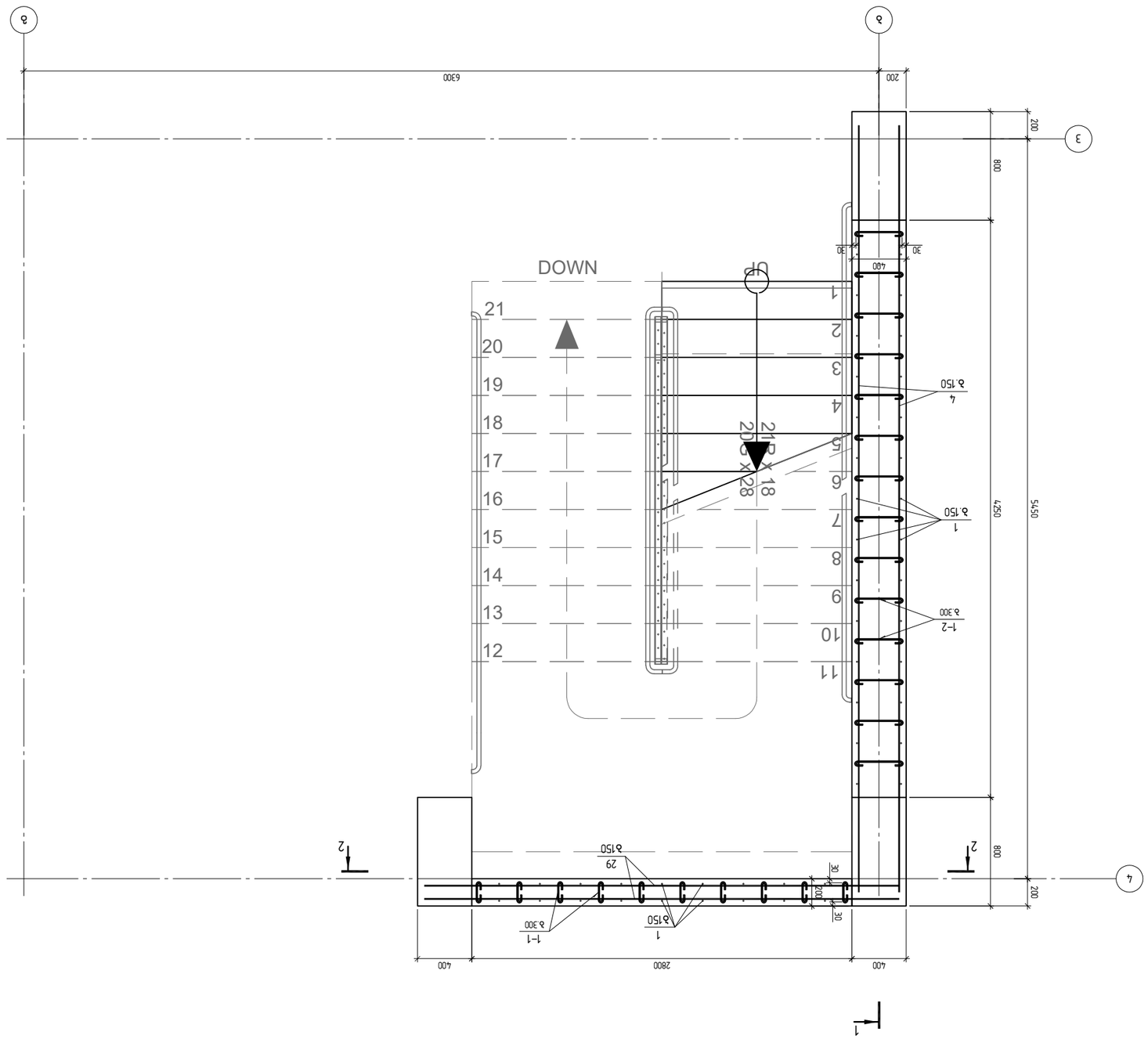


# ЗАМОВЛЕННЯ

ТОВ "ЗІП ЗД"
вул. Вокзальна, буд. 14а
01601, Україна, м. Київ, вул. Вокзальна, буд. 14а
+995599150088
GipnIT@gmail.com

Будівництво багатоквартирного житлового будинку з вбудованими приміщеннями громадського призначення, паркінгом та інженерними мережами. (Коригування №1/24)

Будівництво багатоквартирного житлового будинку

Замовлення 3–1 захисної підпірної стіни від в-0.100 до в-3.900 вісь 1–2

| Перевірив | Затвердив | Стадія | Аркуш | Аркушів |
|---|---|---|---|---|
| Н.К. | Г.І. | Р | 1 | 1 |
| Розробив | Перевірив | Н.контр. | Масштаб | Формат |
| Г.І. | Г.І. | ЗІП ЗД | 1:25 | А2 |

Арк. 603

A2 1:25

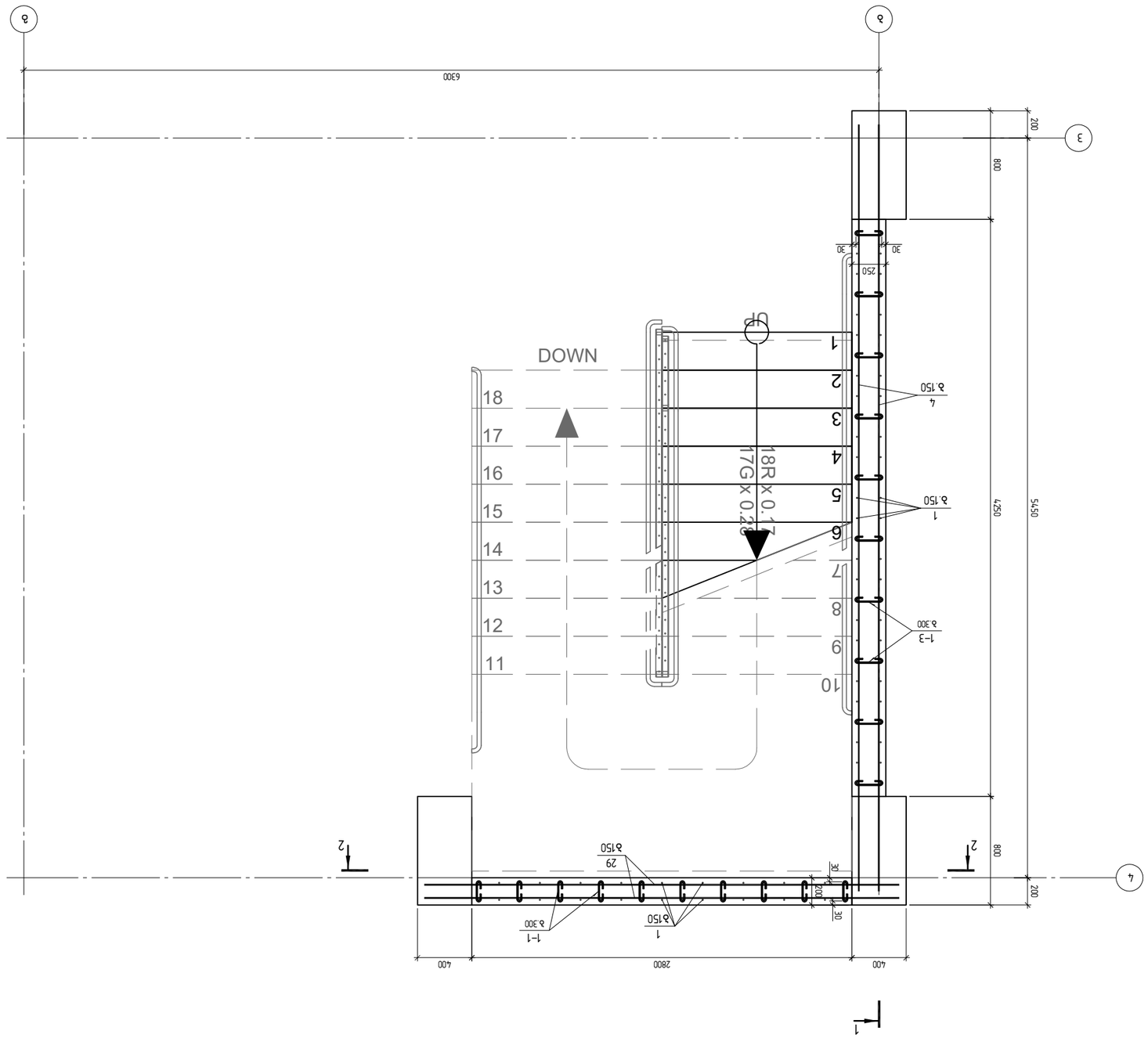


ՀՈՐԻԶՈՆԱԿԱՆ 1-Ջ ՀԱՏՎԱԾՈՒ
ՎԵՐԻՆ ՍԱՀՄԱՆԱՓԱԿԻՉ Ø16 ▽+19.400 ՄԵՋ
▽-0.100

| | | | | |
|---|---|---|---|---|
| ԱՇԽԱՏԱՆՔԱՅԻՆ | Ա2 | ՄԱՍՇՏԱԲ | 1:25 | |
| ՀԱՄԱՐ | | ՄԱՍԻ ՀԱՄԱՐ | | |
| ՀԱՍՏԱՏՈՒՄ | | ՄԱՍՇՏԱԲ | | |
| ՀԵՂԻՆԱԿ | | ՀԱՇՎԱՐԿՈՒ

A2 1:50

## კვეთი 1-1
▽-3.900-დან▽+12.800-მდე

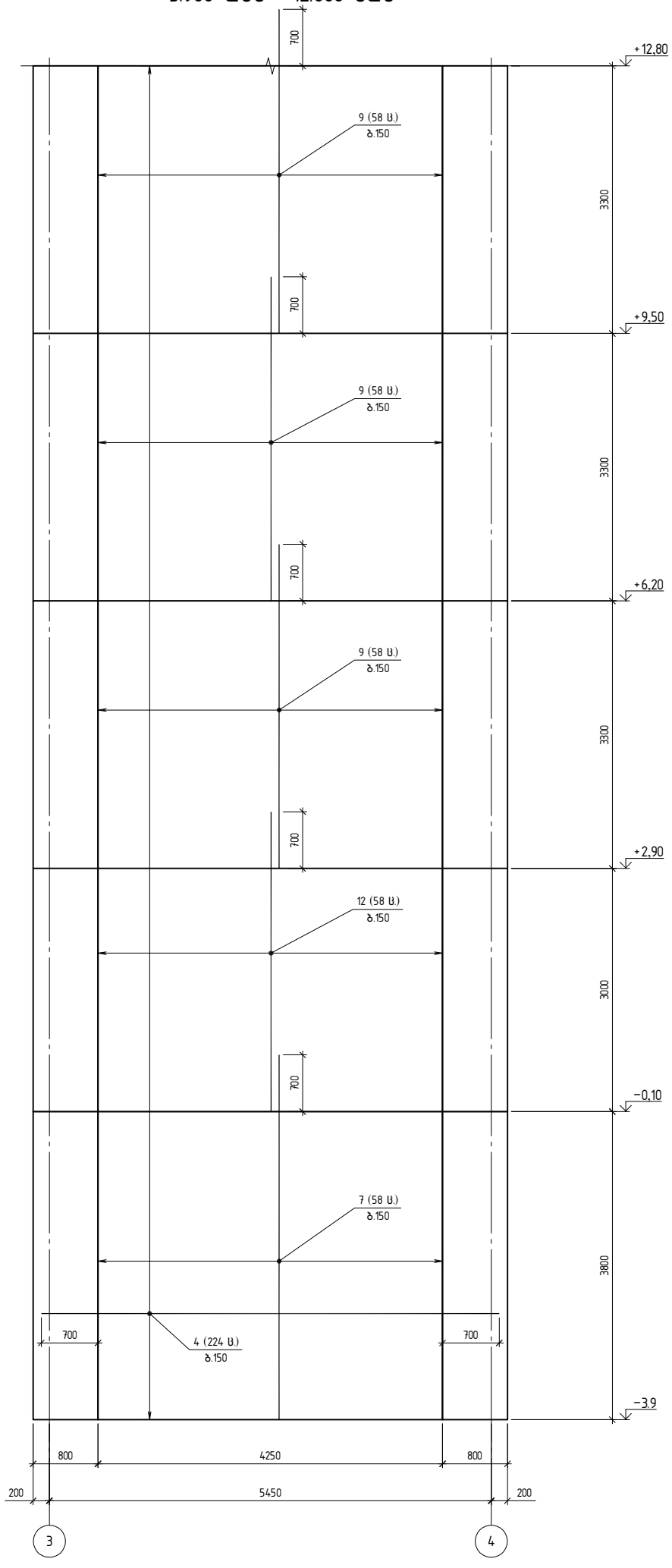


## კვეთი 2-2
▽-3.900-დან▽+12.800-მდე

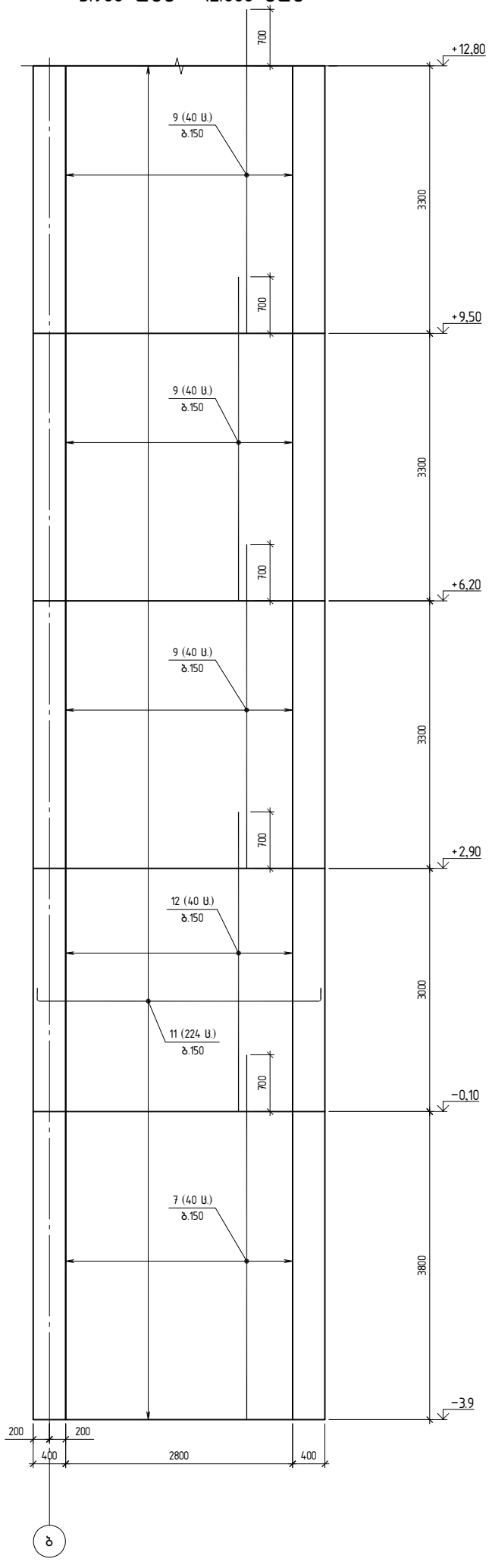


**კონსტრუქტორი**

შ.პ.ს "ჯი ენ პი"

ალ. ყაზბეგის გამზ. 14ბ
0160, თბილისი, საქართველო
+995599150088
Gipn.ltd@gmail.com

პროექტის დასახელება:
მრავალბინიანი საცხოვრებელი სახლი (ბლოკი "F")
ქ.თბილისი, "დელისი-3"-ის საცხოვრებელი რაიონის მიმდებარედ, ინტენსიფიკაციის გზის სამხრეთით, (ნაკვეთი №1124)

ნახაზის დასახელება:
კვეთი 1-1 ▽-3.900-დან▽+12.800-მდე; კვეთი 2-2 ▽-3.900-დან▽+12.800-მდე

| დახაზა | შეამოწმა | დაადასტურა |
|---|---|---|
| ნ.ჩ. | ო.ქ. | ო.ქ. |

| მასშტაბი | ფორმატი | თარიღი | რევიზია | ნახ.№ |
|---|---|---|---|---|
| 1:50 | A2 | | | ქ- 605 |

A2 1:50

## კვეთი 1-1
▽+12.800-დან ▽+19.400-მდე

## კვეთი 2-2
▽+12.800-დან ▽+19.400-მდე

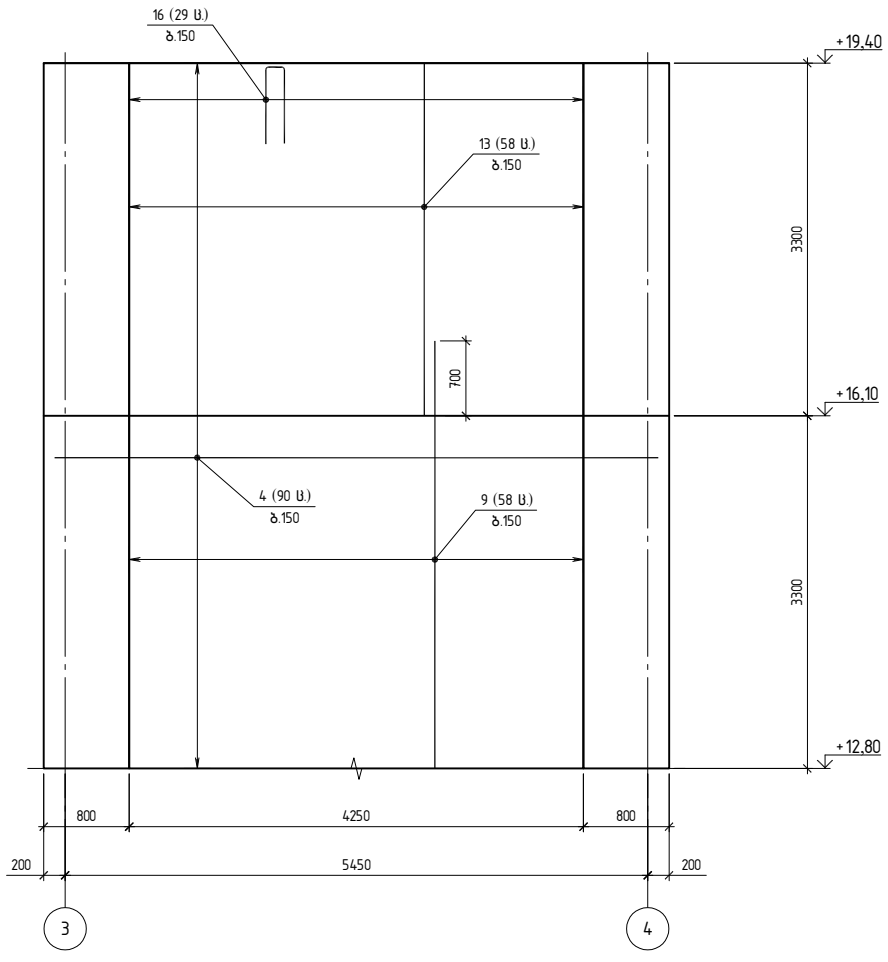


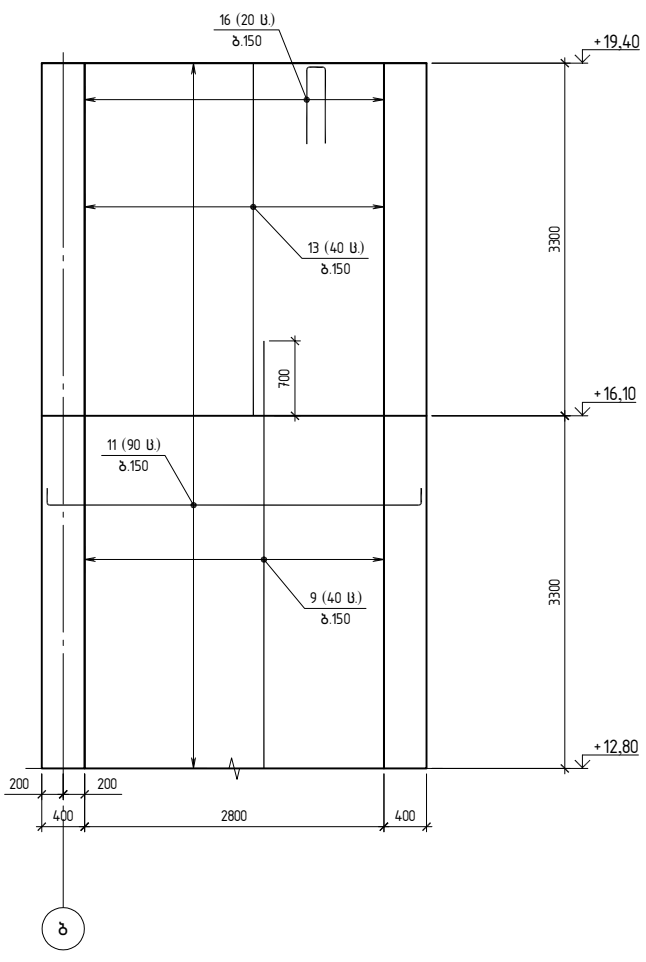



კონსტრუქტორი

შ.პ.ს "ჯი ენ პი"

ალ. ყაზბეგის გამზ. 14ბ
0160, თბილისი, საქართველო
+995599150088
Gipn.ltd@gmail.com


პროექტის დასახელება:
მრავალბინიანი საცხოვრებელი სახლი (ბლოკი "F")
ქ.თბილისი, "დელისი-3"-ის საცხოვრებელი რაიონის მიმდებარედ, ინტენსიფიკაციის გზის სამხრეთით, (ნაკვეთი №1'124)

ნახაზის დასახელება:
კვეთი 1-1 ▽+12.800-დან ▽+19.400-მდე; კვეთი 2-2 ▽+12.800-დან ▽+19.400-მდე

| დახაზა | შეამოწმა | დაადასტურა |
|---|---|---|
| ნ.ჩ. | ო.ქ. | ო.ქ. |

| მასშტაბი | ფორმატი | თარიღი | რევიზია | ნახ.№ |
|---|---|---|---|---|
| 1:50 | A2 | | | ქ- 606 |

A2 1:25

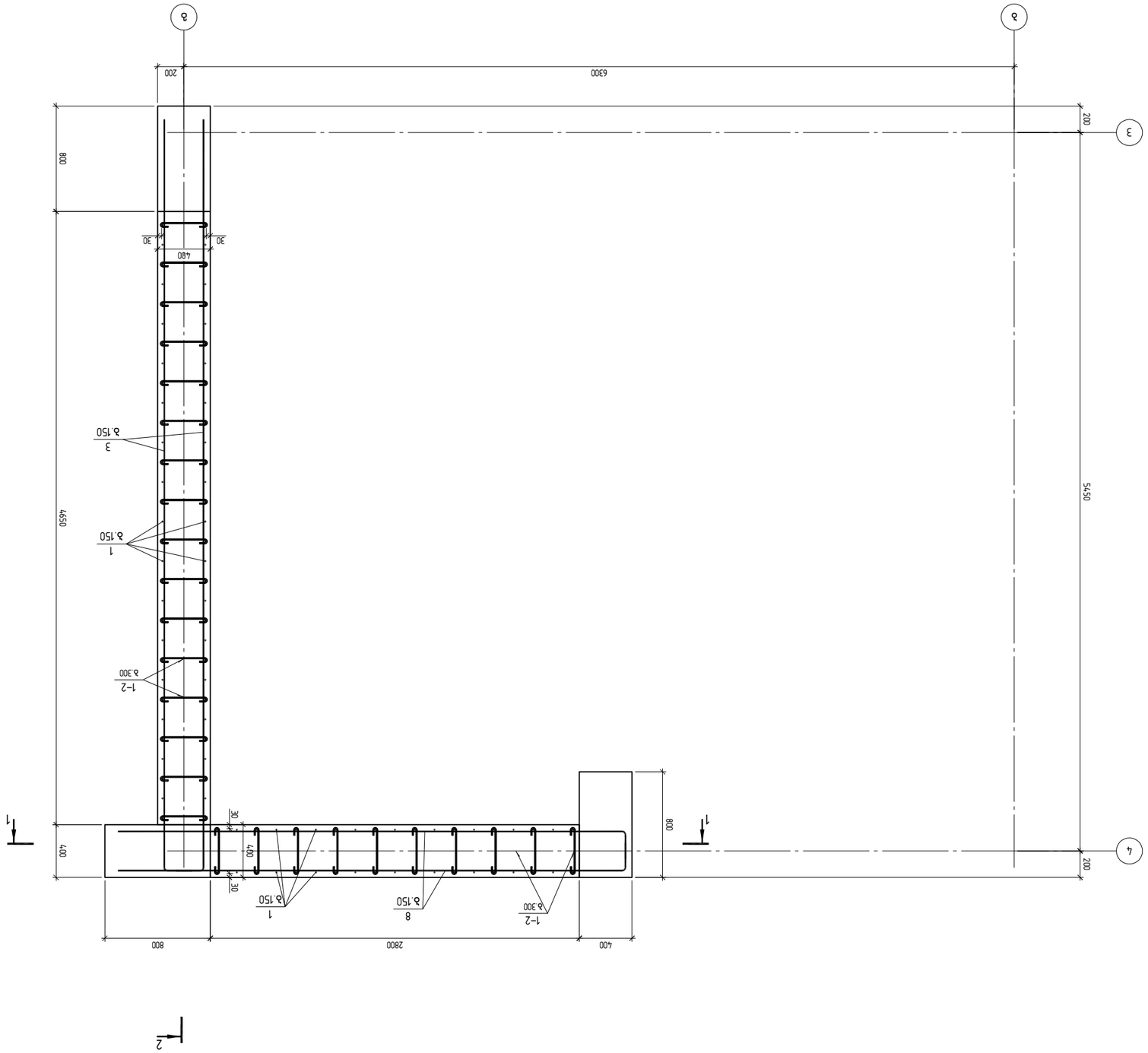


ΔΠΚΦΠΖ δ–2 ΔΚΦΠΚΔΖΠΚ ΔΔΓΔΔΠΚ ΔΚΦΠΚΔΖΠΚΦΚΔΓ
▽–3.900 ΦΔΖΦ ▽–0.100 ΔΦΦΔ

| | | | |
|---|---|---|---|
| ΔΔΚΦΦΔΔΔ | 1:25 | | |
| ΔΔΚΦΦΔΔΔ | A2 | ΦΠΚΦΔΦΔΔ | |
| ΔΔΚΦΦΔΔΔ | | ΦΔΚΦΠΠ | ΚΔΔΖΠΦΔΔ |
| ΔΔΚΦ№ | J– 607 | | |

ΔΔΚΦΦΔΔΔ ΔΔΚΦΔΔΔ

A2 1:25

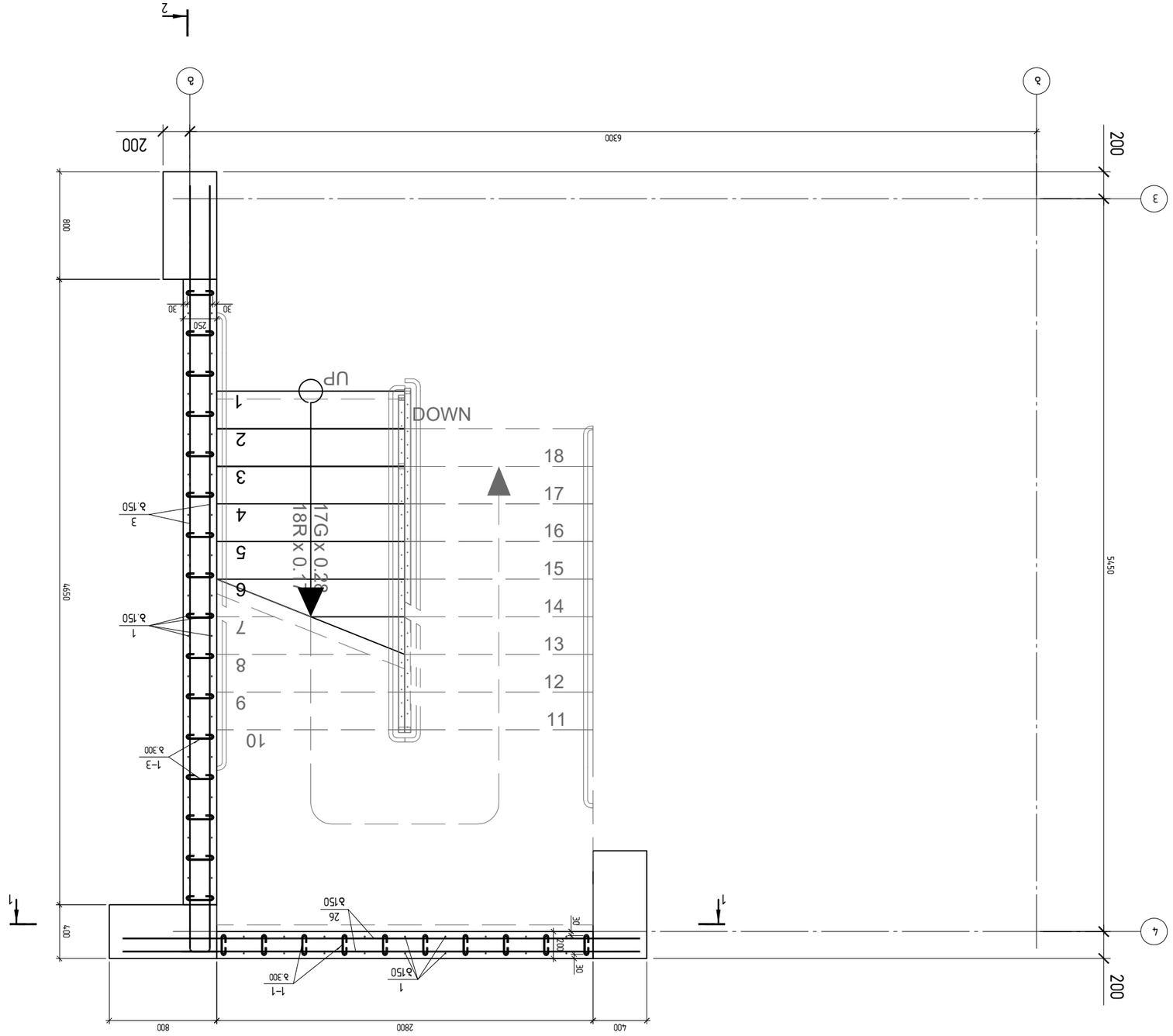


# ЗЛМЗЛ ЗЛЗЛЗЛ

A2 1:50

## კვეთი 1-1
▽-3.900-დან▽+12.800-მდე

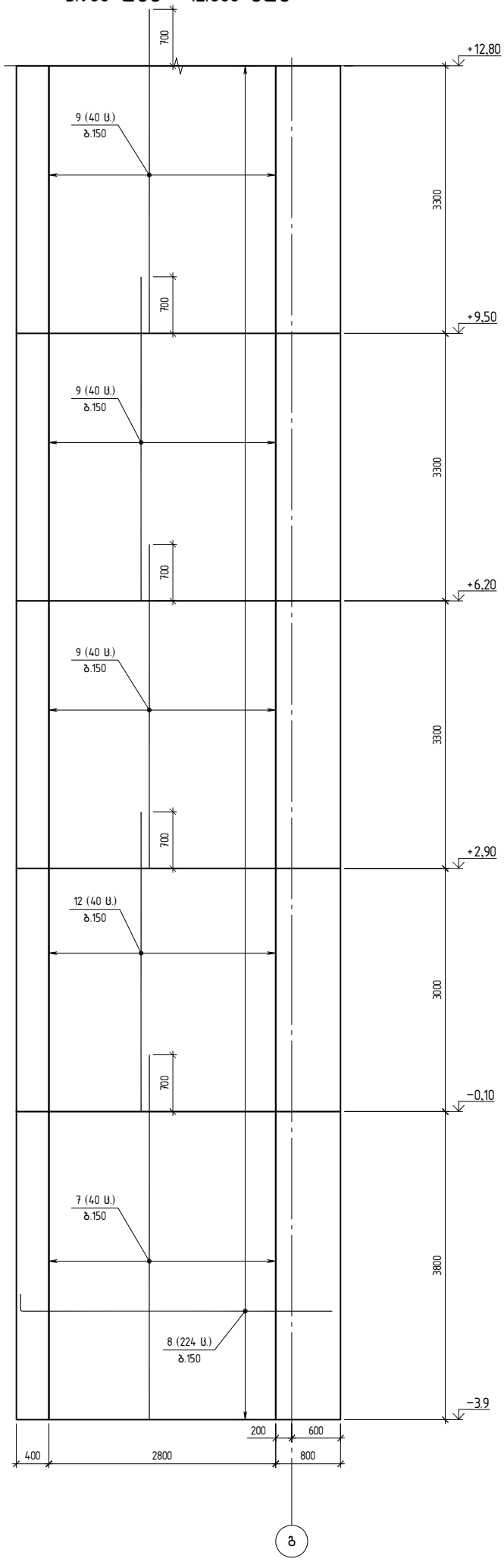


## კვეთი 2-2
▽-3.900-დან▽+12.800-მდე

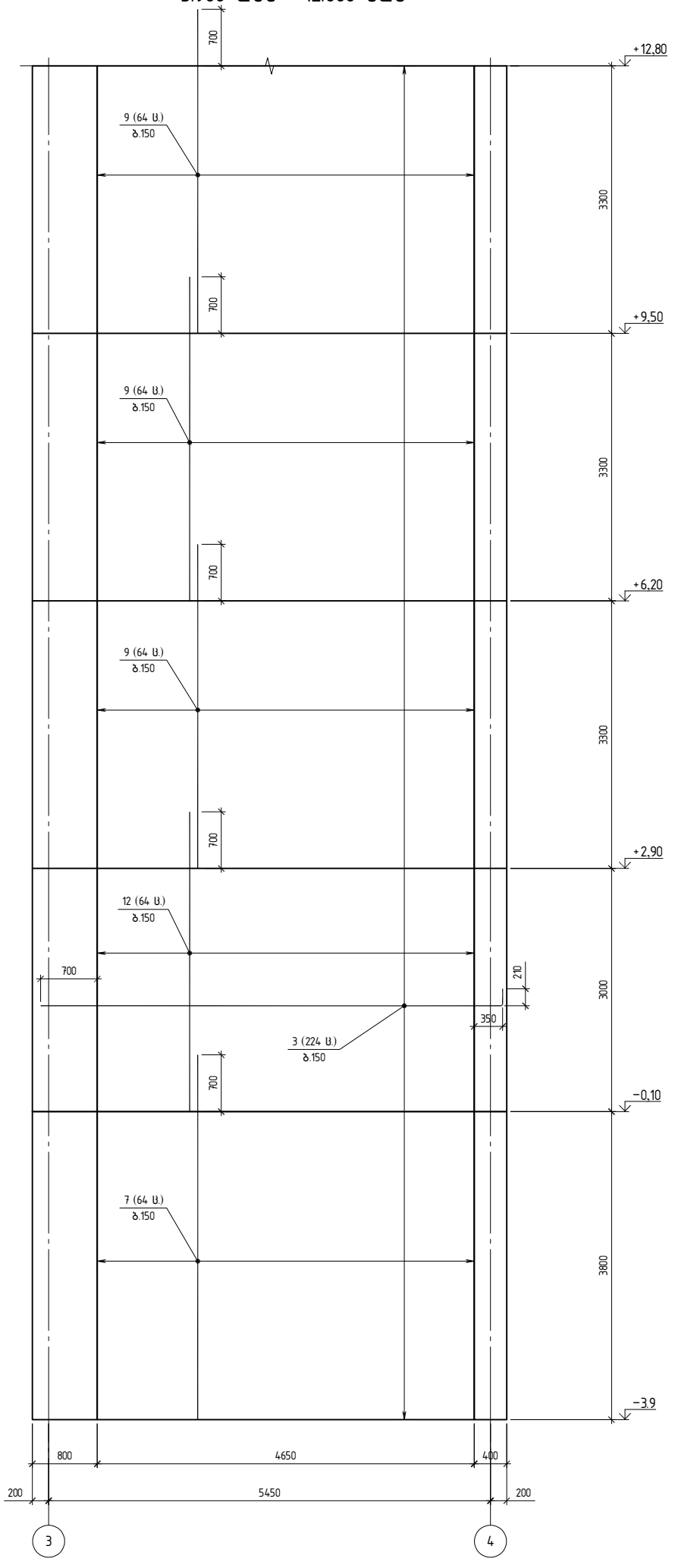



კონსტრუქტორი

შ.პ.ს "ჯი ენ პი"

ალ. ყაზბეგის გამზ. 14ბ
0160, თბილისი, საქართველო
+995599150088
Gipn.ltd@gmail.com


პროექტის დასახელება:
მრავალბინიანი საცხოვრებელი სახლი (ბლოკი "F")
ქ.თბილისი, "დელისი-3"-ის საცხოვრებელი რაიონის მიმდებარედ, ინტენსიფიკაციის გზის სამხრეთით, (ნაკვეთი №1124)

ნახაზის დასახელება:
კვეთი 1-1 ▽-3.900-დან▽+12.800-მდე; კვეთი 2-2 ▽-3.900-დან▽+12.800-მდე

| დახაზა | შეამოწმა | დაადასტურა |
|---|---|---|
| ნ.ჩ. | ო.ქ. | ო.ქ. |

| მასშტაბი | ფორმატი | თარიღი | რევიზია | ნახ.№ |
|---|---|---|---|---|
| 1:50 | A2 | | | ქ- 609 |

ЗАО "ЭЗП"
г. Ташкент, ул. Бабура, 41
+998559915008
ezpn1@gmail.com

# Дымовая труба

Заводской номер 1
Высота 19,40 м
Масса 16,5 т

| Выполнил | Проверил | Дата |
|---|---|---|
| Н.контр. | Утв. | Лист 1 |

Масштаб 1:50 | Формат A2 | Листов 1

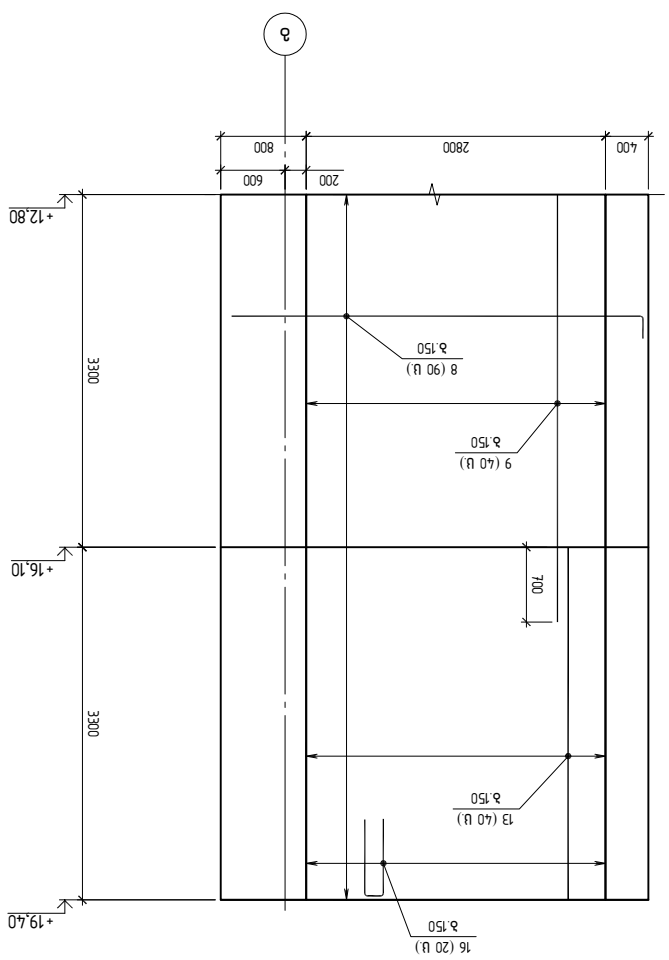


Дымовая труба 1–1
▽+12.800–Ø356▽+19.400–Ø89

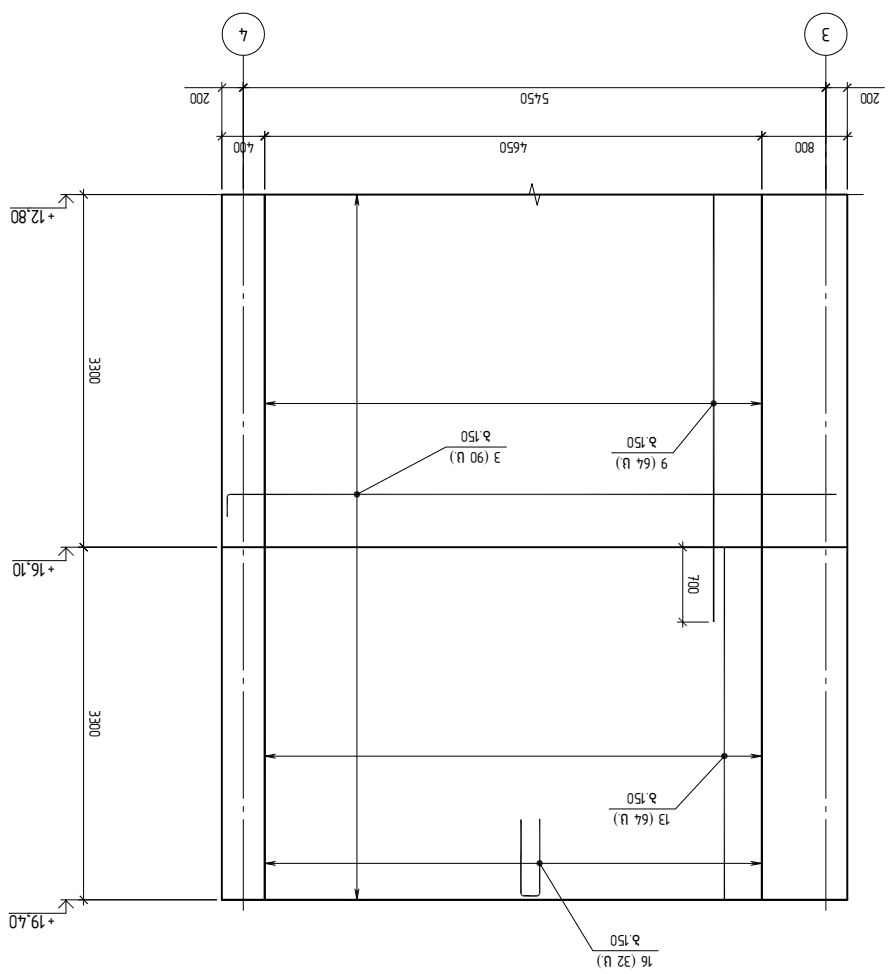


Дымовая труба 2–2
▽+12.800–Ø356▽+19.400–Ø89

| Материал | Масса | Примечание |
|---|---|---|
| Сталь | 6.8. | |
| Бетон | т.3 | |
| Кирпич | т.4 | |

| Масштаб | Формат | Листов | Лист |
|---|---|---|---|
| 1:50 | A2 | | Л- 610 |

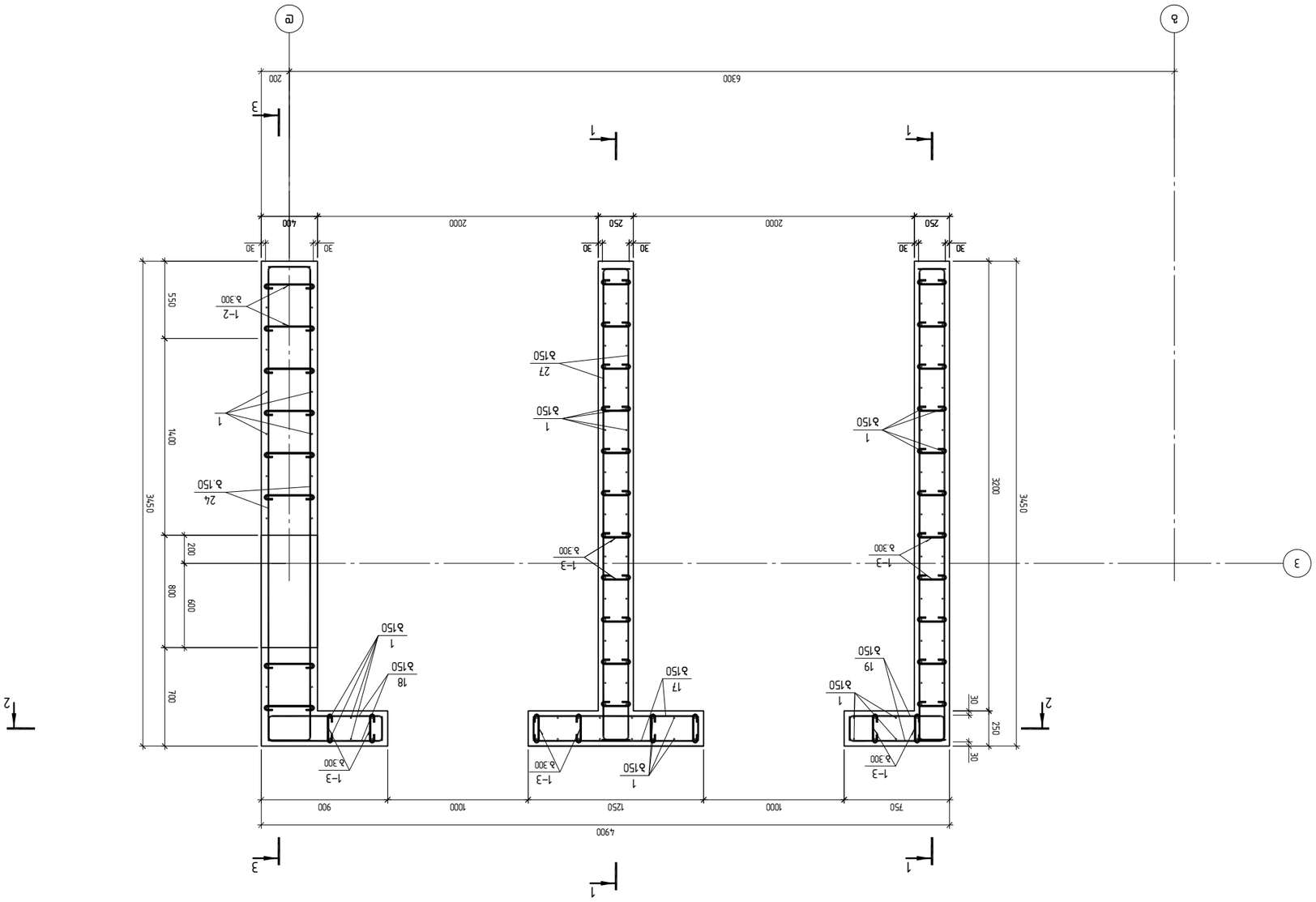


# Армирование 3–я секция 1,2,3 этажей оси А–Б от отм. –3,900 до отм. –0,100


Шифр объекта 24-ВК
Адрес объекта: г.о. Химки, мкр. Подрезково, ул. Совхозная, д. 15
Заказчик: ООО "Специализированный застройщик "Подрезково-3"
Генеральный проектировщик: ООО "ТЕХНОПРОЕКТ"
Главный инженер проекта: Шарапов А.Ю.
Главный архитектор проекта: Шарапов А.Ю.
Главный конструктор проекта: Шарапов А.Ю.
Начальник отдела: Шарапов А.Ю.
Разработал: Шарапов А.Ю.
Проверил: Шарапов А.Ю.
Н.контроль: Шарапов А.Ю.
ГИП: Шарапов А.Ю.


| | | | |
|---|---|---|---|
| Выполнил | Б.Я. | Армирование 3–я секция 1,2,3 этажей оси А–Б от отм. –3,900 до отм. –0,100 | |
| Проверил | П.Ч. | | |
| Н.контроль | П.Ч. | | |
| ГИП | Ш.А.Ю. | | |
| 1:25 | А2 | Стадия | Лист |
| | | | Л– 611 |


ООО "ТЕХНОПРОЕКТ"
г.о. Химки, мкр. Подрезково, ул. Совхозная, д. 15
+79555991500 88
Egorl7@gmail.com

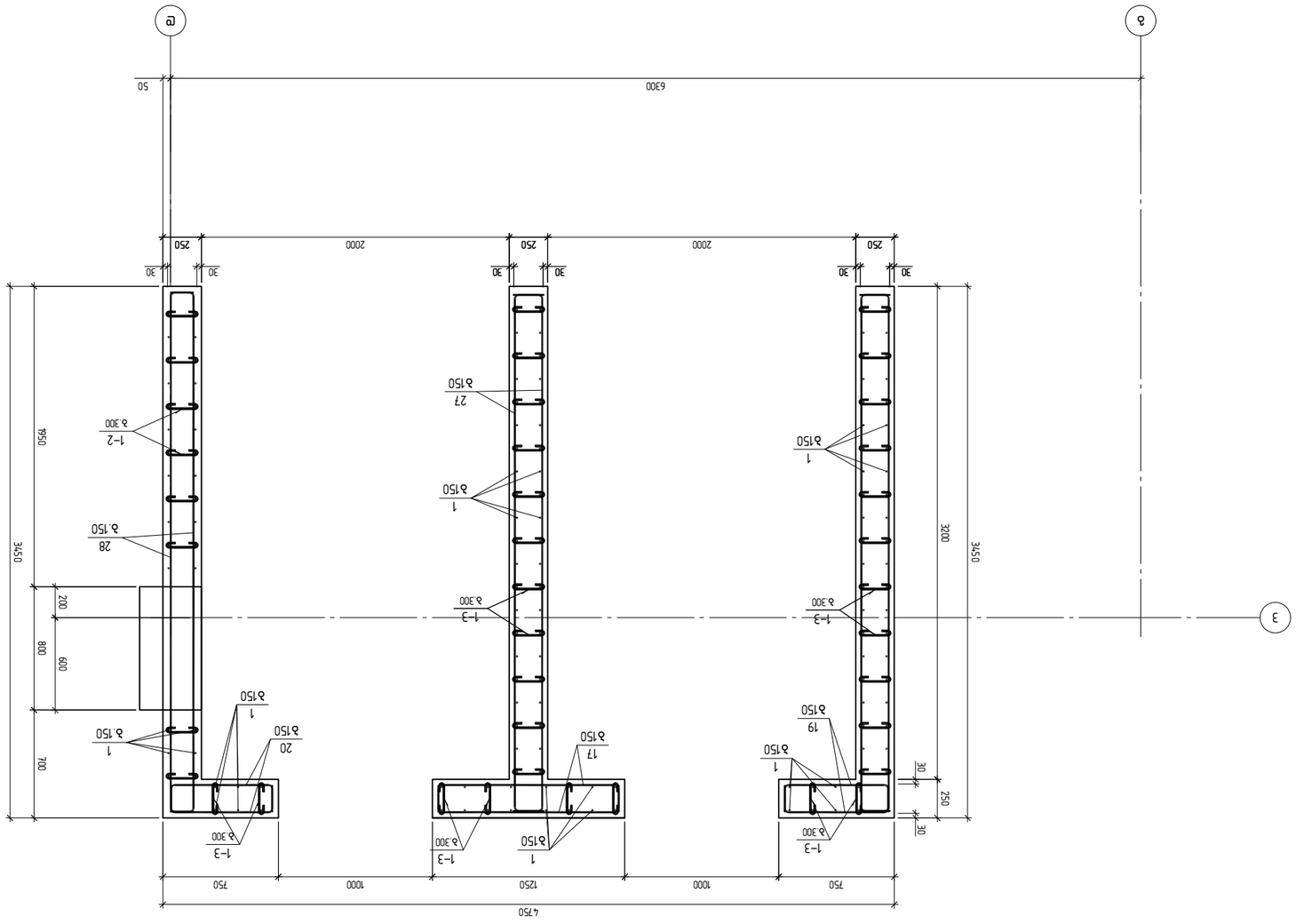


Опалубочный чертеж 3–3 монолитной железобетонной ростверк
▽–0,100 ⌀36 ▽+2,900 ось Б

| | | | |
|---|---|---|---|
| Изм. Кол.уч. Лист № док. Подп. Дата | | | |
| ГИП | Гарипов Р.Р. | 3.3.Ц. "Зил 36 Зп" | |
| Н.контр. | Гарипов Р.Р. | | |
| Разработал | Гарипов Р.Р. | | |
| Стадия | Лист | Листов | |
| Р | 1 | 1 | |

Общество с ограниченной ответственностью "Проектно-изыскательская фирма "Геотехнология". (Свидетельство о допуске к работам, выданное Ассоциацией "Саморегулируемая организация "Объединение проектировщиков" от 15.03.2021 № 972)

Адрес: 450071, Республика Башкортостан, г. Уфа, ул. Бельская, 1/1, оф. 1

+79559915088

GiprIf@gmail.com

| | | | |
|---|---|---|---|
| Масштаб 1:25 | Формат А2 | Лист | Листов |
| | | 1 | 1 |

Инв. № подл. | Подп. и дата | Взам. инв. №

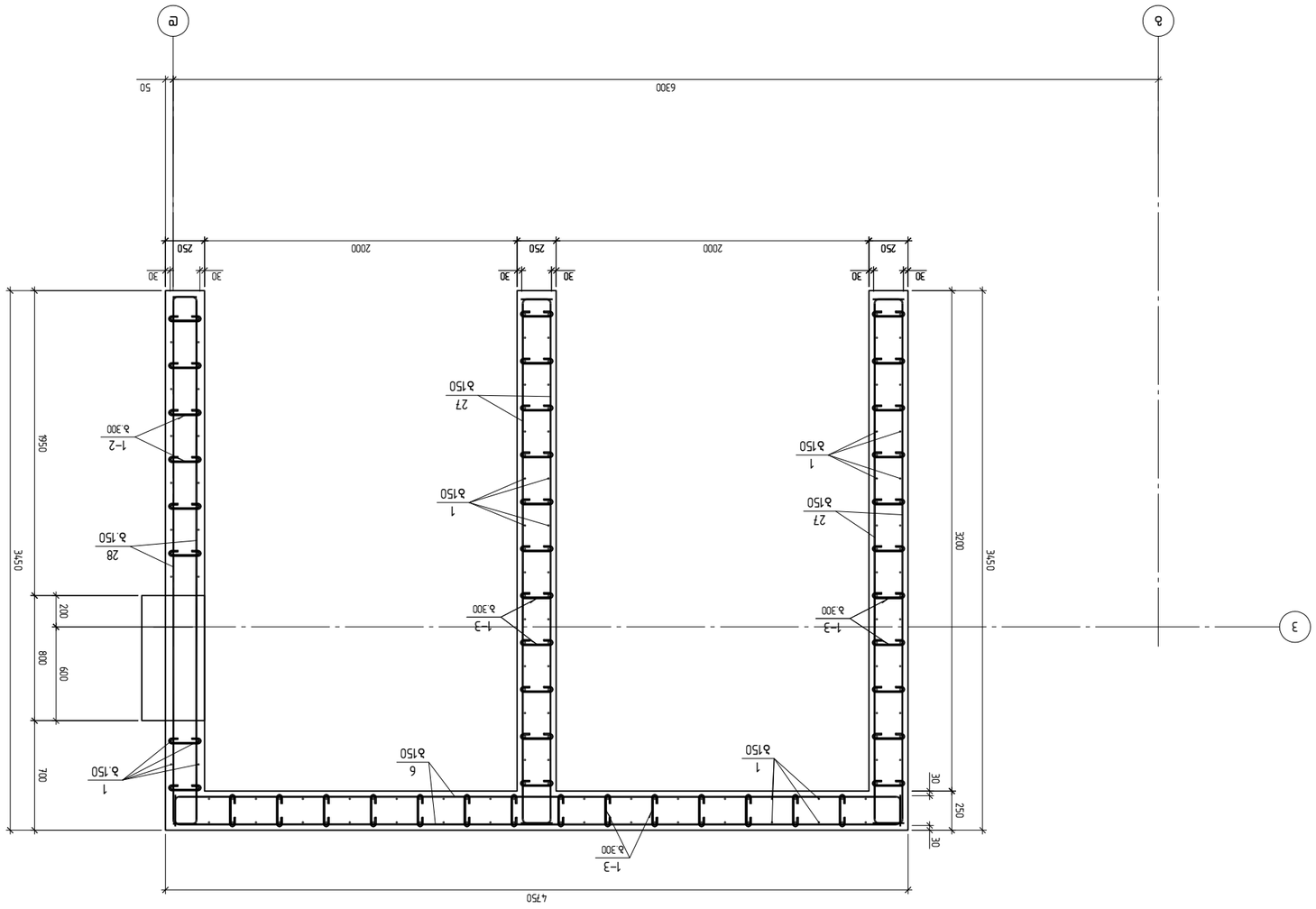


Фасад монолитной железобетонной стены Ф-3 на отм. +2.900 до +19.400 вдоль осей Б-А

| | | | | |
|---|---|---|---|---|
| Изм. Кол.уч. Лист № док. Подп. Дата | | | | |
| ГИП | Гарипов Р.Р. | | Стадия | Лист | Листов |
| | | | Р | 1 | |
| Н.контр. | | | ООО "Газпром трансгаз Югорск" | | |
| Разработал | | | Монолитная железобетонная стена (вентиляционная шахта) №1(2). Фасад стены по оси А. Фасад стены по оси Б. Фасад стены по оси 3. Фасад стены по оси 2. | | |
| | | | Фасад монолитной железобетонной стены Ф-3 на отм. +2.900 до +19.400 вдоль осей Б-А | | |
| Гл.инж.проекта | | | | | |
| Гл.инженер | | | | | |
| Нач.отдела | | | | | |
| Нач.сектора | | | | | |
| Инв.№ подл. | Подп. и дата | Взам.инв.№ | Инв.№ дубл. | Подп. и дата | |
| | | | | | |
| Копировал | | Формат | А2 | | |
| | | | | | |
| Масштаб | 1:25 | | | | |

А2 1:25

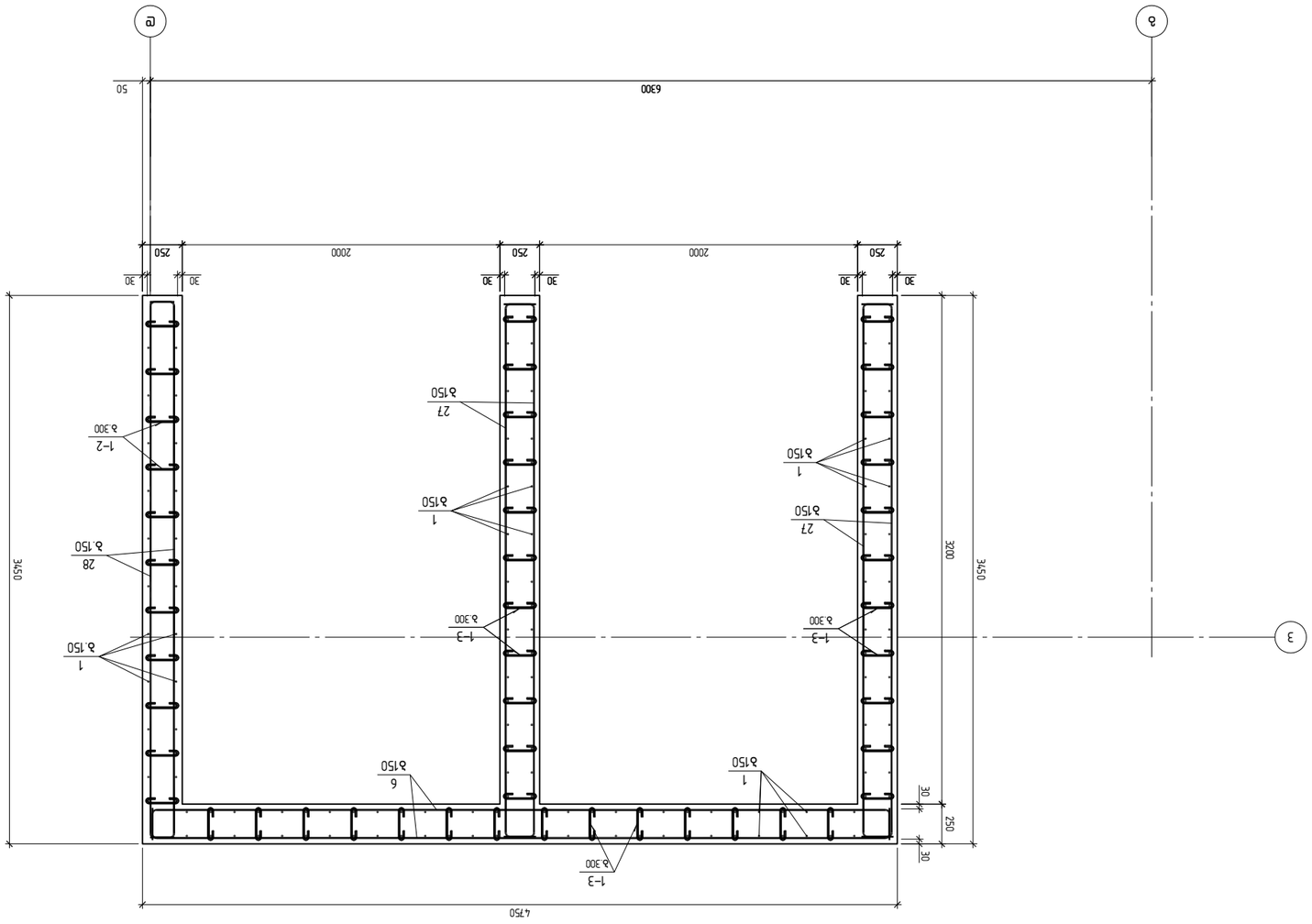


Фрагмент монолитной плиты 3–й этажа отм +19.400 (в осях) отм +21.600

А2 1:25

| | |
|---|---|
| Изм. Кол.уч. Лист № док. Подп. Дата | |
| ГИП | Гарнизонный Дом Культуры на 300 мест |
| Н.контр. | |
| Разработал | |
| Проверил | |
| Нач.отд. | |
| Гл.спец. | |

ООО "Проектно-строительная компания "Гарнизонстрой"
Юридический адрес: 123456, г. Москва, ул. Примерная, д. 1, оф. 101
Почтовый адрес: 123456, г. Москва, ул. Примерная, д. 1, оф. 101
Тел.: +7 (495) 123-45-67
E-mail: info@garnizonstroy.ru

| | | | |
|---|---|---|---|
| Стадия | Лист | Листов | |
| Р | 6 | | |

Монолитная плита 3–й этаж. Фрагмент в осях А–Б/2–3. Отм +19.400 до +21.600. Бетон В25 F200 W6. Арматура А500С, А240. Защитный слой 30 мм. Толщина плиты 250 мм. Масштаб 1:25. Формат А2.

A2 1:50

## კვეთი 1-1
▽-3.900-დან▽+12.800-მდე

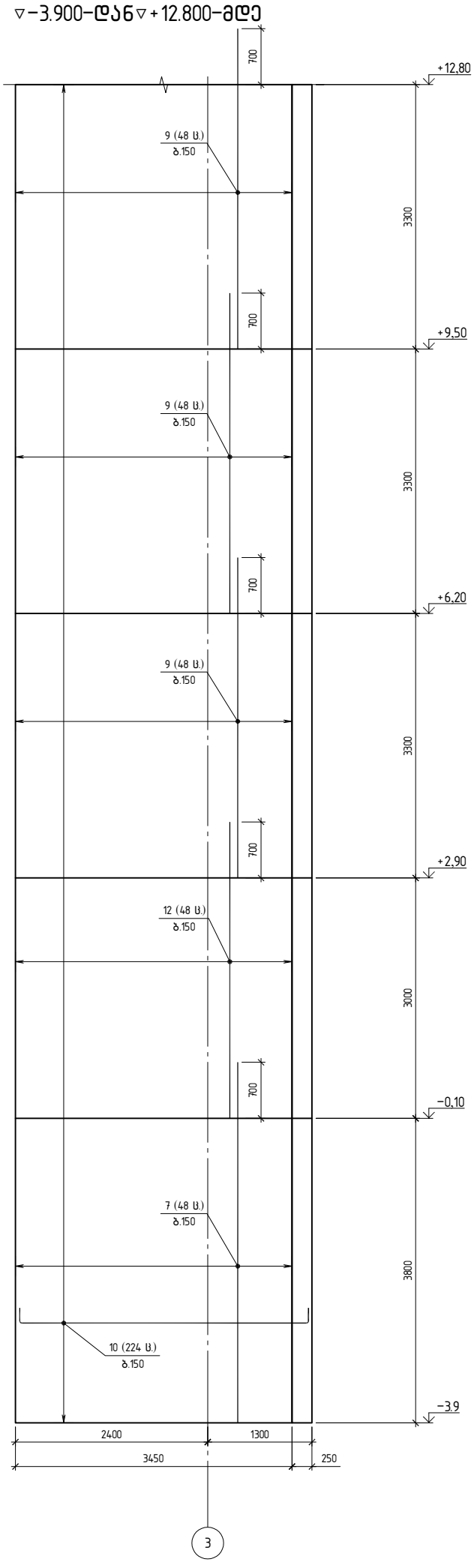


## კვეთი 2-2
▽-3.900-დან▽+12.800-მდე

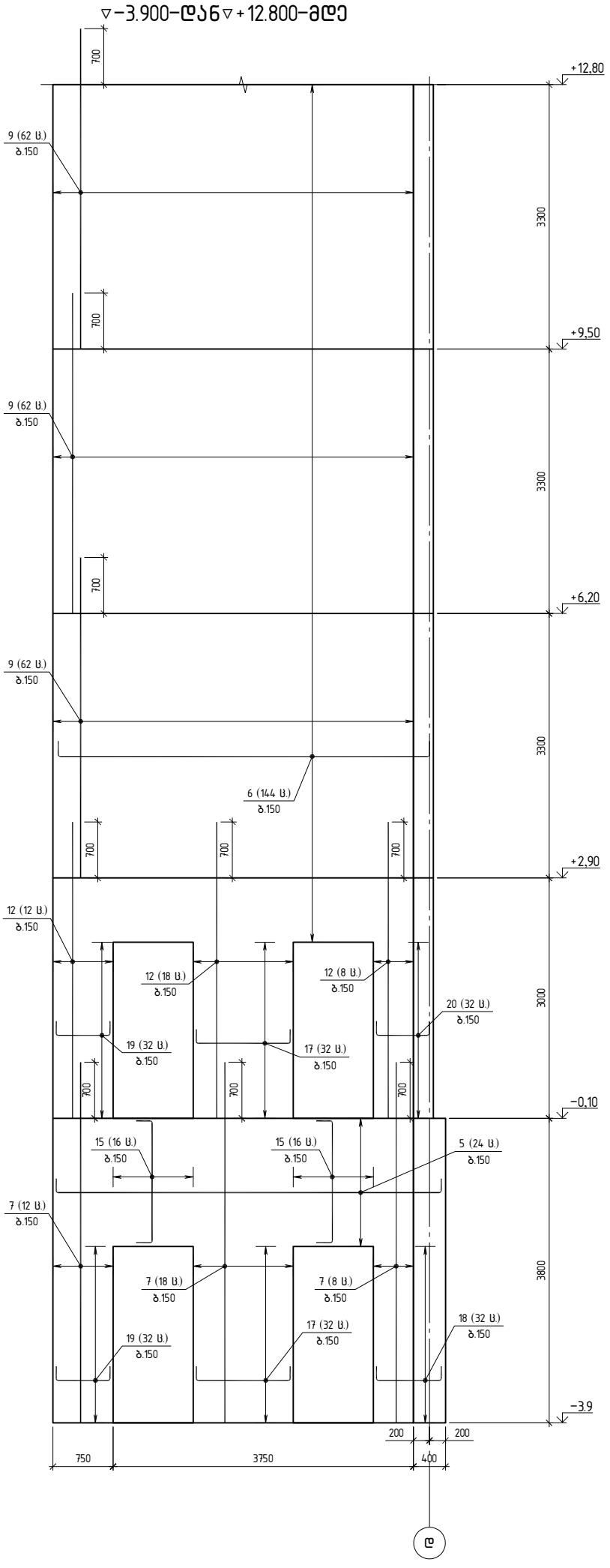



კონსტრუქტორი

შპს "ჯი ეფ პი"

ალ. ყაზბეგის გამზ. 14ბ
0160, თბილისი, საქართველო
+995599150088
Gipn.ltd@gmail.com


პროექტის დასახელება:
მრავალბინიანი საცხოვრებელი სახლი (ბლოკი "F")
ქ.თბილისი, "დელისი-3"-ის საცხოვრებელი რაიონის მიმდებარედ, ინტენსიფიკაციის გზის სამხრეთით, (ნაკვეთი № 1'124)

ნახაზის დასახელება:
კვეთი 1-1 ▽-3.900-დან▽+12.800-მდე; კვეთი 2-2 ▽-3.900-დან▽+12.800-მდე

| დახაზა | შეამოწმა | დაამტკიცა |
|---|---|---|
| ნ.ჩ. | ო.ქ. | ო.ქ. |

| მასშტაბი | ფორმატი | თარიღი | რევიზია | ნახ.№ |
|---|---|---|---|---|
| 1:50 | A2 | | | ქ- 615 |

ЗАО "ЭЛЕКТРОЗАЩИТА"
г. Москва, ул. Кедрова, д.14, стр.1
+79559915008
Elektrozashita@mail.com

# Дизельная электростанция

Здание ДЭС. Электрооборудование. Электроосвещение. Заземление и молниезащита. Электрооборудование систем автоматики, сигнализации и управления. Электрооборудование систем вентиляции и кондиционирования.

Разрез 3-3 ▽-3.900–ось 6▽+12.800–ось 3-3
▽+12.800–ось 6▽+21.600–ось 3-3

| Гип | Кузнецов | Стадия | Лист | Листов |
|---|---|---|---|---|
| Нач.отд. | Иванов | Р | 5 | |
| Н.контр. | Петров | | | |
| ГИП | Сидоров | | | |

1:50 А2 Инв.№ подл. Подп. и дата Взам.инв.№ Инв.№ дубл. Подп. и дата

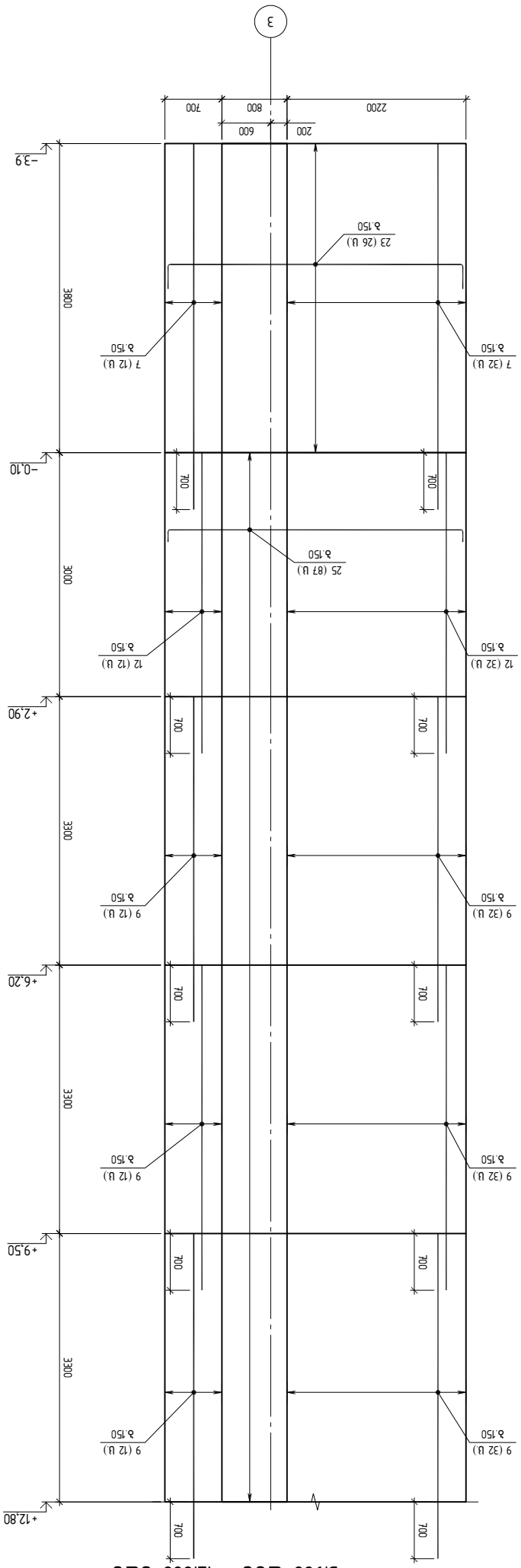


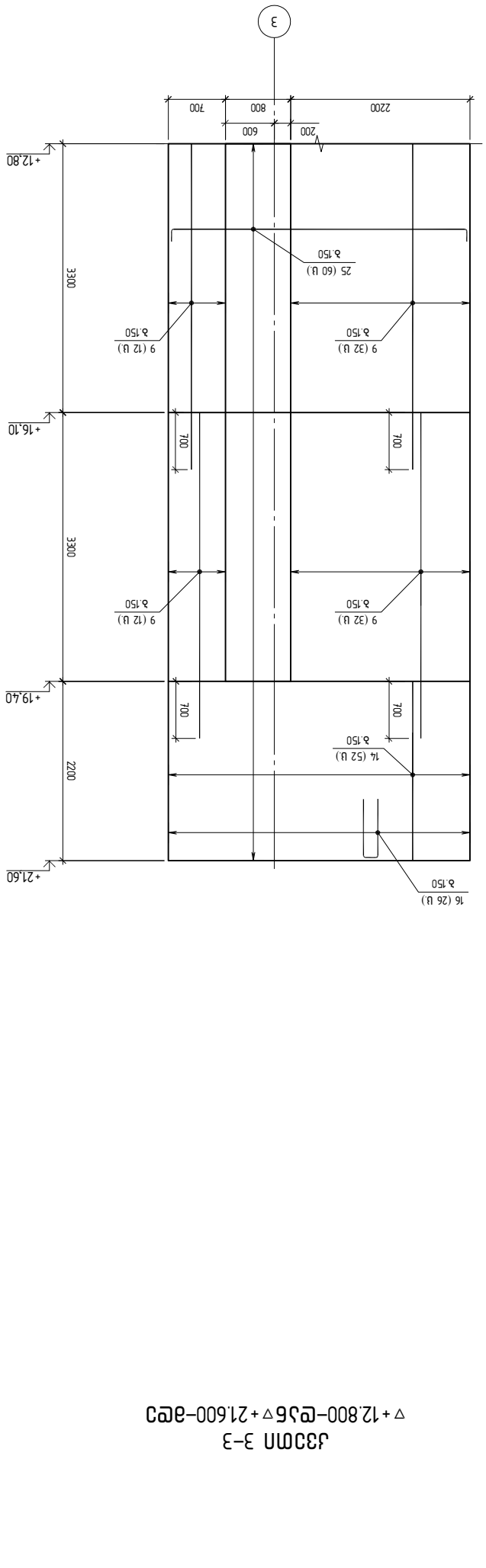

ДИЗАЙНСТУДИО „ЗЕЛЕНА ЛИНИЯ" ЕООД
гр. София 1164, ул. „Кукуш" №4, ет.2
+359 2 963 5555
office@zelenalinia.bg

**Етажен план на ниво +12.80 и +16.10 – Ос 1 до Ос 3**

Мащаб 1:50 | Формат А2 | Дата: 14.03.2025 г.

Проект: Жилищна сграда с 24 апартамента, ул. „Кукуш" №4, гр. София

Чертежът е собственост на ДИЗАЙНСТУДИО „ЗЕЛЕНА ЛИНИЯ" ЕООД. Забранено е копирането, разпространението и използването без писмено съгласие.

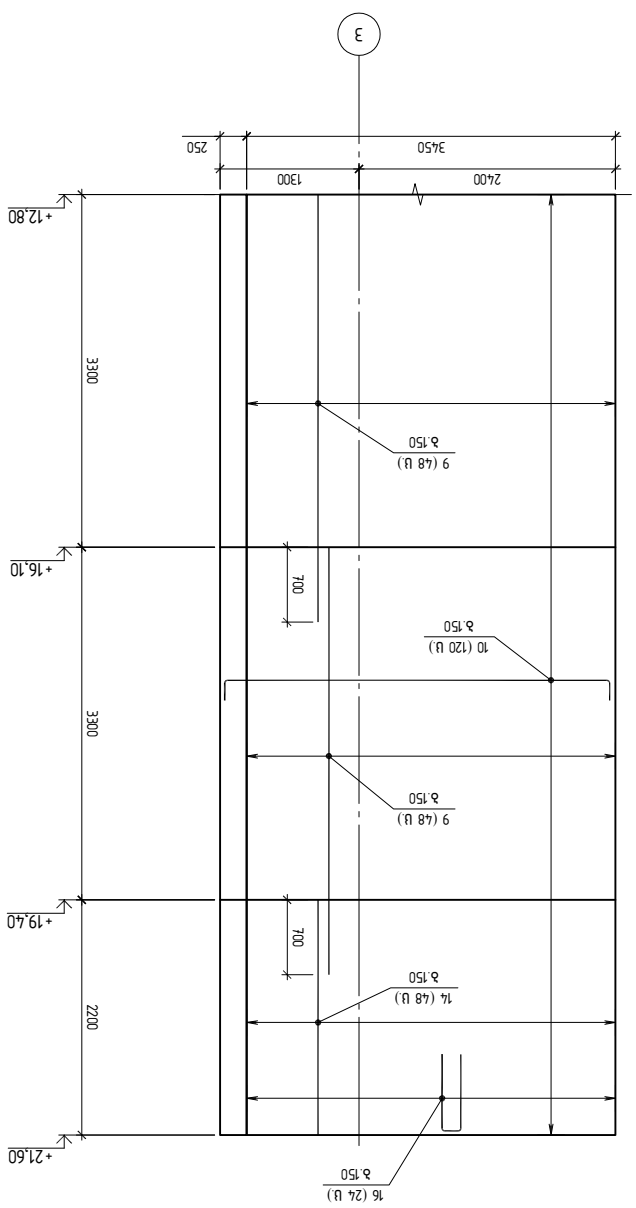


Разрез 1–1 – виж чертеж А-301

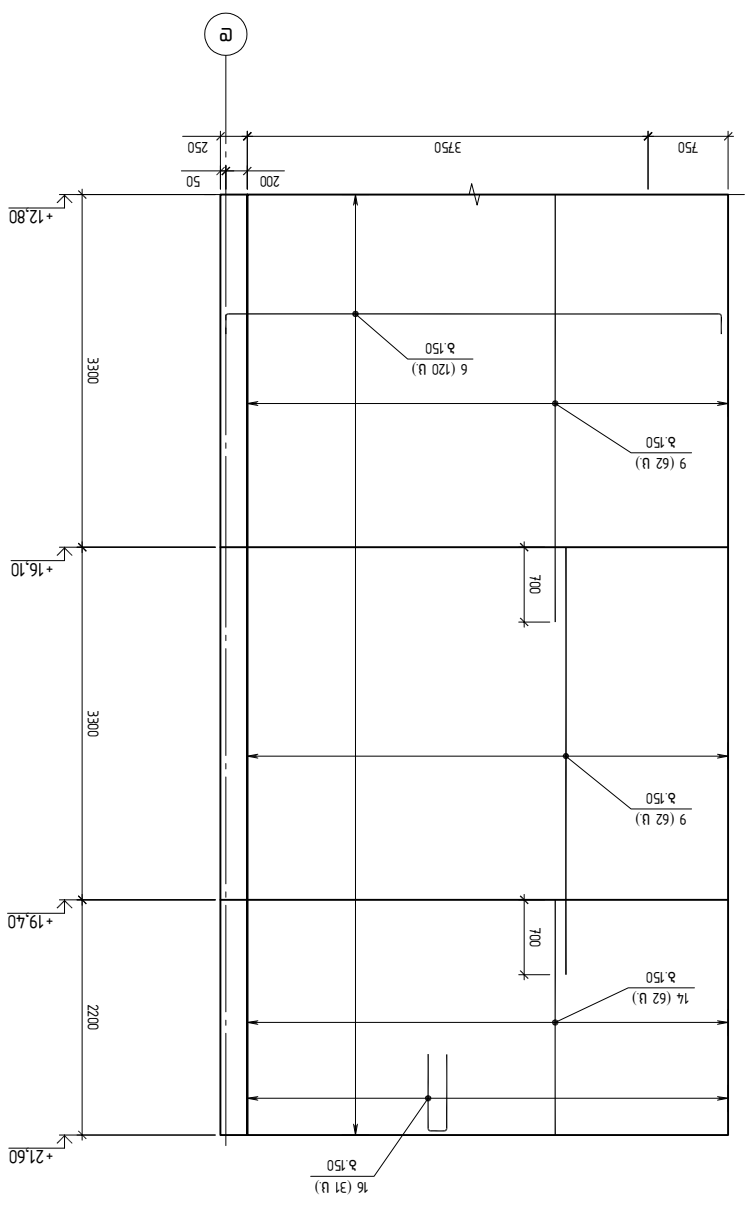


Разрез 2–2 – виж чертеж А-302

| | |
|---|---|
| Проектант: | арх. Мария Стоянова |
| Одобрил: | инж. Петър Димитров |
| Фаза: | Работен проект |
| Номер на чертежа: | А-617 |
| Версия: | 1.4 |

| | | | | | | | |
|---|---|---|---|---|---|---|---|
| | | | | | | | |
| | | | | | | | |
| | | | | | | | |

# მონოლითური კიბე კბ-1

▽−3.900−დან ▽−0.100−მდე

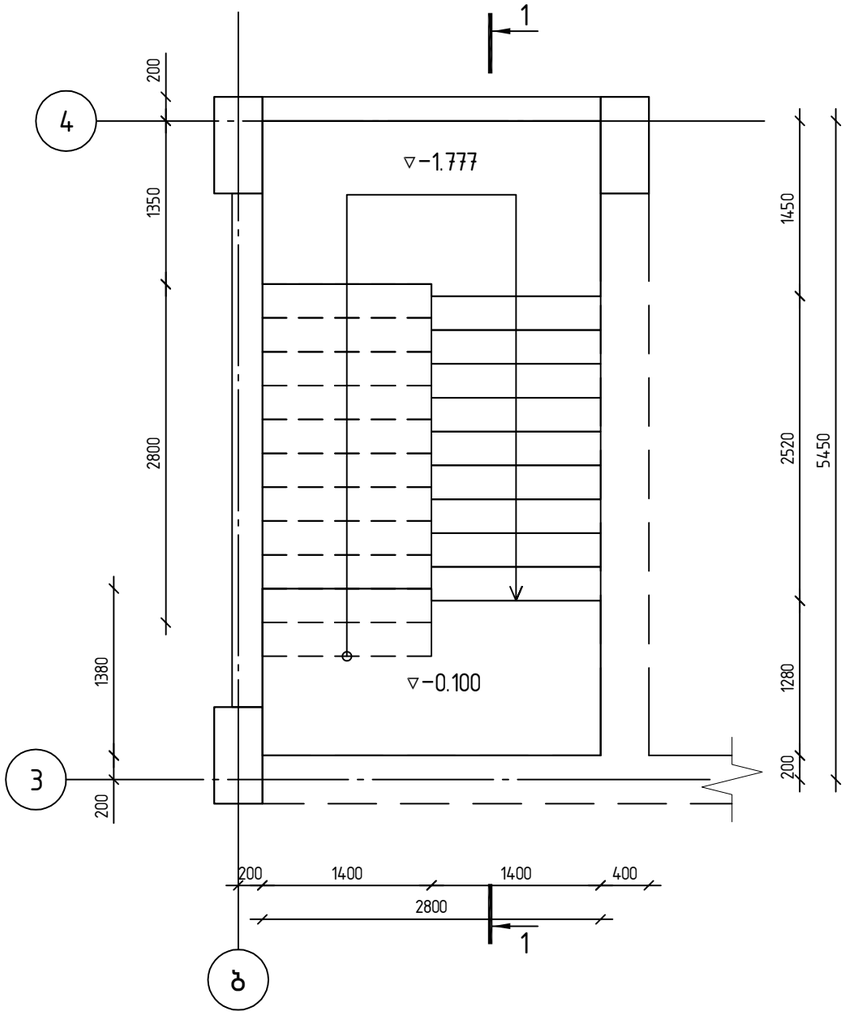


▽−0.100−დან ▽+2.900−მდე

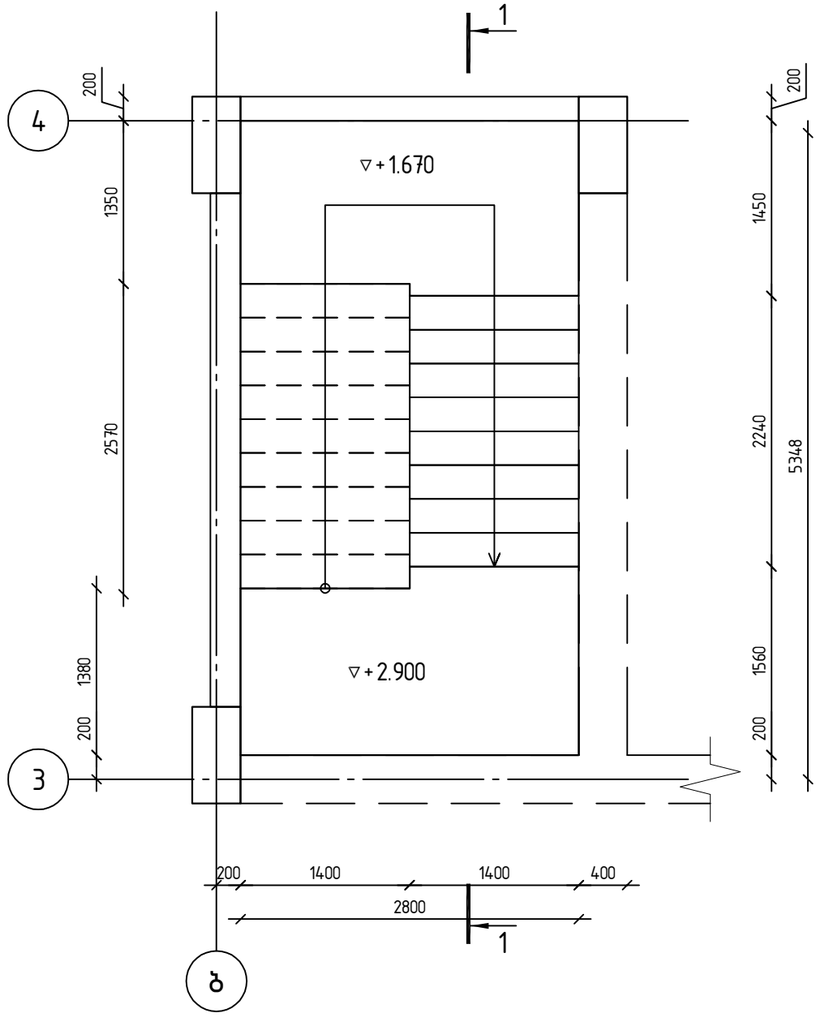


## კონსტრუქტორი


შ.პ.ს "ჯი ენ პი"

ალ. ყაზბეგის გამზ. 14ბ
0160, თბილისი, საქართველო
+995599150088
Gipn.ltd@gmail.com


პროექტის დასახელება:

მრავალბინიანი საცხოვრებელი სახლი (ბლოკი "F")
ქ.თბილისი, "დელისი-3"-ის საცხოვრებელი რაიონის მიმდებარედ, ინტენსიფიკაციის გზის სამხრეთით, (ნაკვეთი №1/124)

ნახაზის დასახელება:

მონოლითური კიბე კბ-1
▽−3.900−დან ▽+2.900−მდე

| დახაზა | შეამოწმა | დაადასტურა |
|---|---|---|
| ნ.მ. | ო.ქ. | ო.ქ. |

| მასშტაბი | ფორმატი | თარიღი | რევიზია | ნახ.№ |
|---|---|---|---|---|
| 1:50 | A3 | | | 701 |

# მონოლითური კიბე კბ-1

▽+2.900-დან ▽+16.100-მდე

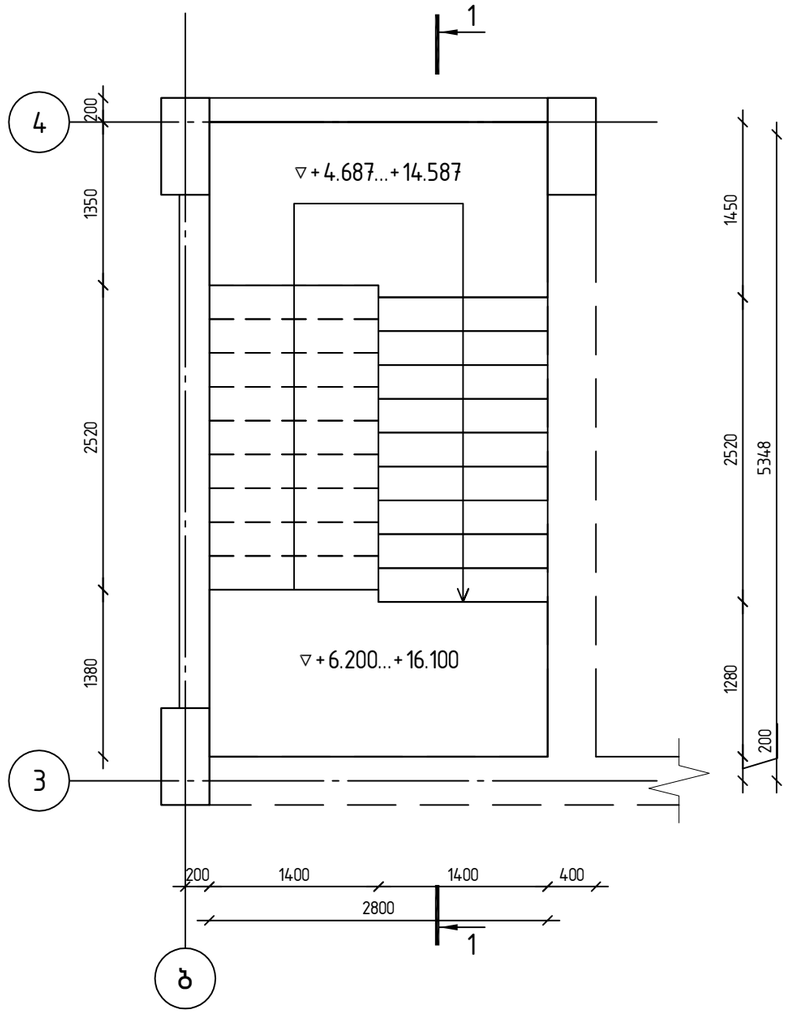


| კონსტრუქტორი | | | | |
|---|---|---|---|---|
| შ.პ.ს "ჯი ენ პი" | ალ. ყაზბეგის გამზ. 14ბ<br>0160, თბილისი, საქართველო<br>+995599150088<br>Gipn.ltd@gmail.com | | | |
| პროექტის დასახელება: მრავალბინიანი საცხოვრებელი სახლი (ბლოკი "F'') ქ.თბილისი, "დელისი-3"-ის საცხოვრებელი რაიონის მიმდებარედ, ინტენსიფიკაციის გზის სამხრეთით, (ნაკვეთი №1/124) | | | | |
| ნახაზის დასახელება: მონოლითური კიბე კბ-1 ▽+2.900-დან ▽+16.100-მდე | | | | |
| დახაზა: ნ.მ. | შეამოწმა: ო.ქ. | დაადასტურა: ო.ქ. | | |
| მასშტაბი: 1:50 | ფორმატი: A3 | თარიღი: | რევიზია: | ნახ.№: 702 |

# მონოლითური კიბე კბ-1

## კვეთი 1-1

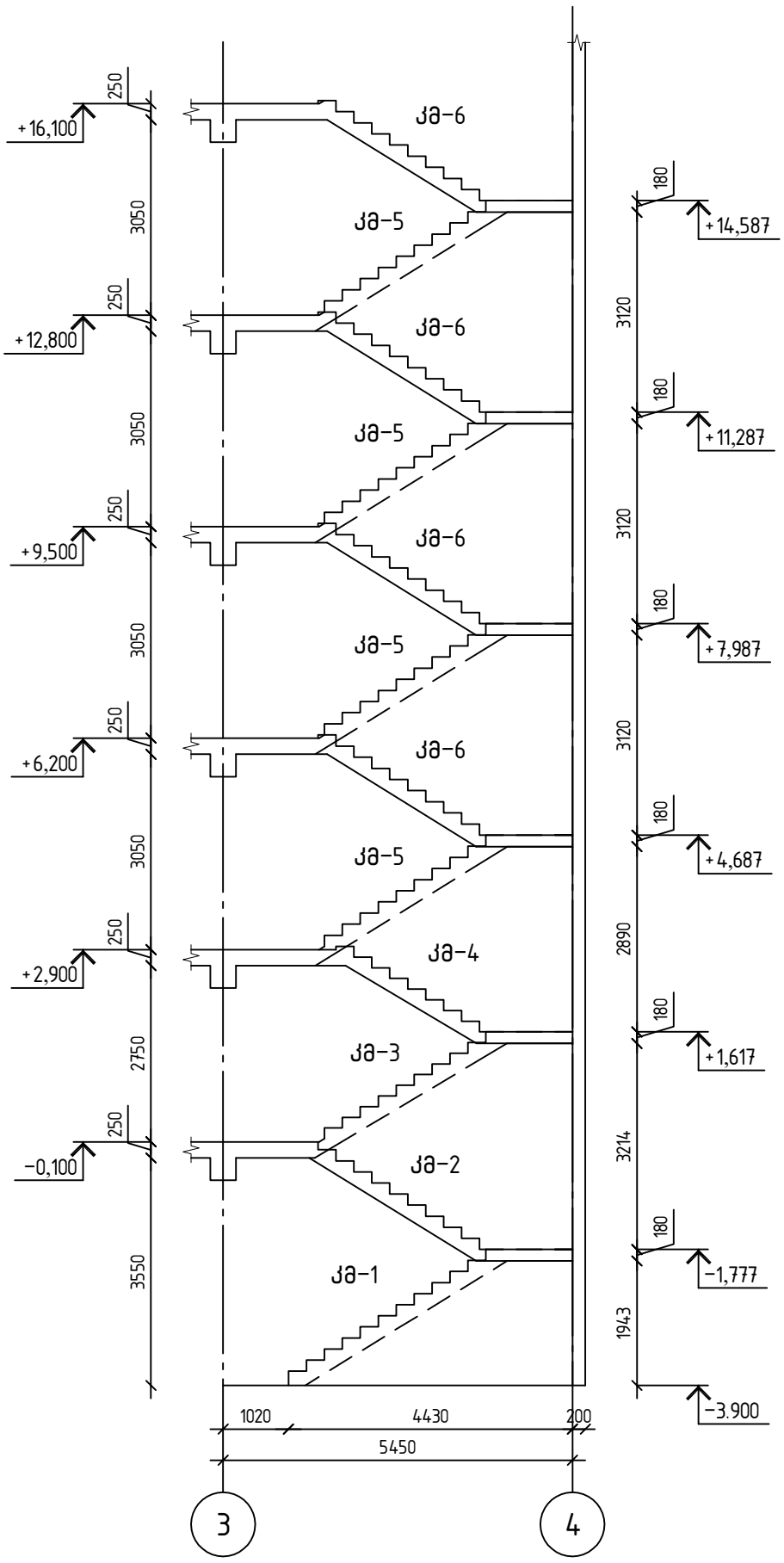


| კონსტრუქტორი | | | | |
|---|---|---|---|---|
| შ.პ.ს "ჯი ენ პი"<br>ალ. ყაზბეგის გამზ. 14.ბ<br>0160, თბილისი, საქართველო<br>+995599150088<br>Gipn.ltd@gmail.com | | | | |
| პროექტის დასახელება:<br>მრავალბინიანი საცხოვრებელი სახლი (ბლოკი "F")<br>ქ.თბილისი, "დელისი-3"-ის საცხოვრებელი რაიონის მიმდებარედ, ინტენსიფიკაციის გზის სამხრეთით, (ნაკვეთი №1/124) | | | | |
| ნახაზის დასახელება:<br>მონოლითური კიბე კბ-1-ის კვეთი 1-1 | | | | |
| დახაზა<br>ნ.მ. | შეამოწმა<br>ო.ქ. | დაადასტურა<br>ო.ქ. | | |
| მასშტაბი<br>1:100 | ფორმატი<br>A3 | თარიღი | რევიზია | ნახ.№<br>703 |

# მონოლითური კიბე კბ-1

## კიბის მარში კმ-1

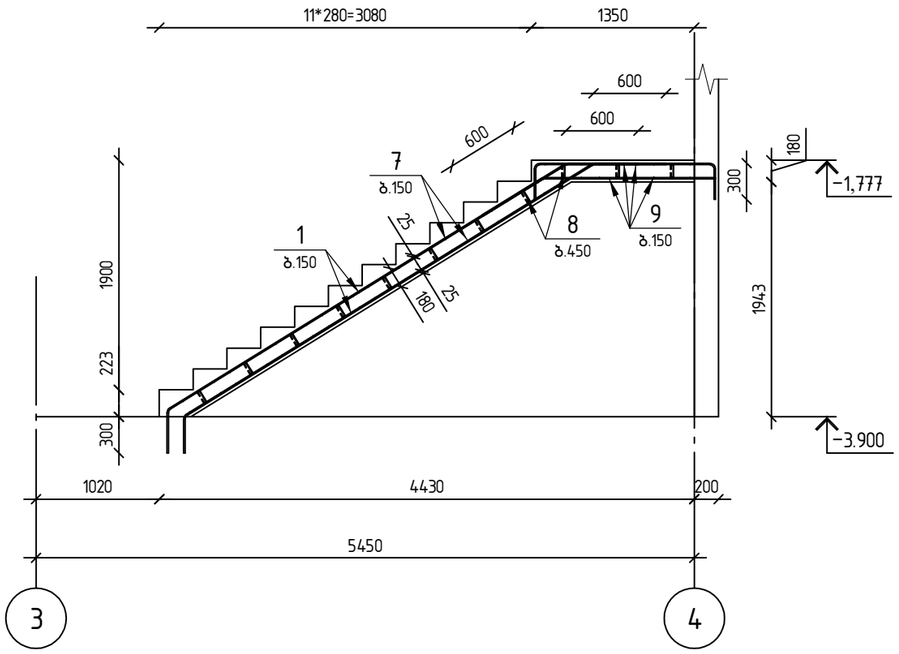


## კიბის მარში კმ-2

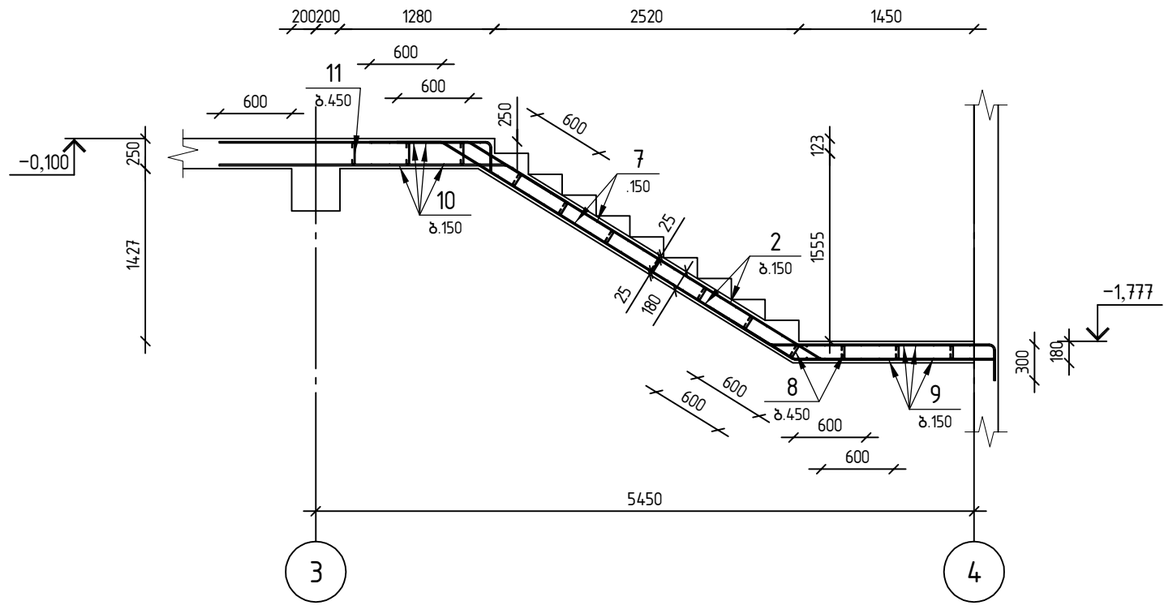


## კიბის მარში კმ-3

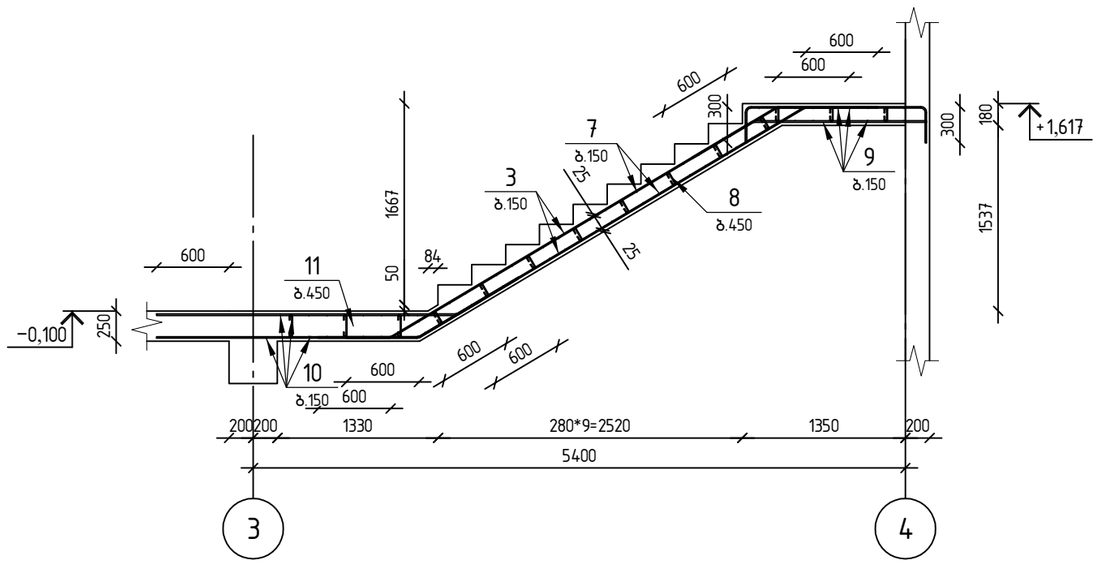


## კონსტრუქტორი

შ.პ.ს "ჯი ენ პი"

ალ. ყაზბეგის გამზ. 14ბ
0160, თბილისი, საქართველო
+995599150088
Gipn.ltd@gmail.com

პროექტის დასახელება:

მრავალბინიანი საცხოვრებელი სახლი (ბლოკი "F")
ქ.თბილისი, "დელისი-3"-ის საცხოვრებელი რაიონის მიმდებარედ, ინტენსიფიკაციის გზის სამხრეთით, (ნაკვეთი №1/124)

ნახაზის დასახელება:

მონოლითური კიბე კბ-1-ის
მარში კმ-1; კმ-2; კმ-3

| დახაზა | შეამოწმა | დაადასტურა |
|---|---|---|
| ნ.მ. | ო.ქ. | ო.ქ. |

| მასშტაბი | ფორმატი | თარიღი | რევიზია | ნახ.№ |
|---|---|---|---|---|
| 1:50 | A3 | | | 704 |

# მონოლითური კიბე კბ-1

## კიბის მარში კმ-4

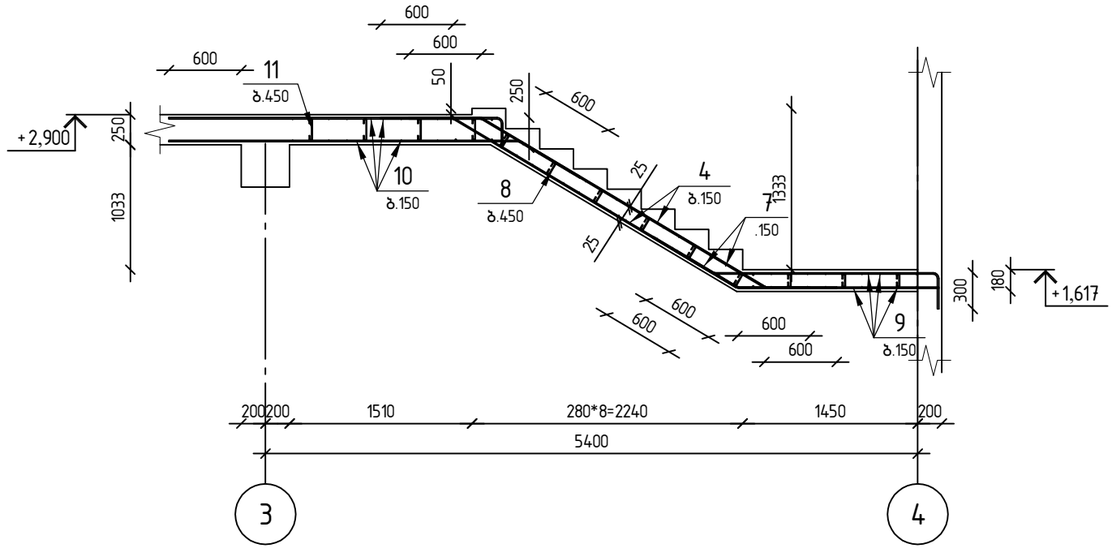


## კიბის მარში კმ-5

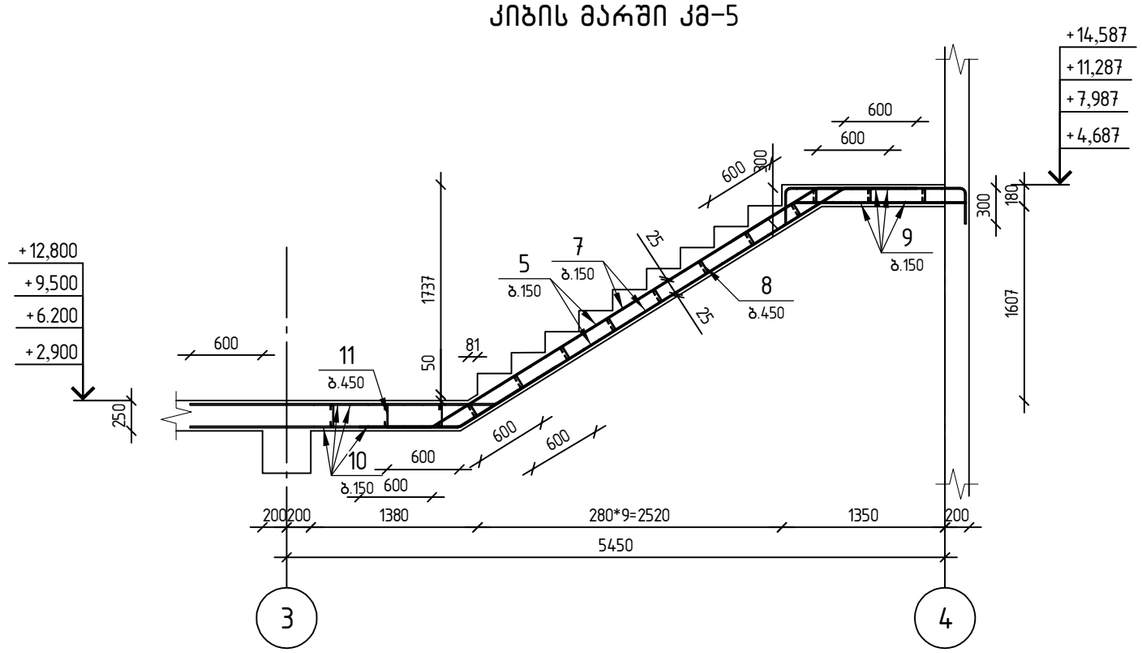


## კიბის მარში კმ-6

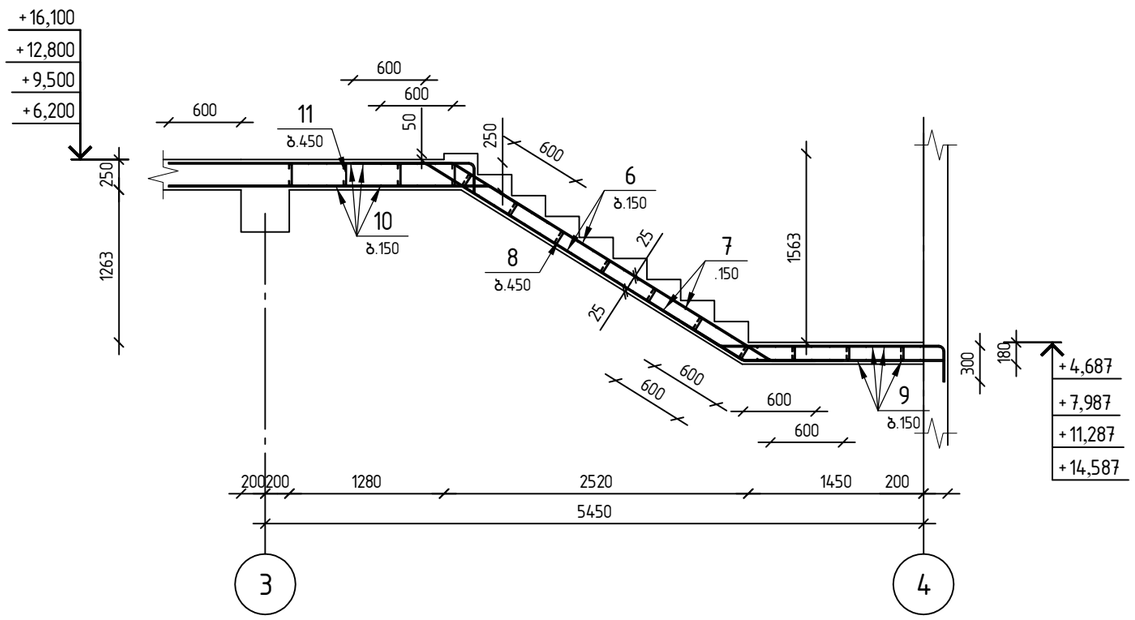


| კონსტრუქტორი | |
|---|---|
| შ.პ.ს "ჯი ენ პი" | ალ. ყაზბეგის გამზ. 14ბ<br>0160, თბილისი, საქართველო<br>+995599150088<br>Gipn.ltd@gmail.com |
| პროექტის დასახელება: | მრავალბინიანი საცხოვრებელი სახლი (ბლოკი "F")<br>ქ.თბილისი, "დელისი-3"-ის საცხოვრებელი რაიონის მიმდებარედ, ინტენსიფიკაციის გზის სამხრეთით, (ნაკვეთი №1/124) |
| ნახაზის დასახელება: | მონოლითური კიბე კბ-1-ის მარში კმ-4; კმ-5; კმ-6 |

| დახაზა | შეამოწმა | დაადასტურა |
|---|---|---|
| ნ.მ. | ო.ქ. | ო.ქ. |

| მასშტაბი | ფორმატი | თარიღი | რევიზია | ნახ.№ |
|---|---|---|---|---|
| 1:50 | A3 | | | 705 |

ЖЛМ
ООО "ЭЛ ЭС ЭЛ"
Адрес: Узбекистан, Ташкент, Мирзо-Улугбекский район, ул. Буюк Ипак Йули, 1
Тел: +998 71 200 00 00
Email: info@lms.uz

**Заказчик:** Министерство транспорта Республики Узбекистан

**Объект:** Строительство автомобильной дороги Ташкент – Самарканд – Бухара, участок км 0 – км 142

**Раздел:** Конструкции железобетонные. Монолитные работы

**Чертёж:** Схема армирования плиты проезжей части. Поперечное сечение

| Изм. | Кол. уч. | Лист | № док. | Подпись | Дата |
|---|---|---|---|---|---|
| Разраб. | Каримов | | | | |
| Пров. | Рахимов | | | | |
| Н. контр. | Исмоилов | | | | |
| ГИП | Назаров | | | | |

Стадия: Р | Лист 14 | Листов 29

Копировал: | Формат А3

| Поз. | Эскиз | Ø, мм | Марка стали | Длина, мм | Кол-во, шт. | Масса 1 шт., кг | Масса, кг |
|---|---|---|---|---|---|---|---|
| 1 | 1350 (120 / 120) | 12 | А500С | 1350 | 2 | 1,20 | 2,40 |
| 2 | 1350 (120 / 120) | 12 | А500С | 1350 | 2 | 1,20 | 2,40 |
| 3 | 1350 (120 / 120) | 12 | А500С | 1350 | 2 | 1,20 | 2,40 |
| 4 | 1350 (120 / 120) | 12 | А500С | 1350 | 2 | 1,20 | 2,40 |
| 5 | 1350 (120 / 120) | 12 | А500С | 1350 | 2 | 1,20 | 2,40 |
| 6 | 1350 (120 / 120) | 12 | А500С | 1350 | 2 | 1,20 | 2,40 |
| 7 | 1350 (120 / 120) | 10 | А500С | 1350 | 2 | 0,83 | 1,66 |
| 8 | 1350 (120 / 120) | 8 | А500С | 1350 | 2 | 0,53 | 1,06 |
| 9 | 1350 (120 / 120) | 12 | А500С | 1350 | 2 | 1,20 | 2,40 |
| 10 | 1350 (120 / 120) | 12 | А500С | 1350 | 2 | 1,20 | 2,40 |
| 11 | 1350 (120 / 120) | 8 | А500С | 1350 | 2 | 0,53 | 1,06 |

**Примечания:**

1. Все размеры даны в миллиметрах, если не указано иное.
2. Защитный слой бетона 40 мм.
3. Бетон класса B30, марка по морозостойкости F300.
4. Арматурные стержни соединять вязальной проволокой.

Поз. 7




Поз. 10

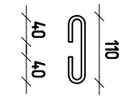


Поз. 13

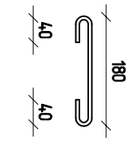

# მონოლითური კიბე კბ-2

▽−0.100-დან ▽+2.900-მდე

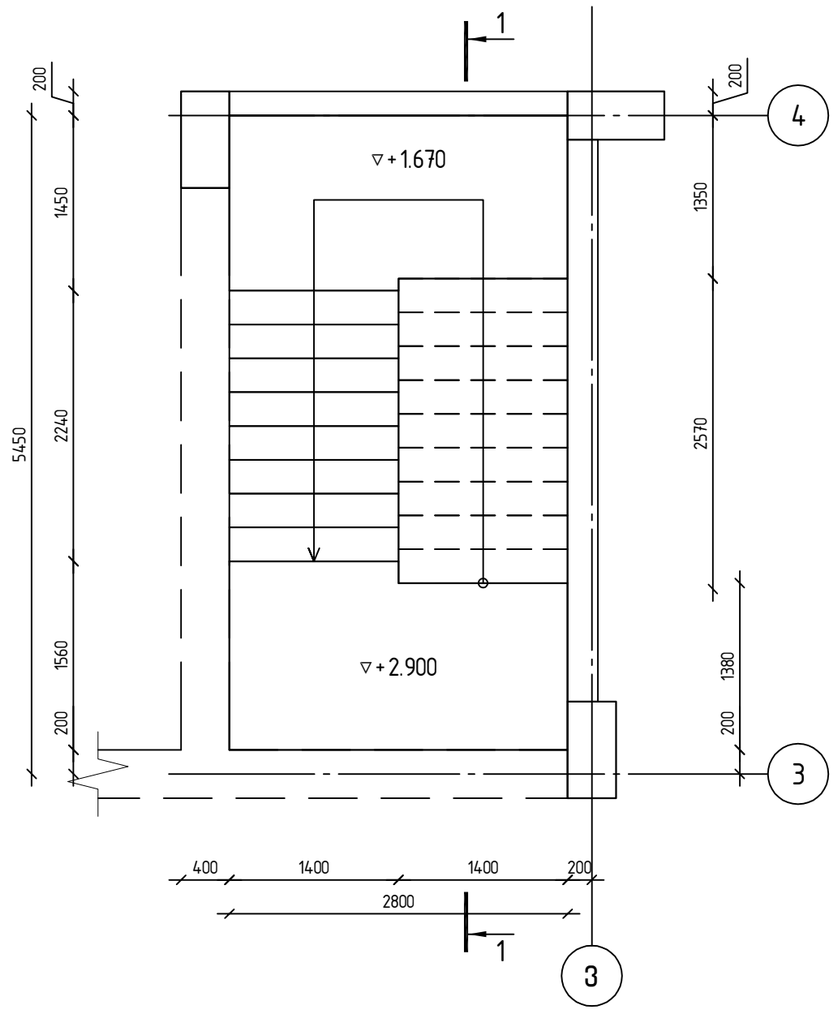


▽+2.900-დან ▽+16.100-მდე

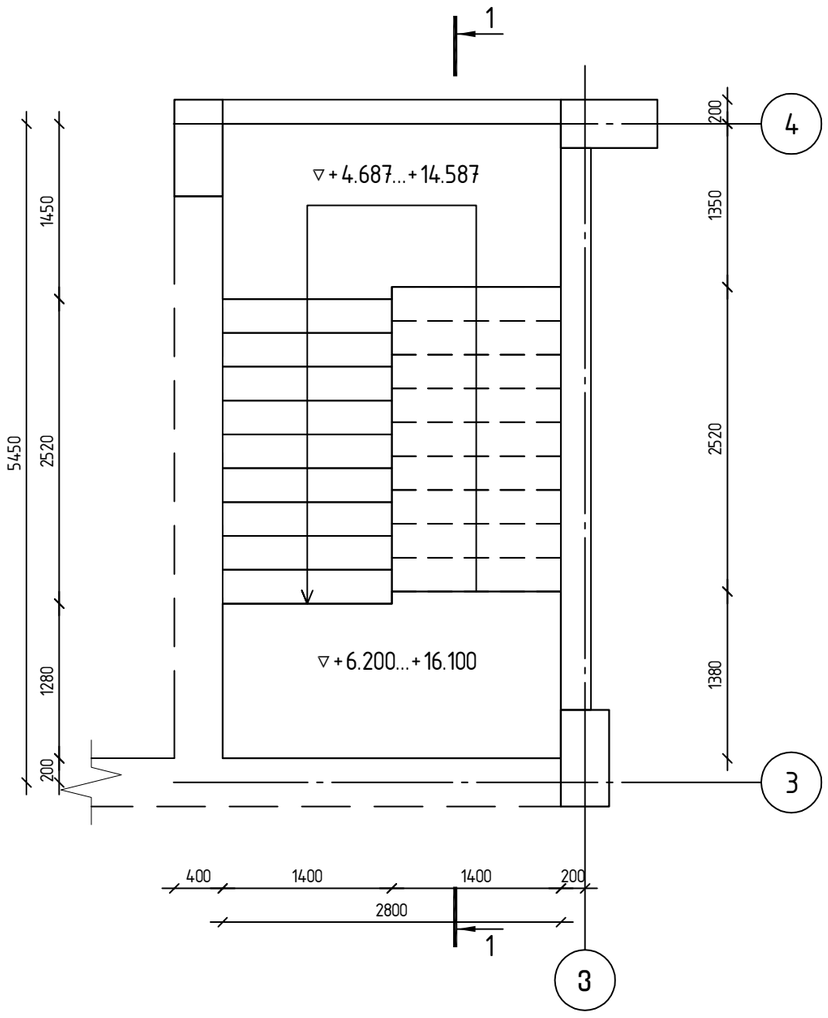


| კონსტრუქტორი | | | | |
|---|---|---|---|---|
| შ.პ.ს "ჯი ენ პი" | ალ. ყაზბეგის გამზ. 14ბ 0160, თბილისი, საქართველო<br>+995599150088<br>Gipn.ltd@gmail.com | | | |
| პროექტის დასახელება: მრავალბინიანი საცხოვრებელი სახლი (ბლოკი "F'') ქ.თბილისი, "დელისი-3"-ის საცხოვრებელი რაიონის მიმდებარედ, ინტენსიფიკაციის გზის სამხრეთით, (ნაკვეთი №1/124) | | | | |
| ნახაზის დასახელება: მონოლითური კიბე კბ-2 ▽−0.100-დან ▽+16.100-მდე | | | | |
| დახაზა: ნ.მ. | შეამოწმა: ო.ქ. | დაადასტურა: ო.ქ. | | |
| მასშტაბი: 1:50 | ფორმატი: A3 | თარიღი: | რევიზია: | ნახ.№: 707 |

# მონოლითური კიბე კბ-2

## კვეთი 1-1

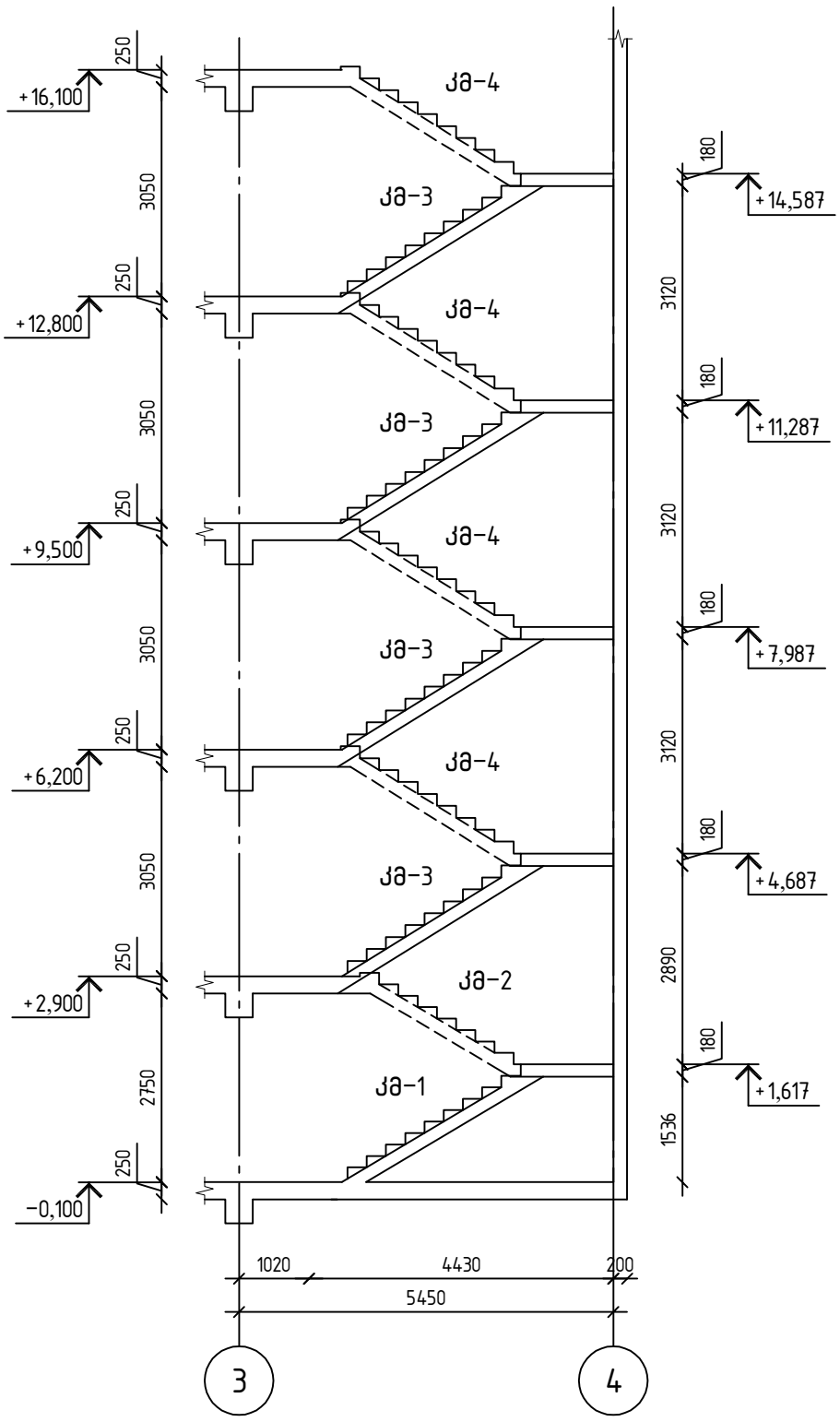


| კონსტრუქტორი | |
|---|---|
| შ.პ.ს "ჯი ენ პი" | ალ. ყაზბეგის გამზ. 14ბ<br>0160, თბილისი, საქართველო<br>+995599150088<br>Gipn.ltd@gmail.com |
| პროექტის დასახელება: | მრავალბინიანი საცხოვრებელი სახლი (ბლოკი "F")<br>ქ.თბილისი, "დელისი-3"-ის საცხოვრებელი რაიონის მიმდებარედ, ინტენსიფიკაციის გზის სამხრეთით, (ნაკვეთი №1/124) |
| ნახაზის დასახელება: | მონოლითური კიბე კბ-2-ის კვეთი 1-1 |

| დახაზა | შეამოწმა | დაადასტურა |
|---|---|---|
| ნ.მ. | ო.ქ. | ო.ქ. |

| მასშტაბი | ფორმატი | თარიღი | რევიზია | ნახ.№ |
|---|---|---|---|---|
| 1:100 | A3 | | | 708 |

# მონოლითური კიბე კბ-2

## კიბის მარში კმ-1

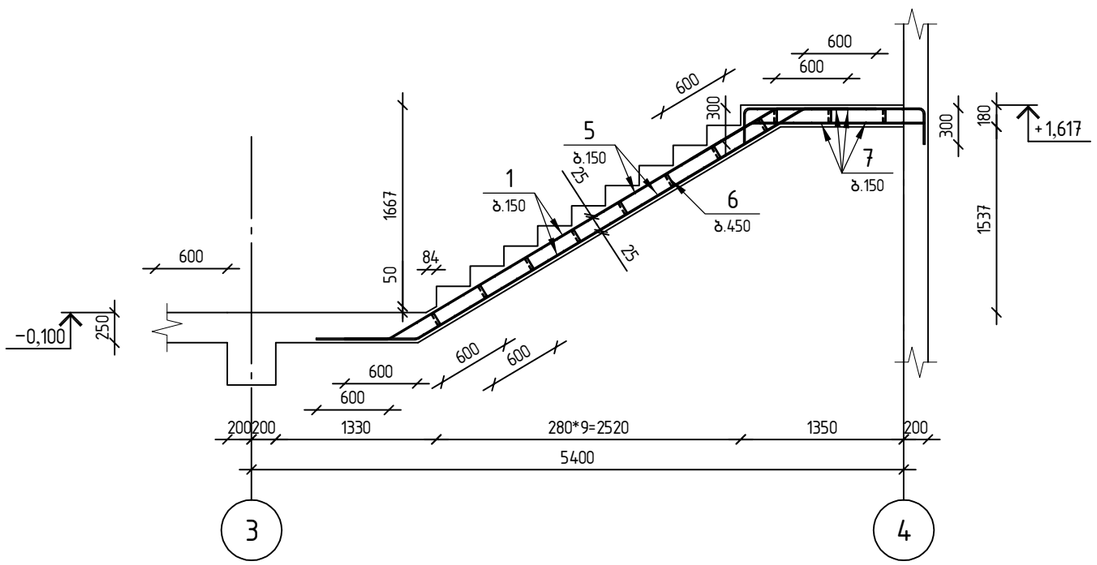


## კიბის მარში კმ-2

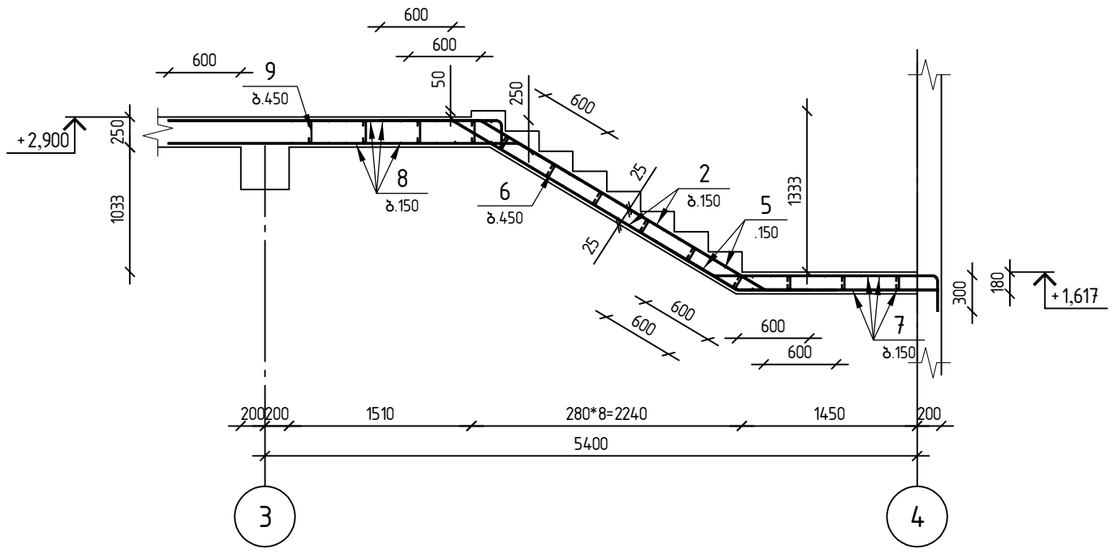


## კიბის მარში კმ-3

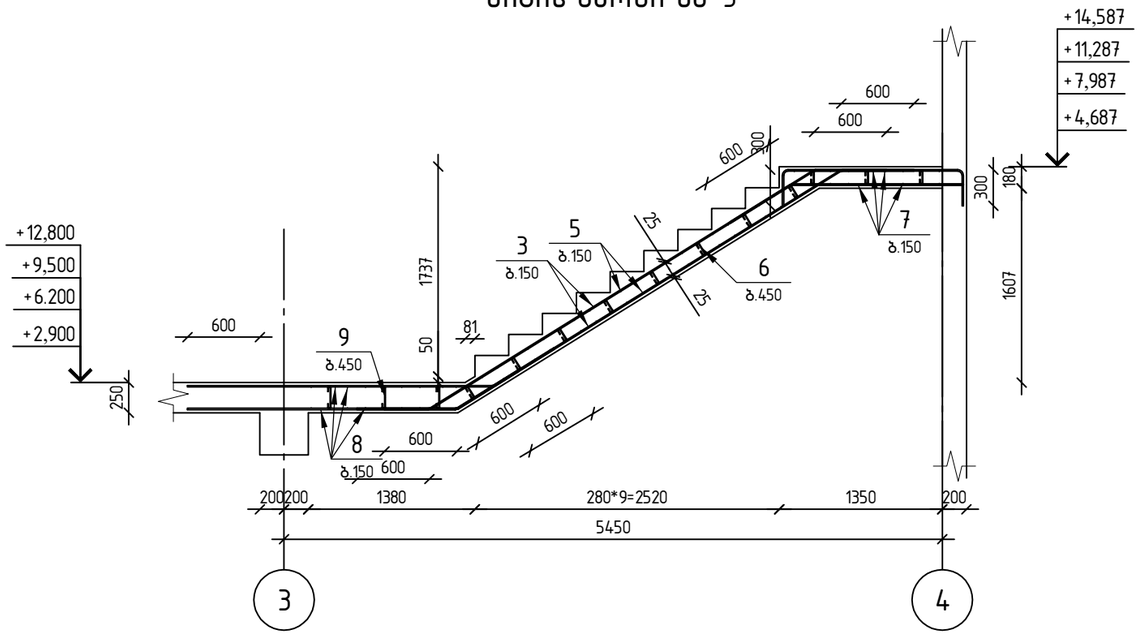


| კონსტრუქტორი | |
|---|---|
| შ.პ.ს "ჯი ენ პი" | ალ. ყაზბეგის გამზ. 14ბ<br>0160, თბილისი, საქართველო<br>+995599150088<br>Gipn.ltd@gmail.com |
| პროექტის დასახელება: | მრავალბინიანი საცხოვრებელი სახლი (ბლოკი "F'')<br>ქ.თბილისი, "დელისი-3"-ის საცხოვრებელი რაიონის მიმდებარედ, ინტენსიფიკაციის გზის სამხრეთით, (ნაკვეთი №1/124) |
| ნახაზის დასახელება: | მონოლითური კიბე კბ-2-ის<br>მარში კმ-1; კმ-2; კმ-3 |

| დახაზა | შეამოწმა | დაადასტურა |
|---|---|---|
| ნ.მ. | ო.ქ. | ო.ქ. |

| მასშტაბი | ფორმატი | თარიღი | რევიზია | ნახ.№ |
|---|---|---|---|---|
| 1:50 | A3 | | | 709 |

# მონოლითური კიბე კბ-2

## კიბის მარში კმ-4

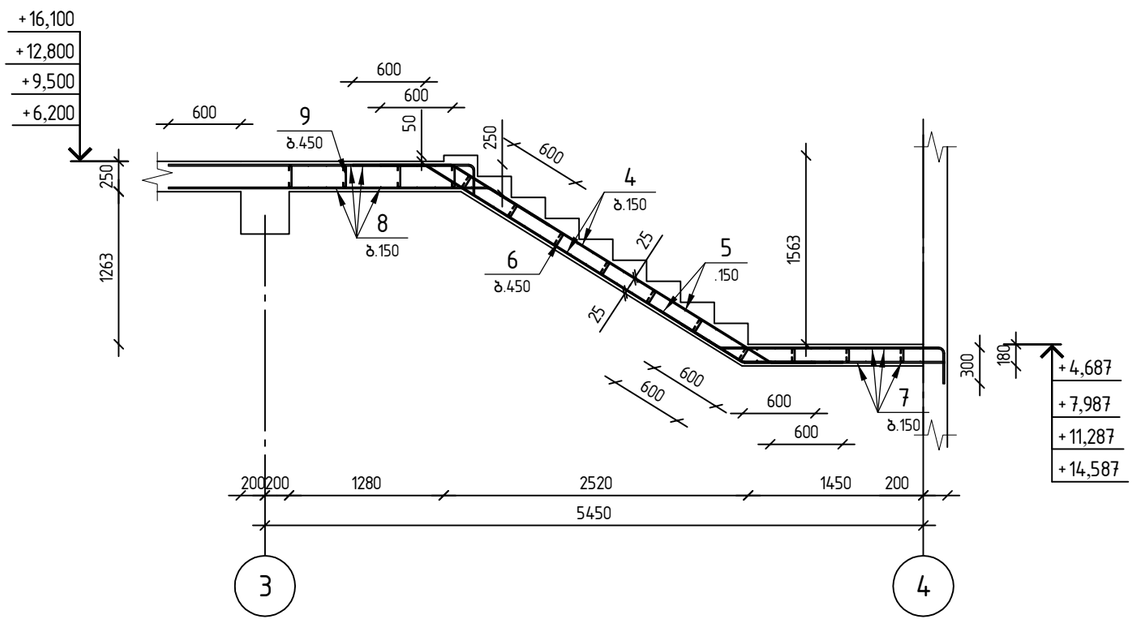


| პოზ. | აღნიშვნა | დასახელება | რაოდ. | შენიშვნა |
|---|---|---|---|---|
| | | მონოლითური კიბე კბ-2 | | |
| | | დეტალები | | |
| 1 | | ф 12 B500B ℓ= 4920 | 20 | 4.37 კბ |
| 2 | | ф 12 B500B ℓ= 3930 | 20 | 3.49 კბ |
| 3 | | ф 12 B500B ℓ= 4950 | 79 | 4.39 კბ |
| 4 | | ф 12 B500B ℓ= 4290 | 79 | 3.81 კბ |
| 5 | | ф 10 B500B ℓ= 1590 | 398 | 0.98 კბ |
| 6 | | ф 8 B500B ℓ= 190 | 146 | 0.07 კბ |
| 7 | დაიჭრას ადგილზე | ф 12 B500B ℓ= 548800 | 1 | 487.23 კბ |
| 8 | დაიჭრას ადგილზე | ф 12 B500B ℓ= 534800 | 1 | 474.80 კბ |
| 9 | | ф 8 B500B ℓ= 260 | 94 | 0.10 კბ |
| | | მასალები | | |
| | | B30 კლასის ბეტონი | | 19.08 მ³ |

### პოზ. 5

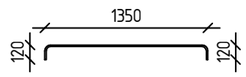


### პოზ. 6

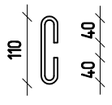


### პოზ. 9

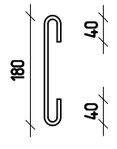



კონსტრუქტორი

შ.პ.ს "ჯი ენ პი"

ალ. ყაზბეგის გამზ. 14ბ
0160, თბილისი, საქართველო
+995599150088
Gipn.ltd@gmail.com


პროექტის დასახელება:

მრავალბინიანი საცხოვრებელი სახლი (ბლოკი "F")
ქ.თბილისი, "დელისი-3"-ის საცხოვრებელი რაიონის მიმდებარედ, ინტენსიფიკაციის გზის სამხრეთით, (ნაკვეთი №1/124)

ნახაზის დასახელება:

მონოლითური კიბე კბ-2-ის სპეციფიკაცია და მარში კმ-4

| დახაზა | შეამოწმა | დაადასტურა |
|---|---|---|
| ნ.მ. | ო.ქ. | ო.ქ. |

| მასშტაბი | ფორმატი | თარიღი | რევიზია | ნახ.№ |
|---|---|---|---|---|
| 1:50 | A3 | | | 7/10 |

ETABS®

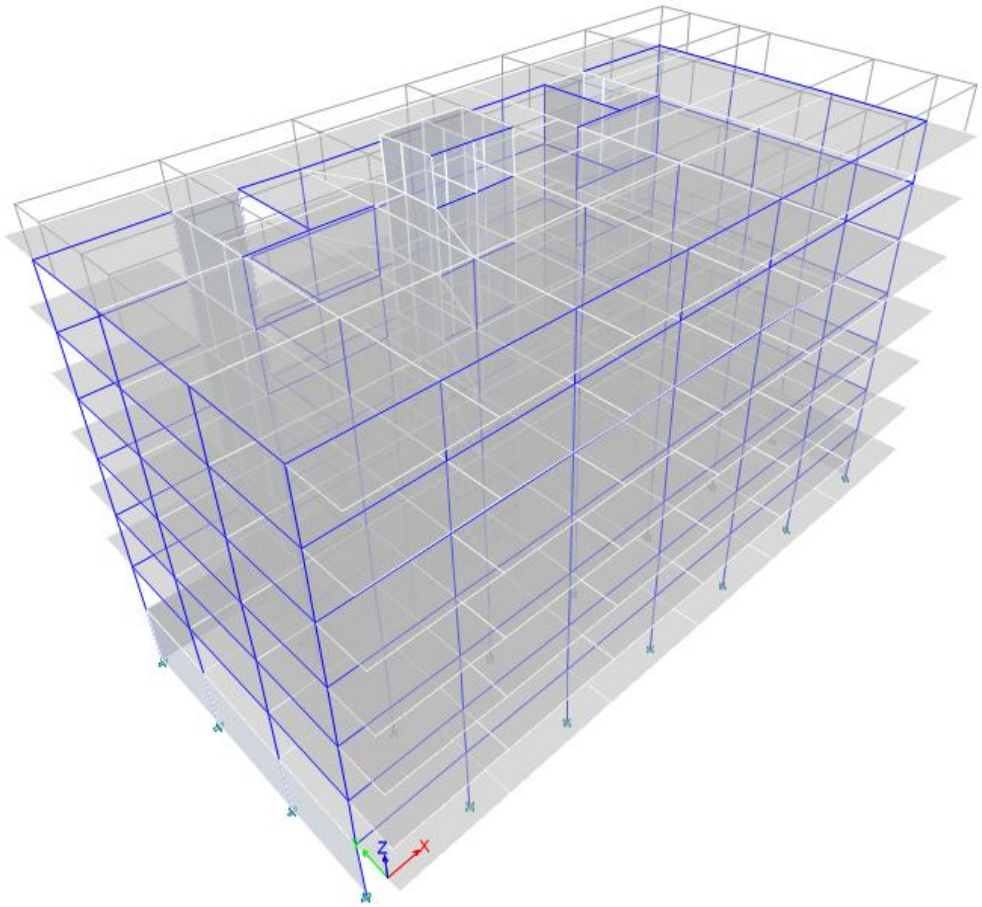

შეასრულა: შპს “ჯი ენ პი”

მთავარი კონსტრუქტორი : ო.ქვრივიშვილი

# Multi-apartment Residential Building Block “F”

Model File: lisi-2, Revision 0
25.07.2025

# Table of Contents


1. Structure Data 4
   - 1.1 Story Data 4
   - 1.2 Grid Data 4
   - 1.3 Point Coordinates 4
   - 1.4 Line Connectivity 6
   - 1.5 Area Connectivity 7
   - 1.6 Mass 14
2. Properties 16
   - 2.1 Materials 16
   - 2.2 Frame Sections 16
   - 2.3 Shell Sections 16
   - 2.4 Reinforcement Sizes 16
3. Loads 17
   - 3.1 Load Patterns 17
   - 3.2 Functions 17
     - 3.2.1 Response Spectrum Functions 17
   - 3.3 Load Cases 18
   - 3.4 Load Combinations 18
4. Analysis Results 20
   - 4.1 Structure Results 20
   - 4.2 Story Results 21
   - 4.3 Modal Results 25
5. Design Data 44
   - 5.1 Concrete Frame Design 44

# List of Tables


Table 1.1 Story Definitions 4
Table 1.2 Grid Definitions - General 4
Table 1.3 Grid Definitions - Grid Lines 4
Table 1.4 Point Bays 4
Table 1.5 Column Bays 6
Table 1.6 Beam Bays 7
Table 1.7 Floor Bays 8
Table 1.8 Wall Bays 12
Table 1.9 Mass Source Definition 14
Table 1.10 Mass Summary by Story 14
Table 1.11 Mass Summary by Group 15
Table 2.1 Material Properties - General 16
Table 2.2 Frame Section Property Definitions - Summary 16
Table 2.3 Area Section Property Definitions - Summary 16
Table 2.4 Reinforcing Bar Sizes 16
Table 3.1 Load Pattern Definitions 17
Table 3.2 Functions - Response Spectrum - Eurocode8-2004 17
Table 3.3 Load Case Definitions - Summary 18
Table 3.4 Load Combination Definitions 18
Table 4.1 Base Reactions 20
Table 4.2 Story Drifts 21
Table 4.3 Story Max Over Avg Drifts 32
Table 4.4 Story Forces 43
Table 4.5 Modal Periods And Frequencies 55
Table 4.6 Modal Participating Mass Ratios 55
Table 4.7 Modal Load Participation Ratios 57
Table 4.8 Modal Direction Factors 57
Table 5.1 Concrete Frame Design Preferences - Eurocode 2-2004 58

# 1 Structure Data

This chapter provides model geometry information, including items such as story levels, point coordinates, and element connectivity.

## 1.1 Story Data

**Table 1.1 - Story Definitions**

| Tower | Name | Height cm | Master Story | Similar To | Splice Story | Color |
|---|---|---|---|---|---|---|
| T1 | +21.70 | 230 | No | None | No | Red |
| T1 | +19.4 | 330 | No | None | No | Yellow |
| T1 | +16.10 | 330 | No | None | No | Blue |
| T1 | +12.80 | 330 | No | None | No | Cyan |
| T1 | +9.50 | 330 | No | None | No | Magenta |
| T1 | +6.20 | 330 | No | None | No | Gray8Dark |
| T1 | +2.90 | 300 | No | None | No | Green |
| T1 | -0.10 | 380 | No | None | No | Red |

## 1.2 Grid Data

**Table 1.2 - Grid Definitions - General**

| Tower | Name | Type | Ux m | Uy m | Rz deg | Story Range | Bubble Size m | Color |
|---|---|---|---|---|---|---|---|---|
| T1 | G1 | Cartesian | 0 | 0 | 0 | Default | 1,25 | Gray6 |

**Table 1.3 - Grid Definitions - Grid Lines**

| Name | Grid Line Type | ID | Ordinate m | Bubble Location | Visible |
|---|---|---|---|---|---|
| G1 | X (Cartesian) | A | 0 | End | Yes |
| G1 | X (Cartesian) | B | 5,8 | End | Yes |
| G1 | X (Cartesian) | C | 12,1 | End | Yes |
| G1 | X (Cartesian) | D | 18,4 | End | Yes |
| G1 | X (Cartesian) | E | 24,7 | End | Yes |
| G1 | X (Cartesian) | F | 31 | End | Yes |
| G1 | X (Cartesian) | I | 37,6 | End | Yes |
| G1 | Y (Cartesian) | 1 | 0 | Start | Yes |
| G1 | Y (Cartesian) | 2 | 2 | Start | Yes |
| G1 | Y (Cartesian) | 8 | 5,45 | Start | Yes |
| G1 | Y (Cartesian) | 3 | 7,45 | Start | Yes |
| G1 | Y (Cartesian) | 7 | 11,75 | Start | Yes |
| G1 | Y (Cartesian) | 4 | 13,75 | Start | Yes |
| G1 | Y (Cartesian) | 6 | 17,2 | Start | Yes |
| G1 | Y (Cartesian) | 5 | 19,2 | Start | Yes |

## 1.3 Point Coordinates

**Table 1.4 - Point Bays**

| Label | Is Auto Point | X m | Y m | DZBelow m |
|---|---|---|---|---|
| 1 | No | 0 | 2 | 0 |
| 2 | No | 24,7 | 2 | 0 |
| 3 | No | 31 | 2 | 0 |
| 4 | No | 27,85 | 13,75 | 0 |
| 5 | No | 24,7 | 21,9 | 0 |
| 6 | No | 8,95 | 19,2 | 0 |
| 7 | No | 8,95 | 13,75 | 0 |
| 8 | No | 8,95 | 15,2 | 0 |
| 9 | No | 8,95 | 15,2332 | 0 |
| 10 | No | 24,7 | 20,7 | 0 |

| Label | Is Auto Point | X m | Y m | DZBelow m |
|---|---|---|---|---|
| 11 | No | 12,1 | 19,2 | 0 |
| 12 | No | 18,4 | 20,7 | 0 |
| 13 | No | 12,1 | 2 | 0 |
| 14 | No | 12,1 | 13,75 | 0 |
| 15 | No | 18,4 | 21,9 | 0 |
| 16 | No | 5,8 | 20,7 | 0 |
| 17 | No | 0 | 20,7 | 0 |
| 19 | No | 27,85 | 15,2 | 0 |
| 20 | No | 31 | 17,2 | 0 |
| 21 | No | 12,1 | 7,45 | 0 |
| 22 | No | 0 | 19,2 | 0 |
| 23 | No | 0 | 13,75 | 0 |
| 24 | No | 0 | 7,45 | 0 |
| 25 | No | 12,1 | 15,2 | 0 |
| 26 | No | 31 | -0,7 | 0 |
| 27 | No | 31 | 11,75 | 0 |
| 28 | No | 31 | 7,45 | 0 |
| 30 | No | 12,1 | -0,7 | 0 |
| 31 | No | 12,1 | 20,7 | 0 |
| 32 | No | 12,1 | 21,9 | 0 |
| 34 | No | 27,85 | 20,7 | 0 |
| 35 | No | 12,1 | 15,2332 | 0 |
| 37 | No | 5,8 | 21,9 | 0 |
| 38 | No | 0 | 0,7 | 0 |
| 39 | No | 5,8 | 0,7 | 0 |
| 40 | No | 12,1 | 0,7 | 0 |
| 41 | No | 0 | 21,9 | 0 |
| 42 | No | 18,4 | 0,7 | 0 |
| 43 | No | 24,7 | 0,7 | 0 |
| 44 | No | 37,6 | 0,7 | 0 |
| 45 | No | 8,95 | 21,9 | 0 |
| 46 | No | 31 | 0,7 | 0 |
| 52 | No | 18,4 | 11,75 | 0 |
| 53 | No | 16,1 | 15,13 | 0 |
| 54 | No | 37,6 | 2 | 0 |
| 55 | No | 13,8 | 15,13 | 0 |
| 56 | No | 37,6 | -0,7 | 0 |
| 57 | No | 18,4 | 15,13 | 0 |
| 58 | No | 37,6 | 7,45 | 0 |
| 59 | No | 37,6 | 11,75 | 0 |
| 60 | No | 37,6 | 17,2 | 0 |
| 63 | No | 16,1 | 13,75 | 0 |
| 64 | No | 16,1 | 11,75 | 0 |
| 65 | No | 13,8 | 13,75 | 0 |
| 67 | No | 13,8 | 11,75 | 0 |
| 68 | No | 31 | 21,9 | 0 |
| 69 | No | 18,4 | 13,75 | 0 |
| 73 | No | 37,6 | 13,75 | 0 |
| 74 | No | 27,85 | 21,9 | 0 |
| 76 | No | 37,6 | 21,9 | 0 |
| 77 | No | 37,6 | 19,2 | 0 |
| 78 | No | 18,4 | 19,2 | 0 |
| 79 | No | 18,4 | 2 | 0 |
| 82 | No | 18,4 | 7,45 | 0 |
| 83 | No | 18,4 | -0,7 | 0 |
| 87 | No | 5,8 | -0,7 | 0 |
| 88 | No | 5,8 | 2 | 0 |
| 89 | No | 5,8 | 7,45 | 0 |
| 94 | No | 0 | -0,7 | 0 |
| 96 | No | 24,7 | 19,2 | 0 |

| Label | Is Auto Point | X m | Y m | DZBelow m |
|---|---|---|---|---|
| 97 | No | 24,7 | 7,45 | 0 |
| 101 | No | 31 | 15,2 | 0 |
| 102 | No | 31 | 13,75 | 0 |
| 103 | No | 31 | 17,75 | 0 |
| 104 | No | 31 | 19,2 | 0 |
| 105 | No | 27,85 | 19,2 | 0 |
| 107 | No | 24,7 | -0,7 | 0 |
| 108 | No | 24,7 | 11,75 | 0 |
| 113 | No | 24,7 | 15,13 | 0 |
| 115 | No | 24,7 | 13,75 | 0 |
| 118 | No | 5,8 | 13,75 | 0 |
| 176 | No | 5,8 | 19,2 | 0 |
| 317 | No | 5,8 | 17,75 | 0 |
| 318 | No | 5,8 | 15,2 | 0 |

### 1.4 Line Connectivity

**Table 1.5 - Column Bays**

| Label | PointBayI | PointBayJ | IEndStory |
|---|---|---|---|
| C1 | 1 | 1 | Below |
| C2 | 6 | 6 | Below |
| C3 | 97 | 97 | Below |
| C4 | 13 | 13 | Below |
| C5 | 11 | 11 | Below |
| C6 | 14 | 14 | Below |
| C7 | 21 | 21 | Below |
| C8 | 115 | 115 | Below |
| C9 | 28 | 28 | Below |
| C10 | 58 | 58 | Below |
| C11 | 96 | 96 | Below |
| C12 | 2 | 2 | Below |
| C13 | 102 | 102 | Below |
| C14 | 79 | 79 | Below |
| C15 | 22 | 22 | Below |
| C16 | 23 | 23 | Below |
| C17 | 24 | 24 | Below |
| C18 | 3 | 3 | Below |
| C19 | 78 | 78 | Below |
| C20 | 82 | 82 | Below |
| C21 | 77 | 77 | Below |
| C22 | 69 | 69 | Below |
| C23 | 104 | 104 | Below |
| C24 | 73 | 73 | Below |
| C25 | 54 | 54 | Below |
| C29 | 105 | 105 | Below |
| C42 | 176 | 176 | Below |
| C43 | 118 | 118 | Below |
| C44 | 89 | 89 | Below |
| C45 | 88 | 88 | Below |

**Table 1.6 - Beam Bays**

| Label | PointBayI | PointBayJ |
|---|---|---|
| B1 | 118 | 7 |
| B2 | 4 | 105 |
| B3 | 79 | 2 |
| B4 | 7 | 6 |
| B5 | 88 | 13 |
| B6 | 7 | 14 |
| B7 | 2 | 3 |

| Label | PointBayI | PointBayJ |
|---|---|---|
| B8 | 67 | 64 |
| B9 | 64 | 52 |
| B10 | 13 | 79 |
| B11 | 3 | 54 |
| B12 | 4 | 102 |
| B13 | 1 | 24 |
| B14 | 115 | 4 |
| B15 | 24 | 23 |
| B16 | 23 | 22 |
| B17 | 22 | 176 |
| B18 | 6 | 11 |
| B19 | 11 | 78 |
| B20 | 78 | 96 |
| B21 | 96 | 105 |
| B22 | 104 | 77 |
| B23 | 54 | 58 |
| B24 | 58 | 73 |
| B25 | 73 | 77 |
| B57 | 1 | 88 |

### 1.5 Area Connectivity

**Table 1.7 - Floor Bays**

| Label | NumPoints | PointNumber | PointBay |
|---|---|---|---|
| F1 | 4 | 1 | 20 |
| F1 | | 2 | 60 |
| F1 | | 3 | 77 |
| F1 | | 4 | 104 |
| F2 | 4 | 1 | 4 |
| F2 | | 2 | 102 |
| F2 | | 3 | 101 |
| F2 | | 4 | 19 |
| F3 | 4 | 1 | 22 |
| F3 | | 2 | 176 |
| F3 | | 3 | 37 |
| F3 | | 4 | 41 |
| F4 | 4 | 1 | 97 |
| F4 | | 2 | 82 |
| F4 | | 3 | 79 |
| F4 | | 4 | 2 |
| F5 | 4 | 1 | 8 |
| F5 | | 2 | 318 |
| F5 | | 3 | 118 |
| F5 | | 4 | 7 |
| F6 | 4 | 1 | 2 |
| F6 | | 2 | 79 |
| F6 | | 3 | 83 |
| F6 | | 4 | 107 |
| F7 | 4 | 1 | 87 |
| F7 | | 2 | 30 |
| F7 | | 3 | 13 |
| F7 | | 4 | 88 |
| F8 | 4 | 1 | 7 |
| F8 | | 2 | 14 |
| F8 | | 3 | 25 |
| F8 | | 4 | 8 |
| F9 | 4 | 1 | 14 |
| F9 | | 2 | 118 |
| F9 | | 3 | 89 |
| F9 | | 4 | 21 |

| Label | NumPoints | PointNumber | PointBay |
|---|---|---|---|
| F10 | 4 | 1 | 21 |
| F10 | | 2 | 89 |
| F10 | | 3 | 88 |
| F10 | | 4 | 13 |
| F11 | 4 | 1 | 94 |
| F11 | | 2 | 87 |
| F11 | | 3 | 88 |
| F11 | | 4 | 1 |
| F12 | 4 | 1 | 28 |
| F12 | | 2 | 97 |
| F12 | | 3 | 2 |
| F12 | | 4 | 3 |
| F13 | 4 | 1 | 3 |
| F13 | | 2 | 2 |
| F13 | | 3 | 107 |
| F13 | | 4 | 26 |
| F14 | 4 | 1 | 58 |
| F14 | | 2 | 28 |
| F14 | | 3 | 3 |
| F14 | | 4 | 54 |
| F15 | 4 | 1 | 54 |
| F15 | | 2 | 3 |
| F15 | | 3 | 26 |
| F15 | | 4 | 56 |
| F16 | 4 | 1 | 59 |
| F16 | | 2 | 27 |
| F16 | | 3 | 28 |
| F16 | | 4 | 58 |
| F17 | 4 | 1 | 58 |
| F17 | | 2 | 28 |
| F17 | | 3 | 26 |
| F17 | | 4 | 56 |
| F18 | 4 | 1 | 60 |
| F18 | | 2 | 20 |
| F18 | | 3 | 27 |
| F18 | | 4 | 59 |
| F20 | 4 | 1 | 108 |
| F20 | | 2 | 52 |
| F20 | | 3 | 82 |
| F20 | | 4 | 97 |
| F21 | 4 | 1 | 11 |
| F21 | | 2 | 6 |
| F21 | | 3 | 8 |
| F21 | | 4 | 35 |
| F22 | 4 | 1 | 27 |
| F22 | | 2 | 108 |
| F22 | | 3 | 97 |
| F22 | | 4 | 28 |
| F23 | 4 | 1 | 11 |
| F23 | | 2 | 78 |
| F23 | | 3 | 15 |
| F23 | | 4 | 32 |
| F24 | 4 | 1 | 5 |
| F24 | | 2 | 15 |
| F24 | | 3 | 78 |
| F24 | | 4 | 96 |
| F25 | 4 | 1 | 97 |
| F25 | | 2 | 82 |
| F25 | | 3 | 83 |
| F25 | | 4 | 107 |
| F26 | 4 | 1 | 68 |

| Label | NumPoints | PointNumber | PointBay |
|---|---|---|---|
| F26 | | 2 | 5 |
| F26 | | 3 | 96 |
| F26 | | 4 | 104 |
| F27 | 4 | 1 | 76 |
| F27 | | 2 | 68 |
| F27 | | 3 | 104 |
| F27 | | 4 | 77 |
| F28 | 4 | 1 | 28 |
| F28 | | 2 | 97 |
| F28 | | 3 | 107 |
| F28 | | 4 | 26 |
| F29 | 4 | 1 | 118 |
| F29 | | 2 | 23 |
| F29 | | 3 | 24 |
| F29 | | 4 | 89 |
| F30 | 4 | 1 | 96 |
| F30 | | 2 | 78 |
| F30 | | 3 | 57 |
| F30 | | 4 | 113 |
| F31 | 4 | 1 | 113 |
| F31 | | 2 | 57 |
| F31 | | 3 | 52 |
| F31 | | 4 | 108 |
| F32 | 4 | 1 | 105 |
| F32 | | 2 | 96 |
| F32 | | 3 | 115 |
| F32 | | 4 | 4 |
| F33 | 4 | 1 | 89 |
| F33 | | 2 | 24 |
| F33 | | 3 | 1 |
| F33 | | 4 | 88 |
| F34 | 4 | 1 | 108 |
| F34 | | 2 | 27 |
| F34 | | 3 | 102 |
| F34 | | 4 | 115 |
| F35 | 4 | 1 | 176 |
| F35 | | 2 | 6 |
| F35 | | 3 | 45 |
| F35 | | 4 | 37 |
| F36 | 4 | 1 | 176 |
| F36 | | 2 | 22 |
| F36 | | 3 | 23 |
| F36 | | 4 | 118 |
| F37 | 4 | 1 | 6 |
| F37 | | 2 | 11 |
| F37 | | 3 | 32 |
| F37 | | 4 | 45 |
| F38 | 4 | 1 | 30 |
| F38 | | 2 | 83 |
| F38 | | 3 | 79 |
| F38 | | 4 | 13 |
| F39 | 4 | 1 | 82 |
| F39 | | 2 | 21 |
| F39 | | 3 | 13 |
| F39 | | 4 | 79 |
| F40 | 4 | 1 | 78 |
| F40 | | 2 | 11 |
| F40 | | 3 | 55 |
| F40 | | 4 | 57 |
| F41 | 4 | 1 | 52 |
| F41 | | 2 | 67 |

| Label | NumPoints | PointNumber | PointBay |
|---|---|---|---|
| F41 | | 3 | 21 |
| F41 | | 4 | 82 |
| F43 | 4 | 1 | 74 |
| F43 | | 2 | 5 |
| F43 | | 3 | 96 |
| F43 | | 4 | 105 |
| F44 | 4 | 1 | 104 |
| F44 | | 2 | 105 |
| F44 | | 3 | 4 |
| F44 | | 4 | 102 |
| F45 | 4 | 1 | 6 |
| F45 | | 2 | 176 |
| F45 | | 3 | 318 |
| F45 | | 4 | 9 |
| F46 | 4 | 1 | 22 |
| F46 | | 2 | 176 |
| F46 | | 3 | 16 |
| F46 | | 4 | 17 |
| F48 | 4 | 1 | 11 |
| F48 | | 2 | 78 |
| F48 | | 3 | 12 |
| F48 | | 4 | 31 |
| F49 | 4 | 1 | 11 |
| F49 | | 2 | 14 |
| F49 | | 3 | 65 |
| F49 | | 4 | 55 |
| F50 | 4 | 1 | 65 |
| F50 | | 2 | 14 |
| F50 | | 3 | 21 |
| F50 | | 4 | 67 |
| F53 | 4 | 1 | 10 |
| F53 | | 2 | 12 |
| F53 | | 3 | 78 |
| F53 | | 4 | 96 |
| F63 | 4 | 1 | 34 |
| F63 | | 2 | 10 |
| F63 | | 3 | 96 |
| F63 | | 4 | 105 |
| F65 | 4 | 1 | 38 |
| F65 | | 2 | 39 |
| F65 | | 3 | 88 |
| F65 | | 4 | 1 |
| F67 | 4 | 1 | 39 |
| F67 | | 2 | 40 |
| F67 | | 3 | 13 |
| F67 | | 4 | 88 |
| F69 | 4 | 1 | 40 |
| F69 | | 2 | 42 |
| F69 | | 3 | 79 |
| F69 | | 4 | 13 |
| F70 | 4 | 1 | 2 |
| F70 | | 2 | 79 |
| F70 | | 3 | 42 |
| F70 | | 4 | 43 |
| F72 | 4 | 1 | 3 |
| F72 | | 2 | 2 |
| F72 | | 3 | 43 |
| F72 | | 4 | 46 |
| F74 | 4 | 1 | 54 |
| F74 | | 2 | 3 |
| F74 | | 3 | 46 |

| Label | NumPoints | PointNumber | PointBay |
|---|---|---|---|
| F74 | | 4 | 44 |
| F76 | 4 | 1 | 67 |
| F76 | | 2 | 52 |
| F76 | | 3 | 57 |
| F76 | | 4 | 55 |

**Table 1.8 - Wall Bays**

| Label | NumPoints | PointNumber | PointBay | PointStory |
|---|---|---|---|---|
| W1 | 4 | 1 | 96 | Below |
| W1 | | 2 | 105 | Below |
| W1 | | 3 | 105 | Same |
| W1 | | 4 | 96 | Same |
| W2 | 4 | 1 | 1 | Below |
| W2 | | 2 | 24 | Below |
| W2 | | 3 | 24 | Same |
| W2 | | 4 | 1 | Same |
| W3 | 4 | 1 | 24 | Below |
| W3 | | 2 | 23 | Below |
| W3 | | 3 | 23 | Same |
| W3 | | 4 | 24 | Same |
| W4 | 4 | 1 | 6 | Below |
| W4 | | 2 | 176 | Below |
| W4 | | 3 | 176 | Same |
| W4 | | 4 | 6 | Same |
| W5 | 4 | 1 | 104 | Below |
| W5 | | 2 | 77 | Below |
| W5 | | 3 | 77 | Same |
| W5 | | 4 | 104 | Same |
| W7 | 4 | 1 | 23 | Below |
| W7 | | 2 | 22 | Below |
| W7 | | 3 | 22 | Same |
| W7 | | 4 | 23 | Same |
| W8 | 4 | 1 | 78 | Below |
| W8 | | 2 | 96 | Below |
| W8 | | 3 | 96 | Same |
| W8 | | 4 | 78 | Same |
| W10 | 4 | 1 | 11 | Below |
| W10 | | 2 | 78 | Below |
| W10 | | 3 | 78 | Same |
| W10 | | 4 | 11 | Same |
| W11 | 4 | 1 | 6 | Below |
| W11 | | 2 | 11 | Below |
| W11 | | 3 | 11 | Same |
| W11 | | 4 | 6 | Same |
| W12 | 4 | 1 | 54 | Below |
| W12 | | 2 | 58 | Below |
| W12 | | 3 | 58 | Same |
| W12 | | 4 | 54 | Same |
| W13 | 4 | 1 | 53 | Below |
| W13 | | 2 | 55 | Below |
| W13 | | 3 | 55 | Same |
| W13 | | 4 | 53 | Same |
| W14 | 4 | 1 | 57 | Below |
| W14 | | 2 | 53 | Below |
| W14 | | 3 | 53 | Same |
| W14 | | 4 | 57 | Same |
| W15 | 4 | 1 | 58 | Below |
| W15 | | 2 | 73 | Below |
| W15 | | 3 | 73 | Same |
| W15 | | 4 | 58 | Same |

| Label | NumPoints | PointNumber | PointBay | PointStory |
|---|---|---|---|---|
| W16 | 4 | 1 | 63 | Below |
| W16 | | 2 | 64 | Below |
| W16 | | 3 | 64 | Same |
| W16 | | 4 | 63 | Same |
| W17 | 4 | 1 | 53 | Below |
| W17 | | 2 | 63 | Below |
| W17 | | 3 | 63 | Same |
| W17 | | 4 | 53 | Same |
| W18 | 4 | 1 | 65 | Below |
| W18 | | 2 | 67 | Below |
| W18 | | 3 | 67 | Same |
| W18 | | 4 | 65 | Same |
| W19 | 4 | 1 | 55 | Below |
| W19 | | 2 | 65 | Below |
| W19 | | 3 | 65 | Same |
| W19 | | 4 | 55 | Same |
| W20 | 4 | 1 | 69 | Below |
| W20 | | 2 | 52 | Below |
| W20 | | 3 | 52 | Same |
| W20 | | 4 | 69 | Same |
| W21 | 4 | 1 | 57 | Below |
| W21 | | 2 | 69 | Below |
| W21 | | 3 | 69 | Same |
| W21 | | 4 | 57 | Same |
| W22 | 4 | 1 | 73 | Below |
| W22 | | 2 | 77 | Below |
| W22 | | 3 | 77 | Same |
| W22 | | 4 | 73 | Same |
| W23 | 4 | 1 | 101 | Below |
| W23 | | 2 | 102 | Below |
| W23 | | 3 | 102 | Same |
| W23 | | 4 | 101 | Same |
| W24 | 4 | 1 | 22 | Below |
| W24 | | 2 | 176 | Below |
| W24 | | 3 | 176 | Same |
| W24 | | 4 | 22 | Same |
| W26 | 4 | 1 | 103 | Below |
| W26 | | 2 | 101 | Below |
| W26 | | 3 | 101 | Same |
| W26 | | 4 | 103 | Same |
| W27 | 4 | 1 | 104 | Below |
| W27 | | 2 | 103 | Below |
| W27 | | 3 | 103 | Same |
| W27 | | 4 | 104 | Same |
| W28 | 4 | 1 | 104 | Below |
| W28 | | 2 | 105 | Below |
| W28 | | 3 | 105 | Same |
| W28 | | 4 | 104 | Same |
| W84 | 4 | 1 | 317 | Below |
| W84 | | 2 | 318 | Below |
| W84 | | 3 | 318 | Same |
| W84 | | 4 | 317 | Same |
| W85 | 4 | 1 | 318 | Below |
| W85 | | 2 | 118 | Below |
| W85 | | 3 | 118 | Same |
| W85 | | 4 | 318 | Same |
| W86 | 4 | 1 | 176 | Below |
| W86 | | 2 | 317 | Below |
| W86 | | 3 | 317 | Same |
| W86 | | 4 | 176 | Same |

### 1.6 Mass

**Table 1.9 - Mass Source Definition**

| Name | Is Default | Include Lateral Mass? | Include Vertical Mass? | Lump Mass? | Source Self Mass? | Source Added Mass? | Source Load Patterns? | Move Mass Centroid? | Load Pattern | Multiplier |
|---|---|---|---|---|---|---|---|---|---|---|
| MsSrc1 | Yes | Yes | No | Yes | No | No | Yes | No | Dead | 1 |
| MsSrc1 | | | | | | | | | Live | 0,24 |

**Table 1.10 - Mass Summary by Story**

| Story | UX tonf-s2/m | UY tonf-s2/m | UZ tonf-s2/m |
|---|---|---|---|
| Story9 | 3,97764 | 3,97764 | 0 |
| Story8 | 86,66739 | 86,66739 | 0 |
| Story7 | 104,02755 | 104,02755 | 0 |
| Story6 | 102,33008 | 102,33008 | 0 |
| Story5 | 102,33008 | 102,33008 | 0 |
| Story4 | 102,33008 | 102,33008 | 0 |
| Story3 | 102,33008 | 102,33008 | 0 |
| Story2 | 101,53398 | 101,53398 | 0 |
| Story1 | 104,37497 | 104,37497 | 0 |
| Base | 23,52092 | 23,52092 | 0 |

**Table 1.11 - Mass Summary by Group**

| Group | Self Mass tonf-s2/m | Self Weight tonf | Mass X tonf-s2/m | Mass Y tonf-s2/m | Mass Z tonf-s2/m |
|---|---|---|---|---|---|
| All | 0 | 5866,39777 | 833,42275 | 833,42275 | 0 |

# 2 Properties

This chapter provides property information for materials, frame sections, shell sections, and links.

## 2.1 Materials

**Table 2.1 - Material Properties - General**

| Material | Type | SymType | Grade | Color | Notes |
|---|---|---|---|---|---|
| A500 | Rebar | Uniaxial | A500 | Yellow | |
| B30 | Concrete | Isotropic | B30 | Gray8Dark | |
| B500 | Rebar | Uniaxial | B500 | Blue | |
| K1400(15mm) | Tendon | Uniaxial | K1400(15mm) | Gray8Dark | |

## 2.2 Frame Sections

**Table 2.2 - Frame Section Property Definitions - Summary (Part 1 of 3)**

| Name | Material | Shape | Color | Area m2 | J m4 | I33 m4 | I22 m4 | As2 m2 | As3 m2 | S33Pos m3 |
|---|---|---|---|---|---|---|---|---|---|---|
| B40-60 | B30 | Concrete Rectangular | 16722731 | 0,24 | 0,007512 | 0,0072 | 0,0032 | 0,2 | 0,2 | 0,024 |
| C40-80 | B30 | Concrete Rectangular | Red | 0,32 | 0,011719 | 0,017067 | 0,004267 | 0,2667 | 0,2667 | 0,042667 |

**Table 2.2 - Frame Section Property Definitions - Summary (Part 2 of 3)**

| Name | S33Neg m3 | S22Pos m3 | S22Neg m3 | Z33 m3 | Z22 m3 | R33 m | R22 m | CG Offset 3 m | CG Offset 2 m | PNA Offset 3 m | PNA Offset 2 m |
|---|---|---|---|---|---|---|---|---|---|---|---|
| B40-60 | 0,024 | 0,016 | 0,016 | 0,036 | 0,024 | 0,17321 | 0,11547 | 0 | 0 | 0 | 0 |
| C40-80 | 0,042667 | 0,021333 | 0,021333 | 0,064 | 0,032 | 0,23094 | 0,11547 | 0 | 0 | 0 | 0 |

**Table 2.2 - Frame Section Property Definitions - Summary (Part 3 of 3)**

| Name | Area Modifier | As2 Modifier | As3 Modifier | J Modifier | I33 Modifier | I22 Modifier | Mass Modifier | Weight Modifier |
|---|---|---|---|---|---|---|---|---|
| B40-60 | 1 | 1 | 1 | 0,01 | 0,5 | 0,5 | 1 | 1 |
| C40-80 | 1 | 1 | 1 | 0,01 | 0,5 | 0,5 | 1 | 1 |

## 2.3 Shell Sections

**Table 2.3 - Area Section Property Definitions - Summary**

| Name | Type | Element Type | Material | Total Thickness m | Deck Material | Deck Depth m |
|---|---|---|---|---|---|---|
| S20 | Slab | Shell-Thin | B30 | 0,2 | | |
| S25 | Slab | Shell-Thin | B30 | 0,25 | | |
| W25 | Wall | Shell-Thin | B30 | 0,25 | | |
| W40 | Wall | Shell-Thin | B30 | 0,4 | | |

## 2.4 Reinforcement Sizes

**Table 2.4 - Reinforcing Bar Sizes**

| Name | Diameter m | Area m2 |
|---|---|---|
| 10 | 0,01 | 0,0001 |
| 18 | 0,018 | 0,0003 |
| 20 | 0,02 | 0,0003 |

# 3 Loads

This chapter provides loading information as applied to the model.

## 3.1 Load Patterns

**Table 3.1 - Load Pattern Definitions**

| Name | Is Auto Load | Type | Self Weight Multiplier | Auto Load |
|---|---|---|---|---|
| ~LLRF | Yes | Other | 0 | |
| Dead | No | Dead | 1 | |
| E-x | No | Seismic | 0 | None |
| E-y | No | Seismic | 0 | None |
| Live | No | Live | 0 | |

## 3.2 Functions

### 3.2.1 Response Spectrum Functions

**Table 3.2 - Functions - Response Spectrum - Eurocode8-2004 (Part 1 of 2)**

| Name | Period sec | Value | Country | Direction | Ag | Spectrum Type | Ground Type | S | Tb sec | Tc sec | Td sec |
|---|---|---|---|---|---|---|---|---|---|---|---|
| E | 0 | 0,113333 | CEN Default | Horizontal | 0,17 | 1 | A | 1,2 | 0,15 | 0,5 | 2 |
| E | 0,05 | 0,11188 | | | | | | | | | |
| E | 0,1 | 0,110427 | | | | | | | | | |
| E | 0,15 | 0,108974 | | | | | | | | | |
| E | 0,4 | 0,108974 | | | | | | | | | |
| E | 0,667 | 0,065385 | | | | | | | | | |
| E | 0,933 | 0,046703 | | | | | | | | | |
| E | 1,2 | 0,036325 | | | | | | | | | |
| E | 1,467 | 0,034 | | | | | | | | | |
| E | 1,733 | 0,034 | | | | | | | | | |
| E | 2 | 0,034 | | | | | | | | | |
| E | 3,333 | 0,034 | | | | | | | | | |
| E | 4,667 | 0,034 | | | | | | | | | |
| E | 6 | 0,034 | | | | | | | | | |
| E | 7,333 | 0,034 | | | | | | | | | |
| E | 8,667 | 0,034 | | | | | | | | | |
| E | 10 | 0,034 | | | | | | | | | |

**Table 3.2 - Functions - Response Spectrum - Eurocode8-2004 (Part 2 of 2)**

| Name | Beta | q | Damping Ratio |
|---|---|---|---|
| E | 0,2 | 3,9 | 0,05 |
| E | | | |
| E | | | |
| E | | | |
| E | | | |
| E | | | |
| E | | | |
| E | | | |
| E | | | |
| E | | | |
| E | | | |
| E | | | |
| E | | | |
| E | | | |
| E | | | |
| E | | | |
| E | | | |
| E | | | |

### 3.3 Load Cases

**Table 3.3 - Load Case Definitions - Summary**

| Name | Type |
|---|---|
| Dead | Linear Static |
| Live | Linear Static |
| Modal | Modal - Eigen |
| E-x | Response Spectrum |
| E-y | Response Spectrum |

### 3.4 Load Combinations

**Table 3.4 - Load Combination Definitions**

| Name | Type | Is Auto | Load Name | SF | Notes |
|---|---|---|---|---|---|
| DConS1 | Linear Add | Yes | Dead | 1,35 | Dead [Strength] |
| DConS2 | Linear Add | Yes | Dead | 1,35 | Dead + Live [Strength] |
| DConS2 | | | Live | 1,5 | |
| DConS3 | Linear Add | Yes | Dead | 1 | Dead + Live + Response Spectrum [Strength] |
| DConS3 | | | Live | 0,3 | |
| DConS3 | | | E-x | 1 | |
| DConS4 | Linear Add | Yes | Dead | 1 | Dead + Live + Response Spectrum [Strength] |
| DConS4 | | | Live | 0,3 | |
| DConS4 | | | E-y | 1 | |
| DConS5 | Linear Add | Yes | Dead | 1 | Dead + Response Spectrum [Strength] |
| DConS5 | | | E-x | 1 | |
| DConS6 | Linear Add | Yes | Dead | 1 | Dead + Response Spectrum [Strength] |
| DConS6 | | | E-y | 1 | |
| DConS7 | Linear Add | Yes | Dead | 1 | Dead (min) + Response Spectrum [Strength] |
| DConS7 | | | E-x | 1 | |
| DConS8 | Linear Add | Yes | Dead | 1 | Dead (min) + Response Spectrum [Strength] |
| DConS8 | | | E-y | 1 | |
| DSlbS1 | Linear Add | Yes | Dead | 1,35 | Dead [Strength] |
| DSlbS2 | Linear Add | Yes | Dead | 1,35 | Dead + Live [Strength] |
| DSlbS2 | | | Live | 1,5 | |
| DSlbS3 | Linear Add | Yes | Dead | 1 | Dead + Live + Response Spectrum [Strength] |
| DSlbS3 | | | Live | 0,3 | |
| DSlbS3 | | | E-x | 1 | |
| DSlbS4 | Linear Add | Yes | Dead | 1 | Dead + Live + Response Spectrum [Strength] |
| DSlbS4 | | | Live | 0,3 | |
| DSlbS4 | | | E-y | 1 | |
| DSlbS5 | Linear Add | Yes | Dead | 1 | Dead + Response Spectrum [Strength] |
| DSlbS5 | | | E-x | 1 | |
| DSlbS6 | Linear Add | Yes | Dead | 1 | Dead + Response Spectrum [Strength] |
| DSlbS6 | | | E-y | 1 | |
| DSlbS7 | Linear Add | Yes | Dead | 1 | Dead (min) + Response Spectrum [Strength] |
| DSlbS7 | | | E-x | 1 | |
| DSlbS8 | Linear Add | Yes | Dead | 1 | Dead (min) + Response Spectrum [Strength] |
| DSlbS8 | | | E-y | 1 | |

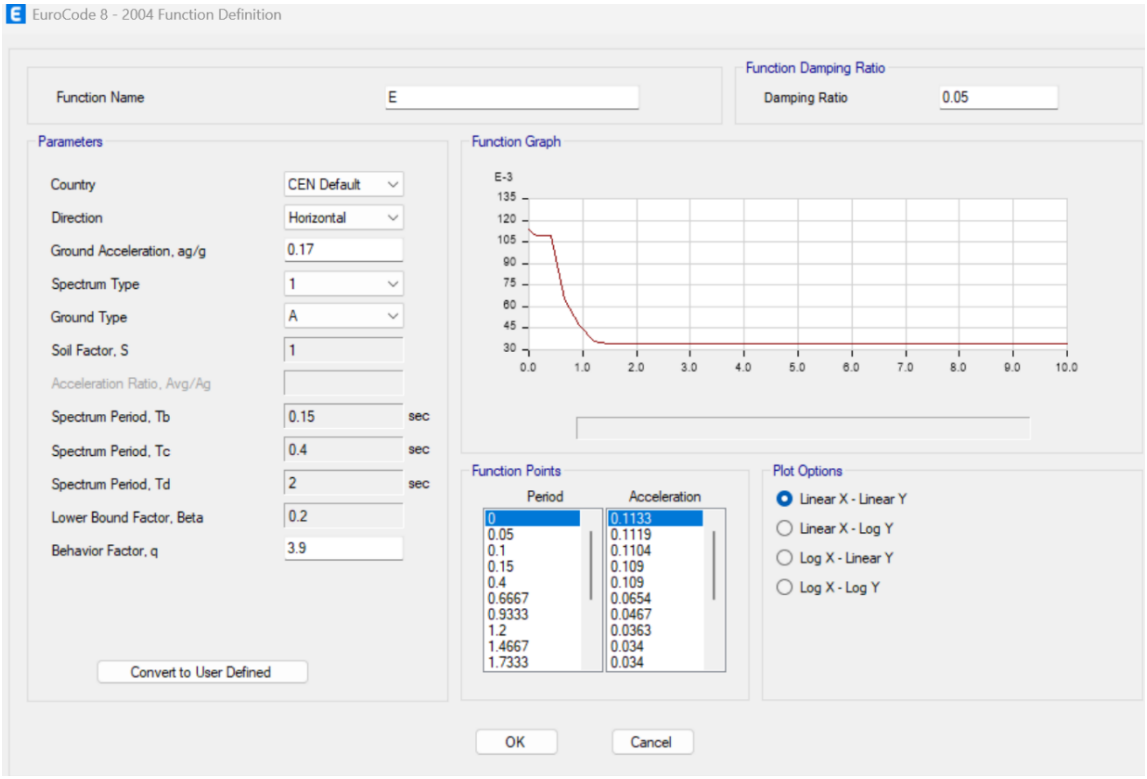
EuroCode 8 - 2004 Function Definition
Function Name
E
Function Damping Ratio
Damping Ratio
0.05
Parameters
Country
CEN Default
Direction
Horizontal
Ground Acceleration, ag/g
0.17
Spectrum Type
1
Ground Type
A
Soil Factor, S
1
Acceleration Ratio, Avg/Ag
Spectrum Period, Tb
0.15
sec
Spectrum Period, Tc
0.4
sec
Spectrum Period, Td
2
sec
Lower Bound Factor, Beta
0.2
Behavior Factor, q
3.9
Convert to User Defined
Function Graph
E-3
135
120
105
90
75
60
45
30
0.0
1.0
2.0
3.0
4.0
5.0
6.0
7.0
8.0
9.0
10.0
Function Points
Period
Acceleration
0
0.05
0.1
0.15
0.4
0.6667
0.9333
1.2
1.4667
1.7333
0.1133
0.1119
0.1104
0.109
0.109
0.0654
0.0467
0.0363
0.034
0.034
Plot Options
Linear X - Linear Y
Linear X - Log Y
Log X - Linear Y
Log X - Log Y
OK
Cancel

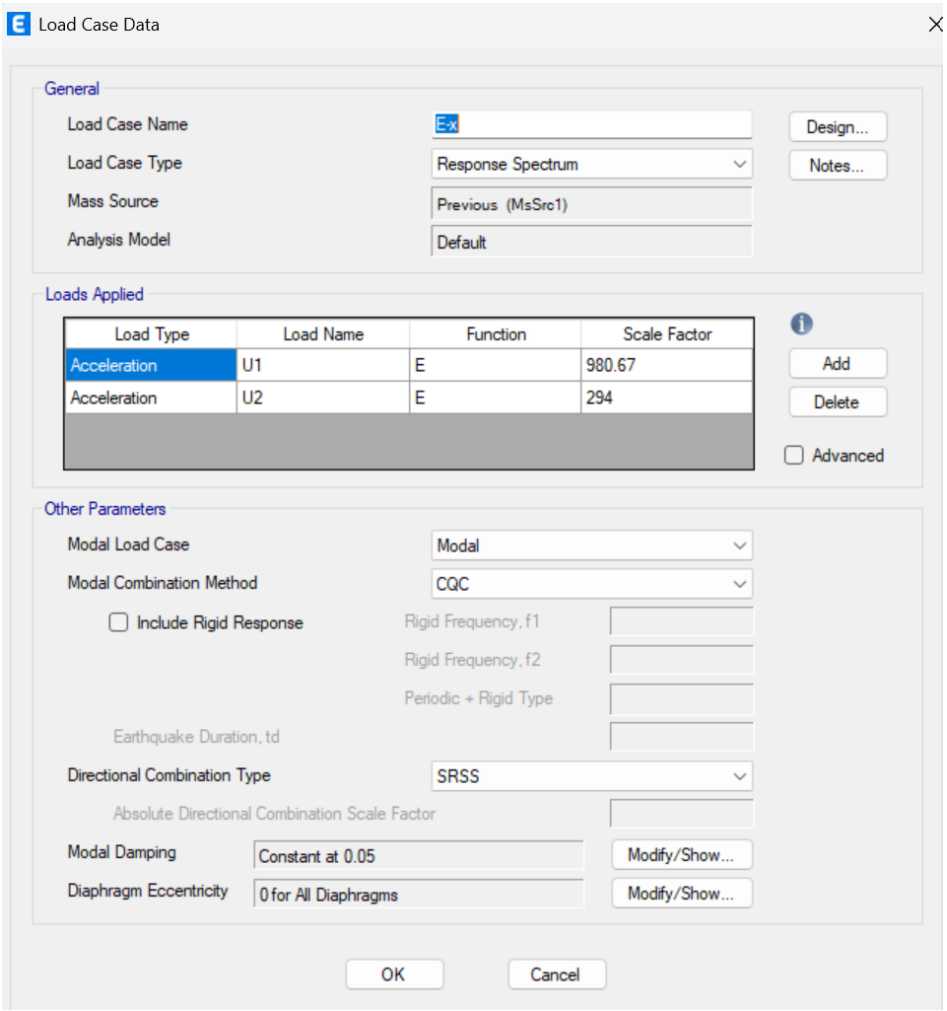
Load Case Data
General
Load Case Name
E-x
Design...
Load Case Type
Response Spectrum
Notes...
Mass Source
Previous (MsSrc1)
Analysis Model
Default
Loads Applied
Load Type
Load Name
Function
Scale Factor
Acceleration
U1
E
980.67
Acceleration
U2
E
294
Add
Delete
Advanced
Other Parameters
Modal Load Case
Modal
Modal Combination Method
CQC
Include Rigid Response
Rigid Frequency, f1
Rigid Frequency, f2
Periodic + Rigid Type
Earthquake Duration, td
Directional Combination Type
SRSS
Absolute Directional Combination Scale Factor
Modal Damping
Constant at 0.05
Modify/Show...
Diaphragm Eccentricity
0 for All Diaphragms
Modify/Show...
OK
Cancel

# 4 Analysis Results

This chapter provides analysis results.

## 4.1 Structure Results

**Table 4.1 - Base Reactions (Part 1 of 2)**

| Output Case | Case Type | Step Type | FX kgf | FY kgf | FZ kgf | MX kgf-cm | MY kgf-cm | MZ kgf-cm |
|---|---|---|---|---|---|---|---|---|
| Dead | LinStatic | | 0 | 0 | 6918240,86 | 7498689621 | -12907456641 | -0,03 |
| Live | LinStatic | | 0 | 0 | 1368503,17 | 1420464969 | -2475490705 | 0,02 |
| E-x | LinRespSpec | Max | 253116,34 | 112125,53 | 8,259E-05 | 183562287,96 | 398019302,79 | 466679839,96 |
| E-y | LinRespSpec | Max | 79980,65 | 364381,62 | 0,0001137 | 597863565,63 | 125764095,71 | 712262219,84 |
| DConS1 | Combination | | 0 | 0 | 9339625,16 | 10123230988 | -17425066465 | -0,04 |
| DConS2 | Combination | | 0 | 0 | 11392379,92 | 12253928442 | -21138302523 | -0,01 |
| DConS3 | Combination | Max | 253116,34 | 112125,53 | 7328791,81 | 8108391400 | -13252084549 | 466679839,94 |
| DConS3 | Combination | Min | -253116,34 | -112125,53 | 7328791,81 | 7741266824 | -14048123155 | -466679840 |
| DConS4 | Combination | Max | 79980,65 | 364381,62 | 7328791,81 | 8522692677 | -13524339756 | 712262219,82 |
| DConS4 | Combination | Min | -79980,65 | -364381,62 | 7328791,81 | 7326965546 | -13775867948 | -712262220 |
| DConS5 | Combination | Max | 253116,34 | 112125,53 | 6918240,86 | 7682251909 | -12509437338 | 466679839,93 |
| DConS5 | Combination | Min | -253116,34 | -112125,53 | 6918240,86 | 7315127333 | -13305475943 | -466679840 |
| DConS6 | Combination | Max | 79980,65 | 364381,62 | 6918240,86 | 8096553186 | -12781692545 | 712262219,81 |
| DConS6 | Combination | Min | -79980,65 | -364381,62 | 6918240,86 | 6900826055 | -13033220736 | -712262220 |
| DConS7 | Combination | Max | 253116,34 | 112125,53 | 6918240,86 | 7682251909 | -12509437338 | 466679839,93 |
| DConS7 | Combination | Min | -253116,34 | -112125,53 | 6918240,86 | 7315127333 | -13305475943 | -466679840 |
| DConS8 | Combination | Max | 79980,65 | 364381,62 | 6918240,86 | 8096553186 | -12781692545 | 712262219,81 |
| DConS8 | Combination | Min | -79980,65 | -364381,62 | 6918240,86 | 6900826055 | -13033220736 | -712262220 |

**Table 4.1 - Base Reactions (Part 2 of 2)**

| X cm | Y cm | Z cm |
|---|---|---|
| 0 | 0 | -390 |
| 0 | 0 | -390 |
| 0 | 0 | -390 |
| 0 | 0 | -390 |
| 0 | 0 | -390 |
| 0 | 0 | -390 |
| 0 | 0 | -390 |
| 0 | 0 | -390 |
| 0 | 0 | -390 |
| 0 | 0 | -390 |
| 0 | 0 | -390 |
| 0 | 0 | -390 |
| 0 | 0 | -390 |
| 0 | 0 | -390 |
| 0 | 0 | -390 |
| 0 | 0 | -390 |
| 0 | 0 | -390 |
| 0 | 0 | -390 |
| 0 | 0 | -390 |

## 4.2 Story Results

**Table 4.2 - Story Drifts**

| Story | Output Case | Case Type | Step Type | Direction | Drift | Label | X cm | Y cm | Z cm |
|---|---|---|---|---|---|---|---|---|---|
| +21.70 | Dead | LinStatic | | Y | 0,000242 | 55 | 1380 | 1513 | 2170 |
| +21.70 | Live | LinStatic | | X | 9E-06 | 67 | 1380 | 1175 | 2170 |
| +21.70 | Live | LinStatic | | Y | 5,1E-05 | 55 | 1380 | 1513 | 2170 |
| +21.70 | E-x | LinRespSpec | Max | X | 0,000431 | 67 | 1380 | 1175 | 2170 |
| +21.70 | E-x | LinRespSpec | Max | Y | 0,000192 | 55 | 1380 | 1513 | 2170 |
| +21.70 | E-y | LinRespSpec | Max | X | 0,000133 | 52 | 1840 | 1175 | 2170 |

| Story | Output Case | Case Type | Step Type | Direction | Drift | Label | X cm | Y cm | Z cm |
|---|---|---|---|---|---|---|---|---|---|
| +21.70 | E-y | LinRespSpec | Max | Y | 0,000534 | 55 | 1380 | 1513 | 2170 |
| +21.70 | DConS1 | Combination | | Y | 0,000327 | 55 | 1380 | 1513 | 2170 |
| +21.70 | DConS2 | Combination | | Y | 0,000403 | 55 | 1380 | 1513 | 2170 |
| +21.70 | DConS3 | Combination | Max | X | 0,000439 | 67 | 1380 | 1175 | 2170 |
| +21.70 | DConS3 | Combination | Max | Y | 8,5E-05 | 57 | 1840 | 1513 | 2170 |
| +21.70 | DConS3 | Combination | Min | X | 0,000423 | 52 | 1840 | 1175 | 2170 |
| +21.70 | DConS3 | Combination | Min | Y | 0,000449 | 55 | 1380 | 1513 | 2170 |
| +21.70 | DConS4 | Combination | Max | X | 0,000141 | 67 | 1380 | 1175 | 2170 |
| +21.70 | DConS4 | Combination | Max | Y | 0,000282 | 64 | 1610 | 1175 | 2170 |
| +21.70 | DConS4 | Combination | Min | X | 0,000126 | 52 | 1840 | 1175 | 2170 |
| +21.70 | DConS4 | Combination | Min | Y | 0,000791 | 55 | 1380 | 1513 | 2170 |
| +21.70 | DConS5 | Combination | Max | X | 0,000436 | 67 | 1380 | 1175 | 2170 |
| +21.70 | DConS5 | Combination | Max | Y | 7E-05 | 57 | 1840 | 1513 | 2170 |
| +21.70 | DConS5 | Combination | Min | X | 0,000426 | 52 | 1840 | 1175 | 2170 |
| +21.70 | DConS5 | Combination | Min | Y | 0,000434 | 55 | 1380 | 1513 | 2170 |
| +21.70 | DConS6 | Combination | Max | X | 0,000138 | 67 | 1380 | 1175 | 2170 |
| +21.70 | DConS6 | Combination | Max | Y | 0,000297 | 64 | 1610 | 1175 | 2170 |
| +21.70 | DConS6 | Combination | Min | X | 0,000128 | 52 | 1840 | 1175 | 2170 |
| +21.70 | DConS6 | Combination | Min | Y | 0,000776 | 55 | 1380 | 1513 | 2170 |
| +21.70 | DConS7 | Combination | Max | X | 0,000436 | 67 | 1380 | 1175 | 2170 |
| +21.70 | DConS7 | Combination | Max | Y | 7E-05 | 57 | 1840 | 1513 | 2170 |
| +21.70 | DConS7 | Combination | Min | X | 0,000426 | 52 | 1840 | 1175 | 2170 |
| +21.70 | DConS7 | Combination | Min | Y | 0,000434 | 55 | 1380 | 1513 | 2170 |
| +21.70 | DConS8 | Combination | Max | X | 0,000138 | 67 | 1380 | 1175 | 2170 |
| +21.70 | DConS8 | Combination | Max | Y | 0,000297 | 64 | 1610 | 1175 | 2170 |
| +21.70 | DConS8 | Combination | Min | X | 0,000128 | 52 | 1840 | 1175 | 2170 |
| +21.70 | DConS8 | Combination | Min | Y | 0,000776 | 55 | 1380 | 1513 | 2170 |
| +19.4 | Dead | LinStatic | | Y | 0,000228 | 102 | 3100 | 1375 | 1940 |
| +19.4 | Live | LinStatic | | X | 9E-06 | 6 | 895 | 1920 | 1940 |
| +19.4 | Live | LinStatic | | Y | 5E-05 | 76 | 3760 | 2190 | 1940 |
| +19.4 | E-x | LinRespSpec | Max | X | 0,000681 | 56 | 3760 | -70 | 1940 |
| +19.4 | E-x | LinRespSpec | Max | Y | 0,000501 | 56 | 3760 | -70 | 1940 |
| +19.4 | E-y | LinRespSpec | Max | X | 0,000213 | 56 | 3760 | -70 | 1940 |
| +19.4 | E-y | LinRespSpec | Max | Y | 0,000536 | 63 | 1610 | 1375 | 1940 |
| +19.4 | DConS1 | Combination | | Y | 0,000308 | 102 | 3100 | 1375 | 1940 |
| +19.4 | DConS2 | Combination | | Y | 0,000383 | 102 | 3100 | 1375 | 1940 |
| +19.4 | DConS3 | Combination | Max | X | 0,000679 | 94 | 0 | -70 | 1940 |
| +19.4 | DConS3 | Combination | Max | Y | 0,000267 | 56 | 3760 | -70 | 1940 |
| +19.4 | DConS3 | Combination | Min | X | 0,000691 | 56 | 3760 | -70 | 1940 |
| +19.4 | DConS3 | Combination | Min | Y | 0,000734 | 73 | 3760 | 1375 | 1940 |
| +19.4 | DConS4 | Combination | Max | X | 0,000207 | 94 | 0 | -70 | 1940 |
| +19.4 | DConS4 | Combination | Max | Y | 0,000314 | 176 | 580 | 1920 | 1940 |
| +19.4 | DConS4 | Combination | Min | X | 0,000223 | 56 | 3760 | -70 | 1940 |
| +19.4 | DConS4 | Combination | Min | Y | 0,000772 | 63 | 1610 | 1375 | 1940 |
| +19.4 | DConS5 | Combination | Max | X | 0,000678 | 94 | 0 | -70 | 1940 |
| +19.4 | DConS5 | Combination | Max | Y | 0,000282 | 56 | 3760 | -70 | 1940 |
| +19.4 | DConS5 | Combination | Min | X | 0,000692 | 56 | 3760 | -70 | 1940 |
| +19.4 | DConS5 | Combination | Min | Y | 0,000719 | 73 | 3760 | 1375 | 1940 |
| +19.4 | DConS6 | Combination | Max | X | 0,000206 | 94 | 0 | -70 | 1940 |
| +19.4 | DConS6 | Combination | Max | Y | 0,000325 | 176 | 580 | 1920 | 1940 |
| +19.4 | DConS6 | Combination | Min | X | 0,000224 | 56 | 3760 | -70 | 1940 |
| +19.4 | DConS6 | Combination | Min | Y | 0,000758 | 63 | 1610 | 1375 | 1940 |
| +19.4 | DConS7 | Combination | Max | X | 0,000678 | 94 | 0 | -70 | 1940 |
| +19.4 | DConS7 | Combination | Max | Y | 0,000282 | 56 | 3760 | -70 | 1940 |
| +19.4 | DConS7 | Combination | Min | X | 0,000692 | 56 | 3760 | -70 | 1940 |
| +19.4 | DConS7 | Combination | Min | Y | 0,000719 | 73 | 3760 | 1375 | 1940 |
| +19.4 | DConS8 | Combination | Max | X | 0,000206 | 94 | 0 | -70 | 1940 |
| +19.4 | DConS8 | Combination | Max | Y | 0,000325 | 176 | 580 | 1920 | 1940 |
| +19.4 | DConS8 | Combination | Min | X | 0,000224 | 56 | 3760 | -70 | 1940 |
| +19.4 | DConS8 | Combination | Min | Y | 0,000758 | 63 | 1610 | 1375 | 1940 |

| Story | Output Case | Case Type | Step Type | Direction | Drift | Label | X cm | Y cm | Z cm |
|---|---|---|---|---|---|---|---|---|---|
| +16.10 | Dead | LinStatic | | Y | 0,00022 | 104 | 3100 | 1920 | 1610 |
| +16.10 | Live | LinStatic | | X | 8E-06 | 41 | 0 | 2190 | 1610 |
| +16.10 | Live | LinStatic | | Y | 5E-05 | 56 | 3760 | -70 | 1610 |
| +16.10 | E-x | LinRespSpec | Max | X | 0,000832 | 94 | 0 | -70 | 1610 |
| +16.10 | E-x | LinRespSpec | Max | Y | 0,000598 | 76 | 3760 | 2190 | 1610 |
| +16.10 | E-y | LinRespSpec | Max | X | 0,000256 | 56 | 3760 | -70 | 1610 |
| +16.10 | E-y | LinRespSpec | Max | Y | 0,000578 | 76 | 3760 | 2190 | 1610 |
| +16.10 | DConS1 | Combination | | Y | 0,000296 | 104 | 3100 | 1920 | 1610 |
| +16.10 | DConS2 | Combination | | Y | 0,00037 | 56 | 3760 | -70 | 1610 |
| +16.10 | DConS3 | Combination | Max | X | 0,000828 | 56 | 3760 | -70 | 1610 |
| +16.10 | DConS3 | Combination | Max | Y | 0,000366 | 76 | 3760 | 2190 | 1610 |
| +16.10 | DConS3 | Combination | Min | X | 0,000839 | 94 | 0 | -70 | 1610 |
| +16.10 | DConS3 | Combination | Min | Y | 0,00083 | 56 | 3760 | -70 | 1610 |
| +16.10 | DConS4 | Combination | Max | X | 0,000252 | 56 | 3760 | -70 | 1610 |
| +16.10 | DConS4 | Combination | Max | Y | 0,000358 | 41 | 0 | 2190 | 1610 |
| +16.10 | DConS4 | Combination | Min | X | 0,000263 | 94 | 0 | -70 | 1610 |
| +16.10 | DConS4 | Combination | Min | Y | 0,000812 | 56 | 3760 | -70 | 1610 |
| +16.10 | DConS5 | Combination | Max | X | 0,000827 | 56 | 3760 | -70 | 1610 |
| +16.10 | DConS5 | Combination | Max | Y | 0,000381 | 76 | 3760 | 2190 | 1610 |
| +16.10 | DConS5 | Combination | Min | X | 0,000839 | 94 | 0 | -70 | 1610 |
| +16.10 | DConS5 | Combination | Min | Y | 0,000815 | 56 | 3760 | -70 | 1610 |
| +16.10 | DConS6 | Combination | Max | X | 0,000252 | 56 | 3760 | -70 | 1610 |
| +16.10 | DConS6 | Combination | Max | Y | 0,00037 | 41 | 0 | 2190 | 1610 |
| +16.10 | DConS6 | Combination | Min | X | 0,000263 | 94 | 0 | -70 | 1610 |
| +16.10 | DConS6 | Combination | Min | Y | 0,000797 | 56 | 3760 | -70 | 1610 |
| +16.10 | DConS7 | Combination | Max | X | 0,000827 | 56 | 3760 | -70 | 1610 |
| +16.10 | DConS7 | Combination | Max | Y | 0,000381 | 76 | 3760 | 2190 | 1610 |
| +16.10 | DConS7 | Combination | Min | X | 0,000839 | 94 | 0 | -70 | 1610 |
| +16.10 | DConS7 | Combination | Min | Y | 0,000815 | 56 | 3760 | -70 | 1610 |
| +16.10 | DConS8 | Combination | Max | X | 0,000252 | 56 | 3760 | -70 | 1610 |
| +16.10 | DConS8 | Combination | Max | Y | 0,00037 | 41 | 0 | 2190 | 1610 |
| +16.10 | DConS8 | Combination | Min | X | 0,000263 | 94 | 0 | -70 | 1610 |
| +16.10 | DConS8 | Combination | Min | Y | 0,000797 | 56 | 3760 | -70 | 1610 |
| +12.80 | Dead | LinStatic | | Y | 0,000202 | 104 | 3100 | 1920 | 1280 |
| +12.80 | Live | LinStatic | | X | 8E-06 | 41 | 0 | 2190 | 1280 |
| +12.80 | Live | LinStatic | | Y | 4,5E-05 | 54 | 3760 | 200 | 1280 |
| +12.80 | E-x | LinRespSpec | Max | X | 0,000858 | 94 | 0 | -70 | 1280 |
| +12.80 | E-x | LinRespSpec | Max | Y | 0,000614 | 76 | 3760 | 2190 | 1280 |
| +12.80 | E-y | LinRespSpec | Max | X | 0,000264 | 56 | 3760 | -70 | 1280 |
| +12.80 | E-y | LinRespSpec | Max | Y | 0,00058 | 76 | 3760 | 2190 | 1280 |
| +12.80 | DConS1 | Combination | | Y | 0,000273 | 104 | 3100 | 1920 | 1280 |
| +12.80 | DConS2 | Combination | | Y | 0,000339 | 104 | 3100 | 1920 | 1280 |
| +12.80 | DConS3 | Combination | Max | X | 0,000851 | 94 | 0 | -70 | 1280 |
| +12.80 | DConS3 | Combination | Max | Y | 0,000401 | 76 | 3760 | 2190 | 1280 |
| +12.80 | DConS3 | Combination | Min | X | 0,000864 | 94 | 0 | -70 | 1280 |
| +12.80 | DConS3 | Combination | Min | Y | 0,000827 | 76 | 3760 | 2190 | 1280 |
| +12.80 | DConS4 | Combination | Max | X | 0,000258 | 56 | 3760 | -70 | 1280 |
| +12.80 | DConS4 | Combination | Max | Y | 0,000375 | 41 | 0 | 2190 | 1280 |
| +12.80 | DConS4 | Combination | Min | X | 0,00027 | 56 | 3760 | -70 | 1280 |
| +12.80 | DConS4 | Combination | Min | Y | 0,000793 | 56 | 3760 | -70 | 1280 |
| +12.80 | DConS5 | Combination | Max | X | 0,000851 | 94 | 0 | -70 | 1280 |
| +12.80 | DConS5 | Combination | Max | Y | 0,000415 | 76 | 3760 | 2190 | 1280 |
| +12.80 | DConS5 | Combination | Min | X | 0,000865 | 94 | 0 | -70 | 1280 |
| +12.80 | DConS5 | Combination | Min | Y | 0,000814 | 76 | 3760 | 2190 | 1280 |
| +12.80 | DConS6 | Combination | Max | X | 0,000257 | 56 | 3760 | -70 | 1280 |
| +12.80 | DConS6 | Combination | Max | Y | 0,000386 | 41 | 0 | 2190 | 1280 |
| +12.80 | DConS6 | Combination | Min | X | 0,000271 | 56 | 3760 | -70 | 1280 |
| +12.80 | DConS6 | Combination | Min | Y | 0,00078 | 56 | 3760 | -70 | 1280 |
| +12.80 | DConS7 | Combination | Max | X | 0,000851 | 94 | 0 | -70 | 1280 |
| +12.80 | DConS7 | Combination | Max | Y | 0,000415 | 76 | 3760 | 2190 | 1280 |

| Story | Output Case | Case Type | Step Type | Direction | Drift | Label | X cm | Y cm | Z cm |
|---|---|---|---|---|---|---|---|---|---|
| +12.80 | DConS7 | Combination | Min | X | 0,000865 | 94 | 0 | -70 | 1280 |
| +12.80 | DConS7 | Combination | Min | Y | 0,000814 | 76 | 3760 | 2190 | 1280 |
| +12.80 | DConS8 | Combination | Max | X | 0,000257 | 56 | 3760 | -70 | 1280 |
| +12.80 | DConS8 | Combination | Max | Y | 0,000386 | 41 | 0 | 2190 | 1280 |
| +12.80 | DConS8 | Combination | Min | X | 0,000271 | 56 | 3760 | -70 | 1280 |
| +12.80 | DConS8 | Combination | Min | Y | 0,00078 | 56 | 3760 | -70 | 1280 |
| +9.50 | Dead | LinStatic | | Y | 0,000177 | 104 | 3100 | 1920 | 950 |
| +9.50 | Live | LinStatic | | Y | 4E-05 | 56 | 3760 | -70 | 950 |
| +9.50 | E-x | LinRespSpec | Max | X | 0,000834 | 94 | 0 | -70 | 950 |
| +9.50 | E-x | LinRespSpec | Max | Y | 0,000596 | 76 | 3760 | 2190 | 950 |
| +9.50 | E-y | LinRespSpec | Max | X | 0,000257 | 56 | 3760 | -70 | 950 |
| +9.50 | E-y | LinRespSpec | Max | Y | 0,000549 | 76 | 3760 | 2190 | 950 |
| +9.50 | DConS1 | Combination | | Y | 0,000239 | 104 | 3100 | 1920 | 950 |
| +9.50 | DConS2 | Combination | | Y | 0,000297 | 56 | 3760 | -70 | 950 |
| +9.50 | DConS3 | Combination | Max | X | 0,000827 | 94 | 0 | -70 | 950 |
| +9.50 | DConS3 | Combination | Max | Y | 0,000408 | 76 | 3760 | 2190 | 950 |
| +9.50 | DConS3 | Combination | Min | X | 0,000841 | 94 | 0 | -70 | 950 |
| +9.50 | DConS3 | Combination | Min | Y | 0,000783 | 76 | 3760 | 2190 | 950 |
| +9.50 | DConS4 | Combination | Max | X | 0,00025 | 56 | 3760 | -70 | 950 |
| +9.50 | DConS4 | Combination | Max | Y | 0,000366 | 41 | 0 | 2190 | 950 |
| +9.50 | DConS4 | Combination | Min | X | 0,000263 | 56 | 3760 | -70 | 950 |
| +9.50 | DConS4 | Combination | Min | Y | 0,000736 | 56 | 3760 | -70 | 950 |
| +9.50 | DConS5 | Combination | Max | X | 0,000826 | 94 | 0 | -70 | 950 |
| +9.50 | DConS5 | Combination | Max | Y | 0,00042 | 76 | 3760 | 2190 | 950 |
| +9.50 | DConS5 | Combination | Min | X | 0,000841 | 94 | 0 | -70 | 950 |
| +9.50 | DConS5 | Combination | Min | Y | 0,000771 | 76 | 3760 | 2190 | 950 |
| +9.50 | DConS6 | Combination | Max | X | 0,000249 | 56 | 3760 | -70 | 950 |
| +9.50 | DConS6 | Combination | Max | Y | 0,000376 | 41 | 0 | 2190 | 950 |
| +9.50 | DConS6 | Combination | Min | X | 0,000264 | 56 | 3760 | -70 | 950 |
| +9.50 | DConS6 | Combination | Min | Y | 0,000724 | 56 | 3760 | -70 | 950 |
| +9.50 | DConS7 | Combination | Max | X | 0,000826 | 94 | 0 | -70 | 950 |
| +9.50 | DConS7 | Combination | Max | Y | 0,00042 | 76 | 3760 | 2190 | 950 |
| +9.50 | DConS7 | Combination | Min | X | 0,000841 | 94 | 0 | -70 | 950 |
| +9.50 | DConS7 | Combination | Min | Y | 0,000771 | 76 | 3760 | 2190 | 950 |
| +9.50 | DConS8 | Combination | Max | X | 0,000249 | 56 | 3760 | -70 | 950 |
| +9.50 | DConS8 | Combination | Max | Y | 0,000376 | 41 | 0 | 2190 | 950 |
| +9.50 | DConS8 | Combination | Min | X | 0,000264 | 56 | 3760 | -70 | 950 |
| +9.50 | DConS8 | Combination | Min | Y | 0,000724 | 56 | 3760 | -70 | 950 |
| +6.20 | Dead | LinStatic | | Y | 0,000153 | 77 | 3760 | 1920 | 620 |
| +6.20 | Live | LinStatic | | Y | 3,4E-05 | 77 | 3760 | 1920 | 620 |
| +6.20 | E-x | LinRespSpec | Max | X | 0,000791 | 56 | 3760 | -70 | 620 |
| +6.20 | E-x | LinRespSpec | Max | Y | 0,000578 | 77 | 3760 | 1920 | 620 |
| +6.20 | E-y | LinRespSpec | Max | X | 0,000244 | 94 | 0 | -70 | 620 |
| +6.20 | E-y | LinRespSpec | Max | Y | 0,000518 | 77 | 3760 | 1920 | 620 |
| +6.20 | DConS1 | Combination | | Y | 0,000206 | 77 | 3760 | 1920 | 620 |
| +6.20 | DConS2 | Combination | | Y | 0,000257 | 77 | 3760 | 1920 | 620 |
| +6.20 | DConS3 | Combination | Max | X | 0,000785 | 94 | 0 | -70 | 620 |
| +6.20 | DConS3 | Combination | Max | Y | 0,000415 | 77 | 3760 | 1920 | 620 |
| +6.20 | DConS3 | Combination | Min | X | 0,000804 | 56 | 3760 | -70 | 620 |
| +6.20 | DConS3 | Combination | Min | Y | 0,000741 | 77 | 3760 | 1920 | 620 |
| +6.20 | DConS4 | Combination | Max | X | 0,00024 | 94 | 0 | -70 | 620 |
| +6.20 | DConS4 | Combination | Max | Y | 0,000356 | 54 | 3760 | 200 | 620 |
| +6.20 | DConS4 | Combination | Min | X | 0,000255 | 56 | 3760 | -70 | 620 |
| +6.20 | DConS4 | Combination | Min | Y | 0,000682 | 77 | 3760 | 1920 | 620 |
| +6.20 | DConS5 | Combination | Max | X | 0,000785 | 94 | 0 | -70 | 620 |
| +6.20 | DConS5 | Combination | Max | Y | 0,000425 | 77 | 3760 | 1920 | 620 |
| +6.20 | DConS5 | Combination | Min | X | 0,000803 | 56 | 3760 | -70 | 620 |
| +6.20 | DConS5 | Combination | Min | Y | 0,000731 | 77 | 3760 | 1920 | 620 |
| +6.20 | DConS6 | Combination | Max | X | 0,00024 | 94 | 0 | -70 | 620 |
| +6.20 | DConS6 | Combination | Max | Y | 0,000366 | 54 | 3760 | 200 | 620 |

| Story | Output Case | Case Type | Step Type | Direction | Drift | Label | X cm | Y cm | Z cm |
|---|---|---|---|---|---|---|---|---|---|
| +6.20 | DConS6 | Combination | Min | X | 0,000255 | 56 | 3760 | -70 | 620 |
| +6.20 | DConS6 | Combination | Min | Y | 0,000671 | 77 | 3760 | 1920 | 620 |
| +6.20 | DConS7 | Combination | Max | X | 0,000785 | 94 | 0 | -70 | 620 |
| +6.20 | DConS7 | Combination | Max | Y | 0,000425 | 77 | 3760 | 1920 | 620 |
| +6.20 | DConS7 | Combination | Min | X | 0,000803 | 56 | 3760 | -70 | 620 |
| +6.20 | DConS7 | Combination | Min | Y | 0,000731 | 77 | 3760 | 1920 | 620 |
| +6.20 | DConS8 | Combination | Max | X | 0,00024 | 94 | 0 | -70 | 620 |
| +6.20 | DConS8 | Combination | Max | Y | 0,000366 | 54 | 3760 | 200 | 620 |
| +6.20 | DConS8 | Combination | Min | X | 0,000255 | 56 | 3760 | -70 | 620 |
| +6.20 | DConS8 | Combination | Min | Y | 0,000671 | 77 | 3760 | 1920 | 620 |
| +2.90 | Dead | LinStatic | | Y | 0,000129 | 77 | 3760 | 1920 | 290 |
| +2.90 | Live | LinStatic | | Y | 2,8E-05 | 77 | 3760 | 1920 | 290 |
| +2.90 | E-x | LinRespSpec | Max | X | 0,000592 | 56 | 3760 | -70 | 290 |
| +2.90 | E-x | LinRespSpec | Max | Y | 0,000452 | 58 | 3760 | 745 | 290 |
| +2.90 | E-y | LinRespSpec | Max | X | 0,000192 | 94 | 0 | -70 | 290 |
| +2.90 | E-y | LinRespSpec | Max | Y | 0,000441 | 58 | 3760 | 745 | 290 |
| +2.90 | DConS1 | Combination | | Y | 0,000174 | 77 | 3760 | 1920 | 290 |
| +2.90 | DConS2 | Combination | | Y | 0,000216 | 77 | 3760 | 1920 | 290 |
| +2.90 | DConS3 | Combination | Max | X | 0,000586 | 94 | 0 | -70 | 290 |
| +2.90 | DConS3 | Combination | Max | Y | 0,000331 | 54 | 3760 | 200 | 290 |
| +2.90 | DConS3 | Combination | Min | X | 0,000605 | 56 | 3760 | -70 | 290 |
| +2.90 | DConS3 | Combination | Min | Y | 0,000586 | 73 | 3760 | 1375 | 290 |
| +2.90 | DConS4 | Combination | Max | X | 0,00019 | 94 | 0 | -70 | 290 |
| +2.90 | DConS4 | Combination | Max | Y | 0,000319 | 1 | 0 | 200 | 290 |
| +2.90 | DConS4 | Combination | Min | X | 0,000197 | 56 | 3760 | -70 | 290 |
| +2.90 | DConS4 | Combination | Min | Y | 0,000574 | 73 | 3760 | 1375 | 290 |
| +2.90 | DConS5 | Combination | Max | X | 0,000586 | 94 | 0 | -70 | 290 |
| +2.90 | DConS5 | Combination | Max | Y | 0,000338 | 54 | 3760 | 200 | 290 |
| +2.90 | DConS5 | Combination | Min | X | 0,000605 | 56 | 3760 | -70 | 290 |
| +2.90 | DConS5 | Combination | Min | Y | 0,000578 | 73 | 3760 | 1375 | 290 |
| +2.90 | DConS6 | Combination | Max | X | 0,00019 | 94 | 0 | -70 | 290 |
| +2.90 | DConS6 | Combination | Max | Y | 0,000326 | 54 | 3760 | 200 | 290 |
| +2.90 | DConS6 | Combination | Min | X | 0,000197 | 56 | 3760 | -70 | 290 |
| +2.90 | DConS6 | Combination | Min | Y | 0,000566 | 73 | 3760 | 1375 | 290 |
| +2.90 | DConS7 | Combination | Max | X | 0,000586 | 94 | 0 | -70 | 290 |
| +2.90 | DConS7 | Combination | Max | Y | 0,000338 | 54 | 3760 | 200 | 290 |
| +2.90 | DConS7 | Combination | Min | X | 0,000605 | 56 | 3760 | -70 | 290 |
| +2.90 | DConS7 | Combination | Min | Y | 0,000578 | 73 | 3760 | 1375 | 290 |
| +2.90 | DConS8 | Combination | Max | X | 0,00019 | 94 | 0 | -70 | 290 |
| +2.90 | DConS8 | Combination | Max | Y | 0,000326 | 54 | 3760 | 200 | 290 |
| +2.90 | DConS8 | Combination | Min | X | 0,000197 | 56 | 3760 | -70 | 290 |
| +2.90 | DConS8 | Combination | Min | Y | 0,000566 | 73 | 3760 | 1375 | 290 |
| -0.10 | Dead | LinStatic | | Y | 4E-05 | 64 | 1610 | 1175 | -10 |
| -0.10 | Live | LinStatic | | Y | 8E-06 | 64 | 1610 | 1175 | -10 |
| -0.10 | E-x | LinRespSpec | Max | X | 7,7E-05 | 79 | 1840 | 200 | -10 |
| -0.10 | E-x | LinRespSpec | Max | Y | 8E-05 | 104 | 3100 | 1920 | -10 |
| -0.10 | E-y | LinRespSpec | Max | X | 4,8E-05 | 54 | 3760 | 200 | -10 |
| -0.10 | E-y | LinRespSpec | Max | Y | 0,000128 | 64 | 1610 | 1175 | -10 |
| -0.10 | DConS1 | Combination | | Y | 5,4E-05 | 64 | 1610 | 1175 | -10 |
| -0.10 | DConS2 | Combination | | Y | 6,6E-05 | 64 | 1610 | 1175 | -10 |
| -0.10 | DConS3 | Combination | Max | X | 7,7E-05 | 2 | 2470 | 200 | -10 |
| -0.10 | DConS3 | Combination | Max | Y | 6E-05 | 104 | 3100 | 1920 | -10 |
| -0.10 | DConS3 | Combination | Min | X | 8,3E-05 | 88 | 580 | 200 | -10 |
| -0.10 | DConS3 | Combination | Min | Y | 0,000106 | 102 | 3100 | 1375 | -10 |
| -0.10 | DConS4 | Combination | Max | X | 5,2E-05 | 54 | 3760 | 200 | -10 |
| -0.10 | DConS4 | Combination | Max | Y | 0,000101 | 104 | 3100 | 1920 | -10 |
| -0.10 | DConS4 | Combination | Min | X | 4,8E-05 | 1 | 0 | 200 | -10 |
| -0.10 | DConS4 | Combination | Min | Y | 0,000171 | 64 | 1610 | 1175 | -10 |
| -0.10 | DConS5 | Combination | Max | X | 7,7E-05 | 2 | 2470 | 200 | -10 |
| -0.10 | DConS5 | Combination | Max | Y | 6,1E-05 | 104 | 3100 | 1920 | -10 |

| Story | Output Case | Case Type | Step Type | Direction | Drift | Label | X cm | Y cm | Z cm |
|---|---|---|---|---|---|---|---|---|---|
| -0.10 | DConS5 | Combination | Min | X | 8,3E-05 | 88 | 580 | 200 | -10 |
| -0.10 | DConS5 | Combination | Min | Y | 0,000104 | 102 | 3100 | 1375 | -10 |
| -0.10 | DConS6 | Combination | Max | X | 5,2E-05 | 54 | 3760 | 200 | -10 |
| -0.10 | DConS6 | Combination | Max | Y | 0,000102 | 104 | 3100 | 1920 | -10 |
| -0.10 | DConS6 | Combination | Min | X | 4,7E-05 | 1 | 0 | 200 | -10 |
| -0.10 | DConS6 | Combination | Min | Y | 0,000168 | 64 | 1610 | 1175 | -10 |
| -0.10 | DConS7 | Combination | Max | X | 7,7E-05 | 2 | 2470 | 200 | -10 |
| -0.10 | DConS7 | Combination | Max | Y | 6,1E-05 | 104 | 3100 | 1920 | -10 |
| -0.10 | DConS7 | Combination | Min | X | 8,3E-05 | 88 | 580 | 200 | -10 |
| -0.10 | DConS7 | Combination | Min | Y | 0,000104 | 102 | 3100 | 1375 | -10 |
| -0.10 | DConS8 | Combination | Max | X | 5,2E-05 | 54 | 3760 | 200 | -10 |
| -0.10 | DConS8 | Combination | Max | Y | 0,000102 | 104 | 3100 | 1920 | -10 |
| -0.10 | DConS8 | Combination | Min | X | 4,7E-05 | 1 | 0 | 200 | -10 |
| -0.10 | DConS8 | Combination | Min | Y | 0,000168 | 64 | 1610 | 1175 | -10 |

**Table 4.3 - Story Max Over Avg Drifts**

| Story | Output Case | Case Type | Step Type | Direction | Max Drift m | Avg Drift m | Ratio |
|---|---|---|---|---|---|---|---|
| Story9 | Dead | LinStatic | | Y | 0,000931 | 0,000918 | 1,014 |
| Story9 | Live | LinStatic | | X | 2,7E-05 | 2,4E-05 | 1,135 |
| Story9 | Live | LinStatic | | Y | 0,000193 | 0,00019 | 1,018 |
| Story9 | E-x | LinRespSpec | Max | X | 0,001577 | 0,001465 | 1,076 |
| Story9 | E-x | LinRespSpec | Max | Y | 0,000682 | 0,000635 | 1,074 |
| Story9 | E-y | LinRespSpec | Max | X | 0,000487 | 0,000454 | 1,074 |
| Story9 | E-y | LinRespSpec | Max | Y | 0,001912 | 0,001901 | 1,006 |
| Story9 | DSlbS1 | Combination | | Y | 0,001257 | 0,00124 | 1,014 |
| Story9 | DSlbS2 | Combination | | Y | 0,001547 | 0,001524 | 1,015 |
| Story9 | DSlbS3 | Combination | Max | X | 0,001586 | 0,00146 | 1,086 |
| Story9 | DSlbS3 | Combination | Max | Y | 0,000379 | 0,000341 | 1,112 |
| Story9 | DSlbS3 | Combination | Min | X | 0,001568 | 0,001466 | 1,07 |
| Story9 | DSlbS3 | Combination | Min | Y | 0,00167 | 0,00161 | 1,037 |
| Story9 | DSlbS4 | Combination | Max | X | 0,000496 | 0,000448 | 1,106 |
| Story9 | DSlbS4 | Combination | Max | Y | 0,000933 | 0,000926 | 1,007 |
| Story9 | DSlbS4 | Combination | Min | X | 0,000479 | 0,000454 | 1,055 |
| Story9 | DSlbS4 | Combination | Min | Y | 0,002898 | 0,002876 | 1,008 |
| Story9 | DSlbS5 | Combination | Max | X | 0,001577 | 0,001453 | 1,086 |
| Story9 | DSlbS5 | Combination | Max | Y | 0,000323 | 0,000284 | 1,136 |
| Story9 | DSlbS5 | Combination | Min | X | 0,001576 | 0,001473 | 1,07 |
| Story9 | DSlbS5 | Combination | Min | Y | 0,001612 | 0,001553 | 1,038 |
| Story9 | DSlbS6 | Combination | Max | X | 0,000488 | 0,000441 | 1,105 |
| Story9 | DSlbS6 | Combination | Max | Y | 0,000989 | 0,000983 | 1,006 |
| Story9 | DSlbS6 | Combination | Min | X | 0,000487 | 0,000462 | 1,056 |
| Story9 | DSlbS6 | Combination | Min | Y | 0,00284 | 0,002819 | 1,008 |
| Story9 | DSlbS7 | Combination | Max | X | 0,001577 | 0,001453 | 1,086 |
| Story9 | DSlbS7 | Combination | Max | Y | 0,000323 | 0,000284 | 1,136 |
| Story9 | DSlbS7 | Combination | Min | X | 0,001576 | 0,001473 | 1,07 |
| Story9 | DSlbS7 | Combination | Min | Y | 0,001612 | 0,001553 | 1,038 |
| Story9 | DSlbS8 | Combination | Max | X | 0,000488 | 0,000441 | 1,105 |
| Story9 | DSlbS8 | Combination | Max | Y | 0,000989 | 0,000983 | 1,006 |
| Story9 | DSlbS8 | Combination | Min | X | 0,000487 | 0,000462 | 1,056 |
| Story9 | DSlbS8 | Combination | Min | Y | 0,00284 | 0,002819 | 1,008 |
| Story9 | DConS1 | Combination | | Y | 0,001257 | 0,00124 | 1,014 |
| Story9 | DConS2 | Combination | | Y | 0,001547 | 0,001524 | 1,015 |
| Story9 | DConS3 | Combination | Max | X | 0,001586 | 0,00146 | 1,086 |
| Story9 | DConS3 | Combination | Max | Y | 0,000379 | 0,000341 | 1,112 |
| Story9 | DConS3 | Combination | Min | X | 0,001568 | 0,001466 | 1,07 |
| Story9 | DConS3 | Combination | Min | Y | 0,00167 | 0,00161 | 1,037 |
| Story9 | DConS4 | Combination | Max | X | 0,000496 | 0,000448 | 1,106 |

| Story | Output Case | Case Type | Step Type | Direction | Max Drift m | Avg Drift m | Ratio |
|---|---|---|---|---|---|---|---|
| Story9 | DConS4 | Combination | Max | Y | 0,000933 | 0,000926 | 1,007 |
| Story9 | DConS4 | Combination | Min | X | 0,000479 | 0,000454 | 1,055 |
| Story9 | DConS4 | Combination | Min | Y | 0,002898 | 0,002876 | 1,008 |
| Story9 | DConS5 | Combination | Max | X | 0,001577 | 0,001453 | 1,086 |
| Story9 | DConS5 | Combination | Max | Y | 0,000323 | 0,000284 | 1,136 |
| Story9 | DConS5 | Combination | Min | X | 0,001576 | 0,001473 | 1,07 |
| Story9 | DConS5 | Combination | Min | Y | 0,001612 | 0,001553 | 1,038 |
| Story9 | DConS6 | Combination | Max | X | 0,000488 | 0,000441 | 1,105 |
| Story9 | DConS6 | Combination | Max | Y | 0,000989 | 0,000983 | 1,006 |
| Story9 | DConS6 | Combination | Min | X | 0,000487 | 0,000462 | 1,056 |
| Story9 | DConS6 | Combination | Min | Y | 0,00284 | 0,002819 | 1,008 |
| Story9 | DConS7 | Combination | Max | X | 0,001577 | 0,001453 | 1,086 |
| Story9 | DConS7 | Combination | Max | Y | 0,000323 | 0,000284 | 1,136 |
| Story9 | DConS7 | Combination | Min | X | 0,001576 | 0,001473 | 1,07 |
| Story9 | DConS7 | Combination | Min | Y | 0,001612 | 0,001553 | 1,038 |
| Story9 | DConS8 | Combination | Max | X | 0,000488 | 0,000441 | 1,105 |
| Story9 | DConS8 | Combination | Max | Y | 0,000989 | 0,000983 | 1,006 |
| Story9 | DConS8 | Combination | Min | X | 0,000487 | 0,000462 | 1,056 |
| Story9 | DConS8 | Combination | Min | Y | 0,00284 | 0,002819 | 1,008 |
| Story8 | Dead | LinStatic | | Y | 0,003846 | 0,001463 | 2,628 |
| Story8 | Live | LinStatic | | X | 0,000105 | 3,8E-05 | 2,769 |
| Story8 | Live | LinStatic | | Y | 0,000776 | 0,000285 | 2,72 |
| Story8 | E-x | LinRespSpec | Max | X | 0,015545 | 0,00836 | 1,859 |
| Story8 | E-x | LinRespSpec | Max | Y | 0,010279 | 0,005425 | 1,895 |
| Story8 | E-y | LinRespSpec | Max | X | 0,004771 | 0,002566 | 1,859 |
| Story8 | E-y | LinRespSpec | Max | Y | 0,010894 | 0,006354 | 1,714 |
| Story8 | DSlbS1 | Combination | | Y | 0,005192 | 0,001976 | 2,628 |
| Story8 | DSlbS2 | Combination | | Y | 0,006356 | 0,002404 | 2,644 |
| Story8 | DSlbS3 | Combination | Max | X | 0,015801 | 0,00847 | 1,866 |
| Story8 | DSlbS3 | Combination | Max | Y | 0,014358 | 0,006999 | 2,052 |
| Story8 | DSlbS3 | Combination | Min | X | 0,015289 | 0,008227 | 1,858 |
| Story8 | DSlbS3 | Combination | Min | Y | 0,006206 | 0,003843 | 1,615 |
| Story8 | DSlbS4 | Combination | Max | X | 0,005027 | 0,002674 | 1,88 |
| Story8 | DSlbS4 | Combination | Max | Y | 0,014973 | 0,007913 | 1,892 |
| Story8 | DSlbS4 | Combination | Min | X | 0,004515 | 0,002437 | 1,852 |
| Story8 | DSlbS4 | Combination | Min | Y | 0,006816 | 0,004758 | 1,433 |
| Story8 | DSlbS5 | Combination | Max | X | 0,015803 | 0,008468 | 1,866 |
| Story8 | DSlbS5 | Combination | Max | Y | 0,014126 | 0,00691 | 2,044 |
| Story8 | DSlbS5 | Combination | Min | X | 0,015287 | 0,00823 | 1,857 |
| Story8 | DSlbS5 | Combination | Min | Y | 0,006438 | 0,003932 | 1,637 |
| Story8 | DSlbS6 | Combination | Max | X | 0,005029 | 0,002673 | 1,882 |
| Story8 | DSlbS6 | Combination | Max | Y | 0,014741 | 0,007828 | 1,883 |
| Story8 | DSlbS6 | Combination | Min | X | 0,004513 | 0,002441 | 1,849 |
| Story8 | DSlbS6 | Combination | Min | Y | 0,007048 | 0,00485 | 1,453 |
| Story8 | DSlbS7 | Combination | Max | X | 0,015803 | 0,008468 | 1,866 |
| Story8 | DSlbS7 | Combination | Max | Y | 0,014126 | 0,00691 | 2,044 |
| Story8 | DSlbS7 | Combination | Min | X | 0,015287 | 0,00823 | 1,857 |
| Story8 | DSlbS7 | Combination | Min | Y | 0,006438 | 0,003932 | 1,637 |
| Story8 | DSlbS8 | Combination | Max | X | 0,005029 | 0,002673 | 1,882 |
| Story8 | DSlbS8 | Combination | Max | Y | 0,014741 | 0,007828 | 1,883 |
| Story8 | DSlbS8 | Combination | Min | X | 0,004513 | 0,002441 | 1,849 |
| Story8 | DSlbS8 | Combination | Min | Y | 0,007048 | 0,00485 | 1,453 |
| Story8 | DConS1 | Combination | | Y | 0,005192 | 0,001976 | 2,628 |
| Story8 | DConS2 | Combination | | Y | 0,006356 | 0,002404 | 2,644 |
| Story8 | DConS3 | Combination | Max | X | 0,015801 | 0,00847 | 1,866 |
| Story8 | DConS3 | Combination | Max | Y | 0,014358 | 0,006999 | 2,052 |
| Story8 | DConS3 | Combination | Min | X | 0,015289 | 0,008227 | 1,858 |
| Story8 | DConS3 | Combination | Min | Y | 0,006206 | 0,003843 | 1,615 |
| Story8 | DConS4 | Combination | Max | X | 0,005027 | 0,002674 | 1,88 |

| Story | Output Case | Case Type | Step Type | Direction | Max Drift m | Avg Drift m | Ratio |
|---|---|---|---|---|---|---|---|
| Story8 | DConS4 | Combination | Max | Y | 0,014973 | 0,007913 | 1,892 |
| Story8 | DConS4 | Combination | Min | X | 0,004515 | 0,002437 | 1,852 |
| Story8 | DConS4 | Combination | Min | Y | 0,006816 | 0,004758 | 1,433 |
| Story8 | DConS5 | Combination | Max | X | 0,015803 | 0,008468 | 1,866 |
| Story8 | DConS5 | Combination | Max | Y | 0,014126 | 0,00691 | 2,044 |
| Story8 | DConS5 | Combination | Min | X | 0,015287 | 0,00823 | 1,857 |
| Story8 | DConS5 | Combination | Min | Y | 0,006438 | 0,003932 | 1,637 |
| Story8 | DConS6 | Combination | Max | X | 0,005029 | 0,002673 | 1,882 |
| Story8 | DConS6 | Combination | Max | Y | 0,014741 | 0,007828 | 1,883 |
| Story8 | DConS6 | Combination | Min | X | 0,004513 | 0,002441 | 1,849 |
| Story8 | DConS6 | Combination | Min | Y | 0,007048 | 0,00485 | 1,453 |
| Story8 | DConS7 | Combination | Max | X | 0,015803 | 0,008468 | 1,866 |
| Story8 | DConS7 | Combination | Max | Y | 0,014126 | 0,00691 | 2,044 |
| Story8 | DConS7 | Combination | Min | X | 0,015287 | 0,00823 | 1,857 |
| Story8 | DConS7 | Combination | Min | Y | 0,006438 | 0,003932 | 1,637 |
| Story8 | DConS8 | Combination | Max | X | 0,005029 | 0,002673 | 1,882 |
| Story8 | DConS8 | Combination | Max | Y | 0,014741 | 0,007828 | 1,883 |
| Story8 | DConS8 | Combination | Min | X | 0,004513 | 0,002441 | 1,849 |
| Story8 | DConS8 | Combination | Min | Y | 0,007048 | 0,00485 | 1,453 |
| Story7 | Dead | LinStatic | | Y | 0,000906 | 0,000861 | 1,052 |
| Story7 | Live | LinStatic | | Y | 0,000207 | 0,000183 | 1,128 |
| Story7 | E-x | LinRespSpec | Max | X | 0,002795 | 0,002019 | 1,384 |
| Story7 | E-x | LinRespSpec | Max | Y | 0,002032 | 0,001317 | 1,543 |
| Story7 | E-y | LinRespSpec | Max | X | 0,00086 | 0,000622 | 1,382 |
| Story7 | E-y | LinRespSpec | Max | Y | 0,002043 | 0,002 | 1,021 |
| Story7 | DSlbS1 | Combination | | Y | 0,001223 | 0,001162 | 1,052 |
| Story7 | DSlbS2 | Combination | | Y | 0,001533 | 0,001437 | 1,066 |
| Story7 | DSlbS3 | Combination | Max | X | 0,002747 | 0,001983 | 1,385 |
| Story7 | DSlbS3 | Combination | Max | Y | 0,001082 | 0,000378 | 2,862 |
| Story7 | DSlbS3 | Combination | Min | X | 0,002845 | 0,002034 | 1,399 |
| Story7 | DSlbS3 | Combination | Min | Y | 0,002999 | 0,002256 | 1,329 |
| Story7 | DSlbS4 | Combination | Max | X | 0,000811 | 0,000585 | 1,387 |
| Story7 | DSlbS4 | Combination | Max | Y | 0,001167 | 0,001098 | 1,064 |
| Story7 | DSlbS4 | Combination | Min | X | 0,000909 | 0,000641 | 1,418 |
| Story7 | DSlbS4 | Combination | Min | Y | 0,003001 | 0,002918 | 1,028 |
| Story7 | DSlbS5 | Combination | Max | X | 0,002747 | 0,00198 | 1,387 |
| Story7 | DSlbS5 | Combination | Max | Y | 0,001143 | 0,000436 | 2,619 |
| Story7 | DSlbS5 | Combination | Min | X | 0,002846 | 0,002039 | 1,396 |
| Story7 | DSlbS5 | Combination | Min | Y | 0,002937 | 0,002198 | 1,336 |
| Story7 | DSlbS6 | Combination | Max | X | 0,000811 | 0,000581 | 1,395 |
| Story7 | DSlbS6 | Combination | Max | Y | 0,001215 | 0,001151 | 1,056 |
| Story7 | DSlbS6 | Combination | Min | X | 0,00091 | 0,000646 | 1,408 |
| Story7 | DSlbS6 | Combination | Min | Y | 0,002939 | 0,002863 | 1,027 |
| Story7 | DSlbS7 | Combination | Max | X | 0,002747 | 0,00198 | 1,387 |
| Story7 | DSlbS7 | Combination | Max | Y | 0,001143 | 0,000436 | 2,619 |
| Story7 | DSlbS7 | Combination | Min | X | 0,002846 | 0,002039 | 1,396 |
| Story7 | DSlbS7 | Combination | Min | Y | 0,002937 | 0,002198 | 1,336 |
| Story7 | DSlbS8 | Combination | Max | X | 0,000811 | 0,000581 | 1,395 |
| Story7 | DSlbS8 | Combination | Max | Y | 0,001215 | 0,001151 | 1,056 |
| Story7 | DSlbS8 | Combination | Min | X | 0,00091 | 0,000646 | 1,408 |
| Story7 | DSlbS8 | Combination | Min | Y | 0,002939 | 0,002863 | 1,027 |
| Story7 | DConS1 | Combination | | Y | 0,001223 | 0,001162 | 1,052 |
| Story7 | DConS2 | Combination | | Y | 0,001533 | 0,001437 | 1,066 |
| Story7 | DConS3 | Combination | Max | X | 0,002747 | 0,001983 | 1,385 |
| Story7 | DConS3 | Combination | Max | Y | 0,001082 | 0,000378 | 2,862 |
| Story7 | DConS3 | Combination | Min | X | 0,002845 | 0,002034 | 1,399 |
| Story7 | DConS3 | Combination | Min | Y | 0,002999 | 0,002256 | 1,329 |
| Story7 | DConS4 | Combination | Max | X | 0,000811 | 0,000585 | 1,387 |
| Story7 | DConS4 | Combination | Max | Y | 0,001167 | 0,001098 | 1,064 |

| Story | Output Case | Case Type | Step Type | Direction | Max Drift m | Avg Drift m | Ratio |
|---|---|---|---|---|---|---|---|
| Story7 | DConS4 | Combination | Min | X | 0,000909 | 0,000641 | 1,418 |
| Story7 | DConS4 | Combination | Min | Y | 0,003001 | 0,002918 | 1,028 |
| Story7 | DConS5 | Combination | Max | X | 0,002747 | 0,00198 | 1,387 |
| Story7 | DConS5 | Combination | Max | Y | 0,001143 | 0,000436 | 2,619 |
| Story7 | DConS5 | Combination | Min | X | 0,002846 | 0,002039 | 1,396 |
| Story7 | DConS5 | Combination | Min | Y | 0,002937 | 0,002198 | 1,336 |
| Story7 | DConS6 | Combination | Max | X | 0,000811 | 0,000581 | 1,395 |
| Story7 | DConS6 | Combination | Max | Y | 0,001215 | 0,001151 | 1,056 |
| Story7 | DConS6 | Combination | Min | X | 0,00091 | 0,000646 | 1,408 |
| Story7 | DConS6 | Combination | Min | Y | 0,002939 | 0,002863 | 1,027 |
| Story7 | DConS7 | Combination | Max | X | 0,002747 | 0,00198 | 1,387 |
| Story7 | DConS7 | Combination | Max | Y | 0,001143 | 0,000436 | 2,619 |
| Story7 | DConS7 | Combination | Min | X | 0,002846 | 0,002039 | 1,396 |
| Story7 | DConS7 | Combination | Min | Y | 0,002937 | 0,002198 | 1,336 |
| Story7 | DConS8 | Combination | Max | X | 0,000811 | 0,000581 | 1,395 |
| Story7 | DConS8 | Combination | Max | Y | 0,001215 | 0,001151 | 1,056 |
| Story7 | DConS8 | Combination | Min | X | 0,00091 | 0,000646 | 1,408 |
| Story7 | DConS8 | Combination | Min | Y | 0,002939 | 0,002863 | 1,027 |
| Story6 | Dead | LinStatic | | Y | 0,00084 | 0,000806 | 1,042 |
| Story6 | Live | LinStatic | | Y | 0,000191 | 0,000172 | 1,111 |
| Story6 | E-x | LinRespSpec | Max | X | 0,002937 | 0,002119 | 1,386 |
| Story6 | E-x | LinRespSpec | Max | Y | 0,002126 | 0,001368 | 1,554 |
| Story6 | E-y | LinRespSpec | Max | X | 0,000902 | 0,000653 | 1,381 |
| Story6 | E-y | LinRespSpec | Max | Y | 0,002069 | 0,002027 | 1,021 |
| Story6 | DSlbS1 | Combination | | Y | 0,001134 | 0,001088 | 1,042 |
| Story6 | DSlbS2 | Combination | | Y | 0,00142 | 0,001346 | 1,055 |
| Story6 | DSlbS3 | Combination | Max | X | 0,002891 | 0,002092 | 1,382 |
| Story6 | DSlbS3 | Combination | Max | Y | 0,00123 | 0,000487 | 2,525 |
| Story6 | DSlbS3 | Combination | Min | X | 0,002983 | 0,002135 | 1,397 |
| Story6 | DSlbS3 | Combination | Min | Y | 0,003021 | 0,002245 | 1,346 |
| Story6 | DSlbS4 | Combination | Max | X | 0,000857 | 0,000627 | 1,367 |
| Story6 | DSlbS4 | Combination | Max | Y | 0,001247 | 0,001177 | 1,059 |
| Story6 | DSlbS4 | Combination | Min | X | 0,000948 | 0,000669 | 1,418 |
| Story6 | DSlbS4 | Combination | Min | Y | 0,002965 | 0,002901 | 1,022 |
| Story6 | DSlbS5 | Combination | Max | X | 0,00289 | 0,002088 | 1,384 |
| Story6 | DSlbS5 | Combination | Max | Y | 0,001287 | 0,000542 | 2,376 |
| Story6 | DSlbS5 | Combination | Min | X | 0,002984 | 0,002139 | 1,395 |
| Story6 | DSlbS5 | Combination | Min | Y | 0,002964 | 0,002191 | 1,353 |
| Story6 | DSlbS6 | Combination | Max | X | 0,000857 | 0,000623 | 1,374 |
| Story6 | DSlbS6 | Combination | Max | Y | 0,001292 | 0,001228 | 1,052 |
| Story6 | DSlbS6 | Combination | Min | X | 0,000949 | 0,000673 | 1,41 |
| Story6 | DSlbS6 | Combination | Min | Y | 0,002907 | 0,002847 | 1,021 |
| Story6 | DSlbS7 | Combination | Max | X | 0,00289 | 0,002088 | 1,384 |
| Story6 | DSlbS7 | Combination | Max | Y | 0,001287 | 0,000542 | 2,376 |
| Story6 | DSlbS7 | Combination | Min | X | 0,002984 | 0,002139 | 1,395 |
| Story6 | DSlbS7 | Combination | Min | Y | 0,002964 | 0,002191 | 1,353 |
| Story6 | DSlbS8 | Combination | Max | X | 0,000857 | 0,000623 | 1,374 |
| Story6 | DSlbS8 | Combination | Max | Y | 0,001292 | 0,001228 | 1,052 |
| Story6 | DSlbS8 | Combination | Min | X | 0,000949 | 0,000673 | 1,41 |
| Story6 | DSlbS8 | Combination | Min | Y | 0,002907 | 0,002847 | 1,021 |
| Story6 | DConS1 | Combination | | Y | 0,001134 | 0,001088 | 1,042 |
| Story6 | DConS2 | Combination | | Y | 0,00142 | 0,001346 | 1,055 |
| Story6 | DConS3 | Combination | Max | X | 0,002891 | 0,002092 | 1,382 |
| Story6 | DConS3 | Combination | Max | Y | 0,00123 | 0,000487 | 2,525 |
| Story6 | DConS3 | Combination | Min | X | 0,002983 | 0,002135 | 1,397 |
| Story6 | DConS3 | Combination | Min | Y | 0,003021 | 0,002245 | 1,346 |
| Story6 | DConS4 | Combination | Max | X | 0,000857 | 0,000627 | 1,367 |
| Story6 | DConS4 | Combination | Max | Y | 0,001247 | 0,001177 | 1,059 |
| Story6 | DConS4 | Combination | Min | X | 0,000948 | 0,000669 | 1,418 |

| Story | Output Case | Case Type | Step Type | Direction | Max Drift m | Avg Drift m | Ratio |
|---|---|---|---|---|---|---|---|
| Story6 | DConS4 | Combination | Min | Y | 0,002965 | 0,002901 | 1,022 |
| Story6 | DConS5 | Combination | Max | X | 0,00289 | 0,002088 | 1,384 |
| Story6 | DConS5 | Combination | Max | Y | 0,001287 | 0,000542 | 2,376 |
| Story6 | DConS5 | Combination | Min | X | 0,002984 | 0,002139 | 1,395 |
| Story6 | DConS5 | Combination | Min | Y | 0,002964 | 0,002191 | 1,353 |
| Story6 | DConS6 | Combination | Max | X | 0,000857 | 0,000623 | 1,374 |
| Story6 | DConS6 | Combination | Max | Y | 0,001292 | 0,001228 | 1,052 |
| Story6 | DConS6 | Combination | Min | X | 0,000949 | 0,000673 | 1,41 |
| Story6 | DConS6 | Combination | Min | Y | 0,002907 | 0,002847 | 1,021 |
| Story6 | DConS7 | Combination | Max | X | 0,00289 | 0,002088 | 1,384 |
| Story6 | DConS7 | Combination | Max | Y | 0,001287 | 0,000542 | 2,376 |
| Story6 | DConS7 | Combination | Min | X | 0,002984 | 0,002139 | 1,395 |
| Story6 | DConS7 | Combination | Min | Y | 0,002964 | 0,002191 | 1,353 |
| Story6 | DConS8 | Combination | Max | X | 0,000857 | 0,000623 | 1,374 |
| Story6 | DConS8 | Combination | Max | Y | 0,001292 | 0,001228 | 1,052 |
| Story6 | DConS8 | Combination | Min | X | 0,000949 | 0,000673 | 1,41 |
| Story6 | DConS8 | Combination | Min | Y | 0,002907 | 0,002847 | 1,021 |
| Story5 | Dead | LinStatic | | Y | 0,000763 | 0,000733 | 1,042 |
| Story5 | Live | LinStatic | | Y | 0,000173 | 0,000157 | 1,104 |
| Story5 | E-x | LinRespSpec | Max | X | 0,002925 | 0,00212 | 1,38 |
| Story5 | E-x | LinRespSpec | Max | Y | 0,002102 | 0,001349 | 1,559 |
| Story5 | E-y | LinRespSpec | Max | X | 0,000899 | 0,000654 | 1,375 |
| Story5 | E-y | LinRespSpec | Max | Y | 0,002013 | 0,001974 | 1,02 |
| Story5 | DSlbS1 | Combination | | Y | 0,00103 | 0,000989 | 1,042 |
| Story5 | DSlbS2 | Combination | | Y | 0,00129 | 0,001224 | 1,053 |
| Story5 | DSlbS3 | Combination | Max | X | 0,002884 | 0,002096 | 1,376 |
| Story5 | DSlbS3 | Combination | Max | Y | 0,00129 | 0,000549 | 2,352 |
| Story5 | DSlbS3 | Combination | Min | X | 0,002967 | 0,002135 | 1,39 |
| Story5 | DSlbS3 | Combination | Min | Y | 0,002915 | 0,002146 | 1,359 |
| Story5 | DSlbS4 | Combination | Max | X | 0,000859 | 0,00063 | 1,363 |
| Story5 | DSlbS4 | Combination | Max | Y | 0,001261 | 0,001199 | 1,052 |
| Story5 | DSlbS4 | Combination | Min | X | 0,00094 | 0,000669 | 1,405 |
| Story5 | DSlbS4 | Combination | Min | Y | 0,002826 | 0,002767 | 1,021 |
| Story5 | DSlbS5 | Combination | Max | X | 0,002884 | 0,002093 | 1,378 |
| Story5 | DSlbS5 | Combination | Max | Y | 0,001342 | 0,000598 | 2,243 |
| Story5 | DSlbS5 | Combination | Min | X | 0,002968 | 0,002139 | 1,387 |
| Story5 | DSlbS5 | Combination | Min | Y | 0,002863 | 0,002096 | 1,366 |
| Story5 | DSlbS6 | Combination | Max | X | 0,000858 | 0,000626 | 1,37 |
| Story5 | DSlbS6 | Combination | Max | Y | 0,001303 | 0,001245 | 1,046 |
| Story5 | DSlbS6 | Combination | Min | X | 0,00094 | 0,000673 | 1,398 |
| Story5 | DSlbS6 | Combination | Min | Y | 0,002774 | 0,002719 | 1,02 |
| Story5 | DSlbS7 | Combination | Max | X | 0,002884 | 0,002093 | 1,378 |
| Story5 | DSlbS7 | Combination | Max | Y | 0,001342 | 0,000598 | 2,243 |
| Story5 | DSlbS7 | Combination | Min | X | 0,002968 | 0,002139 | 1,387 |
| Story5 | DSlbS7 | Combination | Min | Y | 0,002863 | 0,002096 | 1,366 |
| Story5 | DSlbS8 | Combination | Max | X | 0,000858 | 0,000626 | 1,37 |
| Story5 | DSlbS8 | Combination | Max | Y | 0,001303 | 0,001245 | 1,046 |
| Story5 | DSlbS8 | Combination | Min | X | 0,00094 | 0,000673 | 1,398 |
| Story5 | DSlbS8 | Combination | Min | Y | 0,002774 | 0,002719 | 1,02 |
| Story5 | DConS1 | Combination | | Y | 0,00103 | 0,000989 | 1,042 |
| Story5 | DConS2 | Combination | | Y | 0,00129 | 0,001224 | 1,053 |
| Story5 | DConS3 | Combination | Max | X | 0,002884 | 0,002096 | 1,376 |
| Story5 | DConS3 | Combination | Max | Y | 0,00129 | 0,000549 | 2,352 |
| Story5 | DConS3 | Combination | Min | X | 0,002967 | 0,002135 | 1,39 |
| Story5 | DConS3 | Combination | Min | Y | 0,002915 | 0,002146 | 1,359 |
| Story5 | DConS4 | Combination | Max | X | 0,000859 | 0,00063 | 1,363 |
| Story5 | DConS4 | Combination | Max | Y | 0,001261 | 0,001199 | 1,052 |
| Story5 | DConS4 | Combination | Min | X | 0,00094 | 0,000669 | 1,405 |
| Story5 | DConS4 | Combination | Min | Y | 0,002826 | 0,002767 | 1,021 |

| Story | Output Case | Case Type | Step Type | Direction | Max Drift m | Avg Drift m | Ratio |
|---|---|---|---|---|---|---|---|
| Story5 | DConS5 | Combination | Max | X | 0,002884 | 0,002093 | 1,378 |
| Story5 | DConS5 | Combination | Max | Y | 0,001342 | 0,000598 | 2,243 |
| Story5 | DConS5 | Combination | Min | X | 0,002968 | 0,002139 | 1,387 |
| Story5 | DConS5 | Combination | Min | Y | 0,002863 | 0,002096 | 1,366 |
| Story5 | DConS6 | Combination | Max | X | 0,000858 | 0,000626 | 1,37 |
| Story5 | DConS6 | Combination | Max | Y | 0,001303 | 0,001245 | 1,046 |
| Story5 | DConS6 | Combination | Min | X | 0,00094 | 0,000673 | 1,398 |
| Story5 | DConS6 | Combination | Min | Y | 0,002774 | 0,002719 | 1,02 |
| Story5 | DConS7 | Combination | Max | X | 0,002884 | 0,002093 | 1,378 |
| Story5 | DConS7 | Combination | Max | Y | 0,001342 | 0,000598 | 2,243 |
| Story5 | DConS7 | Combination | Min | X | 0,002968 | 0,002139 | 1,387 |
| Story5 | DConS7 | Combination | Min | Y | 0,002863 | 0,002096 | 1,366 |
| Story5 | DConS8 | Combination | Max | X | 0,000858 | 0,000626 | 1,37 |
| Story5 | DConS8 | Combination | Max | Y | 0,001303 | 0,001245 | 1,046 |
| Story5 | DConS8 | Combination | Min | X | 0,00094 | 0,000673 | 1,398 |
| Story5 | DConS8 | Combination | Min | Y | 0,002774 | 0,002719 | 1,02 |
| Story4 | Dead | LinStatic | | Y | 0,000662 | 0,000634 | 1,044 |
| Story4 | Live | LinStatic | | Y | 0,00015 | 0,000136 | 1,098 |
| Story4 | E-x | LinRespSpec | Max | X | 0,002802 | 0,002028 | 1,382 |
| Story4 | E-x | LinRespSpec | Max | Y | 0,002006 | 0,001278 | 1,57 |
| Story4 | E-y | LinRespSpec | Max | X | 0,000861 | 0,000626 | 1,375 |
| Story4 | E-y | LinRespSpec | Max | Y | 0,001861 | 0,001824 | 1,02 |
| Story4 | DSlbS1 | Combination | | Y | 0,000894 | 0,000856 | 1,044 |
| Story4 | DSlbS2 | Combination | | Y | 0,001118 | 0,001061 | 1,054 |
| Story4 | DSlbS3 | Combination | Max | X | 0,002763 | 0,002008 | 1,376 |
| Story4 | DSlbS3 | Combination | Max | Y | 0,001301 | 0,000584 | 2,23 |
| Story4 | DSlbS3 | Combination | Min | X | 0,002842 | 0,002046 | 1,389 |
| Story4 | DSlbS3 | Combination | Min | Y | 0,002711 | 0,001969 | 1,377 |
| Story4 | DSlbS4 | Combination | Max | X | 0,000823 | 0,000604 | 1,361 |
| Story4 | DSlbS4 | Combination | Max | Y | 0,001202 | 0,00115 | 1,045 |
| Story4 | DSlbS4 | Combination | Min | X | 0,000899 | 0,000643 | 1,397 |
| Story4 | DSlbS4 | Combination | Min | Y | 0,002567 | 0,002509 | 1,023 |
| Story4 | DSlbS5 | Combination | Max | X | 0,002762 | 0,002005 | 1,377 |
| Story4 | DSlbS5 | Combination | Max | Y | 0,001346 | 0,000627 | 2,148 |
| Story4 | DSlbS5 | Combination | Min | X | 0,002843 | 0,002049 | 1,387 |
| Story4 | DSlbS5 | Combination | Min | Y | 0,002666 | 0,001926 | 1,384 |
| Story4 | DSlbS6 | Combination | Max | X | 0,000822 | 0,000602 | 1,367 |
| Story4 | DSlbS6 | Combination | Max | Y | 0,001238 | 0,00119 | 1,041 |
| Story4 | DSlbS6 | Combination | Min | X | 0,000899 | 0,000646 | 1,392 |
| Story4 | DSlbS6 | Combination | Min | Y | 0,002522 | 0,002468 | 1,022 |
| Story4 | DSlbS7 | Combination | Max | X | 0,002762 | 0,002005 | 1,377 |
| Story4 | DSlbS7 | Combination | Max | Y | 0,001346 | 0,000627 | 2,148 |
| Story4 | DSlbS7 | Combination | Min | X | 0,002843 | 0,002049 | 1,387 |
| Story4 | DSlbS7 | Combination | Min | Y | 0,002666 | 0,001926 | 1,384 |
| Story4 | DSlbS8 | Combination | Max | X | 0,000822 | 0,000602 | 1,367 |
| Story4 | DSlbS8 | Combination | Max | Y | 0,001238 | 0,00119 | 1,041 |
| Story4 | DSlbS8 | Combination | Min | X | 0,000899 | 0,000646 | 1,392 |
| Story4 | DSlbS8 | Combination | Min | Y | 0,002522 | 0,002468 | 1,022 |
| Story4 | DConS1 | Combination | | Y | 0,000894 | 0,000856 | 1,044 |
| Story4 | DConS2 | Combination | | Y | 0,001118 | 0,001061 | 1,054 |
| Story4 | DConS3 | Combination | Max | X | 0,002763 | 0,002008 | 1,376 |
| Story4 | DConS3 | Combination | Max | Y | 0,001301 | 0,000584 | 2,23 |
| Story4 | DConS3 | Combination | Min | X | 0,002842 | 0,002046 | 1,389 |
| Story4 | DConS3 | Combination | Min | Y | 0,002711 | 0,001969 | 1,377 |
| Story4 | DConS4 | Combination | Max | X | 0,000823 | 0,000604 | 1,361 |
| Story4 | DConS4 | Combination | Max | Y | 0,001202 | 0,00115 | 1,045 |
| Story4 | DConS4 | Combination | Min | X | 0,000899 | 0,000643 | 1,397 |
| Story4 | DConS4 | Combination | Min | Y | 0,002567 | 0,002509 | 1,023 |
| Story4 | DConS5 | Combination | Max | X | 0,002762 | 0,002005 | 1,377 |

| Story | Output Case | Case Type | Step Type | Direction | Max Drift m | Avg Drift m | Ratio |
|---|---|---|---|---|---|---|---|
| Story4 | DConS5 | Combination | Max | Y | 0,001346 | 0,000627 | 2,148 |
| Story4 | DConS5 | Combination | Min | X | 0,002843 | 0,002049 | 1,387 |
| Story4 | DConS5 | Combination | Min | Y | 0,002666 | 0,001926 | 1,384 |
| Story4 | DConS6 | Combination | Max | X | 0,000822 | 0,000602 | 1,367 |
| Story4 | DConS6 | Combination | Max | Y | 0,001238 | 0,00119 | 1,041 |
| Story4 | DConS6 | Combination | Min | X | 0,000899 | 0,000646 | 1,392 |
| Story4 | DConS6 | Combination | Min | Y | 0,002522 | 0,002468 | 1,022 |
| Story4 | DConS7 | Combination | Max | X | 0,002762 | 0,002005 | 1,377 |
| Story4 | DConS7 | Combination | Max | Y | 0,001346 | 0,000627 | 2,148 |
| Story4 | DConS7 | Combination | Min | X | 0,002843 | 0,002049 | 1,387 |
| Story4 | DConS7 | Combination | Min | Y | 0,002666 | 0,001926 | 1,384 |
| Story4 | DConS8 | Combination | Max | X | 0,000822 | 0,000602 | 1,367 |
| Story4 | DConS8 | Combination | Max | Y | 0,001238 | 0,00119 | 1,041 |
| Story4 | DConS8 | Combination | Min | X | 0,000899 | 0,000646 | 1,392 |
| Story4 | DConS8 | Combination | Min | Y | 0,002522 | 0,002468 | 1,022 |
| Story3 | Dead | LinStatic | | Y | 0,000569 | 0,000531 | 1,071 |
| Story3 | Live | LinStatic | | Y | 0,000127 | 0,000115 | 1,106 |
| Story3 | E-x | LinRespSpec | Max | X | 0,00263 | 0,00186 | 1,414 |
| Story3 | E-x | LinRespSpec | Max | Y | 0,001917 | 0,001192 | 1,608 |
| Story3 | E-y | LinRespSpec | Max | X | 0,000811 | 0,000571 | 1,419 |
| Story3 | E-y | LinRespSpec | Max | Y | 0,001724 | 0,001618 | 1,065 |
| Story3 | DSlbS1 | Combination | | Y | 0,000768 | 0,000717 | 1,071 |
| Story3 | DSlbS2 | Combination | | Y | 0,000958 | 0,000889 | 1,078 |
| Story3 | DSlbS3 | Combination | Max | X | 0,002602 | 0,001829 | 1,422 |
| Story3 | DSlbS3 | Combination | Max | Y | 0,00131 | 0,000616 | 2,126 |
| Story3 | DSlbS3 | Combination | Min | X | 0,002687 | 0,001878 | 1,431 |
| Story3 | DSlbS3 | Combination | Min | Y | 0,002523 | 0,001765 | 1,429 |
| Story3 | DSlbS4 | Combination | Max | X | 0,000786 | 0,000542 | 1,45 |
| Story3 | DSlbS4 | Combination | Max | Y | 0,001143 | 0,001058 | 1,08 |
| Story3 | DSlbS4 | Combination | Min | X | 0,00086 | 0,000604 | 1,424 |
| Story3 | DSlbS4 | Combination | Min | Y | 0,00233 | 0,002188 | 1,065 |
| Story3 | DSlbS5 | Combination | Max | X | 0,0026 | 0,001827 | 1,423 |
| Story3 | DSlbS5 | Combination | Max | Y | 0,001348 | 0,000652 | 2,069 |
| Story3 | DSlbS5 | Combination | Min | X | 0,002686 | 0,00188 | 1,428 |
| Story3 | DSlbS5 | Combination | Min | Y | 0,002485 | 0,00173 | 1,437 |
| Story3 | DSlbS6 | Combination | Max | X | 0,000785 | 0,00054 | 1,452 |
| Story3 | DSlbS6 | Combination | Max | Y | 0,001174 | 0,001091 | 1,076 |
| Story3 | DSlbS6 | Combination | Min | X | 0,000859 | 0,000606 | 1,417 |
| Story3 | DSlbS6 | Combination | Min | Y | 0,002292 | 0,002152 | 1,065 |
| Story3 | DSlbS7 | Combination | Max | X | 0,0026 | 0,001827 | 1,423 |
| Story3 | DSlbS7 | Combination | Max | Y | 0,001348 | 0,000652 | 2,069 |
| Story3 | DSlbS7 | Combination | Min | X | 0,002686 | 0,00188 | 1,428 |
| Story3 | DSlbS7 | Combination | Min | Y | 0,002485 | 0,00173 | 1,437 |
| Story3 | DSlbS8 | Combination | Max | X | 0,000785 | 0,00054 | 1,452 |
| Story3 | DSlbS8 | Combination | Max | Y | 0,001174 | 0,001091 | 1,076 |
| Story3 | DSlbS8 | Combination | Min | X | 0,000859 | 0,000606 | 1,417 |
| Story3 | DSlbS8 | Combination | Min | Y | 0,002292 | 0,002152 | 1,065 |
| Story3 | DConS1 | Combination | | Y | 0,000768 | 0,000717 | 1,071 |
| Story3 | DConS2 | Combination | | Y | 0,000958 | 0,000889 | 1,078 |
| Story3 | DConS3 | Combination | Max | X | 0,002602 | 0,001829 | 1,422 |
| Story3 | DConS3 | Combination | Max | Y | 0,00131 | 0,000616 | 2,126 |
| Story3 | DConS3 | Combination | Min | X | 0,002687 | 0,001878 | 1,431 |
| Story3 | DConS3 | Combination | Min | Y | 0,002523 | 0,001765 | 1,429 |
| Story3 | DConS4 | Combination | Max | X | 0,000786 | 0,000542 | 1,45 |
| Story3 | DConS4 | Combination | Max | Y | 0,001143 | 0,001058 | 1,08 |
| Story3 | DConS4 | Combination | Min | X | 0,00086 | 0,000604 | 1,424 |
| Story3 | DConS4 | Combination | Min | Y | 0,00233 | 0,002188 | 1,065 |
| Story3 | DConS5 | Combination | Max | X | 0,0026 | 0,001827 | 1,423 |
| Story3 | DConS5 | Combination | Max | Y | 0,001348 | 0,000652 | 2,069 |

| Story | Output Case | Case Type | Step Type | Direction | Max Drift m | Avg Drift m | Ratio |
|---|---|---|---|---|---|---|---|
| Story3 | DConS5 | Combination | Min | X | 0,002686 | 0,00188 | 1,428 |
| Story3 | DConS5 | Combination | Min | Y | 0,002485 | 0,00173 | 1,437 |
| Story3 | DConS6 | Combination | Max | X | 0,000785 | 0,00054 | 1,452 |
| Story3 | DConS6 | Combination | Max | Y | 0,001174 | 0,001091 | 1,076 |
| Story3 | DConS6 | Combination | Min | X | 0,000859 | 0,000606 | 1,417 |
| Story3 | DConS6 | Combination | Min | Y | 0,002292 | 0,002152 | 1,065 |
| Story3 | DConS7 | Combination | Max | X | 0,0026 | 0,001827 | 1,423 |
| Story3 | DConS7 | Combination | Max | Y | 0,001348 | 0,000652 | 2,069 |
| Story3 | DConS7 | Combination | Min | X | 0,002686 | 0,00188 | 1,428 |
| Story3 | DConS7 | Combination | Min | Y | 0,002485 | 0,00173 | 1,437 |
| Story3 | DConS8 | Combination | Max | X | 0,000785 | 0,00054 | 1,452 |
| Story3 | DConS8 | Combination | Max | Y | 0,001174 | 0,001091 | 1,076 |
| Story3 | DConS8 | Combination | Min | X | 0,000859 | 0,000606 | 1,417 |
| Story3 | DConS8 | Combination | Min | Y | 0,002292 | 0,002152 | 1,065 |
| Story2 | Dead | LinStatic | | Y | 0,000432 | 0,000367 | 1,176 |
| Story2 | Live | LinStatic | | Y | 9,3E-05 | 7,9E-05 | 1,175 |
| Story2 | E-x | LinRespSpec | Max | X | 0,001778 | 0,001282 | 1,387 |
| Story2 | E-x | LinRespSpec | Max | Y | 0,001349 | 0,000824 | 1,638 |
| Story2 | E-y | LinRespSpec | Max | X | 0,000573 | 0,000408 | 1,405 |
| Story2 | E-y | LinRespSpec | Max | Y | 0,001313 | 0,00114 | 1,151 |
| Story2 | DSlbS1 | Combination | | Y | 0,000583 | 0,000496 | 1,176 |
| Story2 | DSlbS2 | Combination | | Y | 0,000723 | 0,000615 | 1,176 |
| Story2 | DSlbS3 | Combination | Max | X | 0,001752 | 0,001252 | 1,4 |
| Story2 | DSlbS3 | Combination | Max | Y | 0,000944 | 0,000457 | 2,068 |
| Story2 | DSlbS3 | Combination | Min | X | 0,001826 | 0,001296 | 1,409 |
| Story2 | DSlbS3 | Combination | Min | Y | 0,001797 | 0,001209 | 1,486 |
| Story2 | DSlbS4 | Combination | Max | X | 0,000561 | 0,000384 | 1,46 |
| Story2 | DSlbS4 | Combination | Max | Y | 0,000923 | 0,00078 | 1,184 |
| Story2 | DSlbS4 | Combination | Min | X | 0,000601 | 0,000412 | 1,459 |
| Story2 | DSlbS4 | Combination | Min | Y | 0,001759 | 0,001527 | 1,152 |
| Story2 | DSlbS5 | Combination | Max | X | 0,001752 | 0,001252 | 1,399 |
| Story2 | DSlbS5 | Combination | Max | Y | 0,000968 | 0,000479 | 2,021 |
| Story2 | DSlbS5 | Combination | Min | X | 0,001825 | 0,001297 | 1,407 |
| Story2 | DSlbS5 | Combination | Min | Y | 0,00177 | 0,001186 | 1,493 |
| Story2 | DSlbS6 | Combination | Max | X | 0,000561 | 0,000384 | 1,459 |
| Story2 | DSlbS6 | Combination | Max | Y | 0,000943 | 0,000801 | 1,178 |
| Story2 | DSlbS6 | Combination | Min | X | 0,000599 | 0,000412 | 1,453 |
| Story2 | DSlbS6 | Combination | Min | Y | 0,001732 | 0,001503 | 1,152 |
| Story2 | DSlbS7 | Combination | Max | X | 0,001752 | 0,001252 | 1,399 |
| Story2 | DSlbS7 | Combination | Max | Y | 0,000968 | 0,000479 | 2,021 |
| Story2 | DSlbS7 | Combination | Min | X | 0,001825 | 0,001297 | 1,407 |
| Story2 | DSlbS7 | Combination | Min | Y | 0,00177 | 0,001186 | 1,493 |
| Story2 | DSlbS8 | Combination | Max | X | 0,000561 | 0,000384 | 1,459 |
| Story2 | DSlbS8 | Combination | Max | Y | 0,000943 | 0,000801 | 1,178 |
| Story2 | DSlbS8 | Combination | Min | X | 0,000599 | 0,000412 | 1,453 |
| Story2 | DSlbS8 | Combination | Min | Y | 0,001732 | 0,001503 | 1,152 |
| Story2 | DConS1 | Combination | | Y | 0,000583 | 0,000496 | 1,176 |
| Story2 | DConS2 | Combination | | Y | 0,000723 | 0,000615 | 1,176 |
| Story2 | DConS3 | Combination | Max | X | 0,001752 | 0,001252 | 1,4 |
| Story2 | DConS3 | Combination | Max | Y | 0,000944 | 0,000457 | 2,068 |
| Story2 | DConS3 | Combination | Min | X | 0,001826 | 0,001296 | 1,409 |
| Story2 | DConS3 | Combination | Min | Y | 0,001797 | 0,001209 | 1,486 |
| Story2 | DConS4 | Combination | Max | X | 0,000561 | 0,000384 | 1,46 |
| Story2 | DConS4 | Combination | Max | Y | 0,000923 | 0,00078 | 1,184 |
| Story2 | DConS4 | Combination | Min | X | 0,000601 | 0,000412 | 1,459 |
| Story2 | DConS4 | Combination | Min | Y | 0,001759 | 0,001527 | 1,152 |
| Story2 | DConS5 | Combination | Max | X | 0,001752 | 0,001252 | 1,399 |
| Story2 | DConS5 | Combination | Max | Y | 0,000968 | 0,000479 | 2,021 |
| Story2 | DConS5 | Combination | Min | X | 0,001825 | 0,001297 | 1,407 |

| Story | Output Case | Case Type | Step Type | Direction | Max Drift m | Avg Drift m | Ratio |
|---|---|---|---|---|---|---|---|
| Story2 | DConS5 | Combination | Min | Y | 0,00177 | 0,001186 | 1,493 |
| Story2 | DConS6 | Combination | Max | X | 0,000561 | 0,000384 | 1,459 |
| Story2 | DConS6 | Combination | Max | Y | 0,000943 | 0,000801 | 1,178 |
| Story2 | DConS6 | Combination | Min | X | 0,000599 | 0,000412 | 1,453 |
| Story2 | DConS6 | Combination | Min | Y | 0,001732 | 0,001503 | 1,152 |
| Story2 | DConS7 | Combination | Max | X | 0,001752 | 0,001252 | 1,399 |
| Story2 | DConS7 | Combination | Max | Y | 0,000968 | 0,000479 | 2,021 |
| Story2 | DConS7 | Combination | Min | X | 0,001825 | 0,001297 | 1,407 |
| Story2 | DConS7 | Combination | Min | Y | 0,00177 | 0,001186 | 1,493 |
| Story2 | DConS8 | Combination | Max | X | 0,000561 | 0,000384 | 1,459 |
| Story2 | DConS8 | Combination | Max | Y | 0,000943 | 0,000801 | 1,178 |
| Story2 | DConS8 | Combination | Min | X | 0,000599 | 0,000412 | 1,453 |
| Story2 | DConS8 | Combination | Min | Y | 0,001732 | 0,001503 | 1,152 |
| Story1 | Dead | LinStatic | | Y | 0,000168 | 9,7E-05 | 1,736 |
| Story1 | Live | LinStatic | | Y | 3,6E-05 | 2E-05 | 1,745 |
| Story1 | E-x | LinRespSpec | Max | X | 0,000293 | 0,000179 | 1,641 |
| Story1 | E-x | LinRespSpec | Max | Y | 0,000298 | 0,000185 | 1,612 |
| Story1 | E-y | LinRespSpec | Max | X | 0,000179 | 0,0001 | 1,79 |
| Story1 | E-y | LinRespSpec | Max | Y | 0,000481 | 0,000288 | 1,67 |
| Story1 | DSlbS1 | Combination | | Y | 0,000227 | 0,000131 | 1,736 |
| Story1 | DSlbS2 | Combination | | Y | 0,00028 | 0,000161 | 1,738 |
| Story1 | DSlbS3 | Combination | Max | X | 0,000292 | 0,000171 | 1,705 |
| Story1 | DSlbS3 | Combination | Max | Y | 0,000218 | 9,5E-05 | 2,295 |
| Story1 | DSlbS3 | Combination | Min | X | 0,000319 | 0,000191 | 1,671 |
| Story1 | DSlbS3 | Combination | Min | Y | 0,000417 | 0,000264 | 1,577 |
| Story1 | DSlbS4 | Combination | Max | X | 0,000197 | 0,000106 | 1,856 |
| Story1 | DSlbS4 | Combination | Max | Y | 0,000368 | 0,000191 | 1,933 |
| Story1 | DSlbS4 | Combination | Min | X | 0,000186 | 0,000102 | 1,815 |
| Story1 | DSlbS4 | Combination | Min | Y | 0,00066 | 0,000397 | 1,664 |
| Story1 | DSlbS5 | Combination | Max | X | 0,000291 | 0,000171 | 1,701 |
| Story1 | DSlbS5 | Combination | Max | Y | 0,000223 | 0,000103 | 2,169 |
| Story1 | DSlbS5 | Combination | Min | X | 0,000317 | 0,00019 | 1,67 |
| Story1 | DSlbS5 | Combination | Min | Y | 0,000408 | 0,000259 | 1,575 |
| Story1 | DSlbS6 | Combination | Max | X | 0,000196 | 0,000106 | 1,845 |
| Story1 | DSlbS6 | Combination | Max | Y | 0,000373 | 0,000196 | 1,909 |
| Story1 | DSlbS6 | Combination | Min | X | 0,000184 | 0,000101 | 1,813 |
| Story1 | DSlbS6 | Combination | Min | Y | 0,000649 | 0,00039 | 1,663 |
| Story1 | DSlbS7 | Combination | Max | X | 0,000291 | 0,000171 | 1,701 |
| Story1 | DSlbS7 | Combination | Max | Y | 0,000223 | 0,000103 | 2,169 |
| Story1 | DSlbS7 | Combination | Min | X | 0,000317 | 0,00019 | 1,67 |
| Story1 | DSlbS7 | Combination | Min | Y | 0,000408 | 0,000259 | 1,575 |
| Story1 | DSlbS8 | Combination | Max | X | 0,000196 | 0,000106 | 1,845 |
| Story1 | DSlbS8 | Combination | Max | Y | 0,000373 | 0,000196 | 1,909 |
| Story1 | DSlbS8 | Combination | Min | X | 0,000184 | 0,000101 | 1,813 |
| Story1 | DSlbS8 | Combination | Min | Y | 0,000649 | 0,00039 | 1,663 |
| Story1 | DConS1 | Combination | | Y | 0,000227 | 0,000131 | 1,736 |
| Story1 | DConS2 | Combination | | Y | 0,00028 | 0,000161 | 1,738 |
| Story1 | DConS3 | Combination | Max | X | 0,000292 | 0,000171 | 1,705 |
| Story1 | DConS3 | Combination | Max | Y | 0,000218 | 9,5E-05 | 2,295 |
| Story1 | DConS3 | Combination | Min | X | 0,000319 | 0,000191 | 1,671 |
| Story1 | DConS3 | Combination | Min | Y | 0,000417 | 0,000264 | 1,577 |
| Story1 | DConS4 | Combination | Max | X | 0,000197 | 0,000106 | 1,856 |
| Story1 | DConS4 | Combination | Max | Y | 0,000368 | 0,000191 | 1,933 |
| Story1 | DConS4 | Combination | Min | X | 0,000186 | 0,000102 | 1,815 |
| Story1 | DConS4 | Combination | Min | Y | 0,00066 | 0,000397 | 1,664 |
| Story1 | DConS5 | Combination | Max | X | 0,000291 | 0,000171 | 1,701 |
| Story1 | DConS5 | Combination | Max | Y | 0,000223 | 0,000103 | 2,169 |
| Story1 | DConS5 | Combination | Min | X | 0,000317 | 0,00019 | 1,67 |
| Story1 | DConS5 | Combination | Min | Y | 0,000408 | 0,000259 | 1,575 |

| Story | Output Case | Case Type | Step Type | Direction | Max Drift m | Avg Drift m | Ratio |
|---|---|---|---|---|---|---|---|
| Story1 | DConS6 | Combination | Max | X | 0,000196 | 0,000106 | 1,845 |
| Story1 | DConS6 | Combination | Max | Y | 0,000373 | 0,000196 | 1,909 |
| Story1 | DConS6 | Combination | Min | X | 0,000184 | 0,000101 | 1,813 |
| Story1 | DConS6 | Combination | Min | Y | 0,000649 | 0,00039 | 1,663 |
| Story1 | DConS7 | Combination | Max | X | 0,000291 | 0,000171 | 1,701 |
| Story1 | DConS7 | Combination | Max | Y | 0,000223 | 0,000103 | 2,169 |
| Story1 | DConS7 | Combination | Min | X | 0,000317 | 0,00019 | 1,67 |
| Story1 | DConS7 | Combination | Min | Y | 0,000408 | 0,000259 | 1,575 |
| Story1 | DConS8 | Combination | Max | X | 0,000196 | 0,000106 | 1,845 |
| Story1 | DConS8 | Combination | Max | Y | 0,000373 | 0,000196 | 1,909 |
| Story1 | DConS8 | Combination | Min | X | 0,000184 | 0,000101 | 1,813 |
| Story1 | DConS8 | Combination | Min | Y | 0,000649 | 0,00039 | 1,663 |

| Story | Location | Output Case | Case Type | Step Type | P kgf | VX kgf | VY kgf | T kgf-cm | MX kgf-cm |
|---|---|---|---|---|---|---|---|---|---|
| +21.70 | Top | Dead | LinStatic | | 14424,6 | 0 | 0 | 0 | 18920059,55 |
| +21.70 | Bottom | Dead | LinStatic | | 45991,71 | 0 | 0 | 0 | 63011135,87 |
| +21.70 | Top | Live | LinStatic | | 3109,6 | 0 | 0 | 0 | 4179302,31 |
| +21.70 | Bottom | Live | LinStatic | | 10023,68 | 0 | 0 | 0 | 13836485,36 |
| +21.70 | Top | E-x | LinRespSpec | Max | 0 | 3082,19 | 1728,1 | 4604053,56 | 0 |
| +21.70 | Bottom | E-x | LinRespSpec | Max | 0 | 3082,19 | 1728,1 | 4604053,56 | 397463,77 |
| +21.70 | Top | E-y | LinRespSpec | Max | 0 | 1017,07 | 5101,08 | 8676909,79 | 0 |
| +21.70 | Bottom | E-y | LinRespSpec | Max | 0 | 1017,07 | 5101,08 | 8676909,79 | 1173249,42 |
| +21.70 | Top | DConS1 | Combination | | 19473,21 | 0 | 0 | 0 | 25542080,39 |
| +21.70 | Bottom | DConS1 | Combination | | 62088,81 | 0 | 0 | 0 | 85065033,43 |
| +21.70 | Top | DConS2 | Combination | | 24137,61 | 0 | 0 | 0 | 31811033,86 |
| +21.70 | Bottom | DConS2 | Combination | | 77124,33 | 0 | 0 | 5,812E-05 | 105819761,46 |
| +21.70 | Top | DConS3 | Combination | Max | 15357,48 | 3082,19 | 1728,1 | 4604053,56 | 20173850,24 |
| +21.70 | Bottom | DConS3 | Combination | Max | 48998,82 | 3082,19 | 1728,1 | 4604053,56 | 67559545,25 |
| +21.70 | Top | DConS3 | Combination | Min | 15357,48 | -3082,19 | -1728,1 | -4604053,56 | 20173850,24 |
| +21.70 | Bottom | DConS3 | Combination | Min | 48998,82 | -3082,19 | -1728,1 | -4604053,56 | 66764617,71 |
| +21.70 | Top | DConS4 | Combination | Max | 15357,48 | 1017,07 | 5101,08 | 8676909,79 | 20173850,24 |
| +21.70 | Bottom | DConS4 | Combination | Max | 48998,82 | 1017,07 | 5101,08 | 8676909,79 | 68335330,9 |
| +21.70 | Top | DConS4 | Combination | Min | 15357,48 | -1017,07 | -5101,08 | -8676909,79 | 20173850,24 |
| +21.70 | Bottom | DConS4 | Combination | Min | 48998,82 | -1017,07 | -5101,08 | -8676909,79 | 65988832,06 |
| +21.70 | Top | DConS5 | Combination | Max | 14424,6 | 3082,19 | 1728,1 | 4604053,56 | 18920059,55 |
| +21.70 | Bottom | DConS5 | Combination | Max | 45991,71 | 3082,19 | 1728,1 | 4604053,56 | 63408599,64 |
| +21.70 | Top | DConS5 | Combination | Min | 14424,6 | -3082,19 | -1728,1 | -4604053,56 | 18920059,55 |
| +21.70 | Bottom | DConS5 | Combination | Min | 45991,71 | -3082,19 | -1728,1 | -4604053,56 | 62613672,1 |
| +21.70 | Top | DConS6 | Combination | Max | 14424,6 | 1017,07 | 5101,08 | 8676909,79 | 18920059,55 |
| +21.70 | Bottom | DConS6 | Combination | Max | 45991,71 | 1017,07 | 5101,08 | 8676909,79 | 64184385,29 |
| +21.70 | Top | DConS6 | Combination | Min | 14424,6 | -1017,07 | -5101,08 | -8676909,79 | 18920059,55 |
| +21.70 | Bottom | DConS6 | Combination | Min | 45991,71 | -1017,07 | -5101,08 | -8676909,79 | 61837886,46 |
| +21.70 | Top | DConS7 | Combination | Max | 14424,6 | 3082,19 | 1728,1 | 4604053,56 | 18920059,55 |
| +21.70 | Bottom | DConS7 | Combination | Max | 45991,71 | 3082,19 | 1728,1 | 4604053,56 | 63408599,64 |
| +21.70 | Top | DConS7 | Combination | Min | 14424,6 | -3082,19 | -1728,1 | -4604053,56 | 18920059,55 |
| +21.70 | Bottom | DConS7 | Combination | Min | 45991,71 | -3082,19 | -1728,1 | -4604053,56 | 62613672,1 |
| +21.70 | Top | DConS8 | Combination | Max | 14424,6 | 1017,07 | 5101,08 | 8676909,79 | 18920059,55 |
| +21.70 | Bottom | DConS8 | Combination | Max | 45991,71 | 1017,07 | 5101,08 | 8676909,79 | 64184385,29 |
| +21.70 | Top | DConS8 | Combination | Min | 14424,6 | -1017,07 | -5101,08 | -8676909,79 | 18920059,55 |
| +21.70 | Bottom | DConS8 | Combination | Min | 45991,71 | -1017,07 | -5101,08 | -8676909,79 | 61837886,46 |
| +19.4 | Top | Dead | LinStatic | | 849577,42 | 0 | 0 | -0,01 | 897751740,43 |
| +19.4 | Bottom | Dead | LinStatic | | 1017659,69 | 0 | 0 | -0,01 | 1124262850 |
| +19.4 | Top | Live | LinStatic | | 196777,41 | 0 | 0 | 0,001471 | 208944900,06 |
| +19.4 | Bottom | Live | LinStatic | | 212081,72 | 0 | 0 | 0,00147 | 231280818,19 |
| +19.4 | Top | E-x | LinRespSpec | Max | 0 | 78434,24 | 36315,81 | 142168219,39 | 397463,77 |
| +19.4 | Bottom | E-x | LinRespSpec | Max | 0 | 78434,24 | 36315,81 | 142168219,39 | 12342754,36 |
| +19.4 | Top | E-y | LinRespSpec | Max | 0 | 25464,11 | 117265,23 | 230393842,95 | 1173249,42 |

| Story | Location | Output Case | Case Type | Step Type | P kgf | VX kgf | VY kgf | T kgf-cm | MX kgf-cm |
|---|---|---|---|---|---|---|---|---|---|
| +19.4 | Bottom | E-y | LinRespSpec | Max | 0 | 25464,11 | 117265,23 | 230393842,95 | 39840212,89 |
| +19.4 | Top | DConS1 | Combination | | 1146929,52 | 0 | 0 | -0,01 | 1211964850 |
| +19.4 | Bottom | DConS1 | Combination | | 1373840,58 | 0 | 0 | -0,01 | 1517754848 |
| +19.4 | Top | DConS2 | Combination | | 1442095,63 | 0 | 0 | -0,01 | 1525382200 |
| +19.4 | Bottom | DConS2 | Combination | | 1691963,16 | 0 | 0 | -0,01 | 1864676075 |
| +19.4 | Top | DConS3 | Combination | Max | 908610,64 | 78434,24 | 36315,81 | 142168219,38 | 960832674,22 |
| +19.4 | Bottom | DConS3 | Combination | Max | 1081284,2 | 78434,24 | 36315,81 | 142168219,38 | 1205989850 |
| +19.4 | Top | DConS3 | Combination | Min | 908610,64 | -78434,24 | -36315,81 | -142168219 | 960037746,68 |
| +19.4 | Bottom | DConS3 | Combination | Min | 1081284,2 | -78434,24 | -36315,81 | -142168219 | 1181304341 |
| +19.4 | Top | DConS4 | Combination | Max | 908610,64 | 25464,11 | 117265,23 | 230393842,94 | 961608459,87 |
| +19.4 | Bottom | DConS4 | Combination | Max | 1081284,2 | 25464,11 | 117265,23 | 230393842,94 | 1233487309 |
| +19.4 | Top | DConS4 | Combination | Min | 908610,64 | -25464,11 | -117265,23 | -230393843 | 959261961,03 |
| +19.4 | Bottom | DConS4 | Combination | Min | 1081284,2 | -25464,11 | -117265,23 | -230393843 | 1153806883 |
| +19.4 | Top | DConS5 | Combination | Max | 849577,42 | 78434,24 | 36315,81 | 142168219,38 | 898149204,2 |
| +19.4 | Bottom | DConS5 | Combination | Max | 1017659,69 | 78434,24 | 36315,81 | 142168219,38 | 1136605605 |
| +19.4 | Top | DConS5 | Combination | Min | 849577,42 | -78434,24 | -36315,81 | -142168219 | 897354276,66 |
| +19.4 | Bottom | DConS5 | Combination | Min | 1017659,69 | -78434,24 | -36315,81 | -142168219 | 1111920096 |
| +19.4 | Top | DConS6 | Combination | Max | 849577,42 | 25464,11 | 117265,23 | 230393842,94 | 898924989,85 |
| +19.4 | Bottom | DConS6 | Combination | Max | 1017659,69 | 25464,11 | 117265,23 | 230393842,94 | 1164103063 |
| +19.4 | Top | DConS6 | Combination | Min | 849577,42 | -25464,11 | -117265,23 | -230393843 | 896578491,02 |
| +19.4 | Bottom | DConS6 | Combination | Min | 1017659,69 | -25464,11 | -117265,23 | -230393843 | 1084422637 |
| +19.4 | Top | DConS7 | Combination | Max | 849577,42 | 78434,24 | 36315,81 | 142168219,38 | 898149204,2 |
| +19.4 | Bottom | DConS7 | Combination | Max | 1017659,69 | 78434,24 | 36315,81 | 142168219,38 | 1136605605 |
| +19.4 | Top | DConS7 | Combination | Min | 849577,42 | -78434,24 | -36315,81 | -142168219 | 897354276,66 |
| +19.4 | Bottom | DConS7 | Combination | Min | 1017659,69 | -78434,24 | -36315,81 | -142168219 | 1111920096 |
| +19.4 | Top | DConS8 | Combination | Max | 849577,42 | 25464,11 | 117265,23 | 230393842,94 | 898924989,85 |
| +19.4 | Bottom | DConS8 | Combination | Max | 1017659,69 | 25464,11 | 117265,23 | 230393842,94 | 1164103063 |
| +19.4 | Top | DConS8 | Combination | Min | 849577,42 | -25464,11 | -117265,23 | -230393843 | 896578491,02 |
| +19.4 | Bottom | DConS8 | Combination | Min | 1017659,69 | -25464,11 | -117265,23 | -230393843 | 1084422637 |
| +16.10 | Top | Dead | LinStatic | | 1805847,72 | 0 | 0 | -0,01 | 1927361220 |
| +16.10 | Bottom | Dead | LinStatic | | 1973929,99 | 0 | 0 | -0,01 | 2153872329 |
| +16.10 | Top | Live | LinStatic | | 393631,83 | 0 | 0 | 0,01 | 415695810,8 |
| +16.10 | Bottom | Live | LinStatic | | 408936,14 | 0 | 0 | 0,01 | 438031728,93 |
| +16.10 | Top | E-x | LinRespSpec | Max | 0 | 129907,69 | 59487,15 | 247198654,14 | 12342754,35 |
| +16.10 | Bottom | E-x | LinRespSpec | Max | 0 | 129907,69 | 59487,15 | 247198654,14 | 31660692,3 |
| +16.10 | Top | E-y | LinRespSpec | Max | 0 | 41371,39 | 193149,26 | 378021685,02 | 39840212,88 |
| +16.10 | Bottom | E-y | LinRespSpec | Max | 0 | 41371,39 | 193149,26 | 378021685,02 | 102656870,9 |
| +16.10 | Top | DConS1 | Combination | | 2437894,42 | 0 | 0 | -0,02 | 2601937647 |
| +16.10 | Bottom | DConS1 | Combination | | 2664805,48 | 0 | 0 | -0,02 | 2907727645 |
| +16.10 | Top | DConS2 | Combination | | 3028342,16 | 0 | 0 | -0,002559 | 3225481363 |
| +16.10 | Bottom | DConS2 | Combination | | 3278209,69 | 0 | 0 | -0,00253 | 3564775238 |
| +16.10 | Top | DConS3 | Combination | Max | 1923937,27 | 129907,69 | 59487,15 | 247198654,13 | 2064412717 |
| +16.10 | Bottom | DConS3 | Combination | Max | 2096610,83 | 129907,69 | 59487,15 | 247198654,13 | 2316942540 |
| +16.10 | Top | DConS3 | Combination | Min | 1923937,27 | -129907,69 | -59487,15 | -247198654 | 2039727209 |
| +16.10 | Bottom | DConS3 | Combination | Min | 2096610,83 | -129907,69 | -59487,15 | -247198654 | 2253621156 |
| +16.10 | Top | DConS4 | Combination | Max | 1923937,27 | 41371,39 | 193149,26 | 378021685,01 | 2091910176 |
| +16.10 | Bottom | DConS4 | Combination | Max | 2096610,83 | 41371,39 | 193149,26 | 378021685,01 | 2387938719 |
| +16.10 | Top | DConS4 | Combination | Min | 1923937,27 | -41371,39 | -193149,26 | -378021685 | 2012229750 |
| +16.10 | Bottom | DConS4 | Combination | Min | 2096610,83 | -41371,39 | -193149,26 | -378021685 | 2182624977 |
| +16.10 | Top | DConS5 | Combination | Max | 1805847,72 | 129907,69 | 59487,15 | 247198654,13 | 1939703974 |
| +16.10 | Bottom | DConS5 | Combination | Max | 1973929,99 | 129907,69 | 59487,15 | 247198654,13 | 2185533022 |
| +16.10 | Top | DConS5 | Combination | Min | 1805847,72 | -129907,69 | -59487,15 | -247198654 | 1915018465 |
| +16.10 | Bottom | DConS5 | Combination | Min | 1973929,99 | -129907,69 | -59487,15 | -247198654 | 2122211637 |
| +16.10 | Top | DConS6 | Combination | Max | 1805847,72 | 41371,39 | 193149,26 | 378021685 | 1967201433 |
| +16.10 | Bottom | DConS6 | Combination | Max | 1973929,99 | 41371,39 | 193149,26 | 378021685 | 2256529200 |
| +16.10 | Top | DConS6 | Combination | Min | 1805847,72 | -41371,39 | -193149,26 | -378021685 | 1887521007 |
| +16.10 | Bottom | DConS6 | Combination | Min | 1973929,99 | -41371,39 | -193149,26 | -378021685 | 2051215459 |
| +16.10 | Top | DConS7 | Combination | Max | 1805847,72 | 129907,69 | 59487,15 | 247198654,13 | 1939703974 |
| +16.10 | Bottom | DConS7 | Combination | Max | 1973929,99 | 129907,69 | 59487,15 | 247198654,13 | 2185533022 |
| +16.10 | Top | DConS7 | Combination | Min | 1805847,72 | -129907,69 | -59487,15 | -247198654 | 1915018465 |

| Story | Location | Output Case | Case Type | Step Type | P kgf | VX kgf | VY kgf | T kgf-cm | MX kgf-cm |
|---|---|---|---|---|---|---|---|---|---|
| +16.10 | Bottom | DConS7 | Combination | Min | 1973929,99 | -129907,69 | -59487,15 | -247198654 | 2122211637 |
| +16.10 | Top | DConS8 | Combination | Max | 1805847,72 | 41371,39 | 193149,26 | 378021685 | 1967201433 |
| +16.10 | Bottom | DConS8 | Combination | Max | 1973929,99 | 41371,39 | 193149,26 | 378021685 | 2256529200 |
| +16.10 | Top | DConS8 | Combination | Min | 1805847,72 | -41371,39 | -193149,26 | -378021685 | 1887521007 |
| +16.10 | Bottom | DConS8 | Combination | Min | 1973929,99 | -41371,39 | -193149,26 | -378021685 | 2051215459 |
| +12.80 | Top | Dead | LinStatic | | 2762118,01 | 0 | 0 | -0,02 | 2956970699 |
| +12.80 | Bottom | Dead | LinStatic | | 2930200,28 | 0 | 0 | -0,02 | 3183481808 |
| +12.80 | Top | Live | LinStatic | | 590486,25 | 0 | 0 | 0,02 | 622446721,49 |
| +12.80 | Bottom | Live | LinStatic | | 605790,56 | 0 | 0 | 0,02 | 644782639,62 |
| +12.80 | Top | E-x | LinRespSpec | Max | 5,917E-05 | 164711,77 | 75701,78 | 322291131,82 | 31660692,34 |
| +12.80 | Bottom | E-x | LinRespSpec | Max | 5,917E-05 | 164711,77 | 75701,78 | 322291131,82 | 55677296,12 |
| +12.80 | Top | E-y | LinRespSpec | Max | 8,371E-05 | 52195,02 | 246325,26 | 481419851,68 | 102656871,03 |
| +12.80 | Bottom | E-y | LinRespSpec | Max | 8,369E-05 | 52195,02 | 246325,26 | 481419851,68 | 181003080,93 |
| +12.80 | Top | DConS1 | Combination | | 3728859,32 | 0 | 0 | -0,02 | 3991910443 |
| +12.80 | Bottom | DConS1 | Combination | | 3955770,38 | 0 | 0 | -0,02 | 4297700441 |
| +12.80 | Top | DConS2 | Combination | | 4614588,7 | 0 | 0 | 0,003035 | 4925580525 |
| +12.80 | Bottom | DConS2 | Combination | | 4864456,22 | 0 | 0 | 0,003031 | 5264874401 |
| +12.80 | Top | DConS3 | Combination | Max | 2939263,89 | 164711,77 | 75701,78 | 322291131,81 | 3175365407 |
| +12.80 | Bottom | DConS3 | Combination | Max | 3111937,45 | 164711,77 | 75701,78 | 322291131,81 | 3432593896 |
| +12.80 | Top | DConS3 | Combination | Min | 2939263,89 | -164711,77 | -75701,78 | -322291132 | 3112044023 |
| +12.80 | Bottom | DConS3 | Combination | Min | 3111937,45 | -164711,77 | -75701,78 | -322291132 | 3321239304 |
| +12.80 | Top | DConS4 | Combination | Max | 2939263,89 | 52195,02 | 246325,26 | 481419851,67 | 3246361586 |
| +12.80 | Bottom | DConS4 | Combination | Max | 3111937,45 | 52195,02 | 246325,26 | 481419851,67 | 3557919681 |
| +12.80 | Top | DConS4 | Combination | Min | 2939263,89 | -52195,02 | -246325,26 | -481419852 | 3041047844 |
| +12.80 | Bottom | DConS4 | Combination | Min | 3111937,45 | -52195,02 | -246325,26 | -481419852 | 3195913519 |
| +12.80 | Top | DConS5 | Combination | Max | 2762118,01 | 164711,77 | 75701,78 | 322291131,8 | 2988631391 |
| +12.80 | Bottom | DConS5 | Combination | Max | 2930200,28 | 164711,77 | 75701,78 | 322291131,8 | 3239159105 |
| +12.80 | Top | DConS5 | Combination | Min | 2762118,01 | -164711,77 | -75701,78 | -322291132 | 2925310006 |
| +12.80 | Bottom | DConS5 | Combination | Min | 2930200,28 | -164711,77 | -75701,78 | -322291132 | 3127804512 |
| +12.80 | Top | DConS6 | Combination | Max | 2762118,01 | 52195,02 | 246325,26 | 481419851,66 | 3059627570 |
| +12.80 | Bottom | DConS6 | Combination | Max | 2930200,28 | 52195,02 | 246325,26 | 481419851,66 | 3364484889 |
| +12.80 | Top | DConS6 | Combination | Min | 2762118,01 | -52195,02 | -246325,26 | -481419852 | 2854313828 |
| +12.80 | Bottom | DConS6 | Combination | Min | 2930200,28 | -52195,02 | -246325,26 | -481419852 | 3002478728 |
| +12.80 | Top | DConS7 | Combination | Max | 2762118,01 | 164711,77 | 75701,78 | 322291131,8 | 2988631391 |
| +12.80 | Bottom | DConS7 | Combination | Max | 2930200,28 | 164711,77 | 75701,78 | 322291131,8 | 3239159105 |
| +12.80 | Top | DConS7 | Combination | Min | 2762118,01 | -164711,77 | -75701,78 | -322291132 | 2925310006 |
| +12.80 | Bottom | DConS7 | Combination | Min | 2930200,28 | -164711,77 | -75701,78 | -322291132 | 3127804512 |
| +12.80 | Top | DConS8 | Combination | Max | 2762118,01 | 52195,02 | 246325,26 | 481419851,66 | 3059627570 |
| +12.80 | Bottom | DConS8 | Combination | Max | 2930200,28 | 52195,02 | 246325,26 | 481419851,66 | 3364484889 |
| +12.80 | Top | DConS8 | Combination | Min | 2762118,01 | -52195,02 | -246325,26 | -481419852 | 2854313828 |
| +12.80 | Bottom | DConS8 | Combination | Min | 2930200,28 | -52195,02 | -246325,26 | -481419852 | 3002478728 |
| +9.50 | Top | Dead | LinStatic | | 3718388,31 | 0 | 0 | -0,02 | 3986580178 |
| +9.50 | Bottom | Dead | LinStatic | | 3886470,58 | 0 | 0 | -0,02 | 4213091288 |
| +9.50 | Top | Live | LinStatic | | 787340,67 | 0 | 0 | 0,02 | 829197632,21 |
| +9.50 | Bottom | Live | LinStatic | | 802644,98 | 0 | 0 | 0,02 | 851533550,34 |
| +9.50 | Top | E-x | LinRespSpec | Max | 7,241E-05 | 192744,33 | 88871,65 | 380769857,99 | 55677296,13 |
| +9.50 | Bottom | E-x | LinRespSpec | Max | 7,24E-05 | 192744,33 | 88871,65 | 380769857,99 | 83223449,69 |
| +9.50 | Top | E-y | LinRespSpec | Max | 9,598E-05 | 61043,06 | 289223,48 | 565031760,86 | 181003080,95 |
| +9.50 | Bottom | E-y | LinRespSpec | Max | 9,597E-05 | 61043,06 | 289223,48 | 565031760,86 | 270894635,22 |
| +9.50 | Top | DConS1 | Combination | | 5019824,22 | 0 | 0 | -0,03 | 5381883240 |
| +9.50 | Bottom | DConS1 | Combination | | 5246735,28 | 0 | 0 | -0,03 | 5687673238 |
| +9.50 | Top | DConS2 | Combination | | 6200835,23 | 0 | 0 | -0,004654 | 6625679688 |
| +9.50 | Bottom | DConS2 | Combination | | 6450702,75 | 0 | 0 | -0,004659 | 6964973564 |
| +9.50 | Top | DConS3 | Combination | Max | 3954590,51 | 192744,33 | 88871,65 | 380769857,98 | 4291016764 |
| +9.50 | Bottom | DConS3 | Combination | Max | 4127264,07 | 192744,33 | 88871,65 | 380769857,98 | 4551774802 |
| +9.50 | Top | DConS3 | Combination | Min | 3954590,51 | -192744,33 | -88871,65 | -380769858 | 4179662171 |
| +9.50 | Bottom | DConS3 | Combination | Min | 4127264,07 | -192744,33 | -88871,65 | -380769858 | 4385327903 |
| +9.50 | Top | DConS4 | Combination | Max | 3954590,51 | 61043,06 | 289223,48 | 565031760,84 | 4416342548 |
| +9.50 | Bottom | DConS4 | Combination | Max | 4127264,07 | 61043,06 | 289223,48 | 565031760,84 | 4739445988 |
| +9.50 | Top | DConS4 | Combination | Min | 3954590,51 | -61043,06 | -289223,48 | -565031761 | 4054336386 |

| Story | Location | Output Case | Case Type | Step Type | P kgf | VX kgf | VY kgf | T kgf-cm | MX kgf-cm |
|---|---|---|---|---|---|---|---|---|---|
| +9.50 | Bottom | DConS4 | Combination | Min | 4127264,07 | -61043,06 | -289223,48 | -565031761 | 4197656717 |
| +9.50 | Top | DConS5 | Combination | Max | 3718388,31 | 192744,33 | 88871,65 | 380769857,97 | 4042257474 |
| +9.50 | Bottom | DConS5 | Combination | Max | 3886470,58 | 192744,33 | 88871,65 | 380769857,97 | 4296314737 |
| +9.50 | Top | DConS5 | Combination | Min | 3718388,31 | -192744,33 | -88871,65 | -380769858 | 3930902882 |
| +9.50 | Bottom | DConS5 | Combination | Min | 3886470,58 | -192744,33 | -88871,65 | -380769858 | 4129867838 |
| +9.50 | Top | DConS6 | Combination | Max | 3718388,31 | 61043,06 | 289223,48 | 565031760,84 | 4167583259 |
| +9.50 | Bottom | DConS6 | Combination | Max | 3886470,58 | 61043,06 | 289223,48 | 565031760,84 | 4483985923 |
| +9.50 | Top | DConS6 | Combination | Min | 3718388,31 | -61043,06 | -289223,48 | -565031761 | 3805577097 |
| +9.50 | Bottom | DConS6 | Combination | Min | 3886470,58 | -61043,06 | -289223,48 | -565031761 | 3942196652 |
| +9.50 | Top | DConS7 | Combination | Max | 3718388,31 | 192744,33 | 88871,65 | 380769857,97 | 4042257474 |
| +9.50 | Bottom | DConS7 | Combination | Max | 3886470,58 | 192744,33 | 88871,65 | 380769857,97 | 4296314737 |
| +9.50 | Top | DConS7 | Combination | Min | 3718388,31 | -192744,33 | -88871,65 | -380769858 | 3930902882 |
| +9.50 | Bottom | DConS7 | Combination | Min | 3886470,58 | -192744,33 | -88871,65 | -380769858 | 4129867838 |
| +9.50 | Top | DConS8 | Combination | Max | 3718388,31 | 61043,06 | 289223,48 | 565031760,84 | 4167583259 |
| +9.50 | Bottom | DConS8 | Combination | Max | 3886470,58 | 61043,06 | 289223,48 | 565031760,84 | 4483985923 |
| +9.50 | Top | DConS8 | Combination | Min | 3718388,31 | -61043,06 | -289223,48 | -565031761 | 3805577097 |
| +9.50 | Bottom | DConS8 | Combination | Min | 3886470,58 | -61043,06 | -289223,48 | -565031761 | 3942196652 |
| +6.20 | Top | Dead | LinStatic | | 4674658,61 | 0 | 0 | -0,02 | 5016189657 |
| +6.20 | Bottom | Dead | LinStatic | | 4842740,88 | 0 | 0 | -0,02 | 5242700767 |
| +6.20 | Top | Live | LinStatic | | 984195,09 | 0 | 0 | 0,02 | 1035948543 |
| +6.20 | Bottom | Live | LinStatic | | 999499,4 | 0 | 0 | 0,02 | 1058284461 |
| +6.20 | Top | E-x | LinRespSpec | Max | 7,089E-05 | 219154,07 | 100191,75 | 427000823,44 | 83223449,69 |
| +6.20 | Bottom | E-x | LinRespSpec | Max | 7,089E-05 | 219154,07 | 100191,75 | 427000823,44 | 113759867,8 |
| +6.20 | Top | E-y | LinRespSpec | Max | 9,588E-05 | 69324,9 | 326096,63 | 637239413,86 | 270894635,22 |
| +6.20 | Bottom | E-y | LinRespSpec | Max | 9,587E-05 | 69324,9 | 326096,63 | 637239413,86 | 370516496,21 |
| +6.20 | Top | DConS1 | Combination | | 6310789,12 | 0 | 0 | -0,03 | 6771856037 |
| +6.20 | Bottom | DConS1 | Combination | | 6537700,18 | 0 | 0 | -0,03 | 7077646035 |
| +6.20 | Top | DConS2 | Combination | | 7787081,76 | 0 | 0 | -0,01 | 8325778851 |
| +6.20 | Bottom | DConS2 | Combination | | 8036949,29 | 0 | 0 | -0,01 | 8665072727 |
| +6.20 | Top | DConS3 | Combination | Max | 4969917,14 | 219154,07 | 100191,75 | 427000823,42 | 5410197670 |
| +6.20 | Bottom | DConS3 | Combination | Max | 5142590,7 | 219154,07 | 100191,75 | 427000823,42 | 5673945973 |
| +6.20 | Top | DConS3 | Combination | Min | 4969917,14 | -219154,07 | -100191,75 | -427000823 | 5243750770 |
| +6.20 | Bottom | DConS3 | Combination | Min | 5142590,7 | -219154,07 | -100191,75 | -427000823 | 5446426237 |
| +6.20 | Top | DConS4 | Combination | Max | 4969917,14 | 69324,9 | 326096,63 | 637239413,84 | 5597868855 |
| +6.20 | Bottom | DConS4 | Combination | Max | 5142590,7 | 69324,9 | 326096,63 | 637239413,84 | 5930702601 |
| +6.20 | Top | DConS4 | Combination | Min | 4969917,14 | -69324,9 | -326096,63 | -637239414 | 5056079585 |
| +6.20 | Bottom | DConS4 | Combination | Min | 5142590,7 | -69324,9 | -326096,63 | -637239414 | 5189669609 |
| +6.20 | Top | DConS5 | Combination | Max | 4674658,61 | 219154,07 | 100191,75 | 427000823,41 | 5099413107 |
| +6.20 | Bottom | DConS5 | Combination | Max | 4842740,88 | 219154,07 | 100191,75 | 427000823,41 | 5356460635 |
| +6.20 | Top | DConS5 | Combination | Min | 4674658,61 | -219154,07 | -100191,75 | -427000823 | 4932966207 |
| +6.20 | Bottom | DConS5 | Combination | Min | 4842740,88 | -219154,07 | -100191,75 | -427000823 | 5128940899 |
| +6.20 | Top | DConS6 | Combination | Max | 4674658,61 | 69324,9 | 326096,63 | 637239413,83 | 5287084292 |
| +6.20 | Bottom | DConS6 | Combination | Max | 4842740,88 | 69324,9 | 326096,63 | 637239413,83 | 5613217263 |
| +6.20 | Top | DConS6 | Combination | Min | 4674658,61 | -69324,9 | -326096,63 | -637239414 | 4745295022 |
| +6.20 | Bottom | DConS6 | Combination | Min | 4842740,88 | -69324,9 | -326096,63 | -637239414 | 4872184271 |
| +6.20 | Top | DConS7 | Combination | Max | 4674658,61 | 219154,07 | 100191,75 | 427000823,41 | 5099413107 |
| +6.20 | Bottom | DConS7 | Combination | Max | 4842740,88 | 219154,07 | 100191,75 | 427000823,41 | 5356460635 |
| +6.20 | Top | DConS7 | Combination | Min | 4674658,61 | -219154,07 | -100191,75 | -427000823 | 4932966207 |
| +6.20 | Bottom | DConS7 | Combination | Min | 4842740,88 | -219154,07 | -100191,75 | -427000823 | 5128940899 |
| +6.20 | Top | DConS8 | Combination | Max | 4674658,61 | 69324,9 | 326096,63 | 637239413,83 | 5287084292 |
| +6.20 | Bottom | DConS8 | Combination | Max | 4842740,88 | 69324,9 | 326096,63 | 637239413,83 | 5613217263 |
| +6.20 | Top | DConS8 | Combination | Min | 4674658,61 | -69324,9 | -326096,63 | -637239414 | 4745295022 |
| +6.20 | Bottom | DConS8 | Combination | Min | 4842740,88 | -69324,9 | -326096,63 | -637239414 | 4872184271 |
| +2.90 | Top | Dead | LinStatic | | 5630928,9 | 0 | 0 | -0,03 | 6045799136 |
| +2.90 | Bottom | Dead | LinStatic | | 5783730,97 | 0 | 0 | -0,03 | 6251718327 |
| +2.90 | Top | Live | LinStatic | | 1181049,52 | 0 | 0 | 0,02 | 1242699454 |
| +2.90 | Bottom | Live | LinStatic | | 1194962,52 | 0 | 0 | 0,02 | 1263004834 |
| +2.90 | Top | E-x | LinRespSpec | Max | 7,999E-05 | 240638,8 | 108543,32 | 456431980,21 | 113759867,81 |
| +2.90 | Bottom | E-x | LinRespSpec | Max | 7,999E-05 | 240638,8 | 108543,32 | 456431980,21 | 143707973,67 |
| +2.90 | Top | E-y | LinRespSpec | Max | 0,0001081 | 76147,52 | 352926,4 | 690181317,13 | 370516496,23 |

| Story | Location | Output Case | Case Type | Step Type | P kgf | VX kgf | VY kgf | T kgf-cm | MX kgf-cm |
|---|---|---|---|---|---|---|---|---|---|
| +2.90 | Bottom | E-y | LinRespSpec | Max | 0,0001081 | 76147,52 | 352926,4 | 690181317,13 | 468122700,72 |
| +2.90 | Top | DConS1 | Combination | | 7601754,02 | 0 | 0 | -0,04 | 8161828834 |
| +2.90 | Bottom | DConS1 | Combination | | 7808036,8 | 0 | 0 | -0,04 | 8439819741 |
| +2.90 | Top | DConS2 | Combination | | 9373328,29 | 0 | 0 | -0,01 | 10025878014 |
| +2.90 | Bottom | DConS2 | Combination | | 9600480,59 | 0 | 0 | -0,01 | 10334326992 |
| +2.90 | Top | DConS3 | Combination | Max | 5985243,76 | 240638,8 | 108543,32 | 456431980,19 | 6532368840 |
| +2.90 | Bottom | DConS3 | Combination | Max | 6142219,72 | 240638,8 | 108543,32 | 456431980,19 | 6774327751 |
| +2.90 | Top | DConS3 | Combination | Min | 5985243,76 | -240638,8 | -108543,32 | -456431980 | 6304849104 |
| +2.90 | Bottom | DConS3 | Combination | Min | 6142219,72 | -240638,8 | -108543,32 | -456431980 | 6486911803 |
| +2.90 | Top | DConS4 | Combination | Max | 5985243,76 | 76147,52 | 352926,4 | 690181317,1 | 6789125468 |
| +2.90 | Bottom | DConS4 | Combination | Max | 6142219,72 | 76147,52 | 352926,4 | 690181317,1 | 7098742478 |
| +2.90 | Top | DConS4 | Combination | Min | 5985243,76 | -76147,52 | -352926,4 | -690181317 | 6048092476 |
| +2.90 | Bottom | DConS4 | Combination | Min | 6142219,72 | -76147,52 | -352926,4 | -690181317 | 6162497076 |
| +2.90 | Top | DConS5 | Combination | Max | 5630928,9 | 240638,8 | 108543,32 | 456431980,18 | 6159559004 |
| +2.90 | Bottom | DConS5 | Combination | Max | 5783730,97 | 240638,8 | 108543,32 | 456431980,18 | 6395426301 |
| +2.90 | Top | DConS5 | Combination | Min | 5630928,9 | -240638,8 | -108543,32 | -456431980 | 5932039268 |
| +2.90 | Bottom | DConS5 | Combination | Min | 5783730,97 | -240638,8 | -108543,32 | -456431980 | 6108010353 |
| +2.90 | Top | DConS6 | Combination | Max | 5630928,9 | 76147,52 | 352926,4 | 690181317,1 | 6416315632 |
| +2.90 | Bottom | DConS6 | Combination | Max | 5783730,97 | 76147,52 | 352926,4 | 690181317,1 | 6719841028 |
| +2.90 | Top | DConS6 | Combination | Min | 5630928,9 | -76147,52 | -352926,4 | -690181317 | 5675282640 |
| +2.90 | Bottom | DConS6 | Combination | Min | 5783730,97 | -76147,52 | -352926,4 | -690181317 | 5783595626 |
| +2.90 | Top | DConS7 | Combination | Max | 5630928,9 | 240638,8 | 108543,32 | 456431980,18 | 6159559004 |
| +2.90 | Bottom | DConS7 | Combination | Max | 5783730,97 | 240638,8 | 108543,32 | 456431980,18 | 6395426301 |
| +2.90 | Top | DConS7 | Combination | Min | 5630928,9 | -240638,8 | -108543,32 | -456431980 | 5932039268 |
| +2.90 | Bottom | DConS7 | Combination | Min | 5783730,97 | -240638,8 | -108543,32 | -456431980 | 6108010353 |
| +2.90 | Top | DConS8 | Combination | Max | 5630928,9 | 76147,52 | 352926,4 | 690181317,1 | 6416315632 |
| +2.90 | Bottom | DConS8 | Combination | Max | 5783730,97 | 76147,52 | 352926,4 | 690181317,1 | 6719841028 |
| +2.90 | Top | DConS8 | Combination | Min | 5630928,9 | -76147,52 | -352926,4 | -690181317 | 5675282640 |
| +2.90 | Bottom | DConS8 | Combination | Min | 5783730,97 | -76147,52 | -352926,4 | -690181317 | 5783595626 |
| -0.10 | Top | Dead | LinStatic | | 6461147,59 | 0 | 0 | -0,03 | 6847087034 |
| -0.10 | Bottom | Dead | LinStatic | | 6918240,86 | 0 | 0 | -0,03 | 7498689621 |
| -0.10 | Top | Live | LinStatic | | 1350880,03 | 0 | 0 | 0,02 | 1394744821 |
| -0.10 | Bottom | Live | LinStatic | | 1368503,17 | 0 | 0 | 0,02 | 1420464969 |
| -0.10 | Top | E-x | LinRespSpec | Max | 8,259E-05 | 253116,34 | 112125,53 | 466679839,96 | 143707973,67 |
| -0.10 | Bottom | E-x | LinRespSpec | Max | 8,259E-05 | 253116,34 | 112125,53 | 466679839,96 | 183562287,96 |
| -0.10 | Top | E-y | LinRespSpec | Max | 0,0001137 | 79980,65 | 364381,62 | 712262219,84 | 468122700,74 |
| -0.10 | Bottom | E-y | LinRespSpec | Max | 0,0001137 | 79980,65 | 364381,62 | 712262219,84 | 597863565,63 |
| -0.10 | Top | DConS1 | Combination | | 8722549,25 | 0 | 0 | -0,04 | 9243567496 |
| -0.10 | Bottom | DConS1 | Combination | | 9339625,16 | 0 | 0 | -0,04 | 10123230988 |
| -0.10 | Top | DConS2 | Combination | | 10748869,29 | 0 | 0 | -0,01 | 11335684728 |
| -0.10 | Bottom | DConS2 | Combination | | 11392379,92 | 0 | 0 | -0,01 | 12253928442 |
| -0.10 | Top | DConS3 | Combination | Max | 6866411,6 | 253116,34 | 112125,53 | 466679839,94 | 7409218454 |
| -0.10 | Bottom | DConS3 | Combination | Max | 7328791,81 | 253116,34 | 112125,53 | 466679839,94 | 8108391400 |
| -0.10 | Top | DConS3 | Combination | Min | 6866411,6 | -253116,34 | -112125,53 | -466679840 | 7121802507 |
| -0.10 | Bottom | DConS3 | Combination | Min | 7328791,81 | -253116,34 | -112125,53 | -466679840 | 7741266824 |
| -0.10 | Top | DConS4 | Combination | Max | 6866411,6 | 79980,65 | 364381,62 | 712262219,82 | 7733633181 |
| -0.10 | Bottom | DConS4 | Combination | Max | 7328791,81 | 79980,65 | 364381,62 | 712262219,82 | 8522692677 |
| -0.10 | Top | DConS4 | Combination | Min | 6866411,6 | -79980,65 | -364381,62 | -712262220 | 6797387779 |
| -0.10 | Bottom | DConS4 | Combination | Min | 7328791,81 | -79980,65 | -364381,62 | -712262220 | 7326965546 |
| -0.10 | Top | DConS5 | Combination | Max | 6461147,59 | 253116,34 | 112125,53 | 466679839,93 | 6990795008 |
| -0.10 | Bottom | DConS5 | Combination | Max | 6918240,86 | 253116,34 | 112125,53 | 466679839,93 | 7682251909 |
| -0.10 | Top | DConS5 | Combination | Min | 6461147,59 | -253116,34 | -112125,53 | -466679840 | 6703379060 |
| -0.10 | Bottom | DConS5 | Combination | Min | 6918240,86 | -253116,34 | -112125,53 | -466679840 | 7315127333 |
| -0.10 | Top | DConS6 | Combination | Max | 6461147,59 | 79980,65 | 364381,62 | 712262219,81 | 7315209735 |
| -0.10 | Bottom | DConS6 | Combination | Max | 6918240,86 | 79980,65 | 364381,62 | 712262219,81 | 8096553186 |
| -0.10 | Top | DConS6 | Combination | Min | 6461147,59 | -79980,65 | -364381,62 | -712262220 | 6378964333 |
| -0.10 | Bottom | DConS6 | Combination | Min | 6918240,86 | -79980,65 | -364381,62 | -712262220 | 6900826055 |
| -0.10 | Top | DConS7 | Combination | Max | 6461147,59 | 253116,34 | 112125,53 | 466679839,93 | 6990795008 |
| -0.10 | Bottom | DConS7 | Combination | Max | 6918240,86 | 253116,34 | 112125,53 | 466679839,93 | 7682251909 |
| -0.10 | Top | DConS7 | Combination | Min | 6461147,59 | -253116,34 | -112125,53 | -466679840 | 6703379060 |

| Story | Location | Output Case | Case Type | Step Type | P kgf | VX kgf | VY kgf | T kgf-cm | MX kgf-cm |
|---|---|---|---|---|---|---|---|---|---|
| -0.10 | Bottom | DConS7 | Combination | Min | 6918240,86 | -253116,34 | -112125,53 | -466679840 | 7315127333 |
| -0.10 | Top | DConS8 | Combination | Max | 6461147,59 | 79980,65 | 364381,62 | 712262219,81 | 7315209735 |
| -0.10 | Bottom | DConS8 | Combination | Max | 6918240,86 | 79980,65 | 364381,62 | 712262219,81 | 8096553186 |
| -0.10 | Top | DConS8 | Combination | Min | 6461147,59 | -79980,65 | -364381,62 | -712262220 | 6378964333 |
| -0.10 | Bottom | DConS8 | Combination | Min | 6918240,86 | -79980,65 | -364381,62 | -712262220 | 6900826055 |

**Table 4.4 - Story Forces**

### 4.3 Modal Results

**Table 4.5 - Modal Periods And Frequencies**

| Case | Mode | Period sec | Frequency cyc/sec | CircFreq rad/sec | Eigenvalue rad2/sec2 |
|---|---|---|---|---|---|
| Modal | 1 | 0,863 | 1,158 | 7,279 | 52,984 |
| Modal | 2 | 0,64 | 1,563 | 9,8236 | 96,5038 |
| Modal | 3 | 0,467 | 2,14 | 13,4454 | 180,7781 |
| Modal | 4 | 0,24 | 4,17 | 26,2023 | 686,5627 |
| Modal | 5 | 0,164 | 6,106 | 38,3677 | 1472,0777 |
| Modal | 6 | 0,14 | 7,165 | 45,0163 | 2026,4676 |
| Modal | 7 | 0,127 | 7,895 | 49,6069 | 2460,8486 |
| Modal | 8 | 0,108 | 9,232 | 58,0055 | 3364,6416 |
| Modal | 9 | 0,092 | 10,858 | 68,22 | 4653,9638 |
| Modal | 10 | 0,088 | 11,416 | 71,7267 | 5144,7215 |
| Modal | 11 | 0,082 | 12,161 | 76,4085 | 5838,2557 |
| Modal | 12 | 0,074 | 13,517 | 84,929 | 7212,9287 |
| Modal | 13 | 0,07 | 14,387 | 90,3992 | 8172,0145 |
| Modal | 14 | 0,064 | 15,612 | 98,0925 | 9622,1421 |
| Modal | 15 | 0,06 | 16,771 | 105,3759 | 11104,079 |
| Modal | 16 | 0,056 | 17,856 | 112,191 | 12586,8213 |
| Modal | 17 | 0,054 | 18,427 | 115,7775 | 13404,435 |
| Modal | 18 | 0,053 | 18,817 | 118,2336 | 13979,1916 |
| Modal | 19 | 0,052 | 19,252 | 120,9646 | 14632,4296 |
| Modal | 20 | 0,049 | 20,35 | 127,8645 | 16349,3287 |
| Modal | 21 | 0,047 | 21,217 | 133,3135 | 17772,4783 |
| Modal | 22 | 0,046 | 21,801 | 136,9784 | 18763,083 |
| Modal | 23 | 0,045 | 22,048 | 138,5337 | 19191,5873 |
| Modal | 24 | 0,044 | 22,614 | 142,0865 | 20188,56 |
| Modal | 25 | 0,043 | 23,276 | 146,2459 | 21387,8567 |
| Modal | 26 | 0,042 | 23,872 | 149,9924 | 22497,7101 |
| Modal | 27 | 0,042 | 24,058 | 151,1589 | 22849,0261 |
| Modal | 28 | 0,041 | 24,303 | 152,6986 | 23316,8587 |
| Modal | 29 | 0,04 | 24,849 | 156,13 | 24376,5697 |
| Modal | 30 | 0,04 | 25,248 | 158,6362 | 25165,4414 |

**Table 4.6 - Modal Participating Mass Ratios (Part 1 of 2)**

| Case | Mode | Period sec | UX | UY | UZ | SumUX | SumUY | SumUZ | RX | RY | RZ |
|---|---|---|---|---|---|---|---|---|---|---|---|
| Modal | 1 | 0,863 | 0,4853 | 0,0018 | 0 | 0,4853 | 0,0018 | 0 | 0,0009 | 0,2795 | 0,1876 |
| Modal | 2 | 0,64 | 0,0024 | 0,6781 | 0 | 0,4877 | 0,6798 | 0 | 0,3789 | 0,0013 | 0 |
| Modal | 3 | 0,467 | 0,1829 | 0,0006 | 0 | 0,6706 | 0,6804 | 0 | 0,0004 | 0,1098 | 0,4845 |
| Modal | 4 | 0,24 | 0,1132 | 0,0004 | 0 | 0,7838 | 0,6809 | 0 | 0,0008 | 0,1882 | 0,0379 |
| Modal | 5 | 0,164 | 0,001 | 0,1801 | 0 | 0,7847 | 0,8609 | 0 | 0,3102 | 0,0017 | 4,905E-05 |
| Modal | 6 | 0,14 | 0,0306 | 0,0001 | 0 | 0,8154 | 0,861 | 0 | 0,0001 | 0,0468 | 0,0151 |
| Modal | 7 | 0,127 | 0,0619 | 0,0007 | 0 | 0,8772 | 0,8617 | 0 | 0,0012 | 0,1087 | 0,0987 |
| Modal | 8 | 0,108 | 0,0144 | 4,83E-05 | 0 | 0,8917 | 0,8618 | 0 | 0,0001 | 0,0321 | 0,0128 |
| Modal | 9 | 0,092 | 0,0173 | 1,171E-05 | 0 | 0,9089 | 0,8618 | 0 | 2,471E-05 | 0,0347 | 0,0046 |
| Modal | 10 | 0,088 | 0,0005 | 0,0536 | 0 | 0,9094 | 0,9154 | 0 | 0,1071 | 0,0009 | 0,0001 |
| Modal | 11 | 0,082 | 0,0104 | 0,0001 | 0 | 0,9198 | 0,9156 | 0 | 0,0003 | 0,0232 | 0,0013 |
| Modal | 12 | 0,074 | 0,0515 | 0,0004 | 0 | 0,9714 | 0,916 | 0 | 0,0008 | 0,1118 | 0,0001 |
| Modal | 13 | 0,07 | 0,0007 | 0,001 | 0 | 0,972 | 0,9169 | 0 | 0,0022 | 0,0038 | 0,034 |

| Case | Mode | Period sec | UX | UY | UZ | SumUX | SumUY | SumUZ | RX | RY | RZ |
|---|---|---|---|---|---|---|---|---|---|---|---|
| Modal | 14 | 0,064 | 0,0001 | 0,0224 | 0 | 0,9721 | 0,9394 | 0 | 0,0557 | 0,0001 | 0,0014 |
| Modal | 15 | 0,06 | 7,688E-07 | 4,349E-05 | 0 | 0,9721 | 0,9394 | 0 | 0 | 2,77E-06 | 9,5E-06 |
| Modal | 16 | 0,056 | 0,0001 | 0,0001 | 0 | 0,9722 | 0,9396 | 0 | 0,0002 | 0,0002 | 0,0005 |
| Modal | 17 | 0,054 | 0,0007 | 0,0067 | 0 | 0,9729 | 0,9463 | 0 | 0,0168 | 0,0015 | 0,0081 |
| Modal | 18 | 0,053 | 0,0006 | 0,0046 | 0 | 0,9735 | 0,9509 | 0 | 0,012 | 0,0012 | 0,0063 |
| Modal | 19 | 0,052 | 0,0001 | 0,0002 | 0 | 0,9735 | 0,9511 | 0 | 0,0004 | 0,0001 | 0,001 |
| Modal | 20 | 0,049 | 0,0001 | 0,0006 | 0 | 0,9736 | 0,9517 | 0 | 0,0008 | 0,0001 | 0,0003 |
| Modal | 21 | 0,047 | 8,31E-06 | 0,0065 | 0 | 0,9736 | 0,9582 | 0 | 0,0173 | 8,067E-06 | 0,0002 |
| Modal | 22 | 0,046 | 0,0001 | 1,003E-06 | 0 | 0,9738 | 0,9582 | 0 | 2,421E-06 | 0,0004 | 0,0067 |
| Modal | 23 | 0,045 | 0,0006 | 6,777E-06 | 0 | 0,9743 | 0,9582 | 0 | 1,026E-05 | 0,0008 | 0,0014 |
| Modal | 24 | 0,044 | 0 | 1,217E-05 | 0 | 0,9743 | 0,9582 | 0 | 0,0002 | 0 | 1,666E-06 |
| Modal | 25 | 0,043 | 4,443E-06 | 0,0059 | 0 | 0,9743 | 0,9641 | 0 | 0,0159 | 9,424E-06 | 0,0002 |
| Modal | 26 | 0,042 | 0,0005 | 0,0001 | 0 | 0,9748 | 0,9642 | 0 | 0,0002 | 0,0007 | 0,0017 |
| Modal | 27 | 0,042 | 0 | 0,0002 | 0 | 0,9748 | 0,9643 | 0 | 0,0004 | 7,495E-07 | 3,266E-06 |
| Modal | 28 | 0,041 | 0,0006 | 0,0001 | 0 | 0,9754 | 0,9644 | 0 | 0,0002 | 0,001 | 0,002 |
| Modal | 29 | 0,04 | 0 | 0,0001 | 0 | 0,9754 | 0,9644 | 0 | 0,0001 | 0 | 1,279E-05 |
| Modal | 30 | 0,04 | 4,109E-06 | 0,0024 | 0 | 0,9754 | 0,9668 | 0 | 0,0054 | 1,16E-05 | 0,0004 |

**Table 4.6 - Modal Participating Mass Ratios (Part 2 of 2)**

| Case | Mode | SumRX | SumRY | SumRZ |
|---|---|---|---|---|
| Modal | 1 | 0,0009 | 0,2795 | 0,1876 |
| Modal | 2 | 0,3798 | 0,2809 | 0,1876 |
| Modal | 3 | 0,3802 | 0,3907 | 0,6722 |
| Modal | 4 | 0,381 | 0,5789 | 0,71 |
| Modal | 5 | 0,6913 | 0,5806 | 0,7101 |
| Modal | 6 | 0,6914 | 0,6274 | 0,7251 |
| Modal | 7 | 0,6926 | 0,7361 | 0,8238 |
| Modal | 8 | 0,6927 | 0,7682 | 0,8366 |
| Modal | 9 | 0,6927 | 0,8029 | 0,8412 |
| Modal | 10 | 0,7998 | 0,8038 | 0,8413 |
| Modal | 11 | 0,8001 | 0,827 | 0,8426 |
| Modal | 12 | 0,8009 | 0,9388 | 0,8427 |
| Modal | 13 | 0,8031 | 0,9426 | 0,8767 |
| Modal | 14 | 0,8588 | 0,9427 | 0,8781 |
| Modal | 15 | 0,8588 | 0,9427 | 0,8781 |
| Modal | 16 | 0,859 | 0,9429 | 0,8787 |
| Modal | 17 | 0,8758 | 0,9444 | 0,8868 |
| Modal | 18 | 0,8878 | 0,9456 | 0,8931 |
| Modal | 19 | 0,8882 | 0,9457 | 0,8941 |
| Modal | 20 | 0,889 | 0,9458 | 0,8944 |
| Modal | 21 | 0,9063 | 0,9458 | 0,8946 |
| Modal | 22 | 0,9063 | 0,9462 | 0,9013 |
| Modal | 23 | 0,9063 | 0,9469 | 0,9027 |
| Modal | 24 | 0,9065 | 0,9469 | 0,9027 |
| Modal | 25 | 0,9224 | 0,9469 | 0,9029 |
| Modal | 26 | 0,9226 | 0,9476 | 0,9047 |
| Modal | 27 | 0,9229 | 0,9476 | 0,9047 |
| Modal | 28 | 0,9231 | 0,9486 | 0,9067 |
| Modal | 29 | 0,9233 | 0,9486 | 0,9067 |
| Modal | 30 | 0,9286 | 0,9487 | 0,9071 |

**Table 4.7 - Modal Load Participation Ratios**

| Case | ItemType | Item | Static % | Dynamic % |
|---|---|---|---|---|
| Modal | Acceleration | UX | 100 | 97,78 |
| Modal | Acceleration | UY | 99,99 | 96,75 |
| Modal | Acceleration | UZ | 0 | 0 |

**Table 4.8 - Modal Direction Factors**

| Case | Mode | Period sec | UX | UY | UZ | RZ |
|---|---|---|---|---|---|---|
| Modal | 1 | 1,02 | 0,725 | 0,003 | 0 | 0,272 |
| Modal | 2 | 0,775 | 0,003 | 0,997 | 0 | 0 |
| Modal | 3 | 0,56 | 0,272 | 0,001 | 0 | 0,727 |
| Modal | 4 | 0,281 | 0,703 | 0,002 | 0 | 0,295 |
| Modal | 5 | 0,194 | 0,004 | 0,995 | 0 | 0 |
| Modal | 6 | 0,156 | 0,591 | 0,003 | 0 | 0,406 |
| Modal | 7 | 0,148 | 0,287 | 0,003 | 0 | 0,71 |
| Modal | 8 | 0,118 | 0,566 | 0,003 | 0 | 0,432 |
| Modal | 9 | 0,101 | 0,148 | 0,746 | 0 | 0,106 |
| Modal | 10 | 0,1 | 0,472 | 0,176 | 0 | 0,352 |
| Modal | 11 | 0,088 | 0,591 | 0,002 | 0 | 0,407 |
| Modal | 12 | 0,082 | 0,486 | 0,004 | 0 | 0,51 |
| Modal | 13 | 0,08 | 0,417 | 0,005 | 0 | 0,578 |
| Modal | 14 | 0,073 | 0,663 | 0,023 | 0 | 0,314 |
| Modal | 15 | 0,071 | 0,193 | 0,731 | 0 | 0,077 |
| Modal | 16 | 0,071 | 0,554 | 0,219 | 0 | 0,227 |
| Modal | 17 | 0,06 | 0,135 | 0,513 | 0 | 0,353 |
| Modal | 18 | 0,059 | 0,268 | 0,038 | 0 | 0,695 |
| Modal | 19 | 0,058 | 0,02 | 0,963 | 0 | 0,016 |
| Modal | 20 | 0,057 | 0,044 | 0,773 | 0 | 0,183 |
| Modal | 21 | 0,052 | 0,119 | 0,66 | 0 | 0,221 |
| Modal | 22 | 0,051 | 0,047 | 0,856 | 0 | 0,097 |
| Modal | 23 | 0,049 | 0,191 | 0,154 | 0 | 0,655 |
| Modal | 24 | 0,046 | 0,086 | 0,731 | 0 | 0,183 |
| Modal | 25 | 0,046 | 0,003 | 0,019 | 0 | 0,978 |
| Modal | 26 | 0,046 | 0,022 | 0,74 | 0 | 0,238 |
| Modal | 27 | 0,044 | 0,156 | 0,212 | 0 | 0,632 |
| Modal | 28 | 0,043 | 0,064 | 0,617 | 0 | 0,319 |
| Modal | 29 | 0,043 | 0,01 | 0,018 | 0 | 0,972 |
| Modal | 30 | 0,042 | 0,006 | 0,555 | 0 | 0,439 |

# 5 Design Data

This chapter provides design data and results.

## 5.1 Concrete Frame Design

**Table 5.1 - Concrete Frame Design Preferences - Eurocode 2-2004**

| Item | Value |
|---|---|
| Country | CEN Default |
| Combination Equation | Eq. 6.10 |
| Reliability Class | Class 2 |
| Second Order Method | Nominal Stiffness |
| Multi-Response Design | Step-by-Step - All |
| # Interaction Curves | 24 |
| # Interaction Points | 11 |
| Minimum Eccentricity? | Yes |
| Design for BCCR? | Yes |
| Ignore Beneficial Pu for Beam Design? | Yes |
| $Theta_0$ | 0,005 |
| Gamma (Steel) | 1,15 |
| Gamma (Concrete) | 1,5 |
| Gamma (Concrete Modulus) | 1,2 |
| AlphaCC (Compression) | 1 |
| AlphaCT (Tension) | 1 |
| AlphaCC (Lightweight Compression) | 0,85 |
| AlphaCT (Lightweight Tension) | 0,85 |
| Pattern Live Load Factor | 0,75 |
| Utlization Factor Limit | 1 |

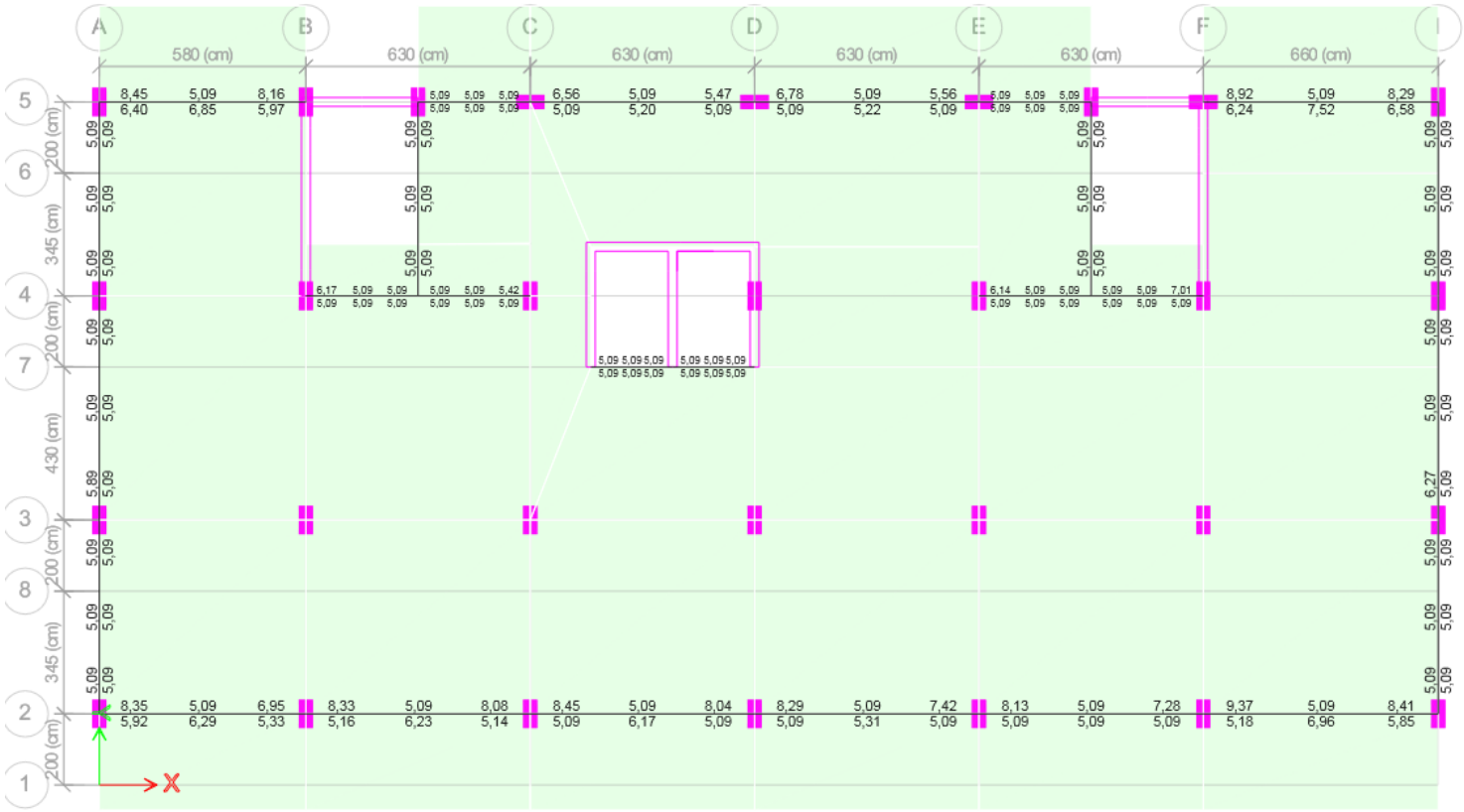
A
B
C
D
E
F
I
580 (cm)
630 (cm)
630 (cm)
630 (cm)
630 (cm)
660 (cm)
5
6
4
7
3
8
2
1
200 (cm)
345 (cm)
200 (cm)
430 (cm)
200 (cm)
345 (cm)
200 (cm)
X

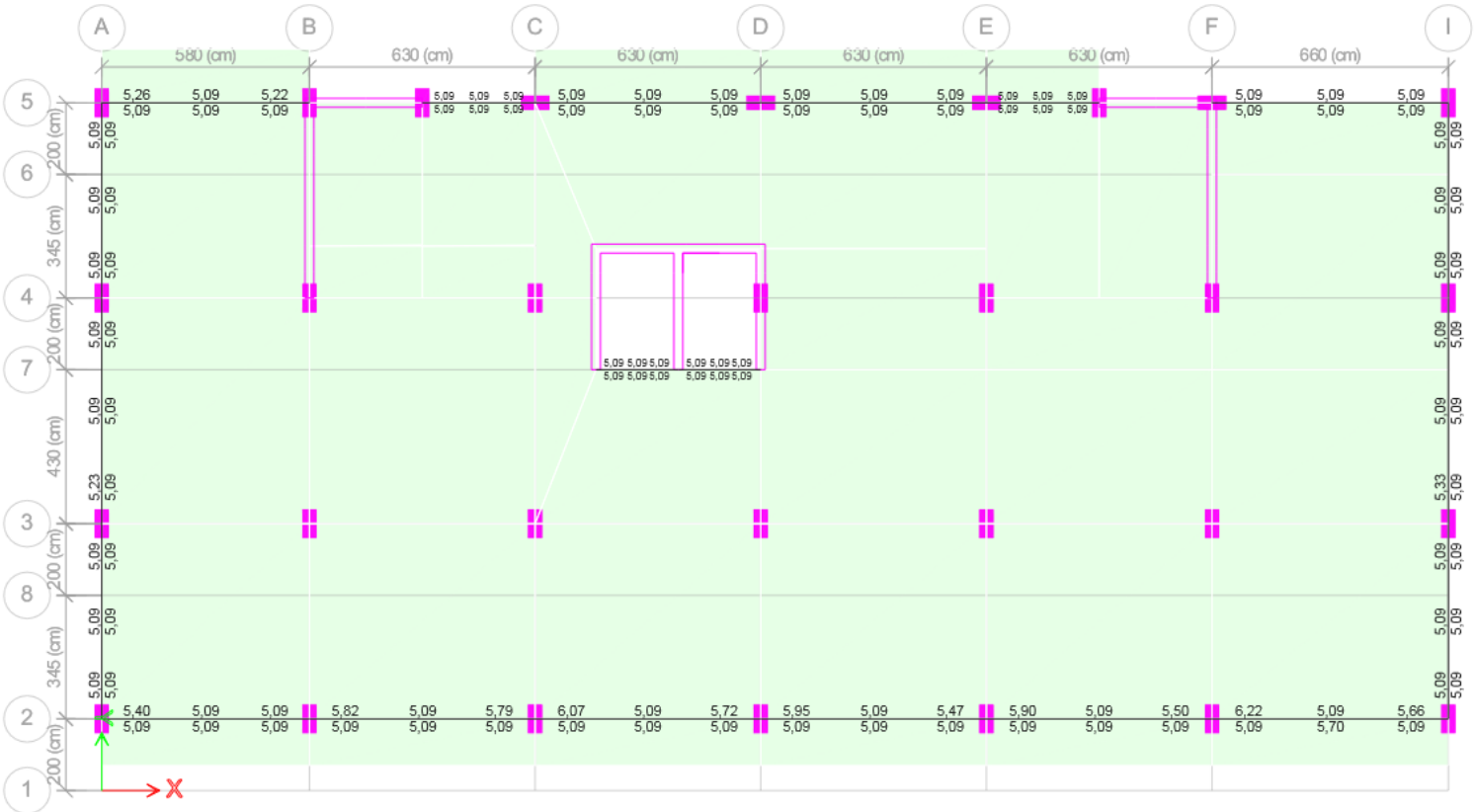
A
B
C
D
E
F
I
580 (cm)
630 (cm)
630 (cm)
630 (cm)
630 (cm)
660 (cm)
5
6
4
7
3
8
2
1
200 (cm)
345 (cm)
200 (cm)
430 (cm)
200 (cm)
345 (cm)
200 (cm)
X

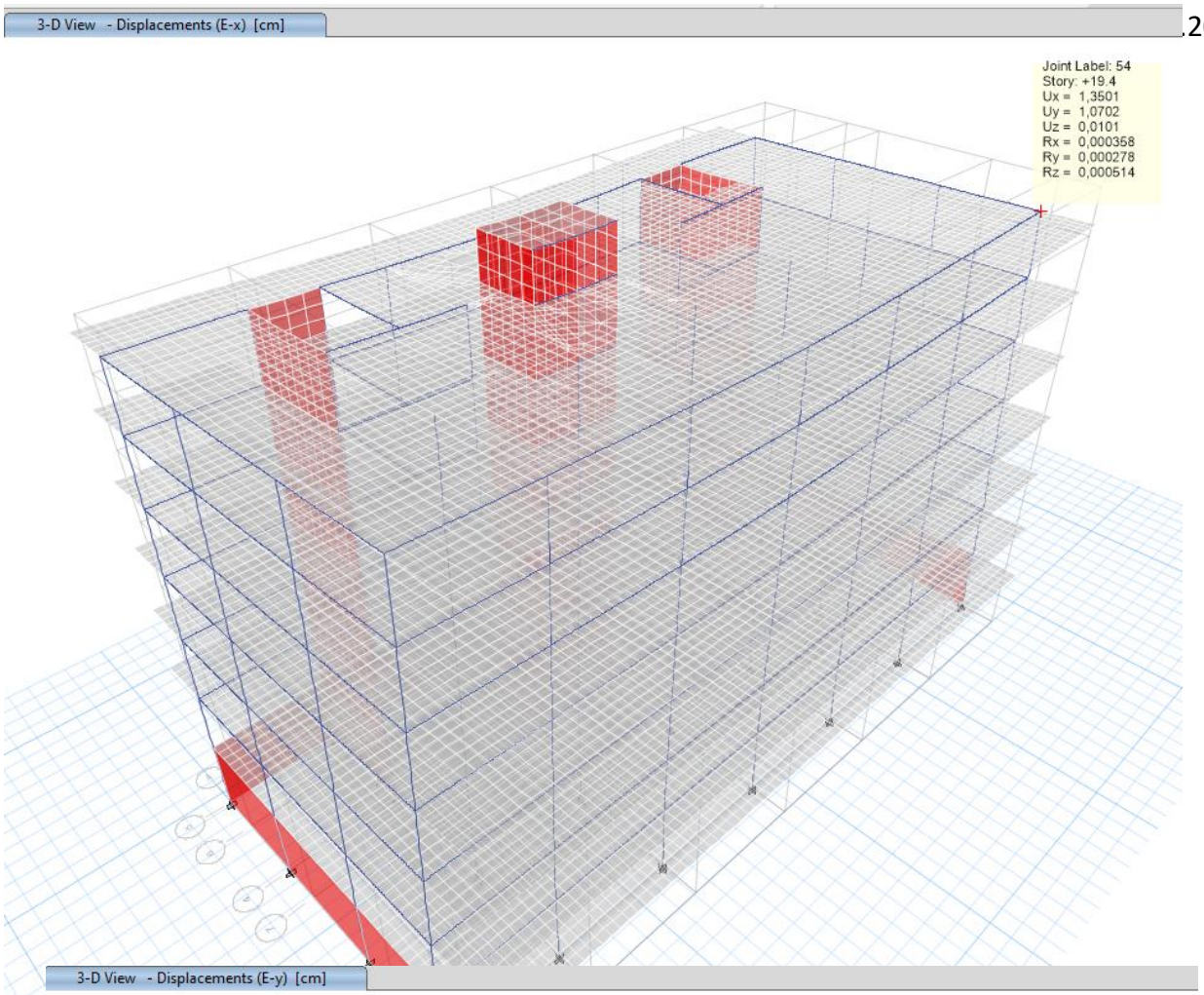
3-D View - Displacements (E-x) [cm]
Joint Label: 54
Story: +19.4
Ux = 1,3501
Uy = 1,0702
Uz = 0,0101
Rx = 0,000358
Ry = 0,000278
Rz = 0,000514

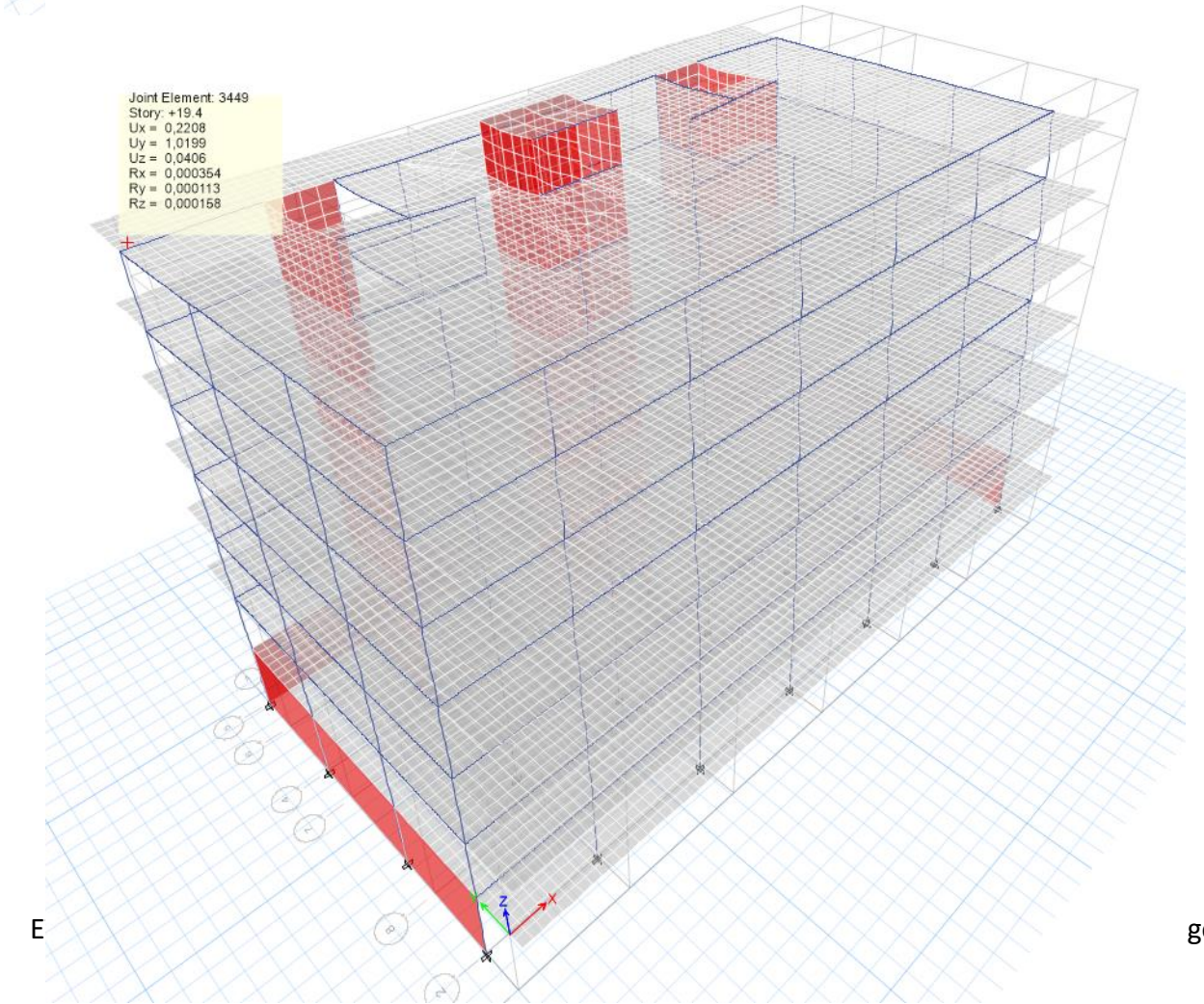
3-D View - Displacements (E-y) [cm]
Joint Element: 3449
Story: +19.4
Ux = 0,2208
Uy = 1,0199
Uz = 0,0406
Rx = 0,000354
Ry = 0,000113
Rz = 0,000158

Elevation View - A Longitudinal Reinforcing (Eurocode 2-2004)

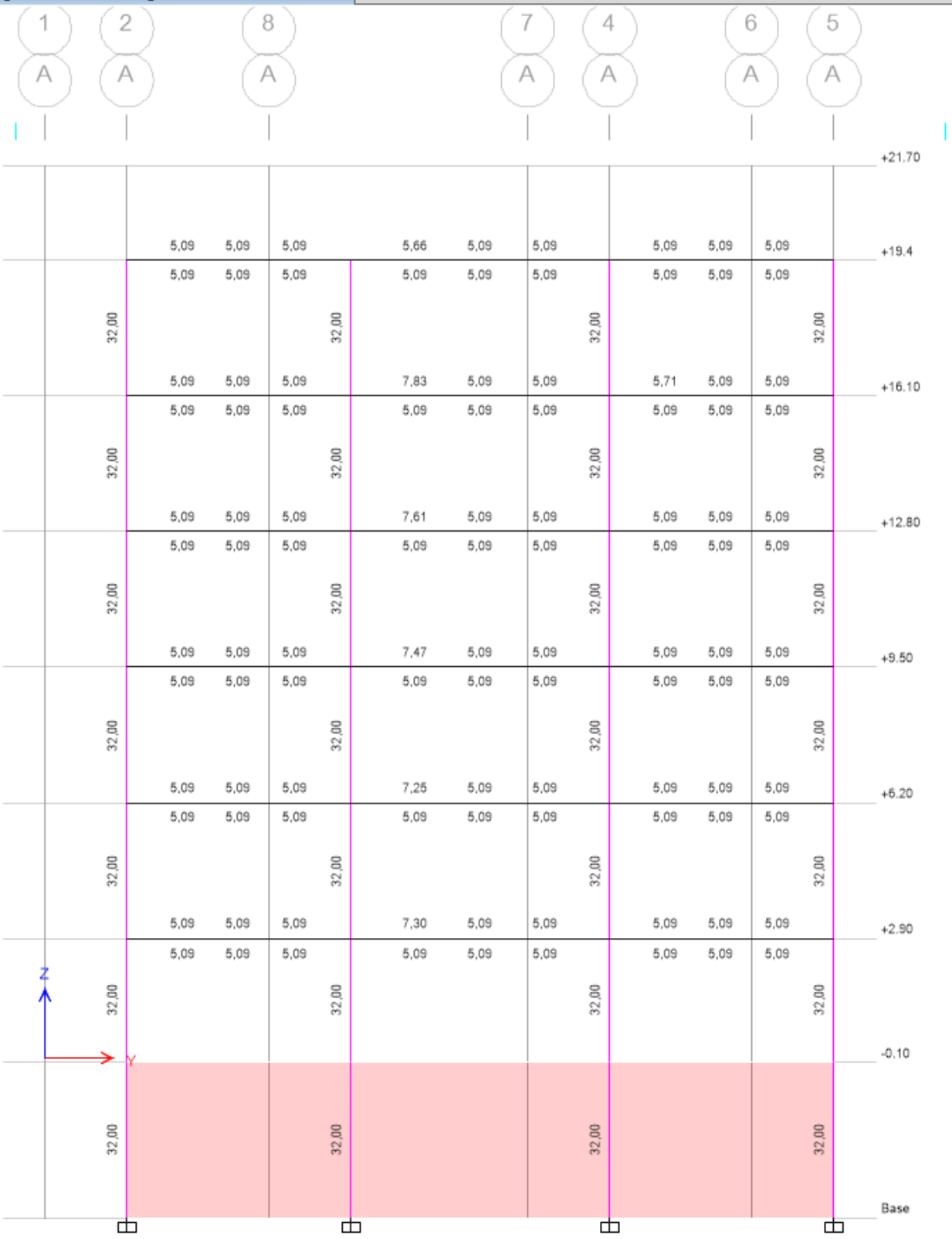

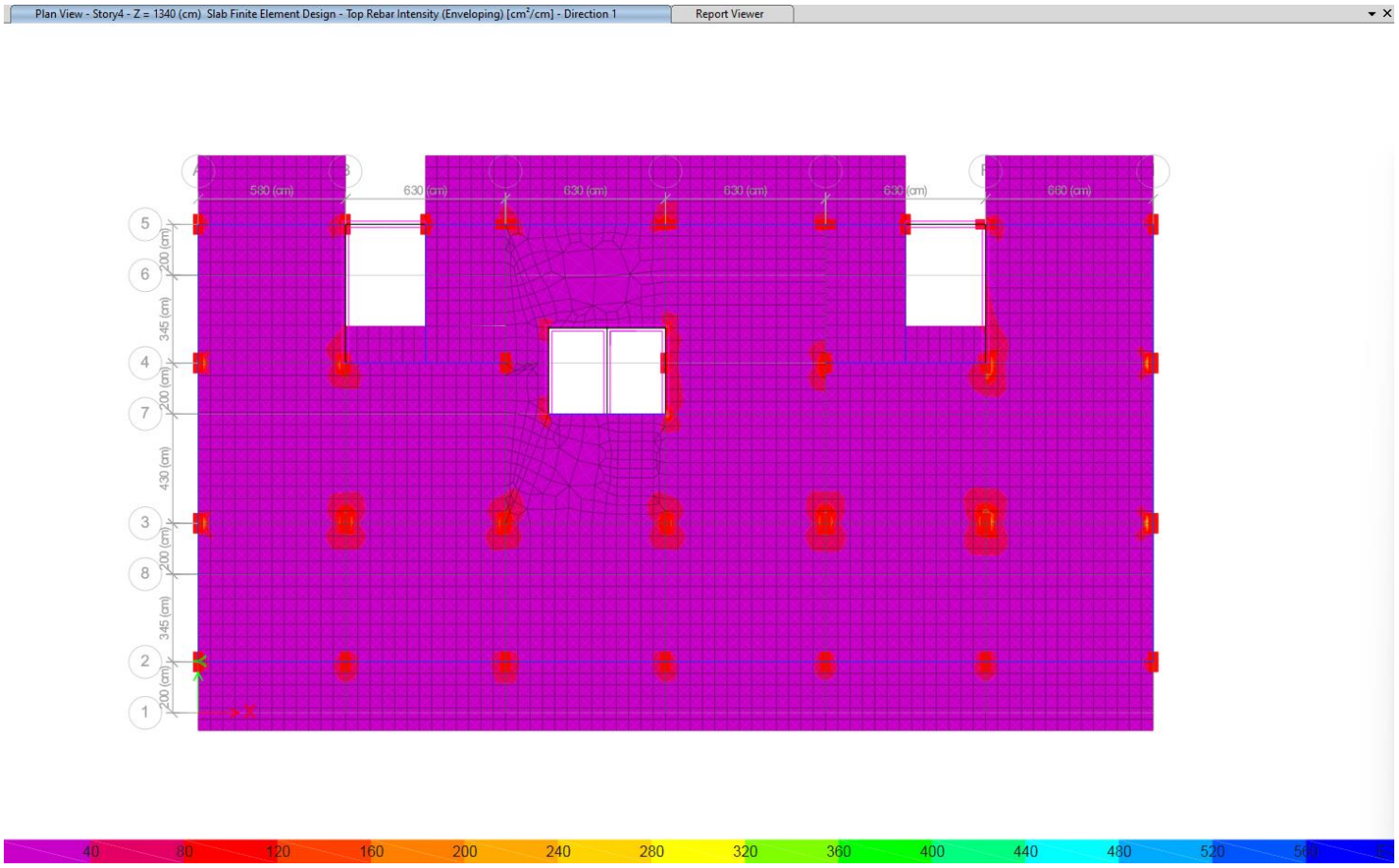
Plan View - Story4 - Z = 1340 (cm) Slab Finite Element Design - Top Rebar Intensity (Enveloping) [cm²/cm] - Direction 1
Report Viewer
580 (cm)
630 (cm)
630 (cm)
630 (cm)
630 (cm)
660 (cm)
200 (cm)
345 (cm)
200 (cm)
430 (cm)
200 (cm)
345 (cm)
200 (cm)
40 80 120 160 200 240 280 320 360 400 440 480 520

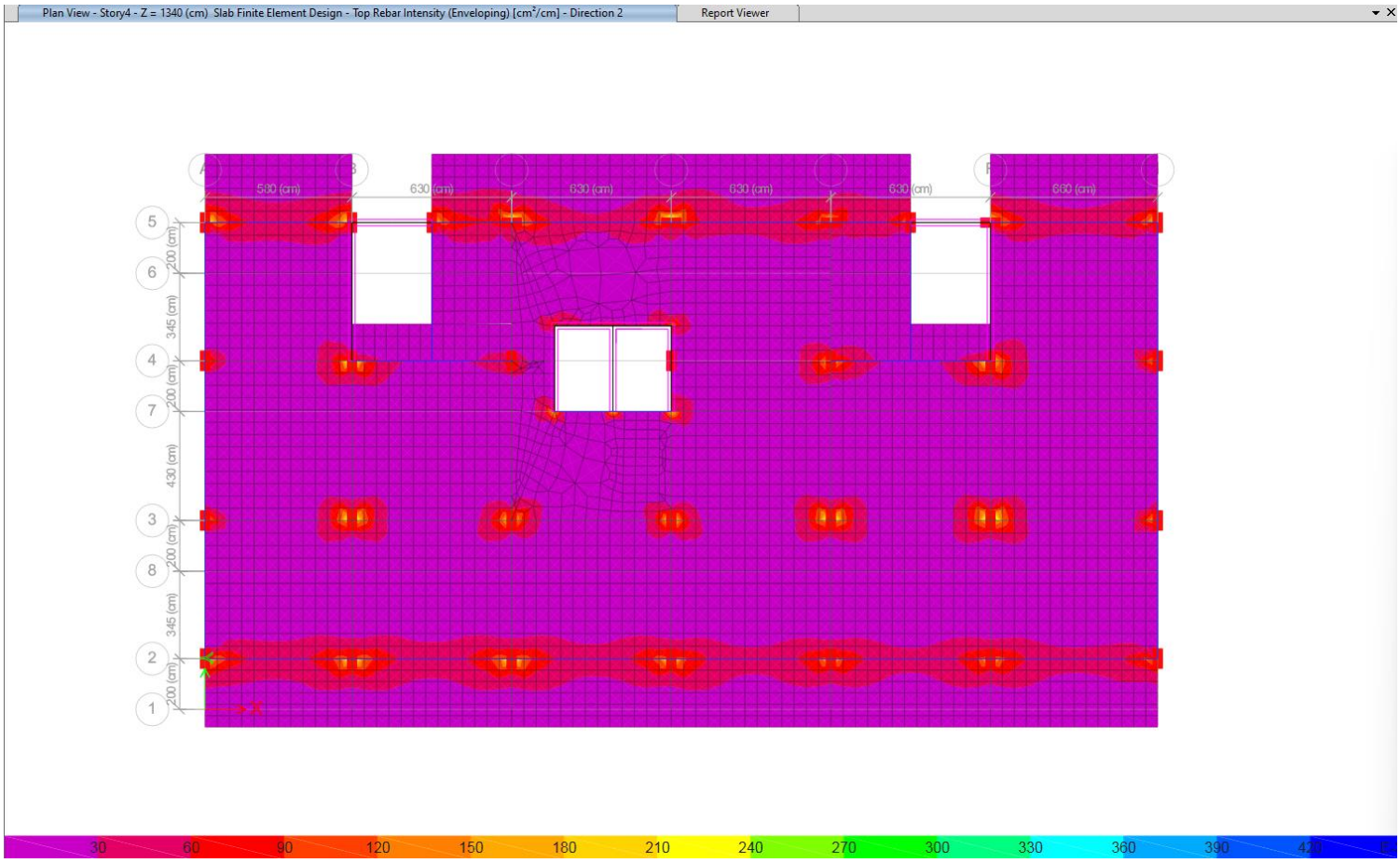
Plan View - Story4 - Z = 1340 (cm) Slab Finite Element Design - Top Rebar Intensity (Enveloping) [cm²/cm] - Direction 2
Report Viewer
580 (cm)
630 (cm)
630 (cm)
630 (cm)
630 (cm)
660 (cm)
200 (cm)
345 (cm)
200 (cm)
430 (cm)
200 (cm)
345 (cm)
200 (cm)
30 60 90 120 150 180 210 240 270 300 330 360 390

Plan View - Story4 - Z = 1340 (cm) Slab Finite Element Design - Bottom Rebar Intensity (Enveloping) [cm²/cm] - Direction 1 | Report Viewer

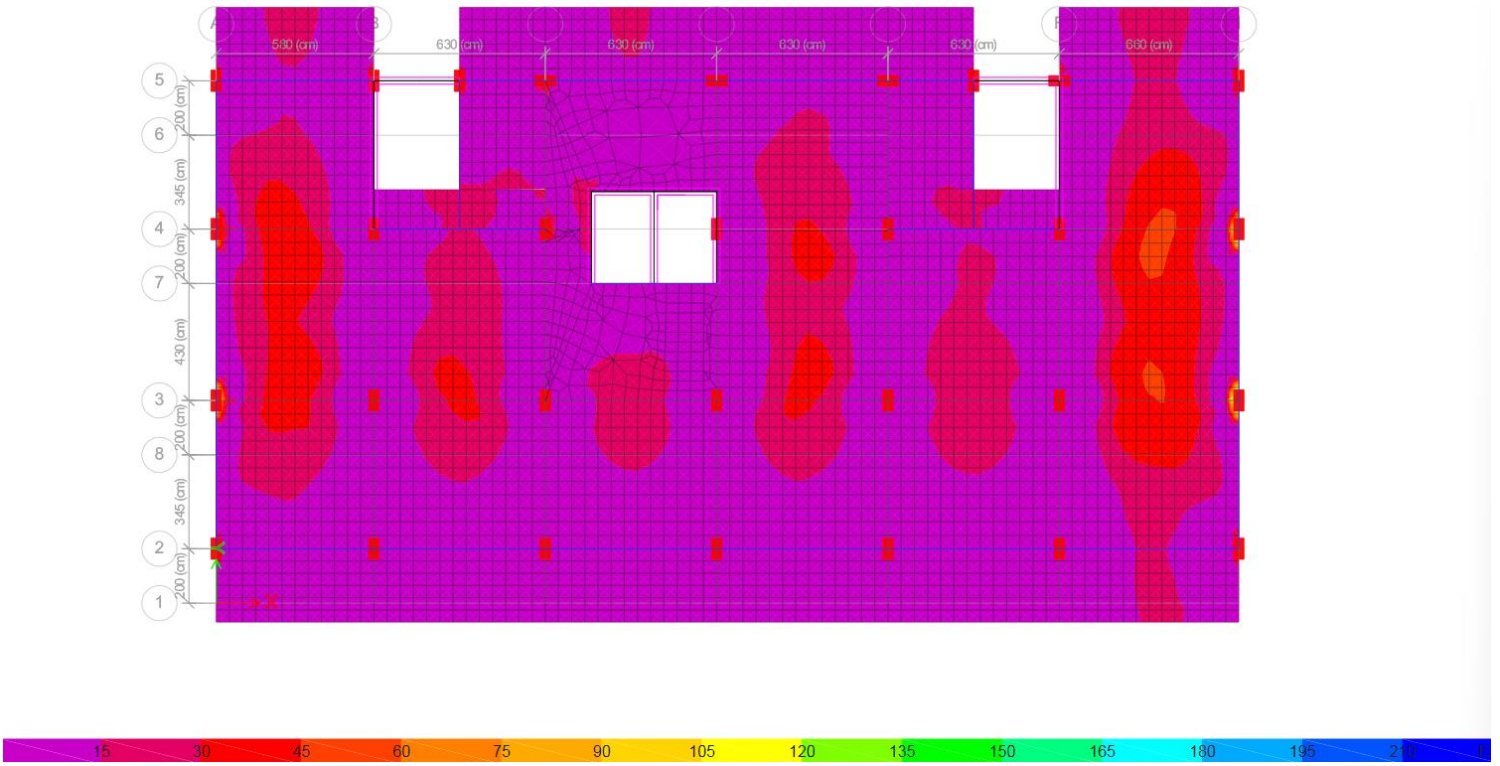


Plan View - Story4 - Z = 1340 (cm) Slab Finite Element Design - Bottom Rebar Intensity (Enveloping) [cm²/cm] - Direction 2 | Report Viewer

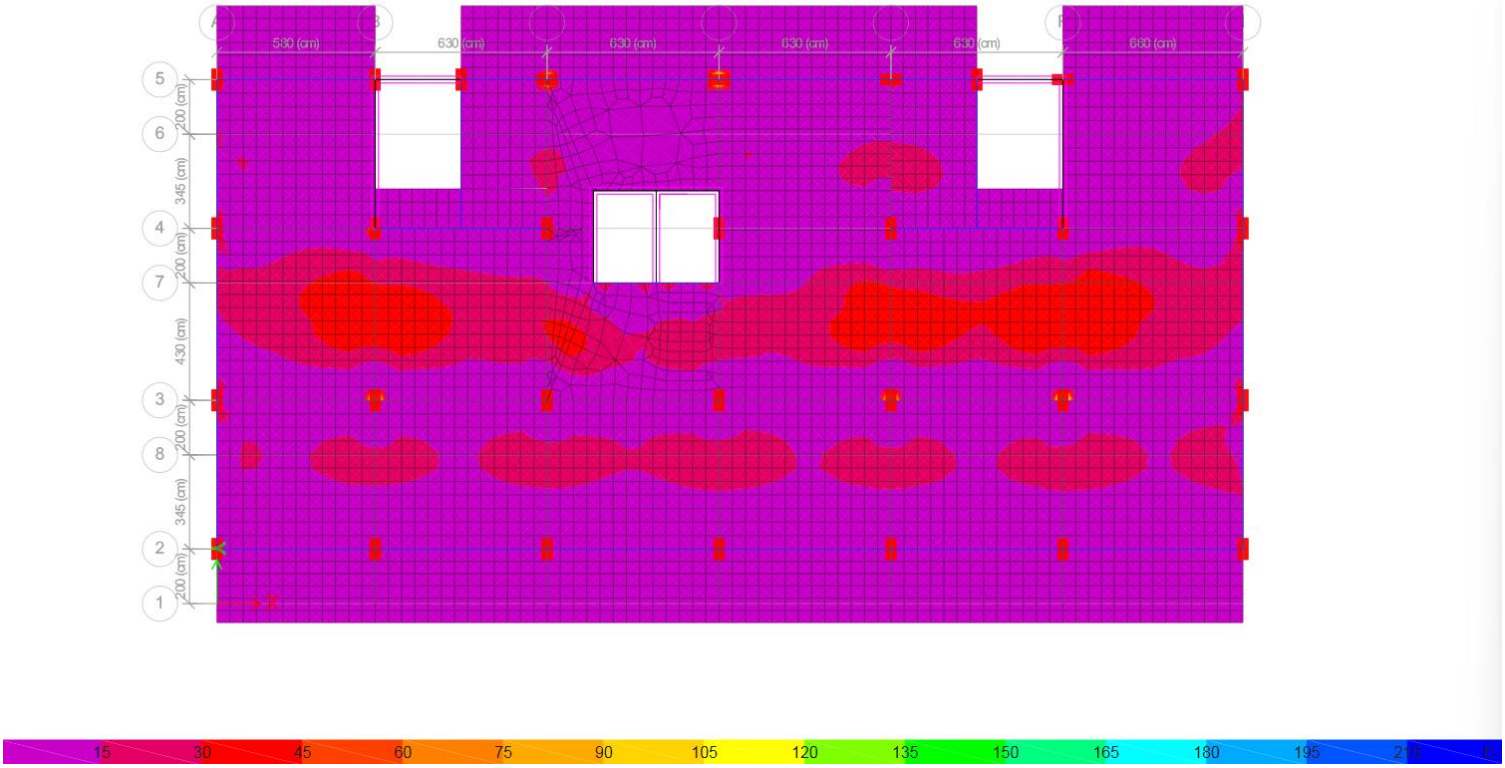

შ.პ.ს. “დიდგორი-2011” “Didgori-2011” Ltd
საქართველო, ქ. თბილისი, სოფელი დიღომი, ს/კ 404901111. ტელ.: 551147980
Village Dighomi, Tbilisi, Georgia, I/d: 404901111. Tel.: 551147980

ქ. თბილისი, “დელისი-3”-ის საცხოვრებელირაიონის მიმდებარედ ინტენსიფიკაციის გზის სამხრეთი (ნაკვეთი №1/124) მრავალბინიანი საცხოვრებელი სახლის კონსტრუქციული პროექტი (F ბლოკი)

# საექსპერტო შეფასება

დირექტორი ნ. სილაგაძე

თბილისი 2025 წელი

ქ. თბილისი, “დელისი-3”-ის საცხოვრებელირაიონის მიმდებარედ ინტენსიფიკაციის გზის სამხრეთი (ნაკვეთი №1/124) მრავალბინიანი საცხოვრებელი სახლის კონსტრუქციული პროექტი

# საექსპერტო შეფასება

**ექსპერტიზის მიზანი:** პროექტის კონსტრუქციული ნაწილის შესაბამისობა საქართველოს რესპუბლიკაში მოქმედ სამშენებლო ნორმებთან და სტანდარტებთან.

**საექსპერტოდ წარმოდგენილი მასალები:**

1. არქიტექტურული-სამშენებლო ნაწილი;
2. სამშენებლო მოედნის საინჟინრო-გეოლოგიური გამოკვლევა;
3. პროექტის კონსტრუქციული ნაწილი;
4. შენობის კონსტრუქციული ანგარიში შესრულებული კომპლექსური პროგრამა ETABS-ის გამოყენებით;

ყველა მასალა წარმოდგენილია ელექტრონულად.

## გაფრთხილება

გაცნობილი ვარ ექსპერტის უფლება-მოვალეობებს, რაც გათვალის-წინებულია საქართველოს სამოქალაქო საპროცესო კოდექსის 168-ე და საქართველოს სისხლის სამართლის საპროცესო კოდექსის 51-ე და 52-ე მუხლებით.

ამასთან, ცრუ ჩვენების, ყალბი დასკვნის სისხლის სამართლის პასუხისმგებლობის შესახებ გაცნობილი ვარ საქართველოს სისხლის სამართლის კოდექსის 370-ე მუხლს.

**ექსპერტი შემსრულებელი:**

ინჟინერ-მშენებელი, კონსტრუქტორი ზაურ სილაგაძე, სპეციალობით მუშაობის უწყვეტი სტაჟი 45 წელი.

## კვლევითი ნაწილი

საპროექტო შენობა ექვს მალიანია სიემტრიული ფორმის გაბარიტული ზომებით (ღერძებში) 37.6X17.2 მ. საპროექტო შენობა რვა სართულიანია ერთი დამატებითი ტექნიკური სართულით. საერთო სიმაღლით 37.0 მ.

სართულის სიმაღლეებია:

1. I მიწისქვეშა სართული – 3.80 მ;

2. პირველი (მიწისზედა) სართული – 3.00 მ:
3. ტიპიური სართული (II-VI) -3.30 მ.
4. ტექ. სართული – 2.40 მ.

საინჟინრო-გეოლოგიური გამოკვლევის თანახმად ტერიტორიაზე გავრცელებულია ქვიშაქვა რომლის საანგარიშო მაჩვენებლებია:

- სიმკვრივე 2.37 გ/სმ$^3$;
- შიგა ხახუნის კუთხე $25^0$;
- დეფორმაციის მოდული 3530.6 მპა;
- პუასონის კოეფიციენტი – 0.20

სეისმური დარაიონების რუკის მიხედვით სამშენებლო მოედანი მიეკუთვნება 8 ბალიან სეისმოაქტივობის ზონას MSK64 შკალის მიხედვით, უგანზომილებო კოეფიციენტი $A_0$=0.17.

კონსტრუქციული ანგარიში შესრულებულია კომპლექსური პროგრამა ETABS-ის გამოყენებით.

## კონსტრუქციული ელემენტები მიღებულია

**საძირკველი** – ფილის ტიპის სიმაღლით 1.2 მ. ბეტონი B25, არმატურა B500B და B240B;

**საძირკველი** – ხიმინჯები დიამეტრით 1.2 მ. ბეტონი B25, არმატურა B500B და B240B;

**კოლონები** – მონოლითური რკინაბეტონი განიკვეთით 40X80; სმ. და და ბეტონი B25, არმატურა B500B;

**მონოლითური რ/ბ კედელი** – მონოლითური რკინაბეტონი სისქით 25 და 40 სმ. ბეტონი B30, არმატურა B500B;

**რიგელები** – მონოლითური რკინაბეტონი განიკვეთით 60X40 სმ. და ბეტონი B30, არმატურა B500B;

**გადახურვის ფილები** – მონოლითური რკინაბეტონი სისქით 25 და 20 სმ. ბეტონი B30, არმატურა A500C და A500C;

**კიბეები** –Z ფორმის მონოლითური რკინაბეტონი სისქით 18 სმ. ბეტონი B30, არმატურა B500B;

მუშა ნახაზები დამუშავებულია დეტალურად. მოიცავს 98 სტანდარტულ (A3) ფურცელს, საყალიბე ნახაზებს, არმირების სქემებს, კვანძებს, მასალის სპეციფიკაციებს და კვანძებს.

მასალების ჯამური სპეციფიკაციები დამუშავებულია კონსტრუქციული ელემენტების სახეობების მიხედვით.

## დასკვნა

პროექტის კონსტრუქციული ნაწილი დამუშავებულია არქიტექტურულ ნაწილთან და კონსტრუქციულ ანგარიშთან სრულ შესაბამისობაში. წარმოდგენილი დოკუმენტაციის ანალიზის საფუძველზე ექსპერტი დადებით შეფასებას აძლევს წარმოდგენილ პროექტს და რეკომენდაციას უწევს დასამტკიცებლად და განსახორციელებლად.

კონსტრუქტორი ზ. სილაგაძე

**გამოყენებული ლიტერატურა**


1. პნ 01.01-09 სეისმომედეგი მშენებლობა;
2. პნ 02.01-08 შენობებისა და ნაგებობების ფუძეები;
3. პნ 03.01-09 ბეტონისა და რკინაბეტონის კონსტრუქციები.

# დიპლომი

Г-I № 182323

ეს დიპლომი მიეცა სილაგაძე
ზაური აპოლონის ძეს
მასზე, რომ იგი 1971 წელს შევიდა
ვ.ი. ლენინის სახ. საქართველოს
პოლიტექნიკურ ინსტიტუტში
და 1976წელს დაამთავრა
ალნიშნული ინსტიტუტის
სრული კურსი სპეციალობით
სამრეწველო და სამოქალაქო
მშენებლობა
სახელმწიფო საგამოცდო კომისიის 1976 წ.
„22“ ივნისის გადაწყვეტილებით
ზ.ა. სილაგაძეს მიენიჭა
ინჟინერ-მშენებლის კვალიფიკაცია.

სახელმწიფო საგამოცდო კომისიის თავმჯდომარე
რექტორი
მდივანი

ქალაქი თბილისი 1980წ. „17“ IV

სარეგისტრაციო № 4993-Сгр

Грузинский яз.

# ДИПЛОМ

Г-I № 182323

Настоящий диплом выдан Силагадзе
Заури Аполлоновичу
в том, что он в 1971 году поступил
в Грузинский политехнический
ин-т им. В.И. Ленина
и в 1976 году окончил полный курс
названного института
по специальности
Промышленное и гражданское
строительство

Решением Государственной экзаменационной
комиссии от „22“ июня 1976 г.
Силагадзе З.А.
присвоена квалификация
инженера-строителя

Председатель Государственной
экзаменационной комиссии
Ректор
Секретарь

м. п.

Город Тбилиси „17“ IV 1980 г.

Регистрационный № 4993-Сгр.

Московская типография Гознака. 1976.

Georgia

IDENTITY CARD

მოქალაქის პირადობის მოწმობა

საქართველო

GEO



სახელი / FIRST NAME

ზაური

ZAUR

გვარი / LAST NAME

სილაგაძე

SILAGADZE

მოქ. / CIT | სქესი / SEX | პირადი No / PERSONAL No

GEO | მმ / M | 01003008527

დაბადების თარიღი / DATE OF BIRTH

20.01.1951

მოქმედების ვადა / DATE OF EXPIRY

14.05.2029

ხელმოწერა / SIGNATURE

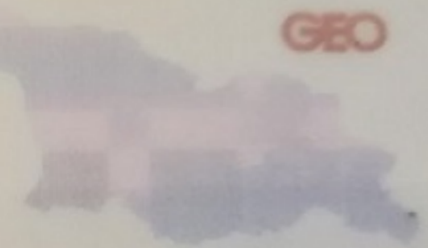

გარების No / CARD No

18IE40012

დაბადების ადგილი / PLACE OF BIRTH

წყალტუბო

TSKALTUBO

გაცემის თარიღი / DATE OF ISSUE

14.05.2019

გამცემი ორგანო / ISSUING AUTHORITY

იუსტიციის სამინისტრო

MINISTRY OF JUSTICE

დამკვეთი: სრს; დამამზადებელი: MB-IDS 2018

სფს-ს რეგისტრაციის No 26-3184





IDGE018IE40012401003008527<<<<
5101201M2905143GE0<<<<<<<<<<<8
SILAGADZE<<ZAUR<<<<<<<<<<<<<<

# ზაურ სილაგაძე
## (საპროექტო სამუშაოების გამოცდილება)

ქ. თბილისი, ვაკე-საბურთალოს რაიონი, სოფ. დიდგორი: (995 51)-14 79 80

**დაბადების თარიღი:** 2 იანვარი, 1951
**ოჯახური მდგომარეობა:** დაოჯახებული

## განათლება:

**1971 – 1976** ***საქართველოს პოლიტექნიკური ინსტიტუტი.***
სამშენებლო ფაკულტეტი
ინჟინერ-მშენებლის სპეციალობა

## სამუშაო გამოცდილება:

**2/08/1976 – 15/02/1992** ***თბილისის ზონალური სამეცნიერო კვლევითი და საპროექტო ინსტიტუტი "თბილზნიეპი"***
ინჟინერ კონსტრუქტორი
უფროსი ინჟინერი
ჯგუფის ხელმძღვანელი
პროექტის მთავარი ინჟინერი
პროექტის მთავარი კონსტრუქტორი

**15/09/1989 – 15/01/1990** ***მივლინება კამბოჯის სახალხო რესპუბლიკაში, საპროექტო და სამშენებლო სამუშაოები***

**10/11/1999 – 24/03/2004** ***შპს "არქგეიზი"-ს მთავარი ინჟინერი***

- კოსტავას ქ. 47-ში აშენებული 16 სართულიანი საცხოვრებელი სახლისა და სასტუმრო ვარაზის მთავარი კონსტრუქტორი და მშენებელი.
- ხორავას ქ. 4-ში 9 სართულიანი საცხოვრებელი სახლის მთავარი კონსტრუქტორი და მშენებელი.

**07/06/2005 – 12/05/2006** ***შპს "გიკსი"-ს მთავარი ინჟინერი***

- სააქციო საზოგადოება "ცოდნის" შენობაზე 1 სართულის დაშენების მთავარი კონსტრუქტორი და მშენებელი.

**10/07/2007 – 01/06/2010** ***შპს "გასნიკკომპანი"-ს მთავარი ინჟინერი***

- საცხოვრებელი სახლი დოლიძის ქუჩა №46-ში და ბალანჩივაძის ქუჩა №41-ში მთავარი კონსტრუქტორი და მშენებელი.

02/01/2007 – 16/07/2010 *შპს "პროექტი 21"*

- სასჯელაღსრულებისა და პრობაციის სამინისტროს დაკვეთით რუსთავის №6, გეგუთის №8 და ქსნის №7 სასჯელაღსრულების დაწესებულების პროექტების მთავარი კონსტრუქტორი.

1/06/2009 – 2011 წ. *შპს "გონი 2009"*
*მთავარი ინჟინერი*
*შ.პ.ს. „გუნსან ტრაფიქ ელექტრიკ ვე ინშაათ მუჰენდისლიკ სანაი თიჯარეთ ლიმიტედ შირქეთი"-ს ქვეკონტრაქტორი*

- იმერეთის რეგიონში შიდასახელმწიფოებრივი მნიშვნელობის საავტომობილო გზებზე დასახლებული პუნქტების გადასახვევებთან ინდივიდუალური პროექტირების საინფორმაციო-საგზაო ნიშნების მოწყობის სამუშაოები.

- კახეთის რეგიონში შიდასახელმწიფოებრივი მნიშვნელობის საავტომობილო გზებზე დასახლებული პუნქტების გადასახვევებთან ინდივიდუალური პროექტირების საინფორმაციო-საგზაო ნიშნების მოწყობის სამუშაოები.

2010-2013 წლები *შპს "ერდო"*
*მიწვეული სპეციალისტი კონტრაქტით,*
*ლაითურის სასჯელაღსრულების პროექტების*
*მთავარი კონსტრუქტორი (მიმდინარეობს მშენებლობა)*
*დოკუმენტაცია გრიფით საიდუმლო.*

2011 წლიდან დღემდე *შპს "დიდგორი-2011"*
*დამფუძნებელი და მთავარი კონსტრუქტორი*
*მრავალსართულიანი საცხოვრებელი სახლების მთავარი კონსტრუქტორი*

2014 წელი *მძლეოსნობის ოლიმპიური კომპლექსის მთავარი კონსტრუქტორი*

2014 წლიდან დღემდე *შპს "ბინექს"*
*მთავარი კონსტრუქტორი*
*მრავალსართულიანი საცხოვრებელი სახლების მთავარი კონსტრუქტორი*

## კომპიუტერი და ენები:

- კომპიუტერული უნარ-ჩვევები: MONOMAKH Sapr, LIRA Sapr (მომხმარებლის დონეზე)
- ენები: ქართული, რუსული (სრულყოფილად).